



وزارة التعليم العالي والبحث العلمي  
الهيئة القطاعية للعلوم التربوية

## مَاهِجْ قَسْمِ الْفِيَزِيَاءِ لِكُلِّيَاتِ التَّرْبِيَةِ

عدد الساعات الأسبوعية (3)

الصف الرابع

مفردات منهج مادة فيزياء الحالة الصلبة

### 1- التركيب البلوري

المقدمة، الحالة البلورية والحالة غير البلورية، وحدة الخلية، الشبكة البرافيزية والشبكة غير البرافيزية انواع الشبائك، (مكعب بسيط، مكعب متوازن الجسم، مكعب متوازن الوجه (مكعب متوازن السطوح)، كلوريد الصوديوم، تركيب سداسي متلاصق الرص)، التناظر، معامل ملر.

### 2- الحيوان في البلورات

الحزم الساقطة وقانون براك، (الأشعة السينية، النيوترونات، الالكترونات) الطرق التجريبية للحيوان، طريقة لاوي، طريقة البلورة الدوارة، طريقة المسحوق، الشبكة المقلوبة، عامل تركيب الشبكة.

### 3- ديناميكية الشبكة حرکات الشبكة

اهتزاز الشبكة، اهتزاز الشبكة ذات ذرة واحدة في بعد واحد، اهتزاز الشبكة ذات الذرتين في بعد واحد الحرارة النوعية للشبكة النظرية الكلاسيكية، نموذج انيشتاين، نموذج ديباي، التمدد الحراري، معالجات، المقاومة الحرارية للشبكة.

### 4- الالكترونات الحرية

النظرية الكلاسيكية للاكترونات الحرية، نظرية درود، نموذج لورنتز، فشل النظرية الكلاسيكية، احصاء فيرمي، ديراك للاكترونات الحرية في ثلاث ابعاد، طاقة فيرمي، كثافة الحالات النوعية الالكترونية.

### 5- نظرية الانطاقة للمواد الصلبة

الاكترونات الحرية، أصل فجوة الطاقة، دالة بلوخ، ديناميكية حركة الالكترونات (سرعة الطور وسرعة المجموعة) الكتلة الفعالة، تأثير هول، المعادن، العوازل، اشباه الموصلات.

### 6- العيوب البلورية

العيوب النفطية - الثغرات - عيوب شوتكي - عيوب فرنكل - العيوب الخطية - الانحلالات - الانحلال الحاني - الانحلال البريمي - العيوب السطحية - العيوب الحجمية.

### 7- التوصيل المفرط

حالة فرط التوصيل، المجال المغناطيسي الانتقالـي، ظاهرة مازنر، نظرية التوصيل المفرط، عمق الاختراق

### المصادر

- فيزياء الحالة الصلبة - تاليف: د. يحيى نوري الجمال

- فيزياء الحالة الصلبة - تاليف: د. مؤيد جبرائيل يوسف

مصادر إضافية:

- فيزياء الحالة الصلبة - تاليف: د. صبحي سعيد الرواـي د. شاكر جابر شاكر د. يوسف مولود حسن

- فيزياء الجوـامـد - تالـيف: د. محمد أمـين د. احمد فؤـاد باشا د. شـريف اـحمد خـيري

- Kittel, C., 2005,. Introduction to solid state physics, 8th ed., Wiley.

- Omar MA., 1975, Elementary solid state physics, principles and applications, Addison-Wesley Publishing Company.



بِسْمِ اللّٰهِ الرَّحْمٰنِ الرَّحِيْمِ

## الفصل الاول

### التركيب البلوري Crystal Structure

#### المقدمة

الحالة البلورية والحالة غير البلورية

وحدة الخلية

الشبكة البرافيزية والشبكة غير البرافيزية

أنواع الشبائك

(مكعب بسيط، مكعب متمركز الجسم، مكعب متمركز الوجه (مكعب متمركز السطوح)، كلوريد

الصوديوم، تركيب سداسي متلاصق الرص)

الناظر

معامل ملر

#### المقدمة :

العناصر والمركبات تكون بثلاث حالات في الطبيعة هي الحالة الصلبة والسائلة والغازية وتحتلت المادة في كونها تمتلك احدى هذه الحالات باختلاف المسافات البينية ومقدار قوة الترابط بين الذرات. ويمكن ان

تملك المادة شكلاً اخر تظهر به يسمى بالبلازما (Plasma).

حيث يمكن تقسيم المواد الصلبة الى:

- المواد الصلبة البلورية Crystalline Solid

- المواد الصلبة غير البلورية العشوائية (Non-Crystalline Solid) (Amorphous)

كما يمكن تصنيف المواد الصلبة حسب توصيلها الكهربائي الى:

- الموصلات

- اشباه الموصلات

- العوازل

كما يمكن تصنيف المواد الصلبة حسب خواصها المغناطيسية الى:

- المواد البارامغناطيسية

- المواد الديامغناطيسية

- المواد الفيرو Mgnetic

كما يمكن تصنيف المواد الصلبة حسب طاقة الربط بين الذرات او الجزيئات الى:

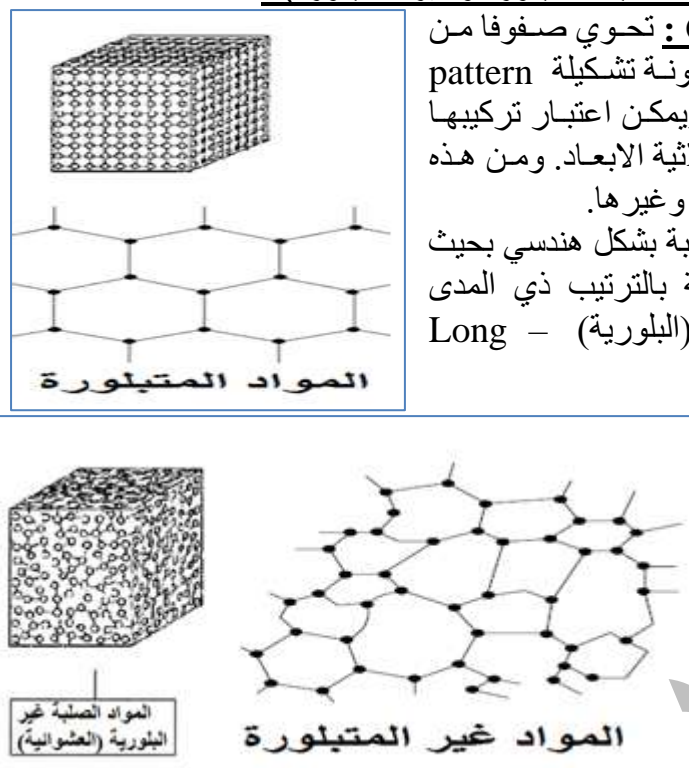
- البلورات الأيونية

- البلورات التساهمية

- البلورات الجزيئية

- البلورات المعدنية

## الحالة البلورية والحالة غير البلورية (المواد الصلبة المتباعدة وغير المتباعدة) :

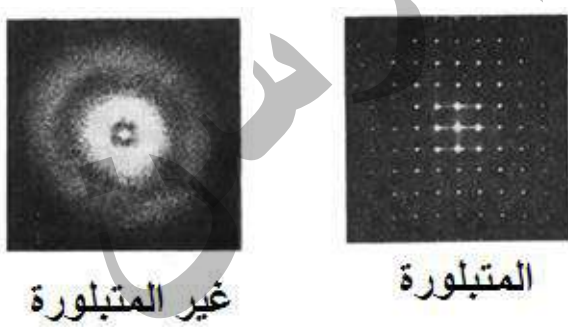


**المواد غير المتباعدة:** **non-Crystalline**: وتسمى أيضاً **المواد العشوائية** (لا شكلية) (Amorphous) وهي المواد التي تتجمع ذراتها بصورة عشوائية وبدون ترتيب مكونةً تشكيلةً معقدةً بحيث لا يمكن اعتبار تركيبها تكراراً لأي خلية وحدة ومن هذه المواد الزجاج (أوكسيد السليكون).

- بعض العناصر والمركبات يمكن ان توجد بصيغة المواد الصلبة المتباعدة والمواد الصلبة غير المتباعدة مثل الجرمانيوم والسيلikon. تبعاً لطريقة تحضير هذه المواد او كيفية تكونها.
- بعض المواد الصلبة لا تتنمي تماماً لأي من النوعين المذكورين، حيث أنها تقع بدرجات متفاوتة بين الحاله الكامله التبلور والحاله غير البلورية، ويمكن وصف الترتيب الجزيئي للذرات فيها بتعيين ما يسمى بدرجة البلورة Degree of Crystallinity . ويمتد الترتيب المنتظم في بعض هذه المواد الصلبة (شبه البلورية) إلى مسافات قصيرة فيوصف بالترتيب ذي المدى القصير Short – Range Order .

**يمكن التمييز عملياً بين المواد الصلبة المتباعدة وغير المتباعدة بثلاث معايير مستقلة:**

- 1- تتصهر المواد المتباعدة فجأة وعند درجة حرارة معينة ثابتة دائماً اما المواد غير المتباعدة فتتصهر من خلال مدى معين لدرجات الحرارة.



- 2- تكون المواد غير المتباعدة تشكيله منتشرة ومتبعثرة عند حيود الاشعة السينية منها على شكل حلقات متعددة المركز ، بينما هذه التشكيلة تكون للمواد المتباعدة عبارة عن بقع spots متميزة ومنفصلة بعضها عن بعض وذات تماثل معين.

- 3- تكون جميع المواد المتباعدة متباعدة الخواص الاتجاهية anisotropic وبدرجات متفاوتة اي ان بعض صفاتها المميزة تعتمد على الاتجاه الذي تقياس معه تلك الصفات بالنسبة الى محاور البلورة. اما المواد غير المتباعدة ف تكون جميعها متماثلة الخواص الاتجاهية Isotropic اي لا يظهر اي تأثير للاتجاه على خواصها.

مصططلات اساسية:

**علم البلورات Crystallography:** هو العلم الذي يهتم بدراسة المواد الصلبة بجميع اشكالها وظواهرها.

**البلورة:** عبارة عن جسم صلب يحتوي على عدد من الذرات مرتبة بشكل هندسي معين بحيث تكون مواقعاً دورية (وتسمى هذه الدورية في الغالب بترتيب طويل المدى) فالبلورة تتكون من وحدات غایة في الصغر تكرر بانتظام في الابعاد الثلاثة ، تسمى **خلية الوحدة (وحدة الخلية units cell)**.

يعبر عن فكرة الدورية في البلورات بالقول ان البلورة تمتلك تنازلاً انتقالياً، يعني انه اذا تحركت نقطة ما وبواسطة اي متوجه يربط بين نقطتين تبدو النقطة وكأنها لم تتحرك اي ان ما يجاورها لم يتغير.

وتحتفظ البلورة التامة بهذه **الدورية** وفي الابعاد الثلاثة والى ما لأنها لكل من المحاور ويترب على العملية الدورية ان تكون موقعاً للذرات في البلورة متكافئة بعبارة اخرى تبدو البلورة التامة للناظر المستقر في اي من هذه المواقع الذرية نفسها.

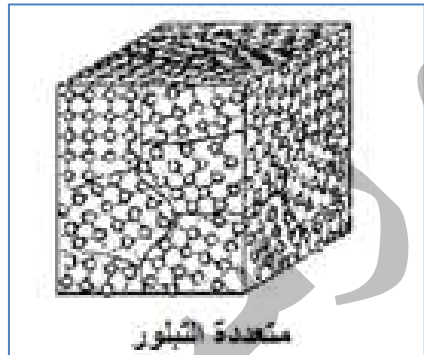
ان اساس البناء البلوري هو التكرار وهناك **بلورات على انواع**:

1- **البلورات الحقيقية Real crystal** وتمثل معظم البلورات الموجودة في الطبيعة وتحتوي على بعض العيوب والتشوهات.

2- **البلورات المثالية Perfect crystal** وهي بلور مفترضة حيث اننا نفرض وجود بلورة مثالية خالية من العيوب والتشوهات لغرض الدراسة ولا توجد بلورة مثالية في الطبيعة وتمتاز البلورة المثالية بالدورية Periodicity المنتظمة ثلاثة الابعاد حيث ان المجاميع المتماثلة من الذرات تكرر نفسها عند فوائل او فسح متساوية تماماً.

**انواع البلورات الحقيقة:**

أ- **البلورة الاحادية Single crystal:** حيث تمتد دورية التشكيلية او النموذج البلوري الثلاثي الابعاد خلال البلورة باكملها.

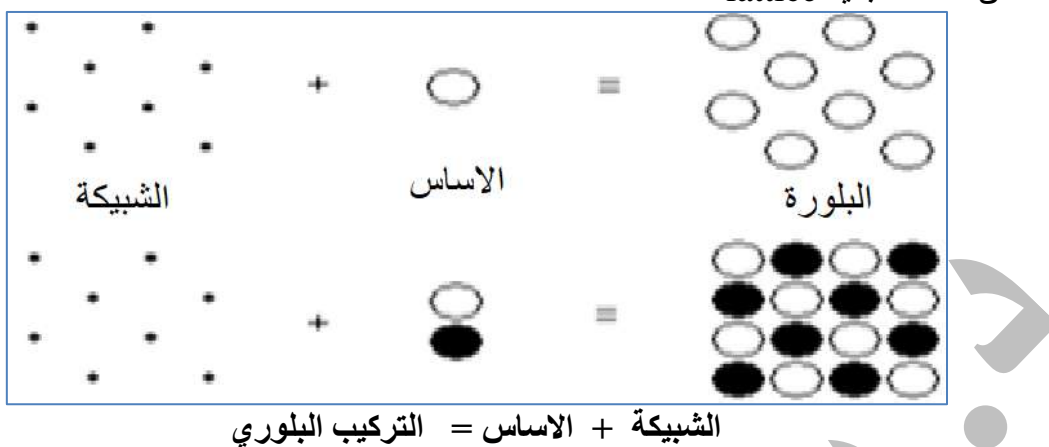


ب- **البلورة متعددة التبلور Polycrystalline:** حيث لا تمتد دورية النموذج البلوري خلال البلورة باكملها بل تنتهي عند حدود داخل البلورة تدعى **grain boundaries يحدود الحبيبات** عندما ينتشر النمط الهندسي الدوري ليشغل كل أجزاء المادة، فإن هذا يعني أن لدينا "بلورة وحيدة أما إذا توقف انتشار دورية النمط الهندسي عند تخوم، أو حدود فإن المادة حينئذ تكون متعددة الحبيبات أي تتكون من مجموعات صغيرة جداً من البلورات الحبيبات، أو البلورات الأحادية الصغيرة في اتجاهات مختلفة.

أن **الحاله البلوريه** هي الحاله الطبيعيه لغالبيه المواد الصلبه، نظراً لأن طاقة الترتيب المنتظم للذرات تكون أقل من طاقة التوزيع العشوائي لها. وعموماً إذا لم تتح لذرات المادة فرصة ترتيب نفسها كما ينبغي، كأن تكبح حركتها فإنه يمكن أن تتكون مادة غير بلوريه.

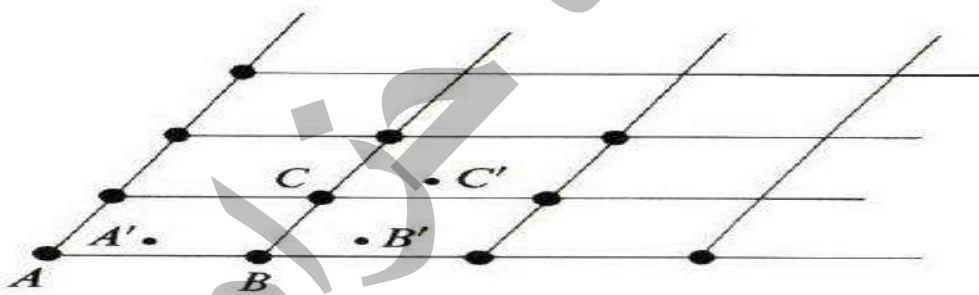
في حالات أخرى لا تتح الفرصة لنمو بلورات من سوائل عاليه اللزوجة عند تبريدها بسرعة، حيث يؤدي التبريد الفائق Supercooling الى تجميد السائل بنفس النمط غير الدوري لترتيب جزيئاته. لكن مثل هذه المواد الزجاجي يمكنها اكتساب الحاله البلوريه بصورة كليه أو جزئيه، عن طريق معالجتها حرارياً وهي عملية تسخين، تسمى التلدين أو التخمير Annealing يعقبه تبريد بمعدلات بطئه منتظمه.

**التركيب البلوري Crystal structure** : ويمكن تعريفه من العلاقة التي تربط الاساس Basis بكل نقطة من نقاط الشبكة lattice



**الاساس** : عبارة ذرة او مجموعة من الذرات تتواجد في كل موقع نقطي من نقاط الشبكة.

**الشبكة** : في علم البلورات تكون الخواص الهندسية هي موضع الاهتمام وليس تركيب المادة وعليه تستبدل كل ذرة بنقطة هندسية تقع في موضع استقرار تلك الذرة، وبذلك تكون النتيجة هي هيكل هندسي من النقاط يمتلك الخواص الهندسية للبلورة نفسها.



**Bravais lattice & A non-Bravais lattice.**

**يوجد نوعين من الشبائث:**

- 1- **الشبكة البرافيزية Bravais Lattice**: في هذا النوع تكون جميع نقاط الشبكة متكافئة، اي ان جميع الذرات في البلورة تكون من نفس النوع.
  - 2- **الشبكة غير البرافيزية Non-Bravais Lattice**: في هذا النوع تكون نقاط الشبكة غير متكافئة. حيث تكون المواقع  $A, B, C$  متكافئة مع بعضها ، لكن المواقع  $A'A, B'B, C'C$  غير متكافئة مع بعضها.
- معنى يمكن اعتبارها مزيج من شبكتين او اكثر من الشبكات البرافيزية متداخلة مع بعضها بوضع ثابت بالنسبة لبعضها الآخر.

**ما الفرق بين التركيب الذري Atomic structure والتركيب البلوري Crystal structure ؟**

التركيب الذري يتعلق بعدد النيوترونات والبروتونات في نواة الذرة وعدد الالكترونات في المدارات الالكترونية. اما التركيب البلوري فيعني بتركيب الذرات داخل المواد الصلبة البلورية بتشكيلات معينة.

**المتجهات الانتقالية في البلورة (التماثلات الانتقالية):**

تعرف البلورة المفردة المثالية بانها ترتيب منظم من وحدات متماثلة تمتد الى ما لا نهاية. تحدد الشبكة بدالة المتجهات الثلاثة  $\vec{a}$  و  $\vec{b}$  و  $\vec{c}$  (في بعض الكتب يستعمل  $\vec{a}_1$ ,  $\vec{a}_2$ ,  $\vec{a}_3$ ) وتسماى بالمتجهات الانتقالية اما المتجه الذي يربط هذه المتجهات الثلاثة فيدعى بالمؤثر الانتقالى ( $\vec{T}$ ) (ويسمى بالشبكة ثلاثية الابعاد: Translation vector)

$$\vec{T} = n_1 \vec{a} + n_2 \vec{b} + n_3 \vec{c} \quad \dots \dots (1)$$

حيث ان  $n_1, n_2, n_3$  اعداد صحيحة اختيارية.

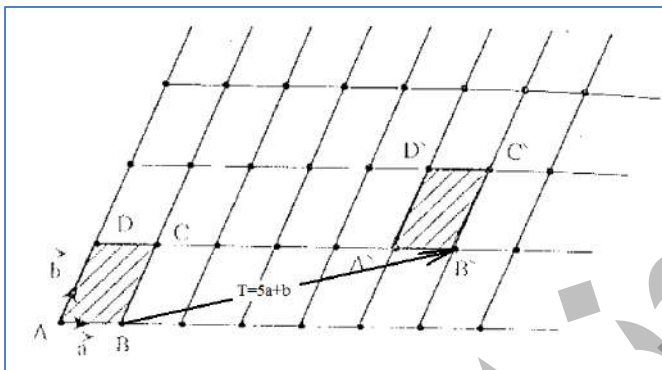
والمؤثر الانتقالى  $\vec{T}$  يربط اي موقعين داخل البلورة بحيث تبدو الذرات المحيطة بهذه المواقع متماثلة ولهذا يسمى بالمؤثر الانتقالى او المؤثر الزحفى.

حيث ان  $\vec{r}$  و  $\vec{r}'$  موقعين داخل البلورة

$$\vec{r}' = \vec{r} + \vec{T} \quad \dots \dots (2)$$

بتعويض (1) في (2) ينتج :

$$\vec{r}' = \vec{r} + n_1 \vec{a} + n_2 \vec{b} + n_3 \vec{c} \quad \dots \dots (3)$$



اي ان الترتيب يبقى نفسه بالنسبة الى النقطة المعبر عنها بالمتجه  $\vec{r}$  عند مشاهدتها من نقطة اخرى  $\vec{r}'$  كما في الشكل.

حيث نلاحظ ان المتجه الانتقالى  $T=5a+b$  يربط بين اي نقطة شبكة في خلية الوحدة ABCD والنقطة المكافئة لها في خلية الوحدة A'B'C'D'.

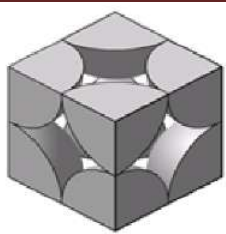
- ✓ وتعمل الشبكة ومحاورها الانتقالية بانها اولية (بدائية) primitive اذا كانت اي نقطتين في الشبكة تخضع للعلاقة (3).
- ✓ اما اذا كانت نقاط الشبكة لا تخضع للعلاقة (3) فالشبكة ومحاورها التي تحدها غير اولية (غير بدائية) non-primitive .
- ✓ المحاور الاولية للشبكة تكون اشكالاً لمتوازيات السطوح تسمى خلية وحدة اولية primitive unit cell.
- ✓ اما المحاور غير الاولية للشبكة ف تكون ايضا اشكالاً لمتوازيات السطوح تسمى خلية وحدة غير اولية non-primitive unit cell ✓

**وحدة الخلية Unit Cell:** هي اصغر وحدة في الشبكة تملأ الفضاء بتأثير المؤثر  $\vec{T}$  ويكون شبكة كاملة. (وهي اصغر وحدة في الشبكة الفراغية وهي الوحدة التي بتكرارها في الاتجاهات الثلاثة ينتج عنها البلورة). وحجم وحدة الخلية يعطى:

$$V = |\vec{a} \times \vec{b} \cdot \vec{c}| \quad \vec{a} \vec{b} \vec{c} \vec{a} \vec{b}$$

$$V = |\vec{a} \times \vec{b} \cdot \vec{c}| = |\vec{b} \times \vec{c} \cdot \vec{a}| = |\vec{c} \times \vec{a} \cdot \vec{b}|$$

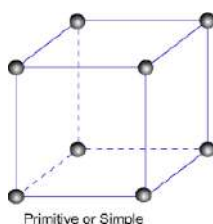
وتوجد طرق عديدة لاختيار المحاور الاولية اي عدة طرق لاختيار خلية وحدة الاولية لشبكة ما. والمهم هنا اجراء عملية الضرب الاتجاهي (cross) اولا ثم الضرب النقطي dot.



**الخلية الاولية Primitive:** هي الخلية التي تحتوي على النقاط في اركانها فقط وتكون محاورها باقصر طول ممكн وتخضع للمعادلة (3).

$$\vec{r} = \vec{r} + n_1 \vec{a} + n_2 \vec{b} + n_3 \vec{c} \quad (3) \dots$$

حيث تكون وحدة الخلية البدائية هي التي تمتلك نقاط شبيكية عند زواياها الثمانية فقط وكل زاوية تشتراك مع ثمان خلايا وبذلك يكون فقط ثمن  $\left(\frac{1}{8}\right)$  الذرة او نقطة الشبيكية يخص كل وحدة الخلية البدائية.

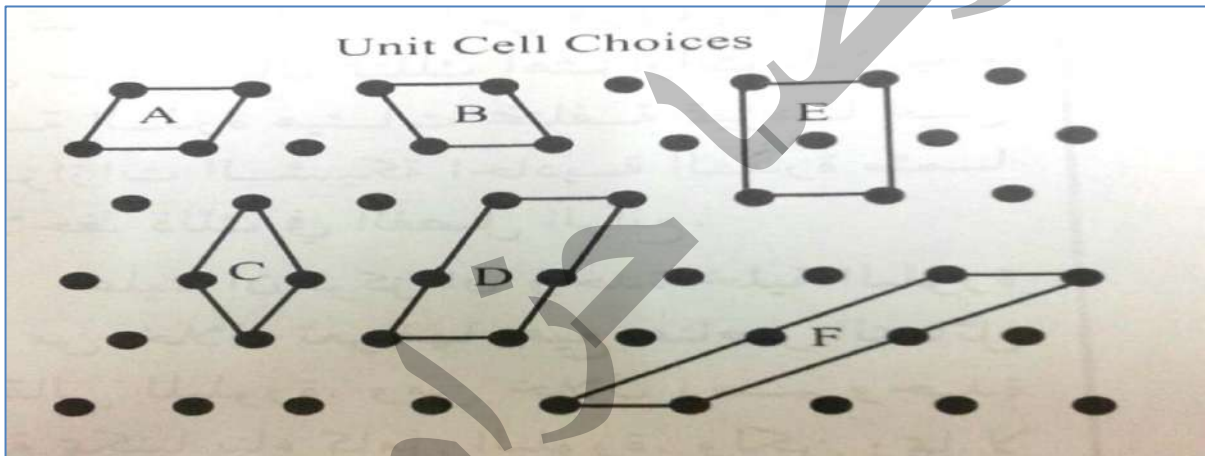


أي ان الذرات الثمانية ستساهم كل ذرة منها بثمن  $\left(\frac{1}{8}\right)$  وبذلك ستتحتوي الخلية البدائية على نقطة شبيكية واحدة او ذرة واحدة.  $1 \times \frac{1}{8} = \frac{1}{8}$

**الخلية غير الاولية Non- Primitive:** هي الخلية التي تحتوي على نقاط شبيكية اخرى بالإضافة الى الاركان. واطوال محاورها لا تكون أقصر طول. ولا تنطبق عليها المعادلة (3). في فضاء ثانوي الابعاد تكون خلية الوحدة الاولية ذات مساحة ثابتة بغض النظر عن طرق اختيار محاورها.

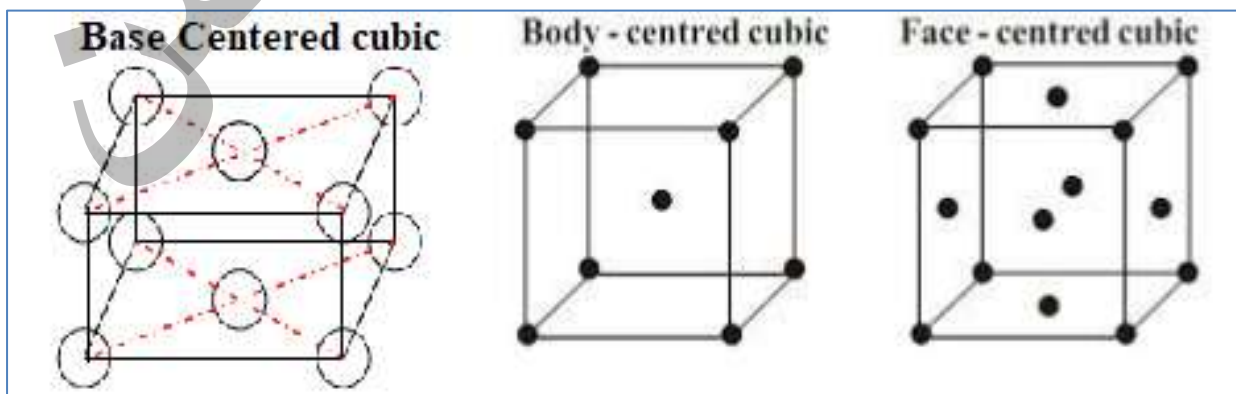
وحدة الخلية أولية كما في الخلايا A، B و C.

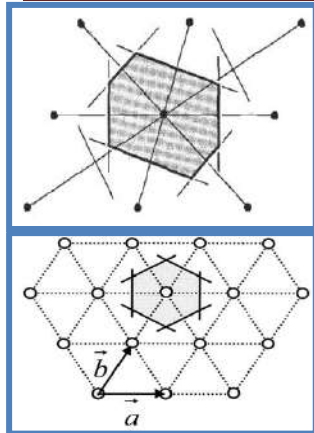
وحدة الخلية غير أولية كما في D، E، F.



أي ان الخلية غير الاولية تحتوي على أكثر من نقطة شبيكية أو ذرة واحدة و يطلق عليها ايضا الخلية المركبة لتدخل شبكتين أو أكثر لتكوين شكل مركب آخر مثل:

- خلية متمرکزة الجسم (Body-Centred) (B.C.C.)
- خلية متمرکزة الوجه (Face-Centred) (F.C.C.)
- خلية متمرکزة القاعدة (Base Centered) (B.C.C.)





**خلية ويكنر – سيتز Cell – Wegner – Seitz Cell:** هي طريقة اخرى لاختيار

الخلية الاولية (البدائية) وتلخص بما يلي:

❖ نمد خطوط مستقيمة من نقطة شبكة ما الى جميع نقاط الشبكة القريبة منها.

❖ ننصف هذه الخطوط بمستويات متعامدة.

❖ الحجم المحصور بين المستويات المتعامدة هو خلية اولية(بدائية)

وتحتوي على نقطة شبكة واحدة.

### التماثل البلوري : Crystal Symmetry

**التماثل او التنااظر Symmetry:** هو تكرار او تطابق اجزاء شكل ما حول مستوى او مستقيم او نقطة، للتماثل. فالدائرة متماثلة حول اي قطر لها (تكرر اي تعيد نفسها) والكرة متماثلة حول اكبر مستوى دائري لها. والمكعب له حالات تماثل عديدة فهو متماثل قطريا وطوليا وعرضيا وحول مركزه.

**اما عدم التماطل Asymmetry:** فهو الشكل الذي لا يملك صفة التكرار ولا يملك تطابق في اجزاءه مثل اليد اليمنى واليد اليسرى للانسان.

ان التماطل في البلورة هو عبارة عن عمليات او مؤثرات يمكن تخيل حدوثها على البلورة وبعد الانتهاء منها تبدو البلورة كأصلها اي تكرر او تعيد اجزاءها الى الموضع التي كانت تشغله قبل حدوث تلك العمليات.

عناصر التماطل: هي المحور او المستوى او المركز (النقطة) الذي تجري حوله عملية التماطل  
عمليات التماطل (مؤثرات التماطل): وهي العمليات التي تخيل حدوثها على البلورة وتعيدها الى نفسها  
عملية الانتقال Translation تحت تأثير المؤثر  $\bar{T}$  هي ليست العملية الوحيدة التي تتميز بها البلورة  
بل هناك عمليات اخرى ومنها :

العناصر الاساسية للتماثل هي :

- 1 محور تماثل دوراني مناسب
- 2 محور تماثل دوراني غير مناسب
- 3 مستوى التماطل
- 4 مركز التماطل

عملية الدوران Rotation

عملية الانعکاس Reflection

عملية الانقلاب Inversion

#### 1- محور التماطل الدوراني المناسب (عملية الدوران – محور التماطل):

محور التماطل Axis symmetry هو مستقيم وهمي يمر بمركز البلورة بحيث لو دارت دورة كاملة ( $360^\circ$ ) دون اية ازاحة لتكررت خلال تلك الدورة وضعيات البلورة عددا من المرات بحيث لا يمكن التمييز بين وضعها الاولي قبل التدوير وبين الاوضاع الجديدة التي امتنعتها خلال دورة كاملة.

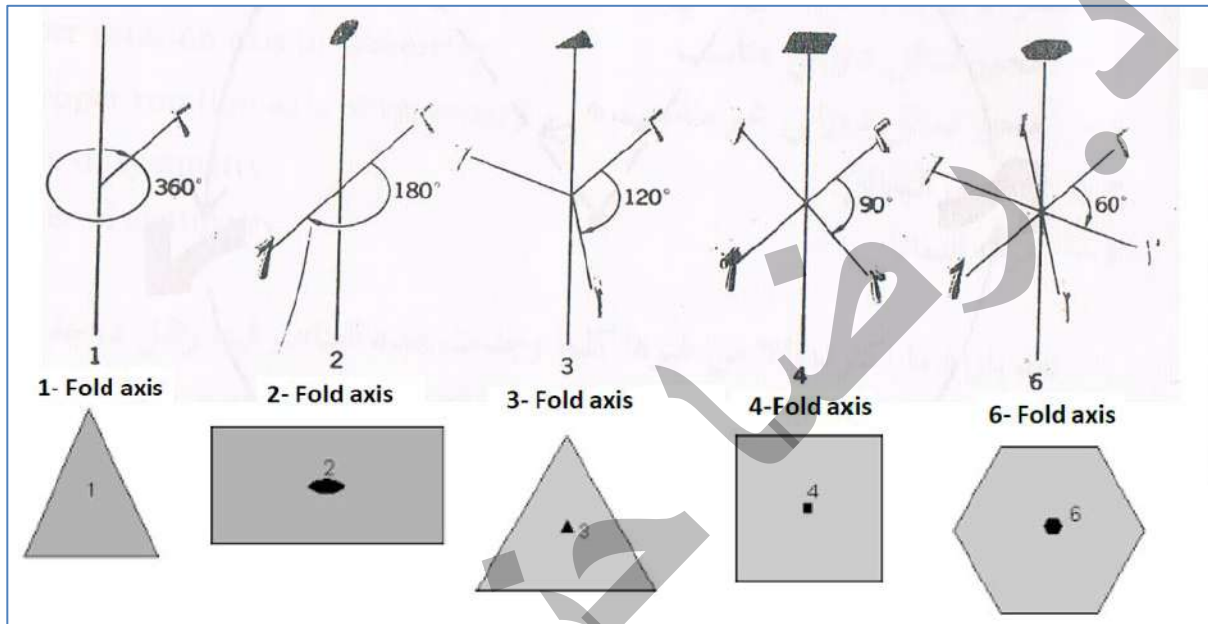
ويجب ان تكون زاوية الدوران  $\theta$  احد الاجزاء المتساوية الحاصلة من قسمة الدورة الكاملة على اعداد صحيحة  $n$  تسمى الطية الثنيات fold. حيث تمثل هذه الارقام درجات التماطل المسموح بها

$$\theta = \frac{360}{n} \quad n = 1, 2, 3, 4, 6$$

يسمى  $n$  بدرجة محور الدوران. حيث ان  $8, 7, 5$  غير مسموح بها لانها اما ان تترك فراغ او تترافق خلايا الوحدة.



- وأبسط مثال على المحور الدوراني المناسب هو دوران المروحة ذات ثلاث ريش (3 طيات) بزاوية  $120^\circ = \emptyset$  وذات اربع ريش (4 طيات)  $90^\circ = \emptyset$ .
- حيث يعرف المحور الدوراني الثنائي الثاني بأنه محور ثانوي التماض (Diad) حيث تتكرر الاشكال المتشابهة فيه مرتين خلال الدورة الكاملة بعد كل تدوير بزاوية  $180^\circ$ .
  - المحور الدوراني ثلاثي التماض (Triad) يرمز له بالعدد 3 اذا تكررت البلورة ثلاث مرات كل  $120^\circ$ .
  - محور رباعي التماض (Tetrad) ويرمز له بالعدد 4 اذا تكررت هيئة البلورة اربع مرات كل  $90^\circ$ .
  - المحور السادس التماض (Hexad) يكرر البلورة ست مرات كل  $60^\circ$  ويرمز له بالعدد 6.
  - وتسمى الأرقام 6, 4, 3, 2, 1 درجات التماض الدوراني للبلورة.



## 2- محور التماض الدوراني غير المناسب (المحور الدوراني الانعكاسي)(العملية الدورانية الانعكاسية):

وهو حدوث عملية تدوير تعقبها او تليها عملية انعكاس لكي يكرر الجسم نفسه اي انها عملية هجينه واحدة (دوران + انعكاس) وتسمى بالعملية الدورانية الانعكاسية ويسمى عنصر التماض في هذه الحالة محوراً دورانياً انعكاسياً. وتوجد خمسة محاور دورانية انعكاسية  $\tilde{1}, \tilde{2}, \tilde{3}, \tilde{4}, \tilde{6}$  فمثلاً العملية او المؤثر ( $\tilde{1}$ ) يلفظ one tilde

و للتوضيح:

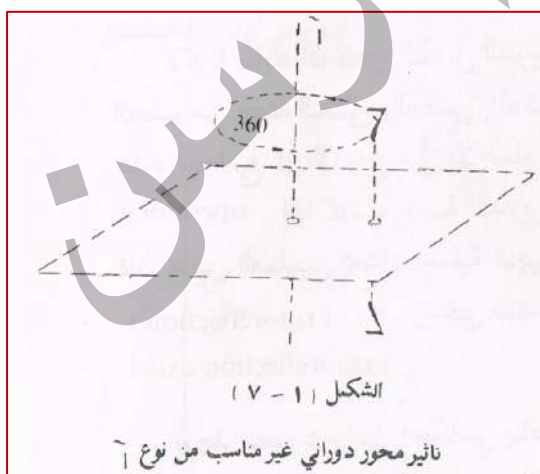
### المحور الدوراني الانعكاسي ( $\tilde{1}$ )

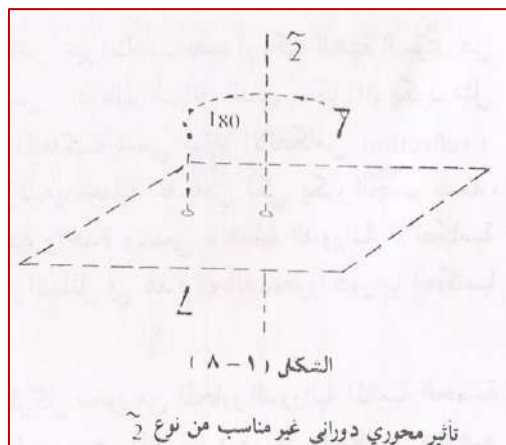
المحور الدوراني الانعكاسي  $\tilde{1}$  يدور أي جسم خلال زاوية صفر او  $360^\circ$  درجة.

$$\emptyset = \frac{360}{1} = 360$$

$$n = 1$$

المحور الدوراني الانعكاسي ( $\tilde{1}$ ) يدور أي جسم خلال زاوية صفر او  $360^\circ$  درجة يعقب ذلك عملية انعكاس. كما في الشكل.



**المحور الدوراني الانعكاسي (٢)**

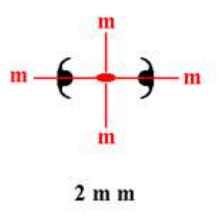
اذا كان الجسم يدور بزاوية 180 درجة حول محور وهمي عمودي على سطح وهو مي افقي

$$\emptyset = \frac{360}{2} = 180$$

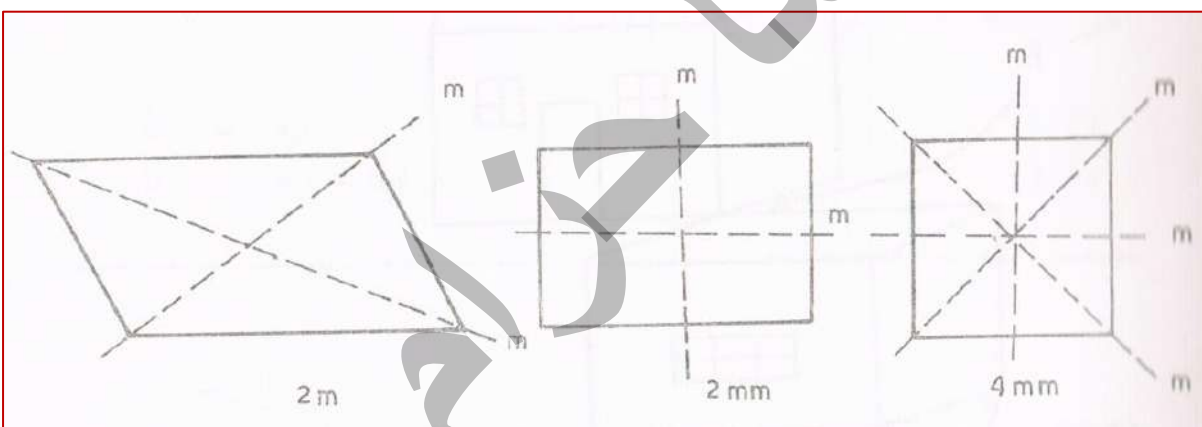
$$n = 2$$

يعقب ذلك انعكاس من خلال السطح الوهمي.

المحور الدوراني الانعكاسي (٢) يدور أي جسم خلال زاوية صفر او 180 درجة يعقب ذلك عملية انعكاس. كما في الشكل.

**3- مستوى التمايز (Plane of Symmetry) (عملية الانعكاس):**

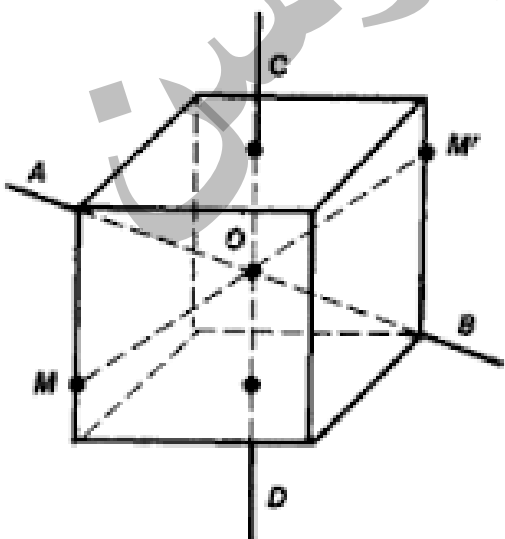
وهو مستوى وهمي يقسم الجسم او البلورة الى نصفين متشابهين بحيث يكون احد النصفين صورة مرآة للنصف الآخر مثل جسم الانسان لو قسم الى نصفين متساوين بصورة طولية. ويرمز لهذه العملية (mirror) (m). في بعض الاحيان نرى بأن الجسم يمتلك مستويين للتمايز متتقاطعين بزاوية قائمة في هذه الحالة يقال عنها مرآة مزدوجة (mm) (double mirror).

**4- مركز التمايز (Center of Symmetry) (عملية الانقلاب):**

ان مركز التمايز هو مركز انقلاب لأن لهذا المركز خاصية قلب جميع الفضاء من خلال نقطة.

او هي تلك النقطة في البلورة التي ان رسم خط مستقيم من أي نقطة ذرة على البلورة خلال المركز فإنه سيقابل نقطة مشابهة تماماً من الجانب الآخر الجزء المقابل وعلى مسافة متساوية ويرمز لمركز التمايز بالرمز C. تحليلياً بالنسبة لنقطة (x, y, z) هناك نقطة مماثلة عند  $\bar{x}, \bar{y}, \bar{z}$ .

وخلال ذلك ان مؤثر الانقلاب مركب من تدوير بزاوية 180 درجة يعقب ذلك انعكاس عبر سطح عمودي على محور الدوران.



### محور التماثل الانقلابي (Inversion axis of Symmetry)

(المحور الدوراني الانقلابي) (rotoinversion axis):

وهو على غرار المحور الدوراني (المحور الدوراني غير المناسب) ويتميز المحور الدوراني الانقلابي بوضع علامة (-) فوق رمز محور الدوران. فمثلاً :

- (محور دوراني انقلابي من النوع الثالث) او (محور التماثل الانقلابي من النوع الثالث) يعبر عنه بشكل (3) ويلفظ (three - bar) .
  - (محور دوراني انقلابي من النوع الثاني) او (محور التماثل الانقلابي من النوع الثاني) يعبر عنه بشكل (2) ويلفظ (two - bar) .
  - وهكذا (one - bar) (four - bar) (six - bar) .
- علما انه لا يوجد(محور دوراني انقلابي من النوع الخامس) او (محور التماثل الانقلابي من النوع الخامس) . أي عدم وجود محور انقلابي خماسي وكما بينا سابقاً ان درجة محور التماثل تعرف بعدد المرات التي يحل الشكل محل نفسه عند دورانه حول محور التماثل بزاوية 360 درجة. فهذا ينطبق على المحور الدوراني الانقلابي اخذين بنظر الاعتبار الإشارة السالبة. والمحور الدوراني الانقلابي هو عملية واحدة ذات مراحلتين متعاقبتين تبدأ بمرحلة التدوير (ولا يعود الجسم لوضعه الأصلي) ولكن يعقب ذلك مرحلة الانقلاب وعند الانتهاء نحصل على التماثل او التكرار اي عودة الجسم الى وضعه الأصلي.
- ملاحظة: نلاحظ ان (2) لها النتيجة او التأثير لعملية انعكاس خلال مستوى m او عملية محور دوري انعكاسي من نوع (1) .

**مجاميع نقط التماثل Point groupe symmetry :** تعرف مجاميع نقطة التماثل على انها عبارة عن مجموعة من العمليات التماثلية التي يمكن اجراءها على البلورة التي تعود الى احدى مجاميع التماثل. يمكن جمع عناصر التماثل المختلفة بطرق مختلفة وتدعى المجاميع الحاصلة بـ **مجاميع نقط التماثل او للسهولة مجاميع نقطية او مجاميع نقطة Point groups**



## تماثل المكعب:

من المفيد ان نستقي من عناصر التماثل في البلورات الحقيقية. الشكل التالي يوضح التماثل للمكعب. وفيما يلي أنواع التماثل في بلورة المكعب وهي بلورة ذات درجة ذاتية من التماثل :



1- تماثل دوراني رباعي 4 حول أي محور يمر خلال مركزى وجهين متقابلين للمكعب، أي ان للمكعب ثلاثة محاور دورانية رباعية وتسىء هذه المحاور الثلاثة عادة المحاور البلورية.

2- تماثل دوراني انقلابي ثلاثي (3) حول أي محور من المحاور الأربع باتجاه اقطار المكعب الأربعة.

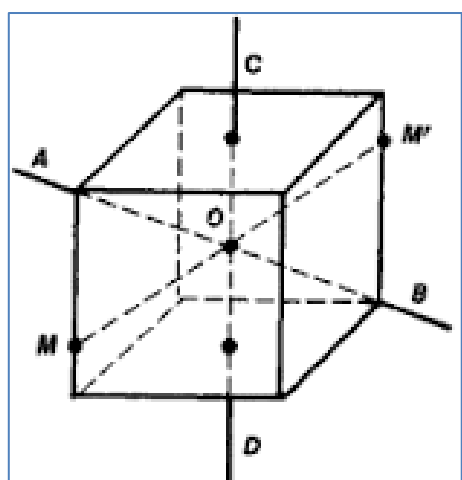
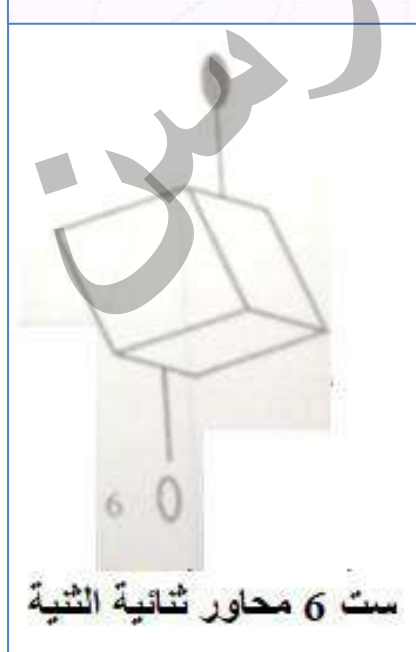
3- تماثل دوراني ثانى 2 حول محاور قطرية موازية لاقطár أوجه المكعب ومارأة في مركز المكعب، أي محاور تصل بين منتصف اضلاع المكعب المتقابلة والبعيدة وينصف كل محور الزاوية بين محوريين بلوريين. ان عدد هذه المحاور ستة محاور. هنالك ست محاور ثانية الثانية عندما يتم تدوير المكعب حول الخط الذي يربط نقاط وسط زوج اضلاع المتراسة المتوازية لبعضها الآخر.

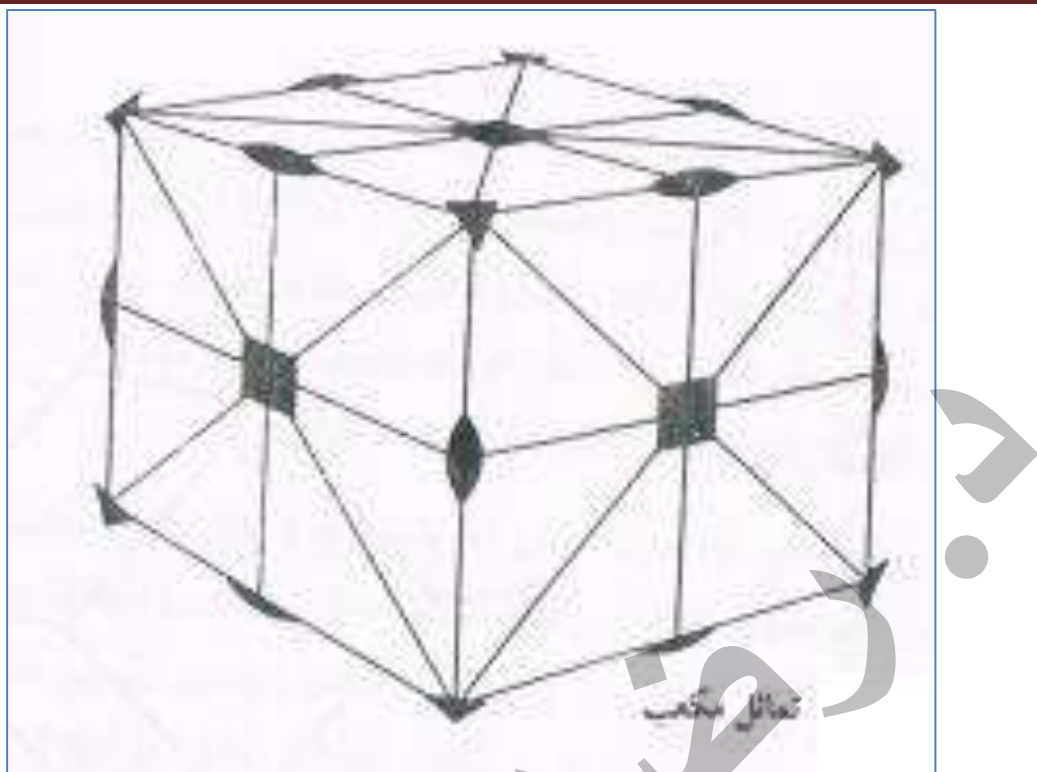
4- تماثل انعكاسي  $m$  خلال تسعة مستويات للتماثل يطلق على ثلاثة منها المستويات المحورية لأن كل مستوى يتضمن محوريين بلوريين ويكون عمودياً على المحور البلوري الثالث أي ان كل منها يوازي وجهين متقابلين في المكعب. ويطلق على المستويات الستة الأخرى المستويات القطرية لأن كل مستوى يتضمن قطرين لوجهين متقابلين أي يتضمن احد محاور التماثل الدوراني الثنائي.

5- للمكعب مركز تماثل او انقلاب  $\bar{I}$  هو مركز المكعب نفسه. ان عناصر التماثل في المكعب تمثل اعلى درجة ممكنة من التماثل بالنسبة لبقية أصناف الأنظمة البلورية.

**ملاحظة:** لمزيد من التوضيح الاطلاع:

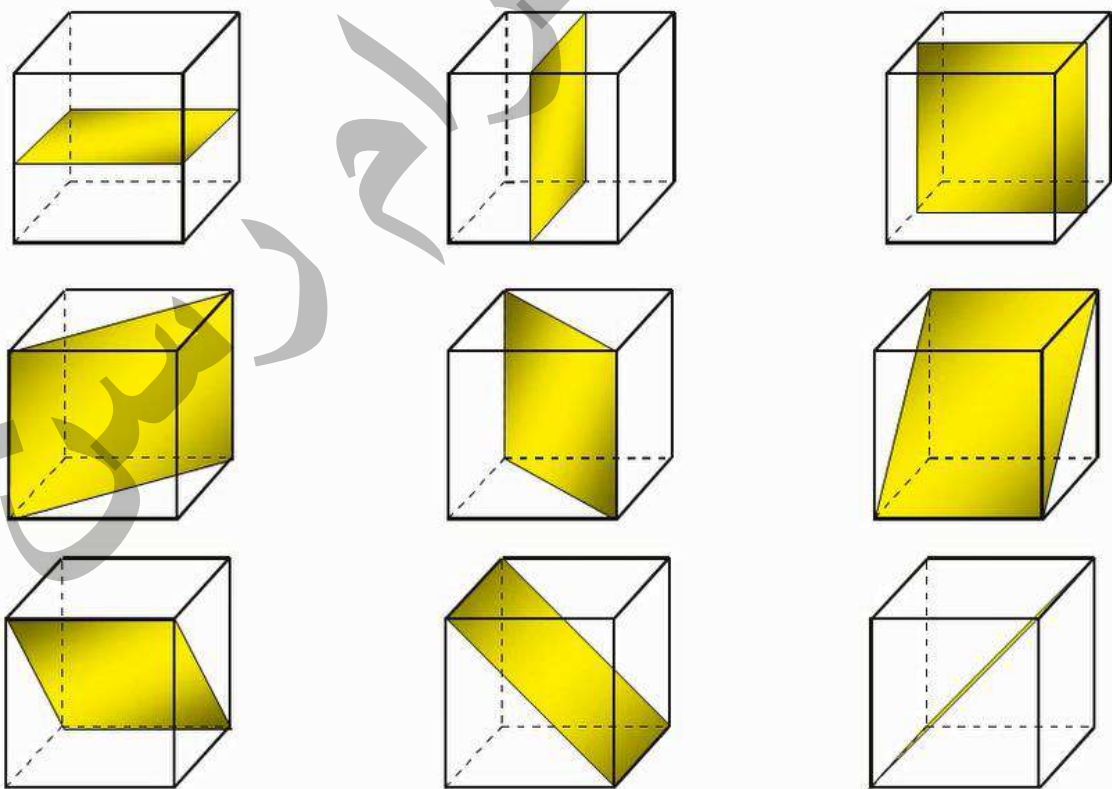
Rotational Symmetry of a Cube (Physics)  
<https://www.youtube.com/watch?v=Ch95sES5D9A>





في البلورة المكعبية هناك ثلاثة مستويات تماثل كل منها يوازي وجهين متقابلين من المكعب. والمكعب يملك تسعة مستويات تماثل في المكعب كما في الشكل التالي:

### The 9 Plane Symmetries of the Cube



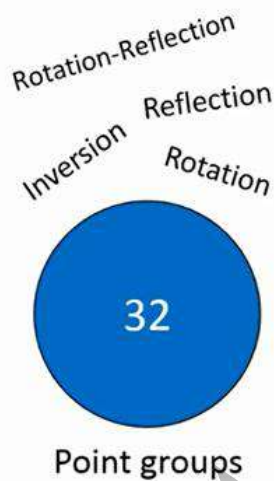
## Space groups

Combination of



Bravais lattices

with



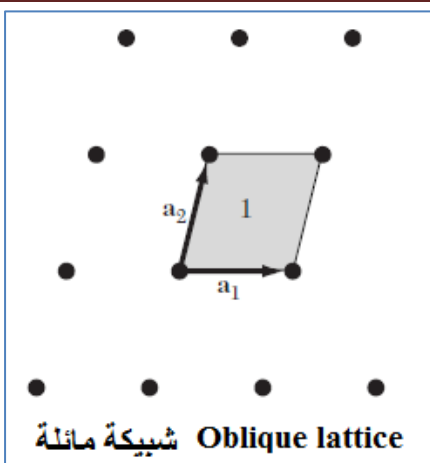
and

screw and glide symmetry

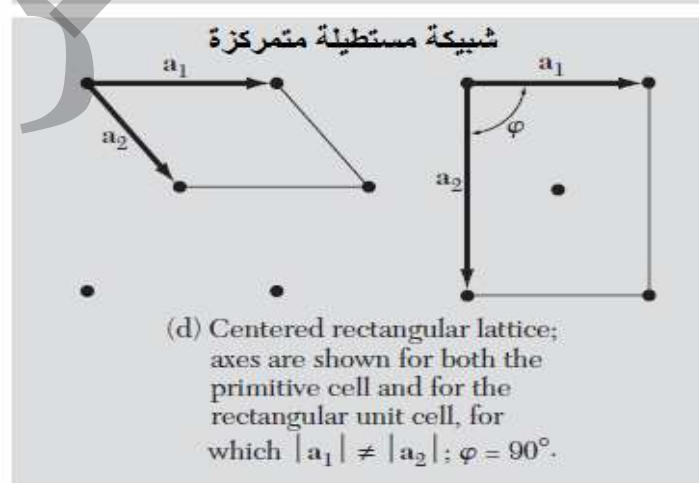
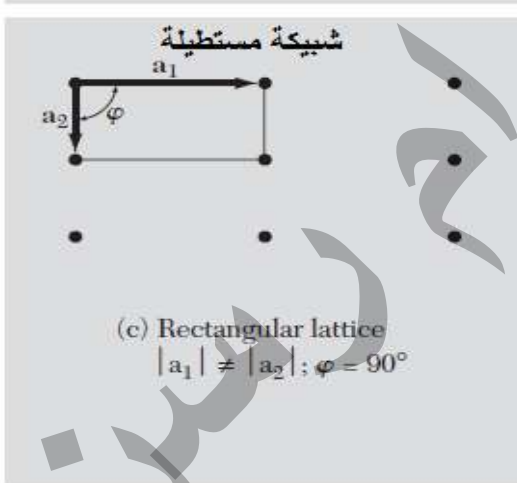
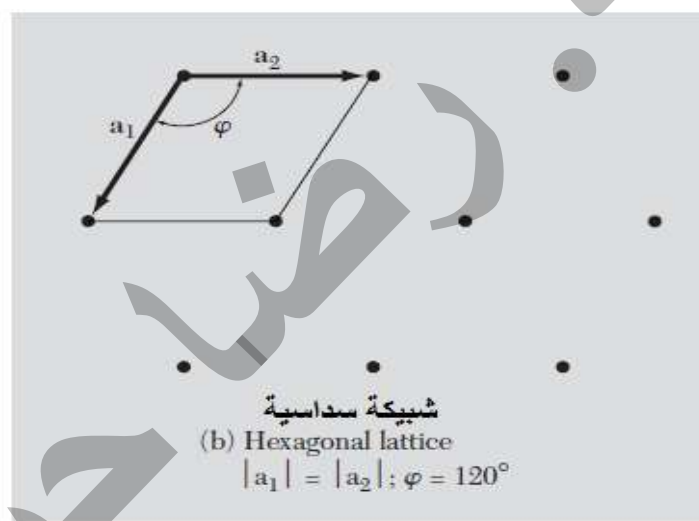
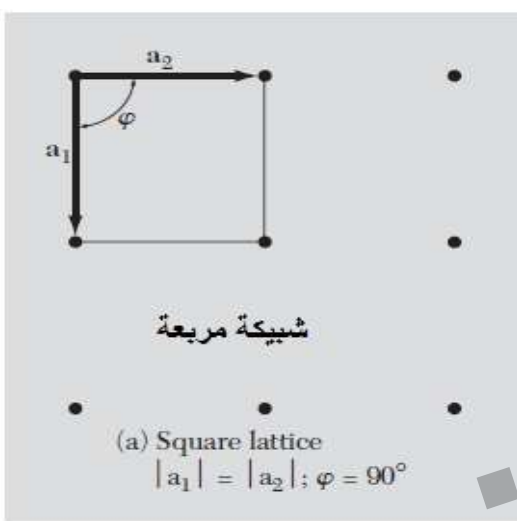
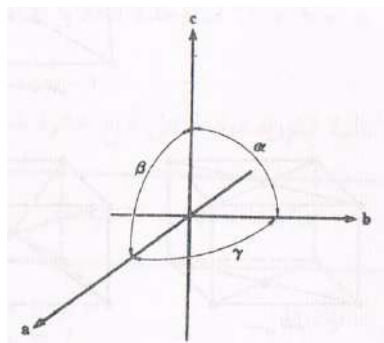
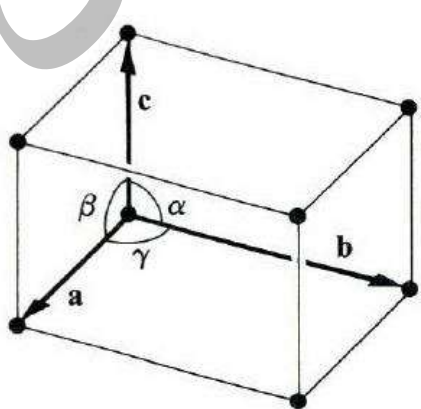
gives

Space groups  
230

dimensions	1	2	3	4	5	6
no. of 'space' groups	2	17	230	4894	~220 k	~29 mill

**الشبكات المستوية:**

الشبكات يمكن ان تجمع في خمسة انواع هي:  
**شبكة مائلة:** هي شبكة عامة ولا توجد علاقة خاصة بين اطوال متجهاتها الاساسية وان الزاوية بين هذه المتجهات غير محدودة القيمة اي ان:  $\vec{a} \neq \vec{b}, \emptyset \neq 90^\circ$

**المحاور والزوايا البلورية:**

**الشبائك الفضائية والأنظمة البلورية:**  
الشبائك البرافيزية الأربع عشرة يمكن تقسيمها على خمسة انواع اساسية تبعاً لكيفية توزع نقاط الشبكة على خلية الوحدة. والانواع الخمسة هي كالتالي:

**اولاً: شبائك بدائية اولية Primitive Lattice يرمز لها (P):** حيث تحتوي كل خلية وحدة على  $\frac{1}{8}$  نقطة في كل ركن من اركانها الثمانية وبذلك فان كل خلية وحدة اولية تحتوي على نقطة شبكية واحدة  $(8 * \frac{1}{8}) = 1$ .

**ثانياً: شبائك متمرزة الوجوه Face Centered Lattice يرمز لها بالرمز (F):** وهي تحتوي على  $\frac{1}{8}$  نقطة شبكية في اركانها الثمانية بالإضافة الى  $\frac{1}{2}$  نقطة شبكية في الوجوه الستة اي ان مجموع ما تحتويه هذه الشبائك هو 4 نقاط  $(4 = 6 * \frac{1}{2} + 8 * \frac{1}{8})$ .

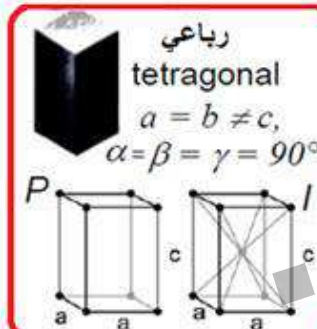
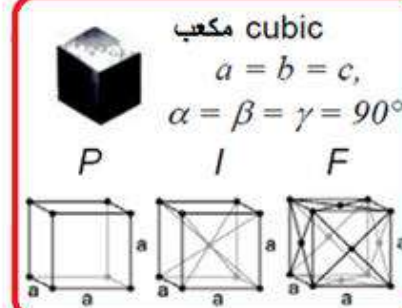
**ثالثاً: شبائك متمرزة الجسم Body Centered Lattice يرمز لها بالرمز (I):** وتحتوي  $\frac{1}{8}$  نقطة شبكية في اركانها الثمانية بالإضافة الى نقطة شبكية واحدة في مركز الجسم اي ان مجموع ما تحتويه هذه الشبائك هو نقطتين  $(2 = 1 + \frac{1}{8} * 8)$ .

**رابعاً: شبائك متمرزة الجانب او القاعدة Base or Side Centered Lattice :** يمتاز هذا النوع باحتوائه على  $\frac{1}{8}$  نقطة شبكية في اركانه الثمانية بالإضافة الى  $\frac{1}{2}$  نقطة شبكية في وجهين متقابلين من وجوهه الستة وبالتالي فان مجموع ما يحتويه من نقاط هو نقطتين  $(2 = 2 * \frac{1}{2} + 8 * \frac{1}{8})$  ويرمز لهذه الشبائك بالرمز A او B او C حسب موقع النقطتين على اوجه الخلية. فاذا كان زوج الوجه الذي يحوي نصف نقطة في كل وجه يمثل سطحي البداية والنهاية للمتجه الانتقالي الاساسي  $\vec{c}$  سميت الشبكة **C-base - centered**. ونفس الشيء تسمى A-base - centered . وايضاً B-base - centered نسبة الى المتجه  $\vec{b}$ .

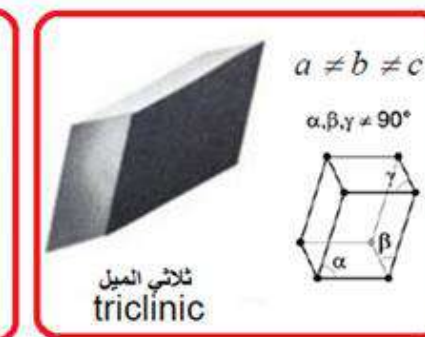
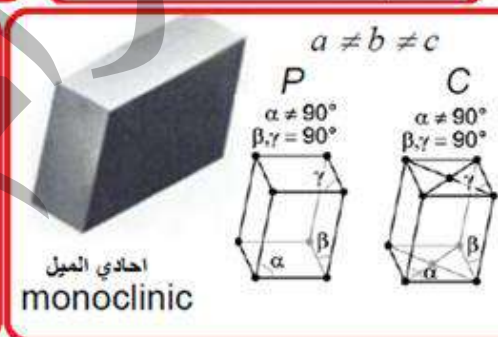
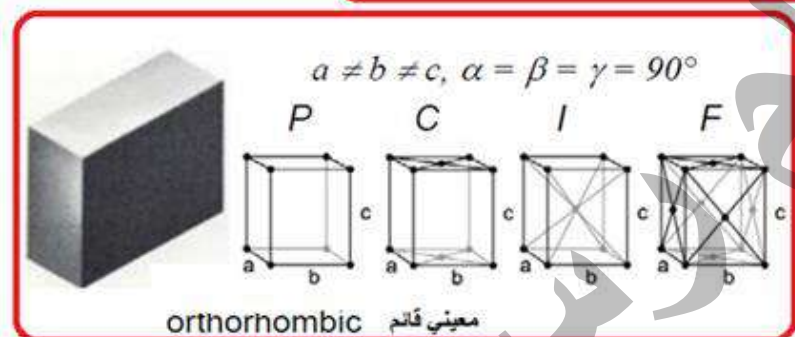
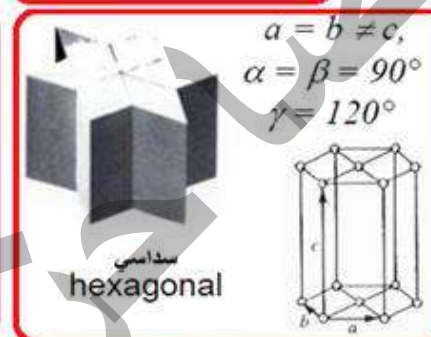
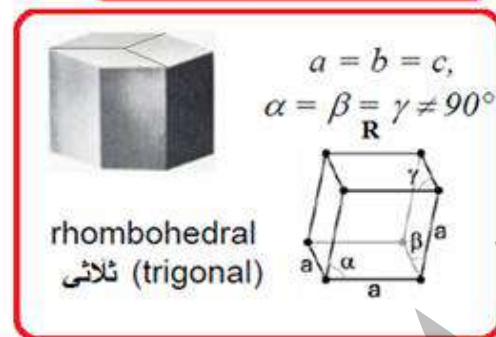
**خامساً: شبائك معينة الوجه Rhombohedral Lattice** ويرمز لها بالرمز R : وهي حالة خاصة من الشبائك الاولية. ويكون شكل الخلية معينة الوجوه لكن المحاور الثلاثة غير متعامدة اي ان  $\vec{a} = \vec{b} = \vec{c} \neq 90^\circ$  و  $\alpha = \beta = \gamma \neq 90^\circ$ .

توزيع الانواع الخمسة من الشبائك الأساسية على سبعة (7) أنظمة بلورية تشكل 14 شبكة برافيزية:  
نظام البلورة      مواصفات الخلية الاعتيادية      رموز الشبكة في النظام

P	$a \neq b \neq c$ $\alpha \neq \beta \neq \gamma$	Triclinic	١ - ثلاثي الميل
P , C	$a \neq b \neq c$ $\alpha = \gamma = 90^\circ \neq \beta$	Monoclinic	٢ - أحادي الميل
P , C , I , F	$a \neq b \neq c$ $\alpha = \beta = \gamma = 90^\circ$	Orthorhombic	٣ - معيني قائم
P , I	$a = b \neq c$ $\alpha = \beta = \gamma = 90^\circ$	Tetragonal	٤ - رباعي
P , I , F	$a = b = c$ $\alpha = \beta = \gamma = 90^\circ$	Cubic	٥ - مكعب
R	$a = b = c$ $120^\circ > \alpha = \beta = \gamma \neq 90^\circ$	Trigonal	٦ - ثلاثي
P	$a = b \neq c$ $\alpha = \beta = 90^\circ, \gamma = 120^\circ$	Hexagonal	٧ - ساداسي



الأنظمة البلورية السبعة موزعة على  
اربع عشرة شبكة برافيزية  
 $\vec{a} \vec{b} \vec{c}$  or  $\vec{a}_1 \vec{a}_2 \vec{a}_3$



## مكعب متتركز الوجه FCC

## مكعب متتركز الجسم BCC

## مكعب بسيط SC

حجم خلية الوحدة الاعتبادية

$$a^3$$

$$a^3$$

$$a^3$$

عدد نقاط الشبكة لكل خلية اعتبادية

$$1$$

$$2$$

$$4$$

حجم خلية الوحدة الاولية

$$a^3$$

$$\frac{1}{2}a^3$$

$$\frac{1}{4}a^3$$

عدد نقاط الشبكة لكل وحدة حجم

$$1/a^3$$

$$2/a^3$$

$$4/a^3$$

عدد الجوار الاول

$$6$$

$$8$$

$$12$$

مسافة الجوار الاول

$$a$$

$$3^{1/2} a/2 = 0.866a$$

$$a/2^{1/2} = 0.707a$$

عدد الجوار الثاني

$$12$$

$$6$$

$$6$$

مسافة الجوار الثاني

$$2^{1/2}a$$

$$a$$

$$a$$

نسبة الماء (نسبة الرص)

$$\frac{1}{6}\pi$$

$$\frac{1}{8}\pi\sqrt{3}$$

$$\frac{1}{6}\pi\sqrt{2}$$

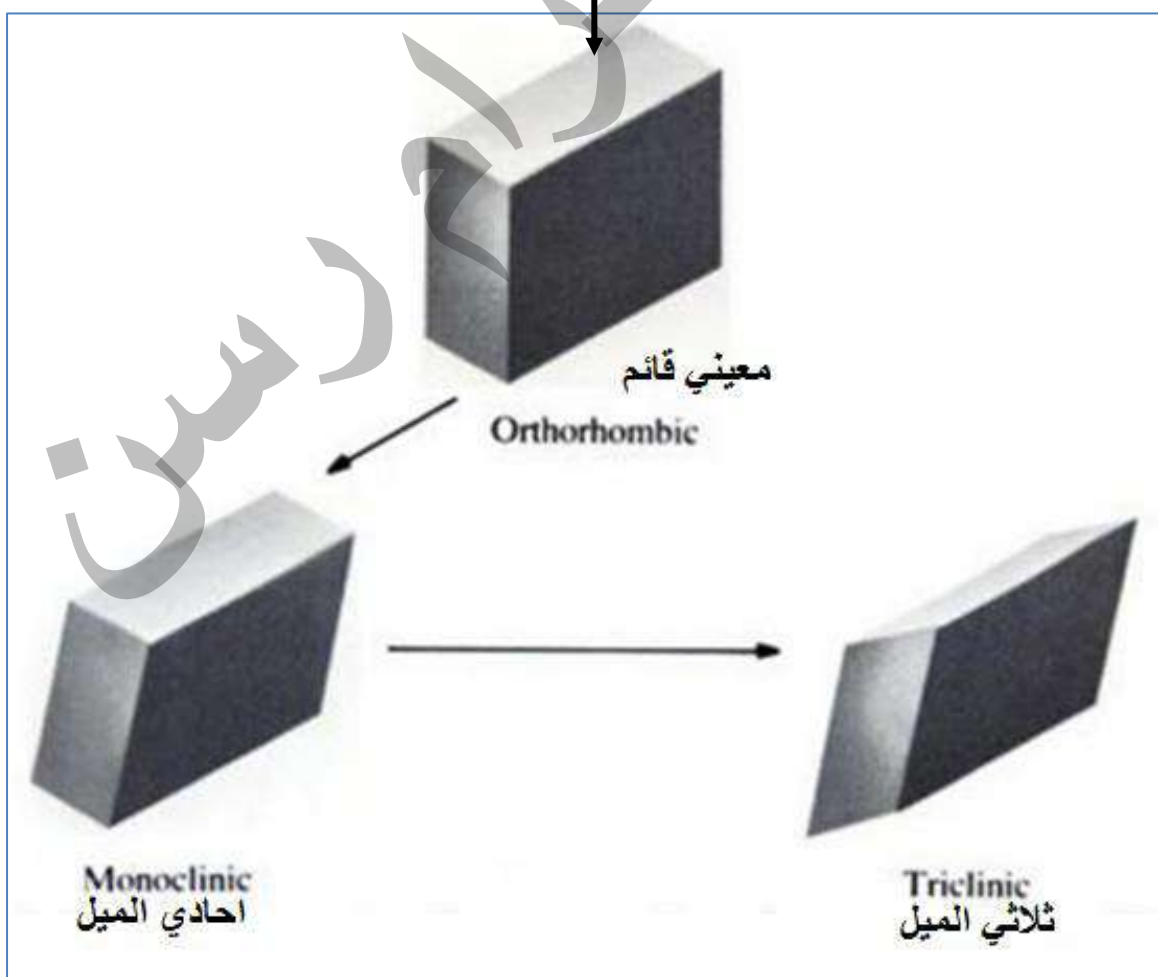
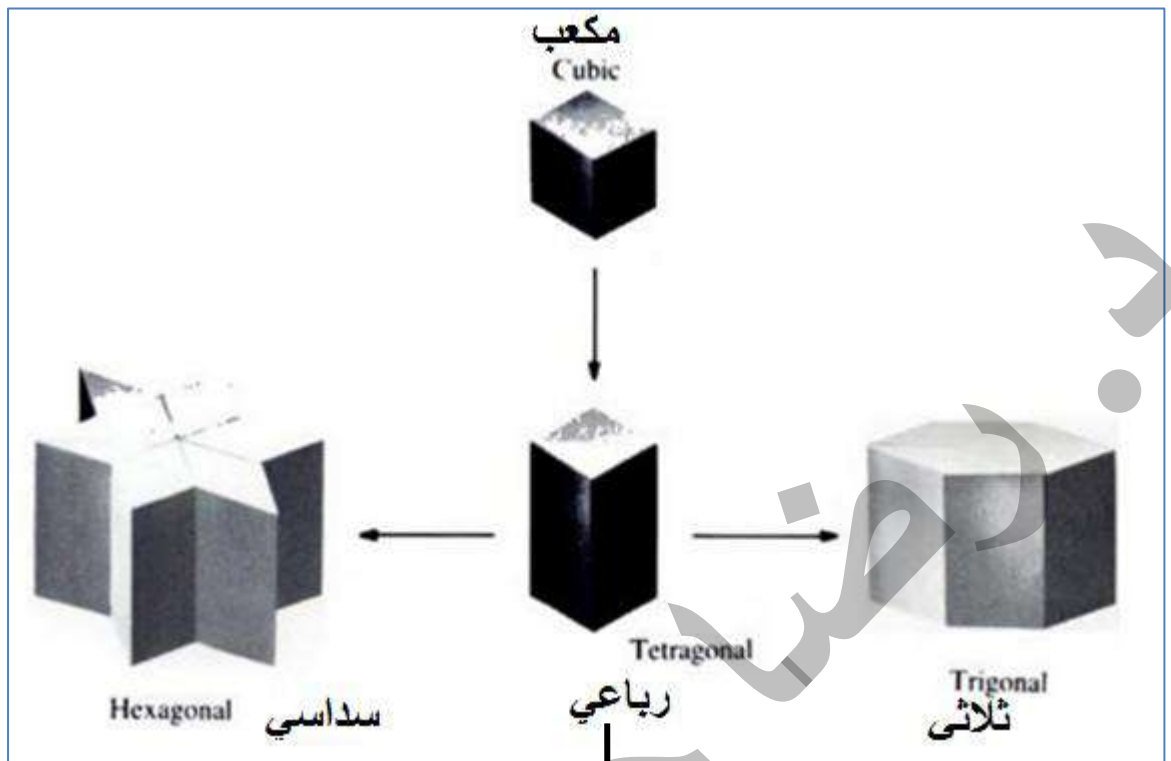
$$=0.524$$

$$=0.680$$

$$=0.740$$

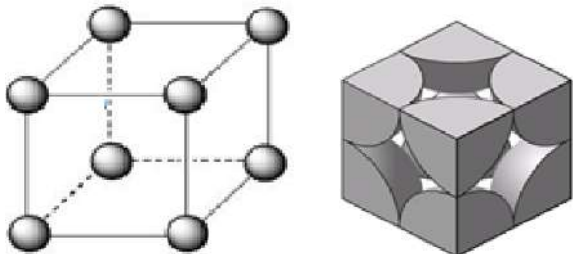
حيث ( $a=L$ )

يمكن ترتيب الانظمة البلورية السبعة من اعلاها تناظراً (المكعب) الى اوطأها تناظراً (ثلاثي الميل). نلاحظ ان Trigonal, Hexagonal لهم نفس درجة التناظر (ثلاثي الميل).



**مميزات الشبائك المكعبية:** يتضمن نظام المكعب ثلاثة انواع من الشبائك هي :

### 1- مكعب بسيط (P) Simple Cubic (SC) أو (sc)



وهو يحتوي على نقطة شبيكة واحدة اي  $\frac{1}{8}$  نقطة في كل ركن من الاركان الثمانية ومتوجهاته  $\vec{a}$  ،  $\vec{b}$  ،  $\vec{c}$  وهي متوجهات اولية طول كل منها  $a$ .

$$\frac{1}{8} * 8 = 1$$

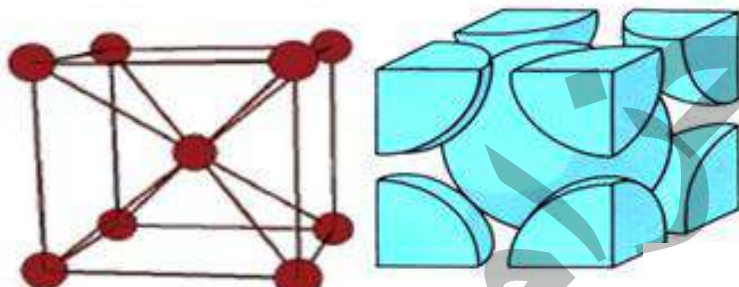
س) اثبت ان حجم خلية الوحدة الاولية لمكعب بسيط sc يساوي  $a^3$  ؟

$$\vec{a} = a\hat{x}, \vec{b} = a\hat{y}, \vec{c} = a\hat{z}$$

$$V = |\vec{a} \times \vec{b} \cdot \vec{c}| = |a\hat{x} \times a\hat{y} \cdot a\hat{z}| = |a^2 \hat{z} \cdot a\hat{z}| = |a^3|$$

$$V = a^3$$

### 2- مكعب متركمز الجسم (I) Body Centered Cubic (BCC) أو (bcc)



وهو يحتوي على نقطتين واحدة في الاركان وواحدة في مركز الخلية وهي من الشبائك غير الاولية لانه خلية الوحدة له غير اولية.

$$\text{موقع النقاطين : } \frac{1}{2}, \frac{1}{2}, \frac{1}{2} ; 000$$

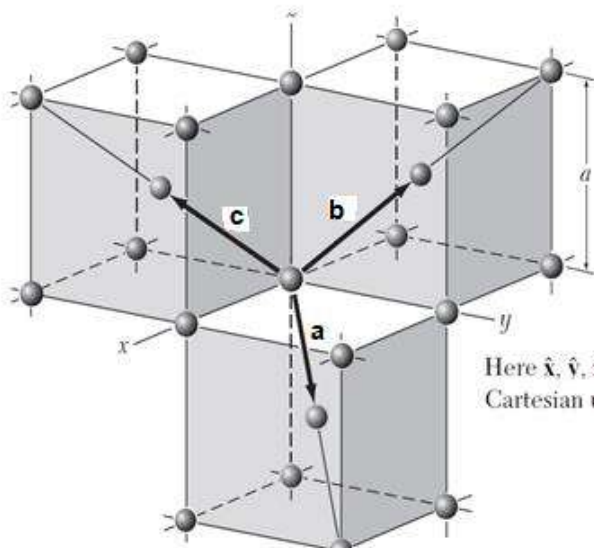
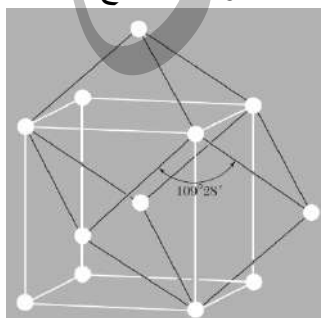
في المكعب متركمز الجسم تكون خلية الوحدة

الاولية معينية الوجه طول ضلعها  $(\frac{\sqrt{3}}{2}a)$

ومحاورها  $\vec{a}$ ،  $\vec{b}$ ،  $\vec{c}$  وتحتث مع بعضها

زاوية مقدارها

( $109^\circ$ ) تقريبا.



$$\mathbf{a} = \frac{1}{2}a(\hat{x} + \hat{y} - \hat{z}) ; \quad \mathbf{b} = \frac{1}{2}a(-\hat{x} + \hat{y} + \hat{z}) ; \\ \mathbf{c} = \frac{1}{2}a(\hat{x} - \hat{y} + \hat{z}) .$$

س/ اثبت ان حجم الخلية الاولية لشبكة مكعب متمركز الجسم bcc يساوي  $\left(\frac{1}{2}\right)$  حجم خلية الوحدة الاعتيادية لنفس الشبكة.

$$\vec{a} = \frac{1}{2}a(-\hat{x} + \hat{y} + \hat{z})$$

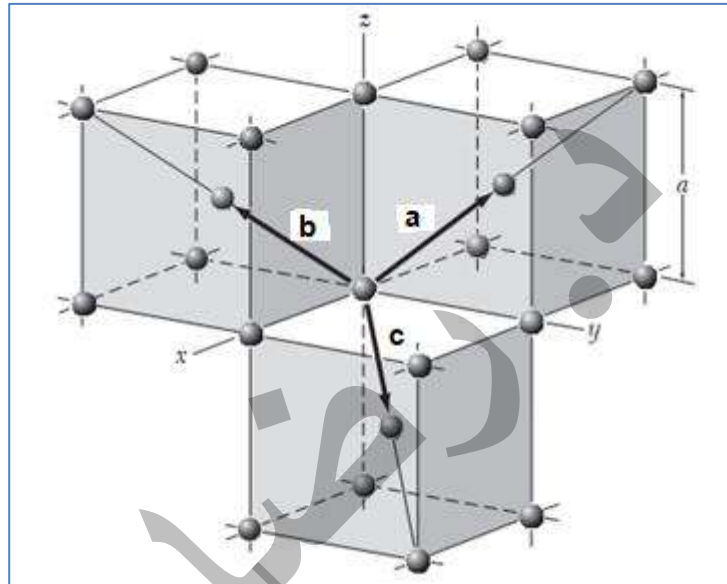
$$\vec{b} = \frac{1}{2}a(\hat{x} - \hat{y} + \hat{z})$$

$$\vec{c} = \frac{1}{2}a(\hat{x} + \hat{y} - \hat{z})$$

$$V_c = \vec{a} \times \vec{b} \cdot \vec{c}$$

$$(\vec{a} \times \vec{b}) = \left\{ \frac{1}{2}a(-\hat{x} + \hat{y} + \hat{z}) \right\} \\ \times \left\{ \frac{1}{2}a(\hat{x} - \hat{y} + \hat{z}) \right\}$$

$$(\vec{a} \times \vec{b}) = \begin{vmatrix} \hat{x} & \hat{y} & \hat{z} \\ -\frac{a}{2} & \frac{a}{2} & \frac{a}{2} \\ \frac{a}{2} & -\frac{a}{2} & \frac{a}{2} \end{vmatrix}$$



$$\vec{a} \times \vec{b} = \begin{vmatrix} \hat{x} & \hat{y} & \hat{z} \\ -\frac{a}{2} & \frac{a}{2} & \frac{a}{2} \\ \frac{a}{2} & -\frac{a}{2} & \frac{a}{2} \end{vmatrix} - \begin{vmatrix} \hat{x} & \hat{y} & \hat{z} \\ -\frac{a}{2} & \frac{a}{2} & \frac{a}{2} \\ \frac{a}{2} & \frac{a}{2} & -\frac{a}{2} \end{vmatrix}$$

$$\vec{a} \times \vec{b} = \left( \frac{a^2}{4} + \frac{a^2}{4} \right) \hat{x} + \left( \frac{a^2}{4} - \frac{-a^2}{4} \right) \hat{y} + \left( \frac{a^2}{4} - \frac{a^2}{4} \right) \hat{z}$$

$$\vec{a} \times \vec{b} = \frac{a^2}{2} \hat{x} + \frac{a^2}{2} \hat{y}$$

$$V_c = \vec{a} \times \vec{b} \cdot \vec{c} = \left( \frac{a^2}{2} \hat{x} + \frac{a^2}{2} \hat{y} \right) \cdot \left( \frac{a}{2} \hat{x} + \frac{a}{2} \hat{y} - \frac{a}{2} \hat{z} \right)$$

∴

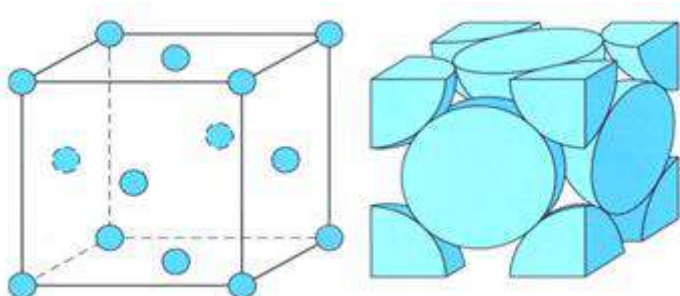
$$\hat{x} \cdot \hat{x} = |\hat{x}| |\hat{x}| \cos 0 = 1$$

$$\hat{x} \cdot \hat{y} = |\hat{x}| |\hat{y}| \cos 90 = 0$$

$$\vec{a} \times \vec{b} \cdot \vec{c} = \left( \frac{a^2}{2} \right) \left( \frac{a}{2} \right) + \left( \frac{a^2}{2} \right) \left( \frac{a}{2} \right)$$

$$\therefore V = |\vec{a} \times \vec{b} \cdot \vec{c}| = \left( \frac{a^3}{4} \right) + \left( \frac{a^3}{4} \right) = \frac{2a^3}{4} = \frac{a^3}{2} = \frac{1}{2}a^3$$

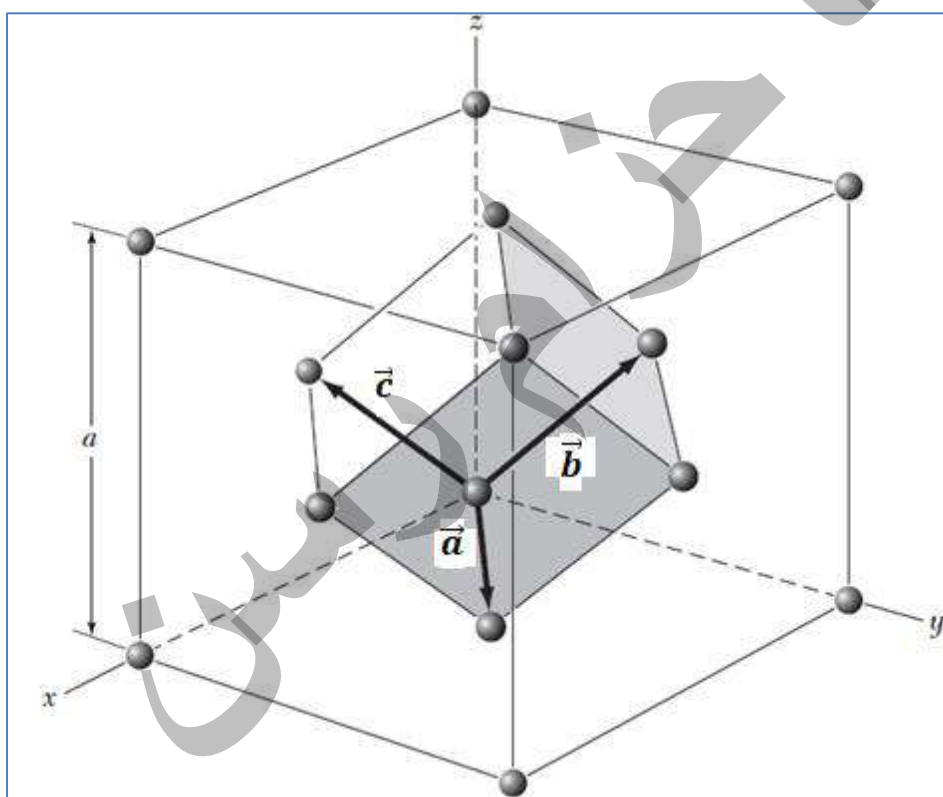
## 2- مكعب متمرکز الاوجه : (FCC fcc) Face Centered Cubic (F)



يحتوي على اربع نقاط شبكة ، نقطة من الاركان ونصف نقطة في كل وجه من الوجوه الستة. وهي ليست شبكة اولية لأن خلية الوحدة لها ليست اولية. وللحصول على المتجهات الاولية نرسم

ثلاثة متجهات صادرة عن نقطة شبكة في احد ارکان المکعب ونعتبرها نقطة الاصل بحيث تنتهي ببنقط الشبكة الواقعه في مراكز الوجه القريبة من نقطة الاصل كما في الشكل المجاور. نکمل معینی الاوجه لنحصل على خلية الوحدة ذات المتجهات الاولية.

$$\text{موقع النقاط: } 000, 0\frac{1}{2}\frac{1}{2}, \frac{1}{2}0\frac{1}{2}, \frac{1}{2}\frac{1}{2}0$$



$$\vec{a} = \frac{1}{2}a(\hat{x} + \hat{y})$$

$$\vec{b} = \frac{1}{2}a(\hat{y} + \hat{z})$$

$$\vec{c} = \frac{1}{2}a(\hat{x} + \hat{z})$$

س/ اثبت ان حجم الخلية الاولية لشبكة مكعب متتمرکز الاوچه fcc هو  $\frac{1}{4}$  حجم الخلية الاعتيادية ل تلك الشبكة.

$$\vec{a} = \frac{1}{2}\mathbf{a}(\hat{\mathbf{y}} + \hat{\mathbf{z}})$$

$$\vec{b} = \frac{1}{2}\mathbf{a}(\hat{\mathbf{x}} + \hat{\mathbf{z}})$$

$$\vec{c} = \frac{1}{2}\mathbf{a}(\hat{\mathbf{x}} + \hat{\mathbf{y}})$$

$$V = |\vec{a} \cdot \vec{b} \times \vec{c}| = \frac{1}{4}a^3$$

$$V_c = \vec{a} \cdot (\vec{b} \times \vec{c})$$

$$(\vec{b} \times \vec{c}) = \begin{vmatrix} \hat{\mathbf{x}} & \hat{\mathbf{y}} & \hat{\mathbf{z}} \\ \frac{\mathbf{a}}{2} & 0 & \frac{\mathbf{a}}{2} \\ \frac{\mathbf{a}}{2} & \frac{\mathbf{a}}{2} & 0 \end{vmatrix}$$

$$\vec{b} \times \vec{c} = \begin{vmatrix} \hat{\mathbf{x}} & \hat{\mathbf{y}} & \hat{\mathbf{z}} \\ \frac{\mathbf{a}}{2} & 0 & \frac{\mathbf{a}}{2} \\ \frac{\mathbf{a}}{2} & \frac{\mathbf{a}}{2} & 0 \end{vmatrix} \begin{vmatrix} \hat{\mathbf{x}} & \hat{\mathbf{y}} & \hat{\mathbf{z}} \\ \frac{\mathbf{a}}{2} & 0 & \frac{\mathbf{a}}{2} \\ \frac{\mathbf{a}}{2} & \frac{\mathbf{a}}{2} & 0 \end{vmatrix}$$

$$\vec{b} \times \vec{c} = \left(0 - \frac{a^2}{4}\right)\hat{\mathbf{x}} + \left(\frac{a^2}{4} - 0\right)\hat{\mathbf{y}} + \left(\frac{a^2}{4} - 0\right)\hat{\mathbf{z}}$$

$$\vec{b} \times \vec{c} = -\frac{a^2}{4}\hat{\mathbf{x}} + \frac{a^2}{4}\hat{\mathbf{y}} + \frac{a^2}{4}\hat{\mathbf{z}}$$

$$\vec{a} \cdot (\vec{b} \times \vec{c}) = \left(\frac{a}{2}\hat{\mathbf{y}} + \frac{a}{2}\hat{\mathbf{z}}\right) \cdot \left(-\frac{a^2}{4}\hat{\mathbf{x}} + \frac{a^2}{4}\hat{\mathbf{y}} + \frac{a^2}{4}\hat{\mathbf{z}}\right)$$

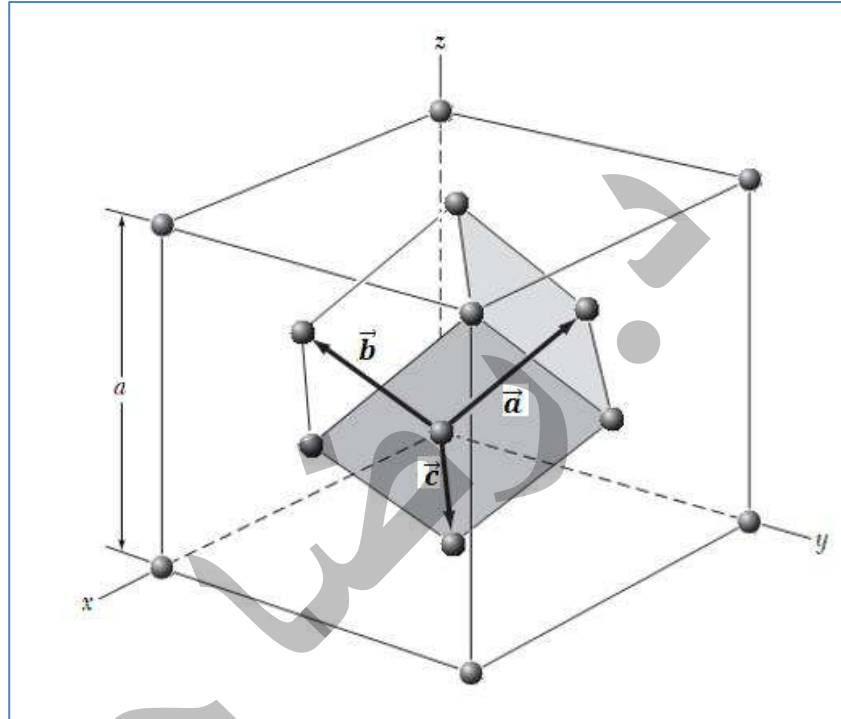
$$\hat{\mathbf{x}} \cdot \hat{\mathbf{x}} = |\hat{\mathbf{x}}||\hat{\mathbf{x}}| \cos 0 = 1$$

$$\hat{\mathbf{x}} \cdot \hat{\mathbf{y}} = |\hat{\mathbf{x}}||\hat{\mathbf{y}}| \cos 90 = 0$$

$$\vec{a} \cdot (\vec{b} \times \vec{c}) = \left(\frac{a}{2}\right)\left(\frac{a^2}{4}\right) + \left(\frac{a}{2}\right)\left(\frac{a^2}{4}\right)$$

$$\vec{a} \cdot (\vec{b} \times \vec{c}) = \frac{a^3}{8} + \frac{a^3}{8} = \frac{a^3}{4}$$

$$\therefore V = |\vec{a} \cdot \vec{b} \times \vec{c}| = \frac{1}{4}a^3$$



**نسبة الملء (Packing Fraction) او نسبة الرص (نسبة التنضيد) (Filling fraction)**

هي النسبة بين حجم الذرات الموجودة في خلية الى حجم تلك الخلية.  
او هو اكبر نسبة من حجم الخلية يمكن ان تشغله حجم الذرات الموجودة في خلية الوحدة.

$$\text{نسبة الرص (الملء)} = \frac{\text{حجم الذرة الواحدة} * \text{عدد الذرات في خلية الوحدة}}{\text{حجم خلية الوحدة}} * \%100$$

$$PF = \frac{N_{atoms} V_{atom}}{V_{crystal}}$$

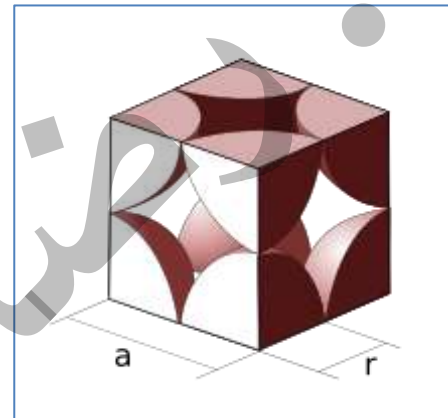
مثال 1: احسب نسبة الملء نسبة الرص (نسبة التنضيد) في تركيب مكعب بسيط SC ؟

$$N = \text{The lattice points sc} = \frac{1}{8} \times 8 = 1$$

$$a = 2r \quad V_{crystal} = a^3$$

$$PF = \frac{N_{atoms} V_{atom}}{V_{unit\ cell}} = \frac{1 \cdot \frac{4}{3}\pi r^3}{(2r)^3}$$

$$= \frac{\pi}{6} \approx 0.5236$$



مثال 2: احسب نسبة الملء نسبة الرص (نسبة التنضيد) في تركيب مكعب متمرکز الجسم BCC ؟

**Solution:**

في تركيب BCC الذرات تلامس بعضها البعض على امتداد قطر المكعب كما موضح في الشكل. ولذا فان القطر سيساوي  $4r$

$$AC^2 = AB^2 + BC^2 = a^2 + a^2 = 2a^2$$

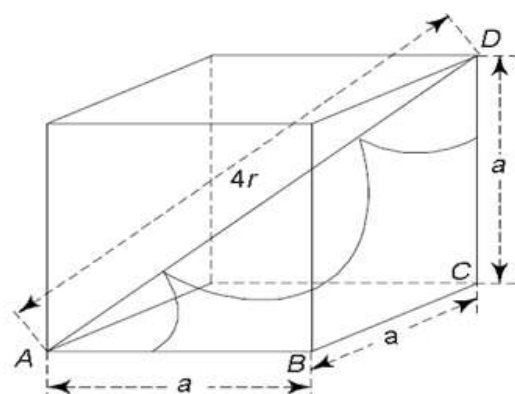
$$AD^2 = AC^2 + CD^2 = 2a^2 + a^2 = 3a^2$$

$$(4r)^2 = 3a^2$$

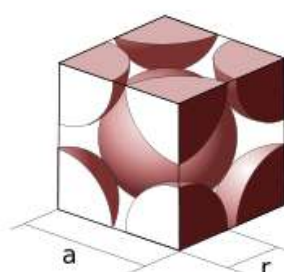
$$\therefore \text{or } a = \frac{4r}{\sqrt{3}}$$

$$N = \text{The lattice points bcc} = \left(\frac{1}{8} \times 8\right) + 1 = 2$$

$$a = \frac{4r}{\sqrt{3}} \quad V_{crystal} = a^3$$



$$APF = \frac{N_{atoms} V_{atom}}{V_{crystal}} = \frac{2 \cdot \frac{4}{3}\pi r^3}{\left(\frac{4r}{\sqrt{3}}\right)^3} = \frac{\pi\sqrt{3}}{8} \approx 0.68017476$$

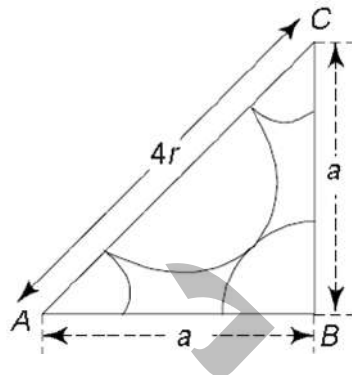


مثال 3: احسب نسبة الملء نسبة الرص (نسبة التضييد) في تركيب مكعب متمركز الاوجه FCC؟

**Solution:**  $V_{crystal} = a^3$

$$N = \text{The lattice points fcc} = \left(\frac{1}{8} \times 8\right) + (3 \times 1) = 4$$

**FCC Structure:** Atoms within this structure touch along the diagonal of any face of the cube. The diagonal has a length of  $4r$ .



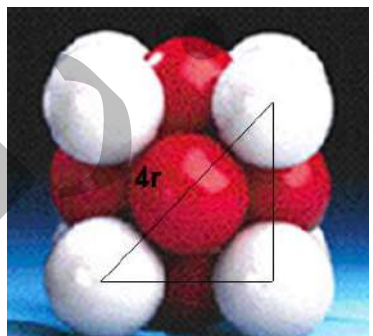
$$AC^2 = AB^2 + BC^2$$

$$(4r)^2 = a^2 + a^2$$

$$\therefore r^2 = \frac{2a^2}{16}$$

$$\text{or } r = \frac{\sqrt{2}a}{4} = \frac{a}{2\sqrt{2}}$$

$$\text{or } a = 2\sqrt{2}r$$



The packing fraction is

$$APF = \frac{N_{atoms} V_{atom}}{V_{crystal}} = \frac{\frac{4}{3}\pi r^3}{(2\sqrt{2}r)^3} = \frac{\frac{4}{3}\pi r^3}{8 \times 2\sqrt{2}r^3} = \frac{\pi}{3\sqrt{2}} = 0.74$$

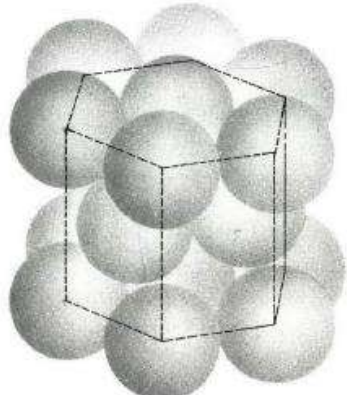
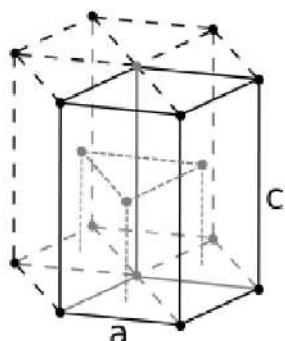
مثال 4: احسب نسبة الملء نسبة الرص (نسبة التضييد) في التركيب السداسي المقفل الملء او المتماسك (التركيب السداسي المتلاصق الرص) hcp

$$a = 2r$$

$$c = 4\sqrt{\frac{2}{3}}r$$

$$APF = \frac{N_{atoms} V_{atom}}{V_{crystal}} = \frac{6 \cdot \frac{4}{3}\pi r^3}{\frac{3\sqrt{3}}{2}a^2c}$$

$$\begin{aligned} APF &= \frac{6 \cdot \frac{4}{3}\pi r^3}{\frac{3\sqrt{3}}{2}(2r)^2 \sqrt{\frac{2}{3}} \cdot 4r} \\ &= \frac{6 \cdot \frac{4}{3}\pi r^3}{\frac{3\sqrt{3}}{2} \sqrt{\frac{2}{3}} \cdot 16r} = \frac{\pi}{\sqrt{18}} \\ &= \frac{\pi}{3\sqrt{2}} \approx 0.74048 \end{aligned}$$



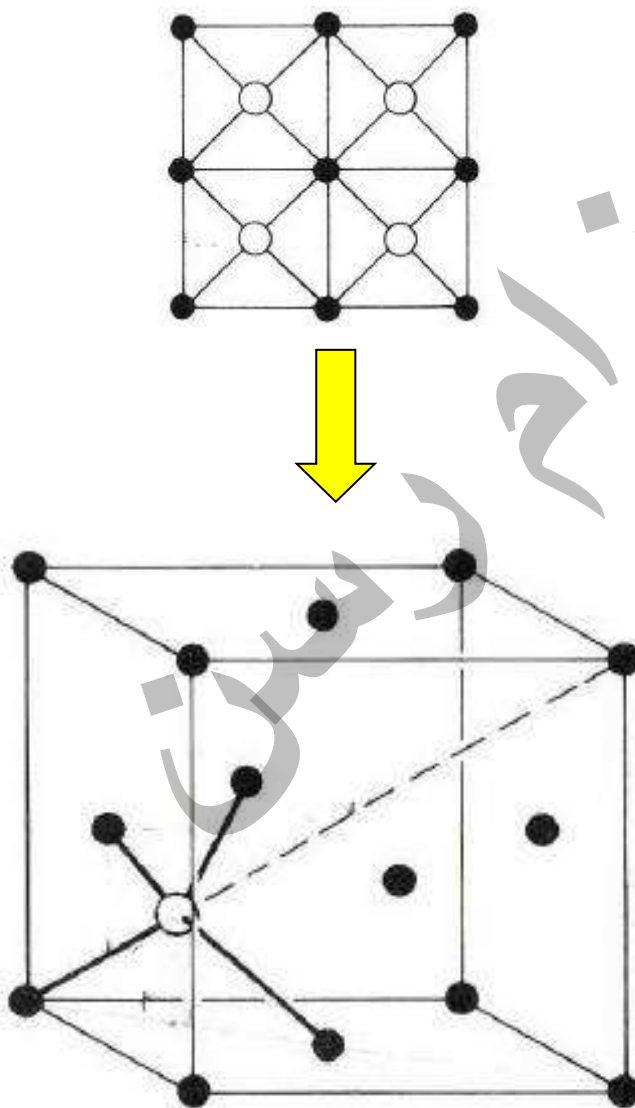
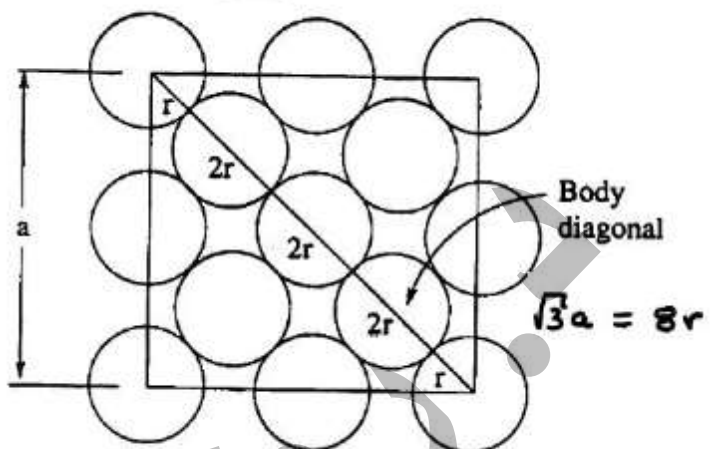
### مثال 5: احسب نسبة المليء نسبة الرص (نسبة التضييد) في الماس Diamond؟

الشكل يوضح تركيب الماس كما ينظر لها من الاعلى  
عدد الذرات في تركيب الماس هو

$$8 \times 1/8 + 6 \times 1/2 + 4 = 8,$$

من الاركان ومن الاوجه ومن الداخل على التوالي  
طول نصف القطر هو  $\sqrt{3}a/8$   
لذا فان نسبة الرص تعطى

$$\begin{aligned} P.f_{\text{diamond}} &= \frac{\text{atoms}}{V_{\text{diamond}}} \\ &= \frac{8 \times (4\pi/3)r^3}{a^3} \\ &= \frac{8 \times (4\pi/3) \times (\sqrt{3}a/8)^3}{a^3} \\ &= \frac{\sqrt{3}\pi}{16} \approx 0.34. \end{aligned}$$

**Diamond:** الماس

**معاملات الوجه (الادلة) Indices of the face**

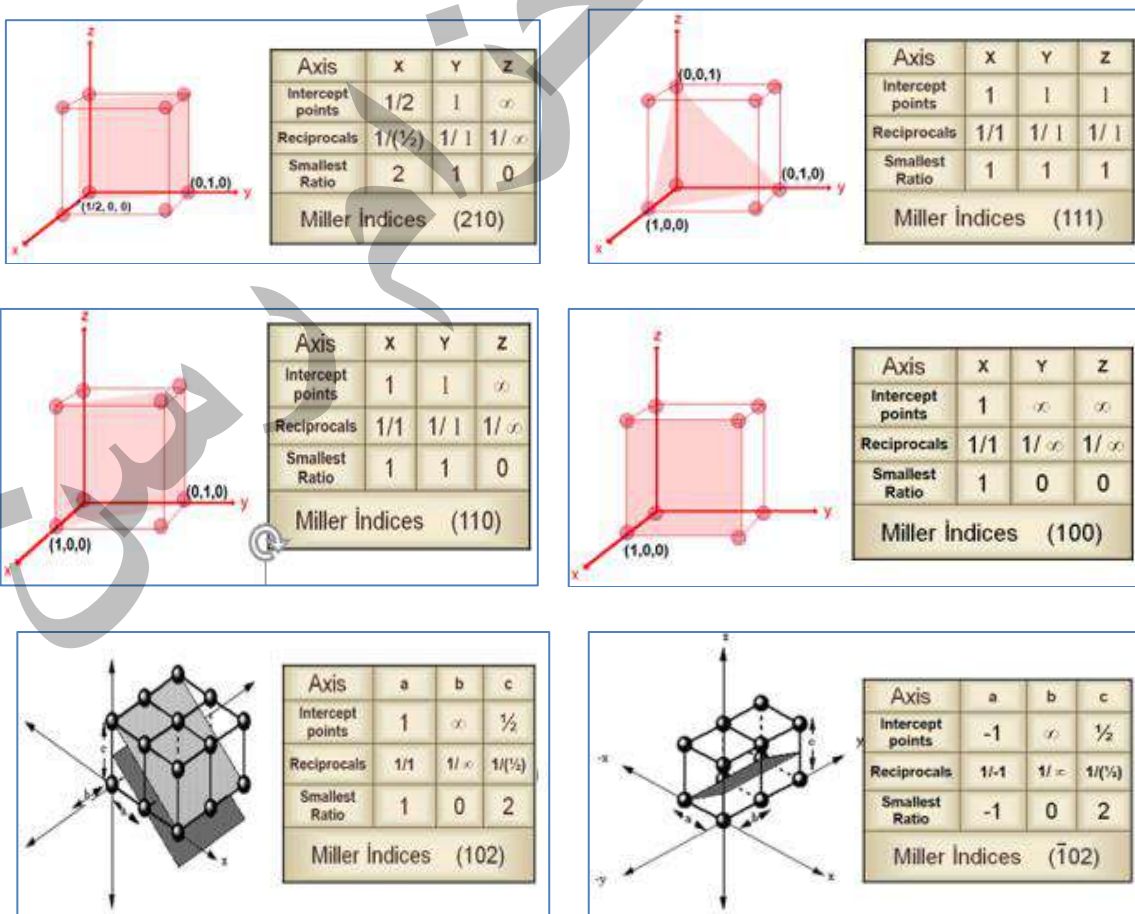
لدراسة التركيب البلوري يكون من الضروري ان نتخيل البلورة و كانها شبيكة من مجاميع من الوجه او السطوح الذرية المتوازية وهذه السطوح توصف بدلاله معاملات او ادلة تدعى indices وهي عبارة عن رموز او قيم مختصرة مشتقة اساساً من الاحداثيات او التقاطعات البلورية parameters لذلك الوجه لتعبر عن وضعيته وعلاقته بالمحاور البلورية.

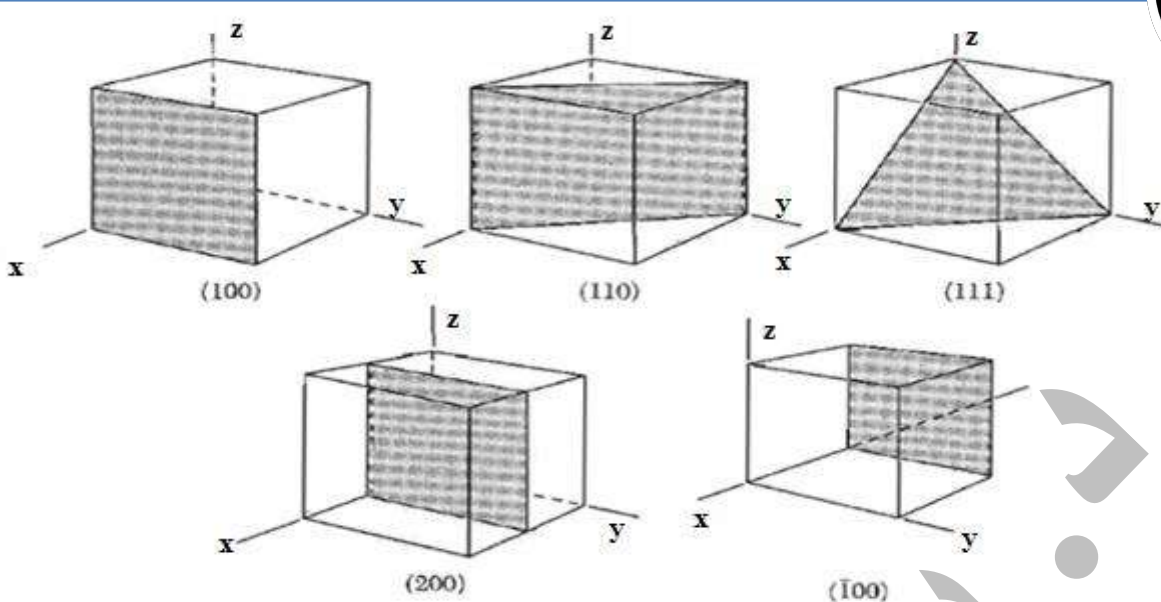
وهناك عدة طرق مختلفة لحساب الادلة لوجه ولكن اكثرها استخداما هي

معاملات ميلر Miller indices ويرمز لها  $(hkl)$ .

**ولايادها نتبع الخطوات الآتية :**

- 1) نختار نقطة اصل (0) وثلاثة محاور مرجعية  $x, y, z$ .
  - 2) نحدد تقاطع السطح مع كل محور من المحاور الثلاثة بالقيم  $(p, q, r)$ .
  - 3) نقوم بقلب قيم التقاطعات  $p, q, r$  فإذا كانت جميعها اعداد صحيحة تمثل  $hkl$  وإذا كان بعض منها او جميعها اعداد كسرية فيضرب كل مقلوب بأصغر عدد صحيح (اصغر قاسم مشترك) لتحويلها الى اعداد صحيحة للحصول على  $(hkl)$ .
  - 4) عند وضع معاملات ميلر بين قوسين  $(hkl)$  فهذا يعني مجموعة واحدة من السطوح المتوازية المتساوية الفسح. وليس معاملات ميلر لسطح معين واحد.
  - 5) قد تكون معاملات ميلر جميعها موجبة او سالبة او اعداد مختلطة ولكنها دائما اعداد صحيحة. فعندما يقطع السطح المحور بالاتجاه السالب تكون قيمته سالبة.
  - 6) عندما يكون هناك سطحا موازيا ل احد المحاور البلورية مثل المحور  $\bar{z}$  فان معاملات هذا السطح تكتب بالصيغة  $(0kl)$  لأن هذا السطح يقطع المحور  $\bar{z}$  في اللانهاية ( $\infty$ ) ومقلوب  $\infty$  هو 0
- مثال (1):** جد معاملات ميلر للسطح الموضحة في الاشكال الآتية؟





يمكن التعبير عن اوجه المكعب الستة بالنحو الآتي : وهي تمثل السطوح ((001)) أو {001}

(001)، (010)، (010)، (100)، (001)، (100)، (010)، (010)

والعلاقة { } او ( ) تعني جميع المستويات المكافئة

لذلك المستوى فمثلاً {333} تعني :

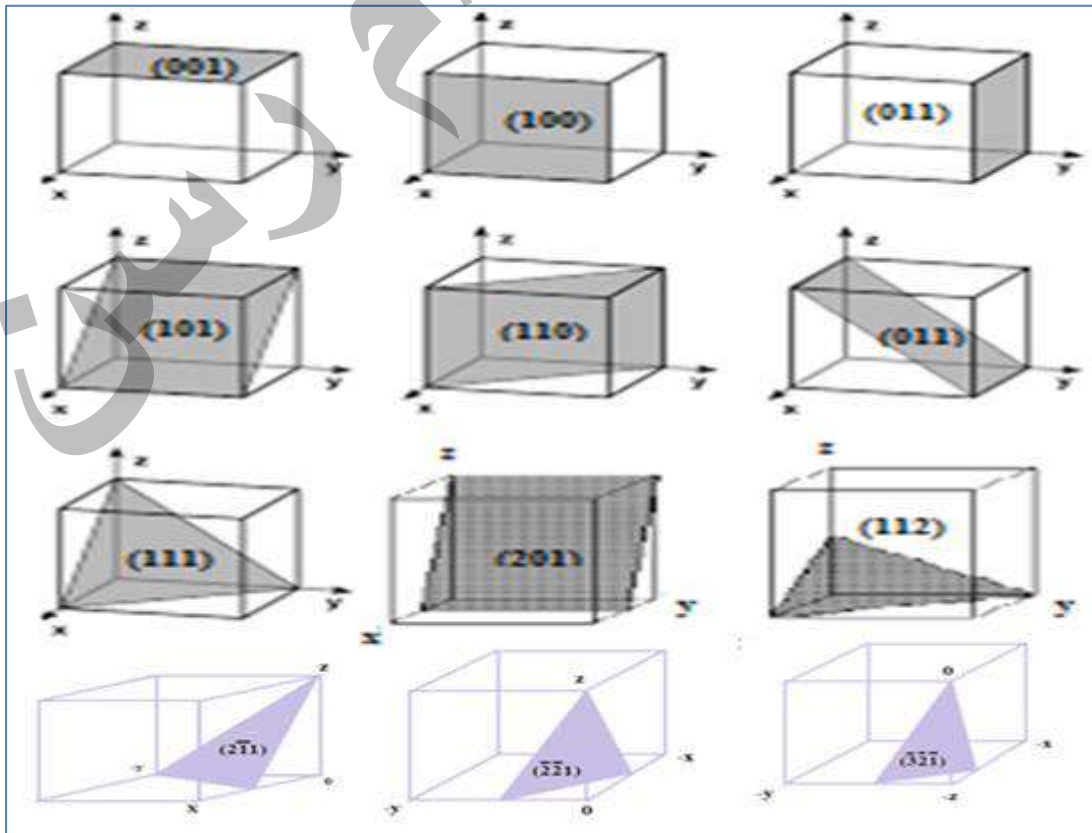
(333)، (333)، (333)، (333)، (333)، (333)، (333)، (333)

وإذا كانت جميع قيم السطوح مختلفة ل {h k l} نحصل على 48 سطحاً مختلفاً متكافئاً مثل {423}، {253}، {134} وغيرها .

اما اذا كانت قيمتين متتشابهتين من قيم {h k l} امكن الحصول على 24 سطحاً متكافئاً مثل : {115}، {224}، {133} حاول ايجاد السطوح ال 24 المكافئة .

س/ ارسم السطوح البلورية الاتية لنظام المكعب :

(200)، (004)، (023)، (120)، (010)، (001)، (010)، (222)، (011)،  
(331)، (420)، (211)، (131)، (110)، (110)، (111)، (020)



**معاملات ميلر للشكل السادس:**

تمثل السطوح البلورية للشكل السادس باربعه معاملات بدلا من ثلاثة و تكتب  $(h k i l)$   
مثال : احسب معاملات ميلر لسطح في الشكل السادس تقاطعاته

$$a_1 = 1 \quad a_2 = -1 \quad a_3 = \infty \quad c = \infty$$

$$1 \quad -1 \quad \infty \quad \infty$$

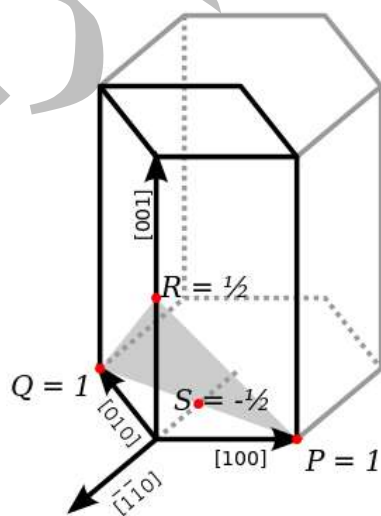
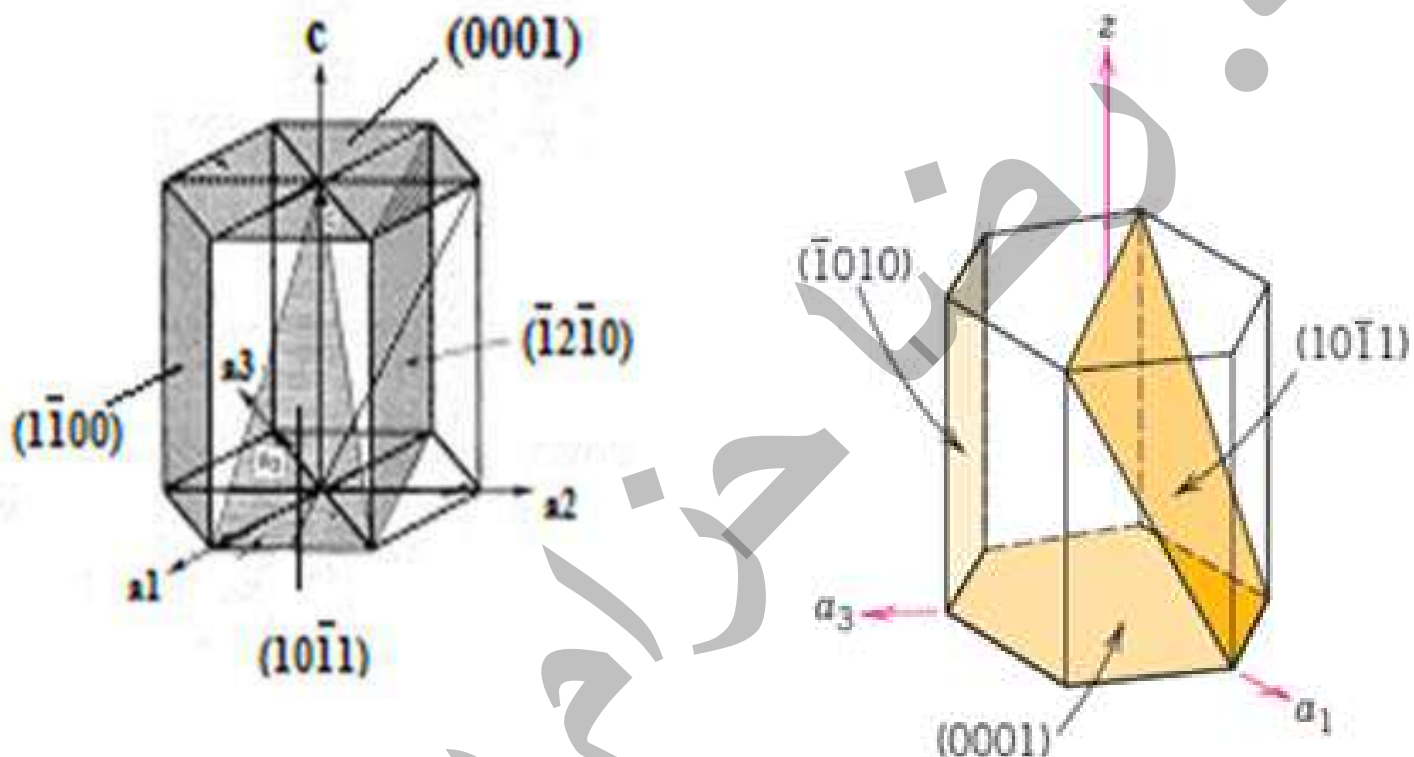
$$1 \quad -1 \quad 0 \quad 0$$

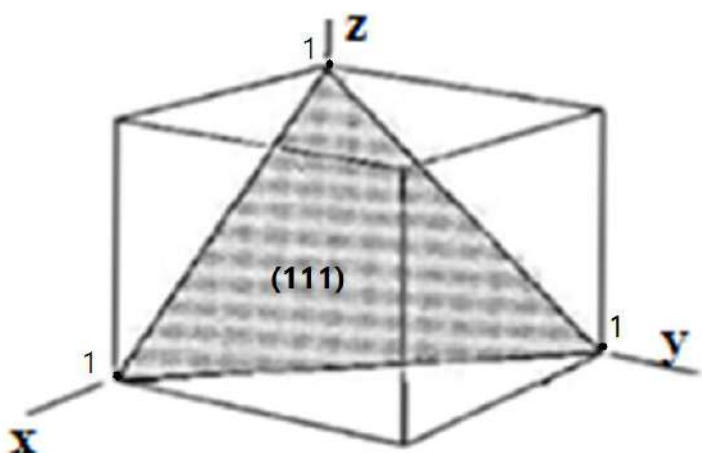
التقاطعات :

المقلوبات :

معلومات ميلر:  $(1\bar{1}00)$ 

القاعدة العليا فمعاملات ميلر لها  $(0001)$  والقاعدة السفلی  $(\bar{0}00)$  ان محاور هذه الشبكة تدعى  
بحماور برافير وهي تخضع للعلاقة الاتجاهية :  $\vec{a}_1 + \vec{a}_2 = -\vec{a}_3$





مثال: ارسم المستوى (111) في بلورة مكعب الشكل؟  
نرسم مكعب ونعين المحاور الكارتيزية ونعين نقطة الاصل.

ثم نأخذ مقلوب معاملات ميلر ونضع بينها فارزة للدلالة على انهم تحولوا الى اعداد للمحاور الكارتيزية:

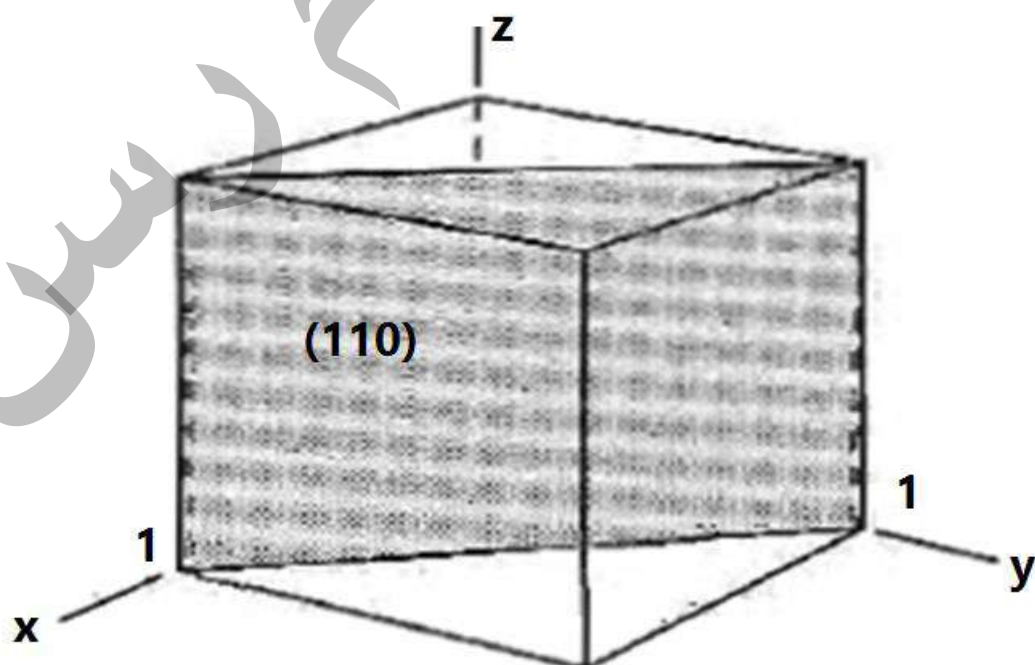
$$\frac{1}{1}, \frac{1}{1}, \frac{1}{1} \\ (1,1,1)$$

نعين النقاط على المحاور المرسومة داخل المكعب ثم نوصل النقاط الثلاثة لنجعل على المستوى:  
*الدرس*

مثال: ارسم المستوى (110) في بلورة مكعب؟

$$\frac{1}{1}, \frac{1}{1}, \frac{1}{0} \\ (1,1,\infty) \\ x=1, y=1, Z=\infty$$

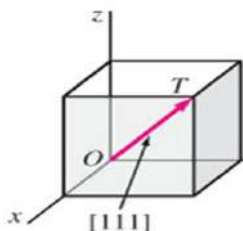
المقلوب:



**الاتجاهات البلورية : Crystal Direction**

لتعيين اي اتجاه في البلورة نستخدم ثلاثة معاملات هي  $w$   $v$   $u$  و تكتب بالصيغة  $[uvw]$  وهي اعداد صحيحة ليس لها عامل مشترك اكبر من الواحد لان النسب بين هذه المعاملات هي كالنسبة بين مركبات المتجه في الاتجاه المطلوب.

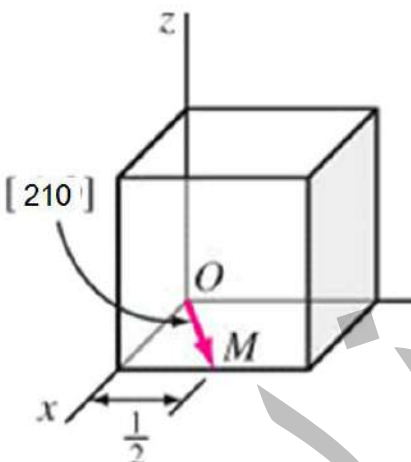
فإذا فرضنا متجهاً قيمة مركبته باتجاه المحور  $\bar{a}$  هو  $ua$  وقيمة مركبته باتجاه المحور  $\bar{b}$  هي  $vb$  وقيمة مركبته باتجاه  $\bar{c}$  هي  $wc$  ، فان اتجاه هذا المتجه يعبر عنه بشكل  $[uvw]$ .



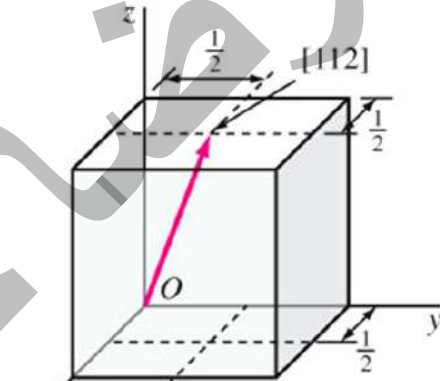
[111] direction

$$\dots \dots [10\bar{1}] , [\bar{1}01] , [01\bar{1}] , [0\bar{1}1] , [110] , [101] , [011]$$

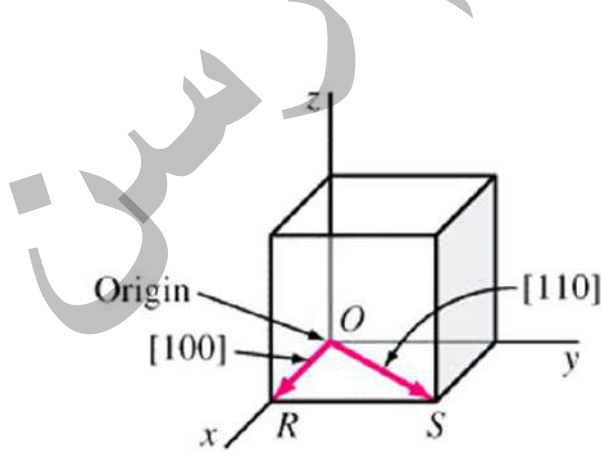
وهناك اتجاهات متكافئة في البلورة ولدلالة عليها تكتب بالصيغة  $y$   $<uvw>$  او  $[uvw]$   $<110>$  فعند كتابة  $[110]$  يقصد بها جميع الاتجاهات المتكافئة من نوع :



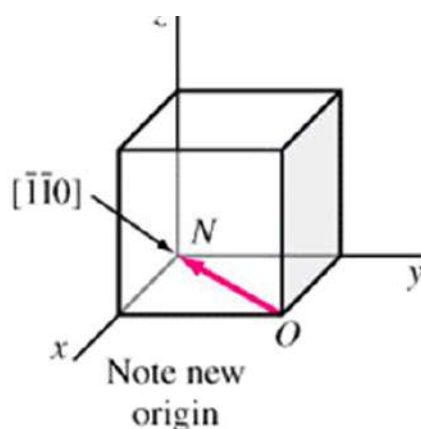
$$X = 1, Y = \frac{1}{2}, Z = 0 \\ [1 \frac{1}{2} 0] \rightarrow [210]$$



$$X = \frac{1}{2}, Y = \frac{1}{2}, Z = 1 \\ [\frac{1}{2} \frac{1}{2} 1] \rightarrow [112]$$



$$X = 1, Y = 0, Z = 0 \rightarrow [100]$$



$$X = -1, Y = -1, Z = 0 \rightarrow [\bar{1}\bar{1}0]$$

يسمى اتجاه ما في بلورة بمحور المنطقة او النطاق او القطاع او محور النطاق ويقال للسطح المقاطعة بان لها اتجاه مشترك واحد او محور نطاق واحد، وانها تنتهي الى النطاق نفسه. يمثل اتجاهها مشتركا على طوله تقاطع مجموعة من السطوح و ويقال للسطح المقاطعة بان لها اتجاه مشترك واحد او محور نطاق واحد وانها تنتهي الى النطاق نفسه.

ويعبر عن محور النطاق بشكل  $[uvw]$  حيث ان  $\vec{t} = u\vec{a} + v\vec{b} + w\vec{c}$  مقاساً من نقطة الاصل في البلورة وفق المعادلة الاتجاهية:

$$\vec{t} = u\vec{a} + v\vec{b} + w\vec{c}$$

ان معاملات ميلر  $(h k l)$  للسطح المنتهي الى نطاق معاملات ميلر محوره  $[uvw]$  يجب ان تخضع للعلاقة الجبرية

$$hu + kv + lw = 0 \dots \dots (1)$$

مثلاً:  $(00\bar{1})$  مع  $[110]$  او  $(0\bar{1}0)$  مع  $[101]$

وهذا يعني ان اي سطح  $(h k l)$  يحوي الاتجاه  $[uvw]$  اذا تحققت المعادلة (1) ويمكن حساب معاملات محور النطاق  $[uvw]$  لسطحين مقاطعين مثل  $(h_1 k_1 l_1)$  و  $(h_2 k_2 l_2)$  كالتالي :

$$\left. \begin{array}{l} u = k_1 l_2 - k_2 l_1 \\ v = l_1 h_2 - l_2 h_1 \\ w = h_1 k_2 - h_2 k_1 \end{array} \right\} \dots \dots \dots (2)$$

ان جميع السطوح التي تكون معاملات ميلر بشكل  $(h k l)$  تنتهي الى نطاق واحد محوره مثل  $[001]$ .

ويمكن استخدام المعادلات (2) لايجاد معاملات ميلر  $(h k l)$  للسطح الذي يحوي الاتجاهين المختلفين  $[u_1 v_1 w_1]$  و  $[u_2 v_2 w_2]$  كما يأتي :

$$\left. \begin{array}{l} h = v_1 w_2 - v_2 w_1 \\ k = w_1 u_2 - w_2 u_1 \\ l = u_1 v_2 - u_2 v_1 \end{array} \right\} \dots \dots \dots (3)$$

H.W : جد السطح ( $h k l$ ) الذي يحوي الاتجاهين [110] و [211] باستخدام المعادلات (3)

الجواب: (111).

H.W : ثم جد الاتجاه الذي يتمثل ب  $[uvw]$  والذي ينتمي له السطحان (011) و (111) باستخدام المعادلات (2).

حساب الزاوية المحصورة بين مستويين (او بين اتجاهين):

يمكن حساب الزاوية  $\theta$  بين المستويين  $(l_1 k_1 h_1)$  و  $(l_2 k_2 h_2)$  في بلورة مكعبة وهي تمثل الزاوية المحصورة بين العموديين على هذين السطحين كالتالي:

$$\cos \theta = \frac{h_1 h_2 + k_1 k_2 + l_1 l_2}{(h_1^2 + k_1^2 + l_1^2)^{\frac{1}{2}} (h_2^2 + k_2^2 + l_2^2)^{\frac{1}{2}}$$

$$\theta = \cos^{-1} \left\{ \sqrt{\frac{(h_1 h_2 + k_1 k_2 + l_1 l_2)}{[(h_1^2 + k_1^2 + l_1^2)(h_2^2 + k_2^2 + l_2^2)]^{\frac{1}{2}}}} \right\}$$

H.W : جد الزاوية  $\theta$  المحصورة بين السطحين (312) و (421) ثم جد  $\theta$  بين [123] و [201] في بلورة مكعبة.

مثال: في خلية وحدة مكعبة ، اوجد الزاوية بين العموديين على المستويين (121) and (111) ؟

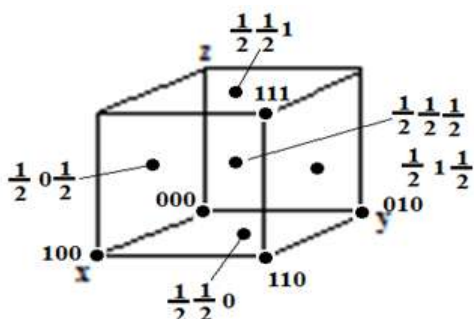
**Solution:**

$$\cos \theta = \frac{h_1 h_2 + k_1 k_2 + l_1 l_2}{(h_1^2 + k_1^2 + l_1^2)^{\frac{1}{2}} (h_2^2 + k_2^2 + l_2^2)^{\frac{1}{2}}}$$

$$\cos \theta = \frac{1 \times 1 + 1 \times 2 + 1 \times 1}{(1^2 + 1^2 + 1^2)^{\frac{1}{2}} (1^2 + 2^2 + 1^2)^{\frac{1}{2}}} = 0.9428$$

$$\theta = 19.47^\circ \quad or \quad 19^\circ 28'$$

### موقع الذرات في خلية الوحدة in unit cell: Positoin of atoms

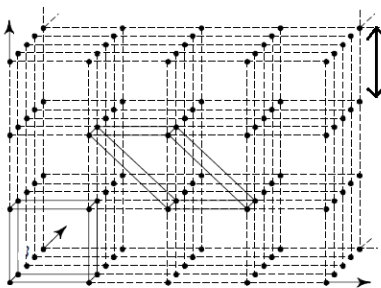


يمثل موقع نقطة في خلية الوحدة بثلاثة احداثيات ذرية  $uvw$  حيث يمثل كل احداثي المسافة ما نقطة الاصل بوحدات محاور الخلية  $a, b, c$  و تكتب بالصيغة  $uvw$  بدون اقواس وبدون فواصل و تمثل موقع الذرات داخل خلية الوحدة بوحدات كسرية اقل من الواحد و دائما لا تزيد قيمة  $uvw$  عن الواحد مطلقاً.

### فسحة السطوح Planes Spcing $d_{hkl}$ ثابت الشبكة (lattice constant a)

وهي تمثل المسافة العمودية بين اي سطحين متتالين من مجموعة سطوح متوازية.

بعارة اخرى، اقصر مسافة عمودية بين مستويات الشبكة. حيث يمثل  $d$  ثابت الشبكة.



وتعطى  $d_{hkl}$  لایة مجموعة من السطوح المتوازية في بلورة مكعب طول ضلع خليتها الاعتيادية  $L$  (او  $a$ ) بالعلاقة الآتية :

$$d_{hkl} = \frac{L}{(h^2 + k^2 + l^2)^{\frac{1}{2}}} = \frac{a}{\sqrt{h^2 + k^2 + l^2}}$$

ونلاحظ من العلاقة ان  $d_{hkl}$  تعتمد على القيمة العددية لمعاملات ميلر ولا تعتمد على اشارات تلك المعاملات وهناك مجاميغ مختلفة من السطوح المتوازية ذات معاملات ميلر مختلفة ولكنها متساوية الفسح  $d_{hkl}$  مثل : (333) ، (511) والسطح (600) ، (422).

وفيما يلي جدول لقيم  $\frac{1}{d^2}$  لبعض الانظمة البلورية

نظام البلورة	حجم خلية الوحدة الاعتيادية	$\frac{1}{d^2}$
مكعب	$a^3$ أو $L^3$	$\frac{h^2 + k^2 + l^2}{a^2}$
رباعي	$a^2c$	$\frac{h^2 + k^2}{a^2} + \frac{l^2}{c^2}$
معين قائم	$abc$	$\frac{h^2}{a^2} + \frac{k^2}{b^2} + \frac{l^2}{c^2}$
سداسي	$\frac{\sqrt{3}}{2}a^2c$	$\frac{4}{3} \left( \frac{h^2 + hk + k^2}{a^2} \right) \frac{l^2}{c^2}$

س / اثبت ان  $d_{hkl} = \frac{a}{\sqrt{h^2+k^2+l^2}}$  لنظام المكعب ؟

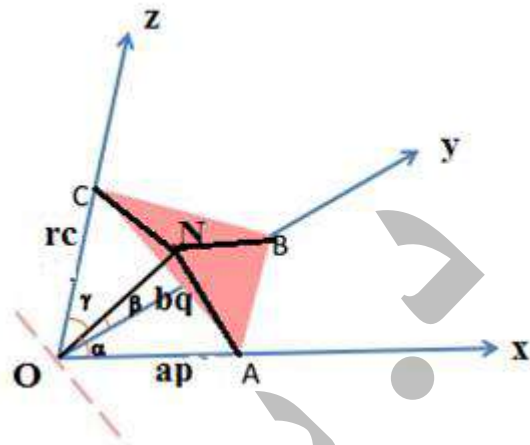
$$\cos \alpha = \frac{ON}{OA} \quad \text{في } \Delta ONA$$

تمثل المسافة العمودية بين السطح ABC ونقطة O تمثل المسافة العمودية بين السطح ABC ونقطة O وهي تمثل  $d_{hkl}$

$$\therefore \cos \alpha = \frac{d_{hkl}}{\frac{a}{h}} = \frac{h}{a} d_{hkl}$$

$$\therefore \cos^2 \alpha = \left( \frac{h}{a} \right)^2 d^2_{hkl} \dots \dots \dots (1)$$

$$OA = ap = a * \frac{1}{h} = \frac{a}{h} \quad \text{ملاحظة :}$$



$$\Delta ONB : \cos \beta = \frac{ON}{OB} = \frac{d_{hkl}}{\frac{b}{k}} = \frac{k}{b} d_{hkl} \quad \therefore \cos^2 \beta = \left( \frac{k}{b} \right)^2 d^2_{hkl} \dots \dots \dots (2)$$

$$\Delta ONC : \cos \gamma = \frac{ON}{OC} = \frac{d_{hkl}}{\frac{c}{l}} = \frac{l}{c} d_{hkl} \quad \therefore \cos^2 \gamma = \left( \frac{l}{c} \right)^2 d^2_{hkl} \dots \dots \dots (3)$$

$$\cos^2 \alpha + \cos^2 \beta + \cos^2 \gamma = 1 \dots \dots \dots (4) \quad \text{لدينا من المثلثات المتطابقة}$$

$$d_{hkl}^2 \left( \left( \frac{h}{a} \right)^2 + \left( \frac{k}{b} \right)^2 + \left( \frac{l}{c} \right)^2 \right) = 1$$

$$d_{hkl}^2 \frac{1}{\left( \left( \frac{h}{a} \right)^2 + \left( \frac{k}{b} \right)^2 + \left( \frac{l}{c} \right)^2 \right)} \quad \text{في المكعب} \quad a = b = c$$

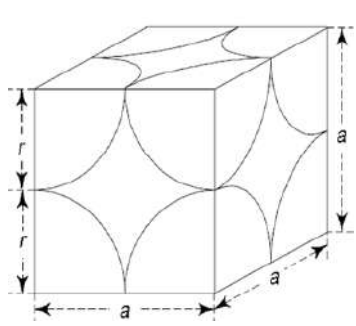
$$\therefore d_{hkl} = \frac{a}{\sqrt{h^2 + k^2 + l^2}}$$

## كثافة المستويات (The density of plane) كثافة المستويات الذرية (Planar Atomic Density)

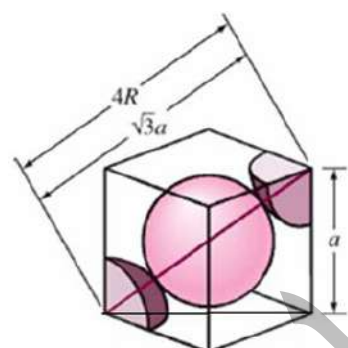
عدد الذرات في وحدة المساحات المختلفة في المستويات المختلطة في العديد من الشبائق البلورية.  
ويعرف بأنه عدد الذرات مقسومة على وحدة المساحة الموجودة في المستوى. وتعطى بالعلاقة التالية:

$$\rho = \frac{\text{No. of atoms}}{\text{Area}}$$

$$\text{Planar atomic density} = \rho_p = \frac{\text{No. of atoms centered on the plane}}{\text{Area of the plane}}$$

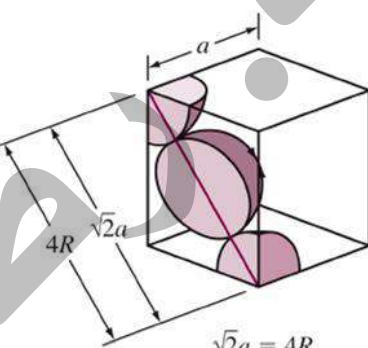


$$(\text{sc}): a=2r$$



$$(\text{BCC}): 4r = \sqrt{3}a$$

$$a = \frac{4r}{\sqrt{3}}$$



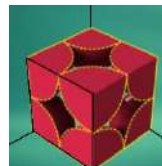
$$(\text{FCC}): 4r = \sqrt{2}a$$

$$a = 2\sqrt{2}r$$

**(SC)**

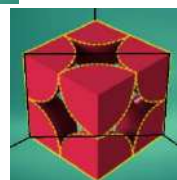
1- For planes (100)

$$\rho_p = \frac{\frac{1}{4} \times 4}{a^2} = \frac{1}{a^2}$$



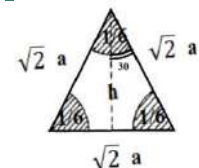
2- For planes {110}

$$\rho_p = \frac{\frac{1}{4} \times 4}{\sqrt{2}a \times a} = \frac{1}{\sqrt{2}a^2}$$



3- For planes {111}

$$\rho_p = \frac{\frac{1}{6} \times 3}{\frac{\sqrt{3}}{2}a^2} = \frac{\frac{1}{2}}{\frac{\sqrt{3}}{2}a^2} = \frac{1}{\sqrt{3}a^2}$$



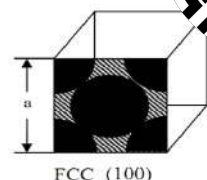
$$\cos 30 = \frac{\sqrt{3}}{2} = \frac{\text{المجاور}}{\text{الوتر}} = \frac{h}{\sqrt{2}a} \quad \text{--- --- ---} \quad h = \sqrt{\frac{3}{2}}a$$

$$\text{Area} = \left( \frac{1}{2} \times \text{ارتفاع} \times \text{القاعدة} \right) = \frac{1}{2}(\sqrt{2}a)(h) = \frac{1}{2}(\sqrt{2}a)\left(\sqrt{\frac{3}{2}}a\right) = \frac{\sqrt{3}}{2}a^2$$

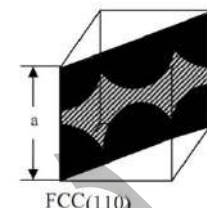


## (FCC)

1- For planes {100}  $\rho_p = \frac{\left(\frac{1}{4} \times 4\right) + 1}{a^2} = \frac{2}{a^2}$

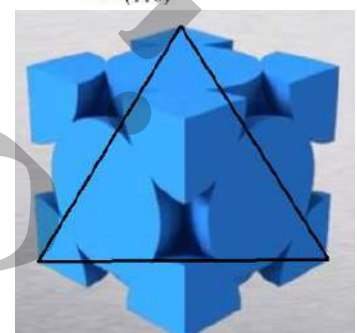


2- For planes {110}  $\rho_p = \frac{\left(\frac{1}{4} \times 4\right) + \left(\frac{1}{2} \times 2\right)}{\sqrt{2}a \times a} = \frac{2}{\sqrt{2}a^2} = \frac{\sqrt{2}}{a^2}$



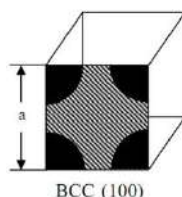
3- For planes {111}  $Area = \frac{\sqrt{3}}{2}a^2$

$$\rho_p = \frac{\left(\frac{1}{6} \times 3\right) + \left(\frac{1}{2} \times 3\right)}{\frac{\sqrt{3}}{2}a^2} = \frac{\frac{1}{2} + \frac{3}{2}}{\frac{\sqrt{3}}{2}a^2} = \frac{2}{\frac{\sqrt{3}}{2}a^2} = \frac{4}{\sqrt{3}a^2}$$

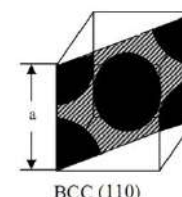


## (BCC)

1- For planes {100}  $\rho_p = \frac{\left(\frac{1}{4} \times 4\right)}{a^2} = \frac{1}{a^2}$

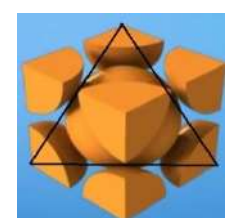


2- For planes {110}  $\rho_p = \frac{\left(\frac{1}{4} \times 4\right) + 1}{\sqrt{2}a \times a} = \frac{2}{\sqrt{2}a^2} = \frac{\sqrt{2}}{a^2}$



3- For planes {111}  $Area = \frac{\sqrt{3}}{2}a^2$

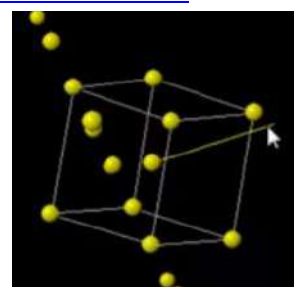
$$\rho_p = \frac{\left(\frac{1}{6} \times 3\right)}{\frac{\sqrt{3}}{2}a^2} = \frac{\frac{1}{2}}{\frac{\sqrt{3}}{2}a^2} = \frac{1}{\sqrt{3}a^2}$$



ملاحظة: بعض الاحيان يتم ذكر بان عدد الذرات للسطح {111} في شبكة مكعب (bcc) يساوي 2 وهذا خطأ، ويمكن الاستعانة بالبرنامج الاتي من (wiley) لحساب ذلك:

[https://www.wiley.com/college/callister/CL\\_EWSTU01031\\_S/vmse/xtalfb.htm](https://www.wiley.com/college/callister/CL_EWSTU01031_S/vmse/xtalfb.htm)

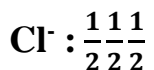
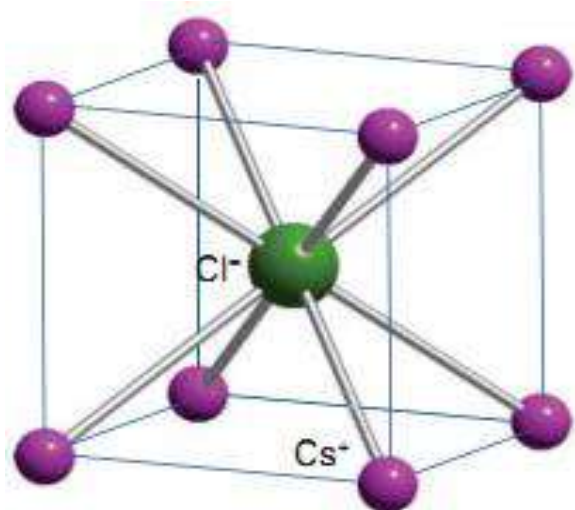
[https://www.youtube.com/watch?v=VAP\\_SoZPa8M](https://www.youtube.com/watch?v=VAP_SoZPa8M)



تراتيب بلورية بسيطة1 - تركيب كلوريد السبيديوم (CsCl)

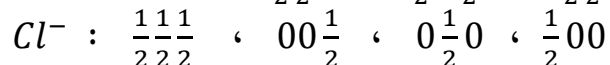
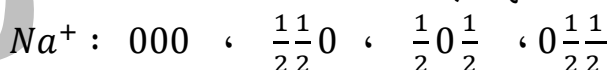
يمتلك كلوريد السبيديوم شبكة برافيزية مكعبة بسيطة Sc طول ضلعها  $4.11\text{ \AA}$  والأساس مكون من ايونين هما  $\text{Cs}^+, \text{Cl}^-$ .

وإذا افترضنا أن ايون السبيديوم يحتل أحد مواقع نقاط الشبكة ولتكن نقطة الاصل للمكعب أي  $\text{Cs}^+ 0\ 0\ 0$  فان ايون الكلور يحتل مركز المكعب أي الموقع  $\text{Cl}^- \frac{1}{2}\ \frac{1}{2}\ \frac{1}{2}$ .

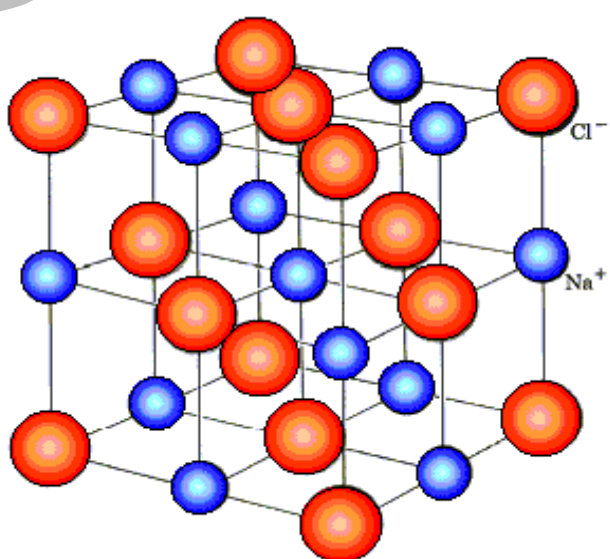
2- تركيب كلوريد الصوديوم NaCl

يمتلك شبكة برافيزية من نوع مكعب مترکز الوجه fcc طول ضلعها  $5.63\text{ \AA}$ . الخلية الواحدة الاعتيادية تحوي اربع نقاط شبكة يرافق كل منها اساس مكون من ايونين احدهما  $\text{Na}^+$  والآخر  $\text{Cl}^-$  تفصلهما مسافة قدرها نصف قطر خلية الوحدة المكعبة ولذلك تضم خلية الوحدة الاعتيادية اربعة ايونات صوديوم واربعة ايونات كلور اي اربعة جزيئات من كلوريد الصوديوم وتتوزع ايونات الكلور والصوديوم على المواقع الآتية :

تحفظ مهمة جدا



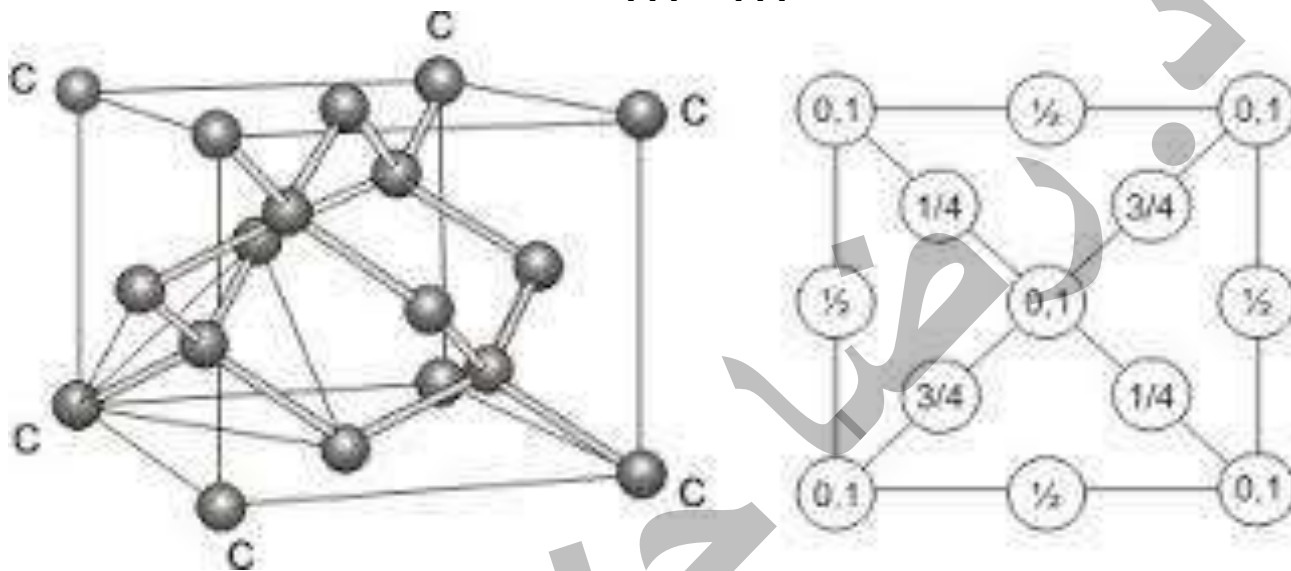
وهناك تراتيب مشابهة لتراتيب كلوريد الصوديوم مثل : كلوريد البوتاسيوم وبروميد البوتاسيوم وبروميد الفضة .... الخ



### 3- تراكيب الماس Diamond Structure

تركيب له شبيكة برافيزية من نوع مكعبه متمركزة الوجه fcc طول ضلعها  $3.56\text{\AA}$  والاساس يكون من ذرتين متشابهتين من الكاربون C والمسافة بينهما تقدر بربع قطر خلية الوحدة المكعبية وان خلية الوحدة المكعبية الاعتيادية تحوي 8 ذرات كاربون موزعة على المواقع الآتية :

$\frac{1}{2}, \frac{1}{2}, 0, \frac{1}{2}, \frac{1}{2}, 0, \frac{1}{2}, \frac{1}{2}$  ،  $\frac{1}{2}, \frac{1}{2}, 0, \frac{1}{2}, \frac{1}{2}, 0, \frac{1}{2}, \frac{1}{2}$  ،  $\frac{1}{4}, \frac{1}{4}, \frac{1}{4}, \frac{1}{4}, \frac{3}{4}, \frac{3}{4}, \frac{3}{4}, \frac{3}{4}$  واثنان  $\frac{1}{4}, \frac{1}{4}, \frac{1}{4}, \frac{1}{4}$  واثنان  $\frac{3}{4}, \frac{3}{4}, \frac{3}{4}, \frac{3}{4}$  قريبتان من قاعدتها السفلی عند المواقع  $\frac{1}{4}, \frac{1}{4}, \frac{1}{4}, \frac{1}{4}$  كما في الشكل :



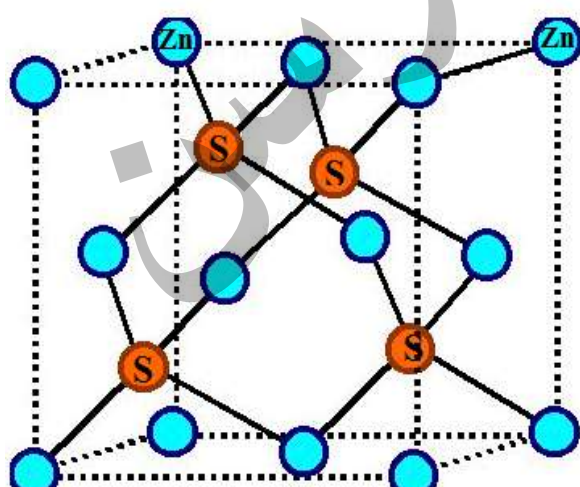
ان كل ذرة كاربون مرتبطة باربع ذرات مجاورة (جوار اول) ارتباطا تساهماً وتكون محاطة باثنتي عشرة ذرة كجوار ثان وعلى الرغم من صلابة الماس العالية تكون نسبة الماء له لا تتجاوز 34%.  
H.W : احسب نسبة الماء للماس. مساعدة : خذ السطح (110)

### 4- التركيب المكعبى لكبريتيد الزنك Zinc Structure

يدعى التركيب المكعبى لكبريتيد الزنك والمركبات المشابهة له (zinc – blend structure) وهو تركيب مشابه لتركيب الماس والاختلاف الوحيد هو ان الاساس في حالة ZnS مكون من ذرتين هما Zn و S بدلاً من ذرتى الكاربون المتشابهتين في الماس وترتب ذرات Zn و S بحيث تحتل المواقع الذرية الآتية :

$$\text{Zn} : 000, 0\frac{1}{2}\frac{1}{2}, \frac{1}{2}0\frac{1}{2}, \frac{1}{2}\frac{1}{2}0$$

$$\text{S} : \frac{1}{4}\frac{1}{4}\frac{1}{4}, \frac{1}{4}\frac{3}{4}\frac{3}{4}, \frac{3}{4}\frac{1}{4}\frac{3}{4}, \frac{3}{4}\frac{3}{4}\frac{1}{4}$$



ان حجم خلية الوحدة لكبريتيد الزنك حوالي ثالث مرات ونصف بقدر حجم خلية الماس حيث ان طول ضلع خلية الوحدة لكبريتيد الزنك هو  $5.41\text{\AA}$  مما يجعل نسبة الماء كمية صغيرة.

**٥- التركيب السادس المقلل الملء المتلائق (السادسي المتلاصق الرص) (hcp) والمعكوب المقلل الملء (ccp))**

وأبسط حالة لها هي عندما تكون الجزيئات ذات شكل كروي أو مقارب لذلك والعزوم ذات القطبين تساوي صفرًا أو تكون صغيرة جدًا وعند ذلك يكون الترکيب البلوري:

مكعب متماسك (Cubic – closed packed (ccp) هو عبارة عن مكعب متمرّكز

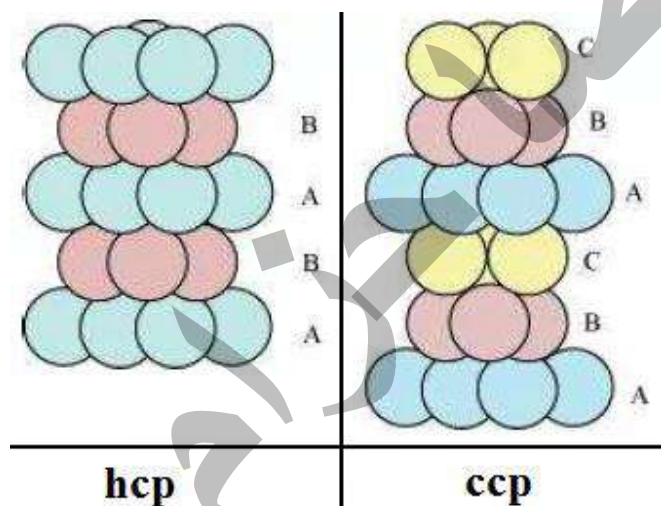
الوجه

،  $\text{Al}$  ،  $\text{NH}_3$  ،  $\text{CH}_3$  ،  $\text{HCl}$  ،  $\text{HBr}$  ،  $\text{Ar}$  : بلورات متماسك تركيب على الامثلة من

Cu · Ag

### او سداسی متماسک (hexagonal closed packed (hcp))

في حين ان التركيب سداسي متوازي بلورات  $H_2$  ،  $O_2$  ،  $N_2$  ،  $SiO_2$  ،  $Mg$  ،  $Be$  ،  $Zn$  ،  $Cl$  ، ان نسبة الماء لكل من (ccp) و (hcp) تساوي 0.74 وهي اكبر قيمة لنسبة ماء يمكن الحصول عليها لاي تركيب بلوري.



# الكتافات السداسية المترافق

س1: برهن ان في التركيب السداسي المتلاصق الرص hcp حيث تتماسك الكرات الذرية مع بعضها،

$$\frac{c}{a} = \left(\frac{8}{3}\right)^{\frac{1}{2}} = \sqrt{\frac{8}{3}} = 1.633 \quad \text{ان نسبة } c/a \text{ هي :}$$

$$\cos 30 = \frac{a}{\frac{2}{l}} \quad \text{and} \quad \cos 30 = \frac{\sqrt{3}}{2}$$

$$\rightarrow l = \frac{a}{\sqrt{3}}$$

Looking at the tip of the tetrahedron, we have:

$$h^2 + l^2 = a^2 \rightarrow h^2 + \frac{a^2}{3} = a^2$$

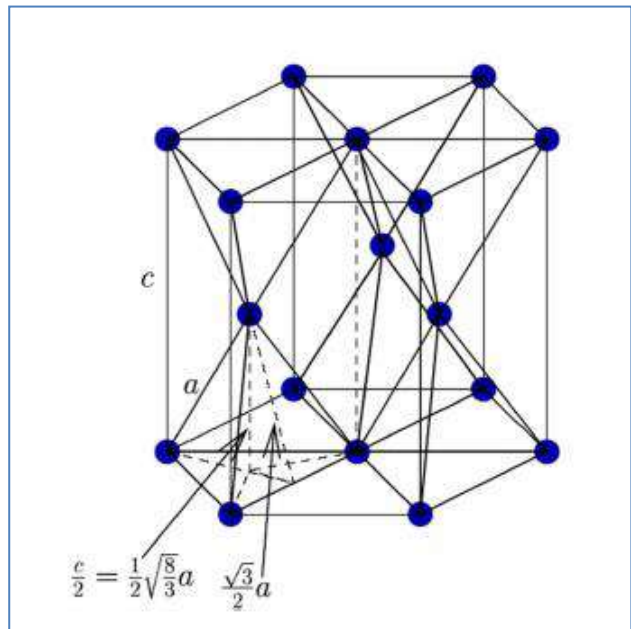
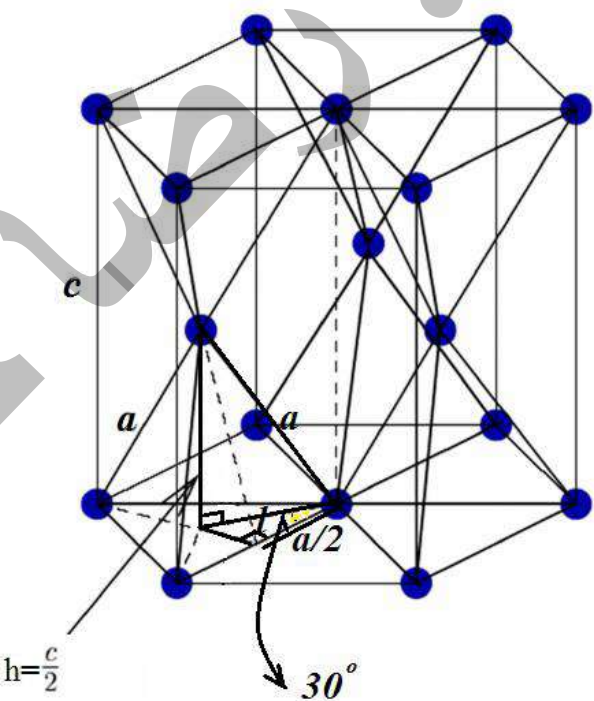
$$\rightarrow h^2 = \frac{2}{3}a^2$$

Since  $c = 2h \rightarrow h = \frac{c}{2}$

$$\frac{c^2}{4} = \frac{2}{3}a^2 \rightarrow c^2 = \frac{8}{3}a^2$$

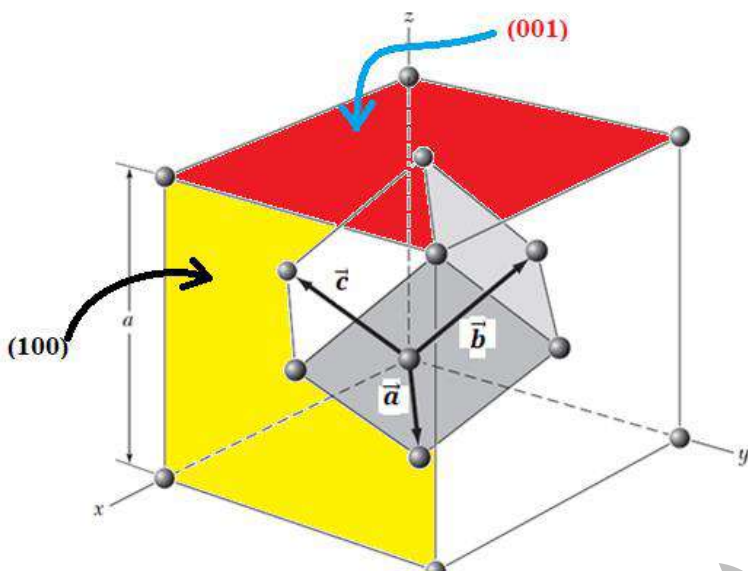
$$c^2 = \frac{8}{3}a^2$$

$$\rightarrow \frac{c}{a} = \sqrt{\frac{8}{3}} = 1.633$$



س2: المستويات التي تملك الادللة (indices) (100) & (001) ، لشبكة مكعب متمركز الاوجه fcc والادلة تعود لخلية مكعب تقليدية. ما هي الادللة لهذه المستويات عندما تعود لمحاور اولية (محاور بدائية) للشكل التالي؟

الحل:



سندرس تركيب مكعب متمركز الاوجه

$$\vec{a} = \frac{1}{2} a (\hat{x} + \hat{y})$$

$$\vec{b} = \frac{1}{2} a (\hat{y} + \hat{z})$$

$$\vec{c} = \frac{1}{2} a (\hat{x} + \hat{z})$$

في مكعب بسيط اساساً (100) المستوى يعود الى المستوى  $x=a$ .

التقاطعات لهذا المستوى مع المحاور

$$\vec{a}, \vec{b}, \vec{c}$$

تعطى بـ :

$$\left. \begin{array}{l} 2\vec{a} = (a, a, 0) \\ 2\vec{c} = (a, 0, a) \\ \vec{b} \text{ لا يتقاطع} \end{array} \right\} \quad \begin{matrix} 2 & 0 & 2 \\ \text{التقاطعات} & & \end{matrix}$$

ادلة (معاملات) ميلر تعطي باخذ مقلوبات هذه التقاطعات:

$$\frac{1}{2}, 0, \frac{1}{2} \text{ المقلوبات}$$

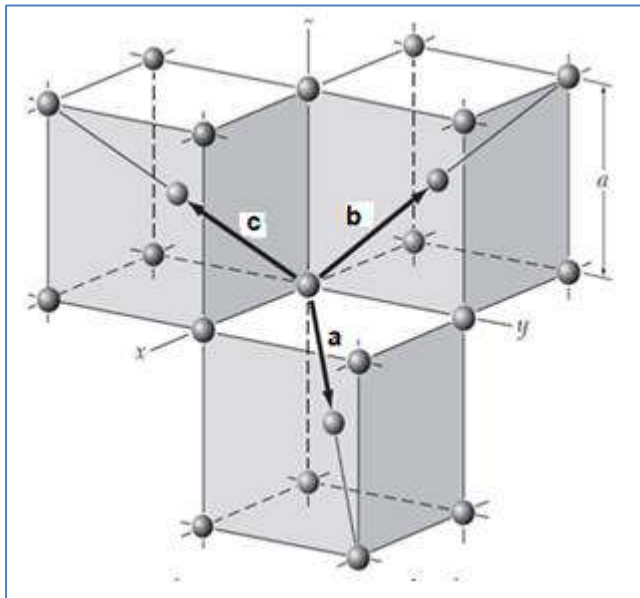
وبایجاد أصغر عدد صحيح (أصغر قاسم مشترك)

(1 0 1) أصغر عدد صحيح

بعباره اخرى المستوى (100) في مكعب بسيط هو (101) في مكعب متمركز الاوجه.

نفس الشيء (001) في مكعب بسيط (011) في مكعب متمركز الاوجه.

س3: الزاوية بين الاوامر في الماس هي نفسها الزاوية بين المكعب قطري الجسم bcc كما في الشكل. باستخدام تحليل المتجهات الاولى اوجد قيمة هذه الزاوية؟  
الحل:



سندرس شبكة مكعب متمرکز الجسم. نحن نريد الزاوية  $\theta$ . وسنجد الزاوية بين اي متجهين من المتجهات الآتية

$$\vec{a}, \vec{b}, \vec{c}$$

$$\vec{a} = \frac{1}{2}a(\hat{x} + \hat{y} - \hat{z})$$

$$\vec{b} = \frac{1}{2}a(-\hat{x} + \hat{y} + \hat{z})$$

$$\vec{c} = \frac{1}{2}a(\hat{x} - \hat{y} + \hat{z})$$

استخدم  $\vec{a}$  &  $\vec{b}$ ، اذا كانت  $\theta$  بين المتجهين ، فان الضرب الاتجاهي يعطى:

$$\vec{a} \cdot \vec{b} = |\vec{a}| |\vec{b}| \cos\theta$$

$$\vec{a} \cdot \vec{b} = a_x b_x + a_y b_y + a_z b_z = \left(\frac{a}{2}\right)\left(\frac{-a}{2}\right) + \left(\frac{a}{2}\right)\left(\frac{a}{2}\right) + \left(\frac{-a}{2}\right)\left(\frac{a}{2}\right) = \left(\frac{-a^2}{4}\right)$$

$$|\vec{a}| = a = \sqrt{a_x^2 + a_y^2 + a_z^2} ; \quad |\vec{b}| = b = \sqrt{b_x^2 + b_y^2 + b_z^2}$$

$$|\vec{a}| = a = \sqrt{\left(\frac{a}{2}\right)^2 + \left(\frac{a}{2}\right)^2 + \left(\frac{a}{2}\right)^2} ; \quad |\vec{b}| = b = \sqrt{\left(\frac{a}{2}\right)^2 + \left(\frac{a}{2}\right)^2 + \left(\frac{a}{2}\right)^2}$$

$$|\vec{a}| = a = \sqrt{\frac{3a^2}{4}} = \frac{a}{2}\sqrt{3} ; \quad |\vec{b}| = b = \sqrt{\frac{3a^2}{4}} = \frac{a}{2}\sqrt{3}$$

$$\cos\theta = \frac{\vec{a} \cdot \vec{b}}{|\vec{a}| |\vec{b}|} = \frac{a_x b_x + a_y b_y + a_z b_z}{|\vec{a}| |\vec{b}|} = \frac{\left(\frac{-a^2}{4}\right)}{\left(\frac{a}{2}\sqrt{3}\right)\left(\frac{a}{2}\sqrt{3}\right)} = \frac{-1}{3}$$

$$\theta = \cos^{-1}\left(\frac{-1}{3}\right) = 109.4712206^\circ = 109^\circ 28' 16.3''$$

في الحاسبة استخدم المفتاح degree min sec 0,0,0

### اختر الاجابة الصحيحة

س). عدد نقاط الشبكة في خلية FCC هي:

- (a) 4(d)      (b) 8(c)      (c) 2(b)      (d) 1(a)

س). مسافة اقرب الجوار (مسافة الجوار الاول) في بنية BCC هي:

- (a)  $2a/\sqrt{3}$  (d)      (b)  $a\sqrt{3}/2$  (c)      (c)  $2a/\sqrt{3}$  (b)      (d)  $a/\sqrt{2}$  (a)

س). عامل الرص (التبعة) لتركيب الماس هو:

- (a) 0.74      (b) 0.52      (c) 0.34      (d) 0.68

س). معاملات (دلائل) ميل لمستوي يوازي المحورين Y و Z هي:

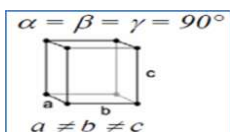
- (1 0 0) (d) (0 1 0) (c) (1 1 1) (b) (0 0 1) (a)

س) عدد الذرات لوحدة المساحة للسطح (100) في بلورة ذات تركيب مكعب بسيط SC هو:

- $4/a^2$  (d)  $1/2a^2$  (c)  $2/a^2$  (b)  $1/a^2$  (a)

س). اذا كان ثابت الشبكة 4.2 فأن فسحة السطوح (d) لمجموعة المستويات (200) تكون:

- $2.1 \text{ \AA}$  (d)  $4.2 \text{ \AA}$  (c)  $2.4 \text{ \AA}$  (b)  $8.4 \text{ \AA}$  (a)



س) خلية الوحدة للتركيب الموضح في الشكل يعود إلى النظام البلوري من نوع .....  
.....

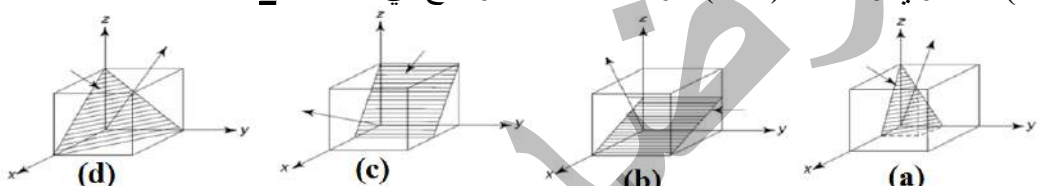
- (a) مكعب cubic (b) معيني قائم orthorhombic

- (c) رباعي tetragonal (d) ثلاثي trigonal

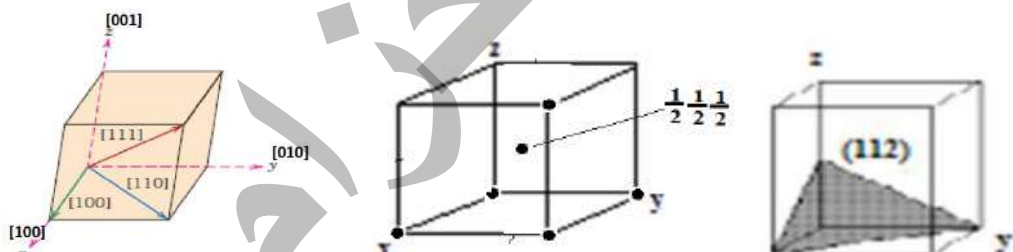
س)- ثابت الشبكة ل الخلية وحدة نوع BCC بنصف قطر ذري  $1.24 \text{ \AA}$  هو:

- $0.62 \text{ \AA}$  (d)  $1.754 \text{ \AA}$  (c)  $2.864 \text{ \AA}$  (b)  $1.432 \text{ \AA}$  (a)

س) المستوى والاتجاه (201) لتركيب FCC موضح في الشكل :



س) - ارسم ما ياتي داخل خلية وحدة مكعبة:  
 $\frac{1}{2} \frac{1}{2} \frac{1}{2}$ , [110], [112], [110]



س) اذا كان نصف القطر الذري للرصاص (FCC) هو  $0.175 \text{ nm}$  ، احسب حجم وحدة الخلية المكعبة بالمتر؟

$$a = \sqrt{8} \cdot r = \sqrt{2} \cdot 2r$$

$$V_{\text{crystal}} = a^3 = \sqrt{2} \cdot 16 \cdot r^3$$

$$= 16 \sqrt{2} \cdot (0.175 \cdot 10^{-9} \text{ m})^3 = 1.213 \cdot 10^{-28} \text{ m}^3$$

س) احسب حجم خلية وحدة من نوع fcc نصف قطرها R ؟  
الذرات تكون على تماس على طول الخط القطري للأوجه الستة للمكعب وطوله سيساوي  $4R$ .

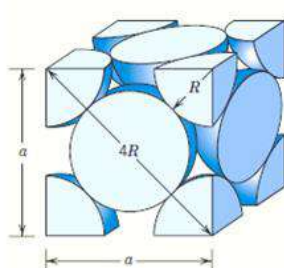
$$a^2 + a^2 = (4R)^2$$

or, solving for  $a$ ,

$$a = 2R\sqrt{2}$$

The FCC unit cell volume  $V_C$  may be computed from

$$V_C = a^3 = (2R\sqrt{2})^3 = 16R^3\sqrt{2}$$



س) نصف القطر الذري للنحاس هو  $0.128 \text{ nm}$  وهو ذو تركيب FCC والوزن الذري هو  $63.5 \text{ g/mol}$ . احسب الكثافة النظرية وقارن الاجابة مع الكثافة المحسوبة؟

$$V_C = (2R\sqrt{2})^3 = 16\sqrt{2}R^3$$

$$\begin{aligned} \rho &= \frac{nA_{Cu}}{V_C N_A} = \frac{nA_{Cu}}{(16R^3\sqrt{2})N_A} \\ &= \frac{(4 \text{ atoms/unit cell})(63.5 \text{ g/mol})}{[16\sqrt{2}(1.28 \times 10^{-8} \text{ cm})^3/\text{unit cell}](6.023 \times 10^{23} \text{ atoms/mol})} \\ &= 8.89 \text{ g/cm}^3 \end{aligned}$$

The literature value for the density of copper is  $8.94 \text{ g/cm}^3$ , which is in very close agreement with the foregoing result.

س) اثبت ان نسبة المدى نسبية الرص (نسبة التضييد) في التركيب السداسي المغلق الملع او المتماسك (التركيب السداسي المتلاصق الرص) hcp هو 0.74

The APF is just the total sphere volume-unit cell volume ratio.

For HCP, there are the equivalent of six spheres per unit cell, and thus

$$V_S = 6 \left( \frac{4\pi R^3}{3} \right) = 8\pi R^3$$

Now, the unit cell volume is just the product of the base area times the cell height,  $c$ . This base area is just three times the area of the parallelepiped  $ACDE$  shown below.

The area of  $ACDE$  is just the length of  $\overline{CD}$  times the height  $\overline{BC}$ .

But  $\overline{CD}$  is just  $a$  or  $2R$ , and

$$\overline{BC} = 2R \cos(30^\circ) = \frac{2R\sqrt{3}}{2}$$

Thus, the base area is just

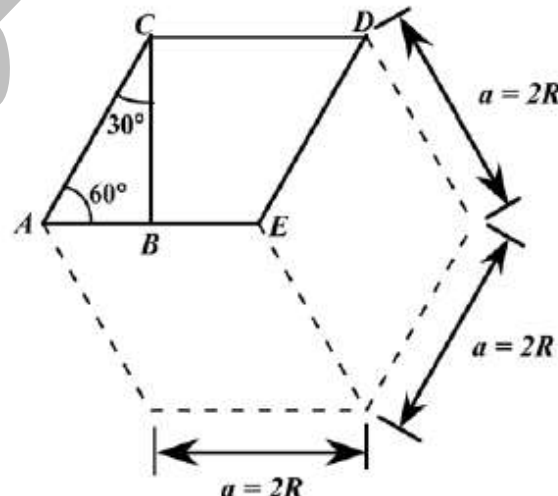
$$\text{AREA} = (3)(\overline{CD})(\overline{BC}) = (3)(2R)\left(\frac{2R\sqrt{3}}{2}\right) = 6R^2\sqrt{3}$$

and since  $c = 1.633a = 2R(1.633)$

$$\begin{aligned} V_C &= (\text{AREA})(c) = 6R^2c\sqrt{3} \\ &= (6R^2\sqrt{3})(2)(1.633)R = 12\sqrt{3}(1.633)R^3 \\ &= (6R^2\sqrt{3})(2)(1.633)R = 12\sqrt{3}(1.633)R^3 \end{aligned}$$

Thus,

$$\text{APF} = \frac{V_S}{V_C} = \frac{8\pi R^3}{12\sqrt{3}(1.633)R^3} = 0.74$$



س) التيتانيوم Ti يملك تركيب بلوري HCP وكتافته 4.51 g/cm<sup>3</sup> ا) ما هو الحجم لهذه الخلية بوحدة متر مكعب؟  
 ب) اذا كانت  $c/a$  النسبة هي 1.58 ، احسب قيمة  $c$  و  $a$  ؟  
 علماً ان الوزن الذري للتيتانيوم  $A_{Ti}$  يساوي 47.87 gram/mol

(a) The volume of the unit cell may be computed using

$$V_C = \frac{nA}{\rho N_A} \quad \text{Now, for HCP, } n = 6 \text{ atoms/unit cell, and for } A = \text{g/mol. Thus,}$$

$$V_C = \frac{(6 \text{ atoms/unit cell})(\text{g/mol})}{(\text{g/cm}^3)(6.022 \times 10^{23} \text{ atoms/mol})} = 10 \text{ cm}^3/\text{unit cell} = \times 10 \text{ m}^3/\text{unit cell}$$

(b) From Equation 3.S1 of the solution to Problem 3.6, for HCP

$$V_C = 6R^2c\sqrt{3}$$

But, since  $a = 2R$ , (i.e.,  $R = a/2$ ) then

$$V_C = 6\left(\frac{a}{2}\right)^2 c\sqrt{3} = \frac{3\sqrt{3}a^2c}{2}$$

$$\text{but, since } c = a \quad V_C = \frac{3\sqrt{3}(a^3)}{2} = \times 10 \text{ cm}^3/\text{unit cell}$$

$$\begin{aligned} \text{Now, solving for } a \\ a &= \left[ \frac{(2)(\times 10 \text{ cm}^3)}{(3)(\sqrt{3})} \right]^{1/3} \\ &= \times 10 \text{ nm} \end{aligned}$$

And finally

$$c = a = (\text{nm}) = \text{nm}$$

حل اخر:

- Given HCP Ti atom  $\rho_{Ti} = 4.51 \text{ gram/cm}^3$  and  $\frac{c}{a} = 1.58$  and  $A_{Ti} = 47.87 \text{ gram/mol}$

- Required to calculate  $c$  and  $a$  values

For HCP crystal structure:

$$n = 6 \text{ atoms}, a = 2r, V = 6 \times \left( \frac{1}{2}a \times \frac{\sqrt{3}}{2}a \right) \times c$$

$$\rho = \frac{n \times A}{N_A \times V}$$

$$4.51 = \frac{6 \times 47.87}{6.023 \times 10^{23} \times 6 \times \left( \frac{1}{2}a \times \frac{\sqrt{3}}{2}a \right) \times c} = \frac{6 \times 47.87}{6.023 \times 10^{23} \times 6 \times \left( \frac{1}{2}a \times \frac{\sqrt{3}}{2}a \right) \times 1.58a}$$

$$a = \left( \frac{2 \times 6 \times 47.87}{4.51 \times 6.023 \times 10^{23} \times 3 \times \sqrt{3} \times 1.58} \right)^{\frac{1}{3}} \times 10^8$$

$$\therefore a = 2.953 \text{ \AA} \quad \text{Then } c = 1.58 \times 2.953 \quad \therefore c = 4.666 \text{ \AA}$$

$$c) V = 6 \left[ \frac{1}{2}a \times \frac{\sqrt{3}}{2}a \right] \times c =$$

$$= \left[ \frac{1}{2} \times 2.953 \times 10^{-10} \times \frac{\sqrt{3}}{2} \times 2.953 \times 10^{-10} \right] \times 4.666 \times 10^{-10}$$

س) النبوبوم Niobium يملك نصف قطر ذري  $0.1430 \text{ nm}$  و كثافته  $8.57 \text{ g/cm}^3$ . حدد هل تركيبه هو FCC أم BCC ؟

For FCC,  $n = 4$ , and  $a = 2R\sqrt{2}$ . atomic weight is  $92.91 \text{ g/mol}$ . Thus, for FCC

$$\rho = \frac{nA_{Nb}}{(2R\sqrt{2})^3 N_A}$$

$$= \frac{(4 \text{ atoms/unit cell})(92.91 \text{ g/mol})}{\left\{ (2)(1.43 \times 10^{-8} \text{ cm})(\sqrt{2})^3 /(\text{unit cell}) \right\} (6.023 \times 10^{23} \text{ atoms/mol})}$$

$$= 9.33 \text{ g/cm}^3$$

For BCC,  $n = 2$ , and  $a = \frac{4R}{\sqrt{3}}$ , thus

$$= \frac{(2 \text{ atoms/unit cell})(92.91 \text{ g/mol})}{\left\{ (4)(1.43 \times 10^{-8} \text{ cm})^3 /(\text{unit cell}) \right\} (6.023 \times 10^{23} \text{ atoms/mol})}$$

$$= 8.57 \text{ g/cm}^3$$

which is the value provided in the problem statement. Therefore, Nb has a BCC crystal structure.

س) تركيب بلوري يملك تركيب مكعب بسيط له وزن ذري  $74.5 \text{ g/mol}$  و نصف قطر ذري  $0.145 \text{ nm}$ . احسب كثافته؟

$$\rho = \frac{nA}{V_C N_A} = \frac{nA}{(2R)^3 N_A}$$

$$\rho = \frac{(1 \text{ atom/unit cell})(\text{g/mol})}{\left\{ (2)(\text{ } \times 10^{-8} \text{ cm})^3 /(\text{unit cell}) \right\} (6.022 \times 10^{23} \text{ atoms/mol})} = \text{g/cm}^3$$

س) زركونيوم Zirconium يملك تركيب بلوري HCP و كثافته  $6.51 \text{ g/cm}^3$ .

أ- ما هو حجم الخلية الواحدة بوحدة  $\text{m}^3$  ؟

ت- اذا كانت النسبة  $a/c$  هي  $1.593$  ، احسب قيمة  $a$  &  $c$

(a) The volume of the Zr unit cell may be computed using Equation 3.5 as

$$V_C = \frac{nA_{Zr}}{\rho N_A} \quad \text{Now, for HCP, } n = 6 \text{ atoms/unit cell, and for Zr, } A_{Zr} = 91.22 \text{ g/mol. Thus,}$$

$$V_C = \frac{(6 \text{ atoms/unit cell})(91.22 \text{ g/mol})}{(6.51 \text{ g/cm}^3)(6.022 \times 10^{23} \text{ atoms/mol})} = 1.396 \times 10^{-22} \text{ cm}^3/\text{unit cell} = 1.396 \times 10^{-28} \text{ m}^3/\text{unit cell}$$

(b) From Equation 3.81 of the solution to Problem 3.6, for HCP

$$V_C = 6R^2c\sqrt{3}$$

But, since  $a = 2R$ , (i.e.,  $R = a/2$ ) then

$$V_C = 6\left(\frac{a}{2}\right)^2 c\sqrt{3} = \frac{3\sqrt{3}a^2c}{2}$$

$$\text{but, since } c = 1.593a \quad V_C = \frac{3\sqrt{3}(1.593)a^3}{2} = 1.396 \times 10^{-22} \text{ cm}^3/\text{unit cell}$$

Now, solving for  $a$

$$a = \left[ \frac{(2)(1.396 \times 10^{-22} \text{ cm}^3)}{(3)(\sqrt{3})(1.593)} \right]^{1/3}$$

$$= 3.23 \times 10^{-8} \text{ cm} = 0.323 \text{ nm}$$

$$c = 1.593a = (1.593)(0.323 \text{ nm}) = 0.515 \text{ nm}$$

س) في التركيب البلوري الموضح في الشكل

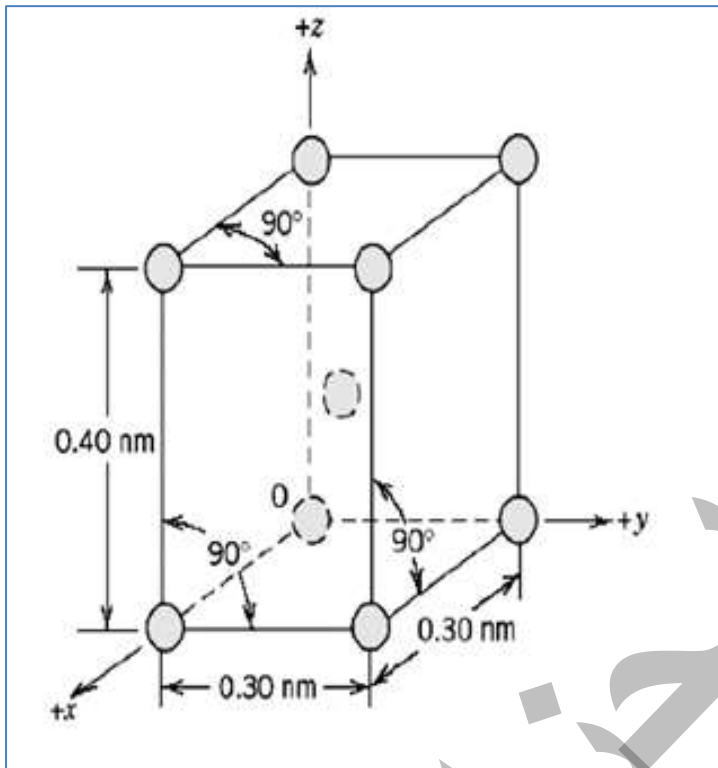
أ) إلى أي نظام بلوري ينتمي هذا التركيب؟

ب) ماذا يدعى التركيب البلوري لخلية الوحدة هذه؟

ج) احسب كثافة المادة، اذا كان الوزن الذري يساوي 141 g/mol .

الجواب:

(أ) نظام رباعي Tetragonal



ب) تركيب بلوري رباعي متمرکز  
الجسم

Body – centered Tetragonal

(ج)

$$\rho = \frac{n A}{V_C N_A}$$

Where:

عدد الذرات في خلية الوحدة -----

$N=2$  ----- الوزن الذري -----

$A = 141 \text{ g/mol}$  -----

حجم خلية الوحدة = مساحة القاعدة في الارتفاع -----

$V_C = (3 \times 10^{-8})^2 (4 \times 10^{-8}) = 3.6 \times 10^{-23} \text{ cm}^3 / \text{unitcell}$

$$\rho = \frac{2 \times 141}{3.6 \times 10^{-23} \times 6.023 \times 10^{23}} = 13 \text{ g / cm}^3$$

## بسم الله الرحمن الرحيم

### الفصل الثاني: الحيود في البلورات

### Crystal diffraction

**قانون براك**

**الحزم الساقطة:** (الأشعة السينية ، النيوترونات ، الالكترونات)

**الطرق التجريبية للحيود:** (طريقة لاوي، طريقة البلورة الدوارة، طريقة المسحوق)

**الشبكة المقلوبة**

**عامل تركيب الشبكة**

منحت جائزة نوبل في الفيزياء عام 1915 إلى  
ويليم هنري براك الاب وويليم لورانز براك الابن

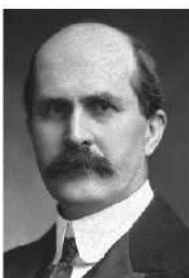


Photo from the Nobel Foundation archive.  
Sir William Henry Bragg



Photo from the Nobel Foundation archive.  
William Lawrence Bragg

#### **قانون براك:**

تمكن العالم ويليم لورنس براك (الابن) عام 1913 عندما كان طالب بحث في جامعة كامبريدج من ايجاد علاقة رياضية لتعيين المسافة بين المستويات البلورية باستخدام الاشعة السينية. اعتمد براك على حقيقة ان الذرات في داخل البلورة تصف في مجتمع متميزة من المستويات المتوازية ذات الاحداثيات ( $hkl$ ) والتي تنفصل عن بعضها بمسافة  $d_{hkl}$ .

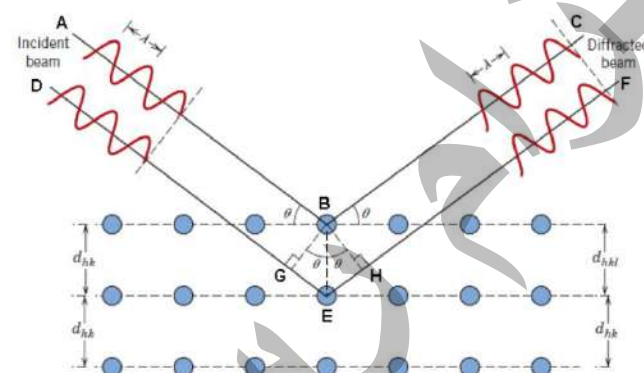
عند سقوط حزمة من الاشعة السينية بزاوية  $\theta$  على هذه المستويات فأنها تستطير في جميع الاتجاهات داخل البلورة. كما في الشكل.

يبين الشكل ان الاشعة المنعكسة عن تلك المستويات وبنفس زاوية السقوط  $\theta$ . والاشعة الساقطة والمنعكسة لها نفس الطور in phase .

ان مسار الموجة في اتجاه DEF الذي ينعكس في E هو اطول من مسار الموجة في اتجاه ABC الذي ينعكس في B.

فإذا كانت هاتين المجموعتين من الموجات في نفس الطور فان الفرق بين المساريين يجب ان يكون عددا صحيحاً من الاطوال الموجية  $n\lambda$  حيث  $n$  يساوي عدداً صحيحاً ... 1, 2, 3, ..... n ويسمي مرتبة الحيود.

لإيجاد الفرق بين المسارين نرسم BG عمودي على EF ونرسم DE ونرسم BH عمودي على EF.



$$AB = DG$$

$$BC = HF$$

$$GE + EH = n\lambda \quad \dots \quad (1)$$

بما ان الذرات في داخل البلورة تصف في مجتمع متميزة من المستويات المتوازية ذات الاحداثيات

( $hkl$ ) والتي تنفصل عن بعضها بمسافة  $d_{hkl}$ , لذلك:

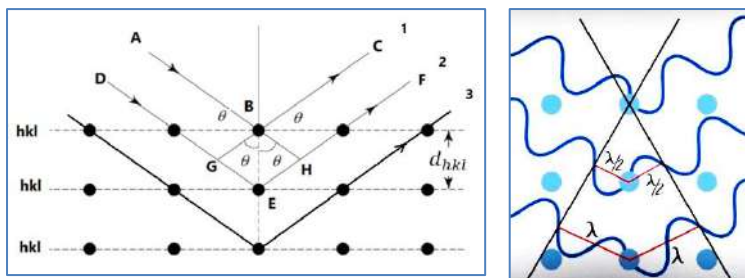
$$BE = d_{hkl} \quad \dots \quad (2)$$

$$GE = d_{hkl} \sin \theta \quad \dots \quad (3)$$

$$EH = d_{hkl} \sin \theta \quad \dots \quad (3)$$

$$d_{hkl} \sin \theta + d_{hkl} \sin \theta = n\lambda \quad \text{نعرض 3&2 في 1}$$

$$\therefore 2d_{hkl} \sin \theta = n\lambda \quad \dots \quad \text{قانون براك}$$



مرتبة الحيود ( $n=1,2,3,\dots$ ) تعني انه لطول موجة معين ولقيمة معينة من  $d$  هناك قيم متعددة لزوايا السقوط  $\theta_1$  و  $\theta_2$  و  $\theta_3$  تتحقق الحيود.

❖ فرق المسار بين 1 او 2 هو  $\lambda$  و فرق المسار بين 1 و 3 هو  $2\lambda$  وهكذا لبقية المسارات.

❖ ان انعكاس براك يمكن ان يحدث فقط عندما يكون الطول الموجي  $\lambda$  في معادلة براك (قانون براك) المستخدم للحصول على انعكاس من مستوى ما ( $hkl$ ) اصغر او مساوي لضعف المسافة البينية بين مستويين  $d_{hkl}$  متعاقبين في البلورة , اي ان:

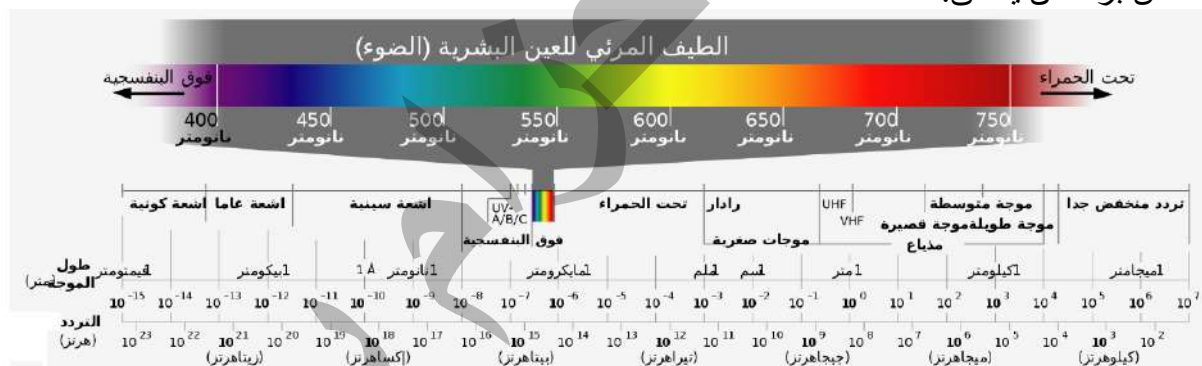
**الشرط اللازم للانعكاس (شرط الحيود)**

$$2d_{hkl} \sin \theta = n\lambda \quad \dots \dots \quad \frac{n\lambda}{2d_{hkl}} = \sin \theta \leq 1 \quad \dots \dots \quad n\lambda \leq 2d_{hkl}$$

حيث ان قيمة ( $\sin \theta$ ) لا يمكن ان تزيد عن الواحد في اي حال من الاحوال.  
وفي حالة الحيود من المرتبة الاولى  $n=1$  سوف يكون  $\lambda \leq 2d_{hkl}$  اما  $n=0$  فهو للحرمة غير المحدادة.

س) لا يمكن استعمال الضوء المرئي او الاشعة فوق البنفسجية لدراسة الحيود في البلورات?  
الجواب:

بما ان شرط الحيود في قانون براك لأية زاوية  $2d_{hkl} \leq \lambda$  . وبما ان قيمة  $d$  للكثير من البلورات بحدود (3) انجستروم وعليه فان  $2d=6 \text{ \AA}$  لذلك لا يمكن استعمال الضوء المرئي او الاشعة فوق البنفسجية لأن انعكاس براك لن يتحقق.



❖ الاشعة الساقطة D&A تسقط بزاوية  $\theta$  اما الاشعة المنعكسة (الاشعة المستقطبة او الاشعة المحدادة) مثل C&F فتنعكس ( تستطير او تعانى من الحيود) بزاوية  $\theta$  (الشرط اللازم تحقيقه).

س) لماذا يمكن استعمال الاشعة السينية لدراسة الحيود في المعادن?

الجواب:

المسافات البينية للمستويات الذرية في البناء البلوري  $d$  لمعظم المعادن تساوي طول الموجة للأشعة السينية  $\lambda$  من حيث المقدار. وبما ان شرط الحيود في قانون براك لأية زاوية  $2d_{hkl} \leq \lambda$  . وحيث ان قيمة ( $\sin \theta$ ) لا يمكن ان تزيد عن الواحد في اي حال من الاحوال

$$2d_{hkl} \sin \theta = n\lambda \quad \dots \dots \quad \frac{n\lambda}{2d_{hkl}} = \sin \theta \leq 1 \quad \dots \dots \quad n\lambda \leq 2d_{hkl}$$

وفي حالة الحيود من المرتبة الاولى  $n=1$  سوف يكون  $\lambda \leq 2d_{hkl}$  اي ان شرط الحيود سيكون متحقق لذلك يمكن استعمال الاشعة السينية لدراسة الحيود في المعادن.

**الحزم الساقطة:** (الأشعة السينية ، النيوترونات ، الالكترونات)

هناك التباس حاصل لدى البعض عند استعمال مصطلحات الحيود والاستطارة او التشتت. تتطلب دراسة التركيب البلوري استعمال اشعاع ذي طول موجي مساوي او اقصر من المسافات البينية بين الذرات ( $\lambda \leq 2d_{hkl}$ ) ويتم ذلك من خلال الحيود diffraction وفي بعض الاحيان تدعى العملية بالتشتت او الاستطارة scattering.

**الاستطارة:** هي انحراف اي شعاع عن مساره نتيجة تفاعله مع المادة، (اي تغير اتجاه جسيم او فوتون عند تفاعله مع النواة او الالكترون).

- **الاستطارة غير المرنة (التشتت غير المرن):** اذا فقد الجسيم او الفوتون المتشتت (المنحرف عن مساره) قسماً من طاقته.

- **الاستطارة المرنة (التشتت المرن):** اذا لم يحدث تغير في الطاقة للجسيم او الفوتون المتشتت. ان مرور شعاع ضوئي في وسط مادي يسبب استطارة ذلك الشعاع ويتم ذلك بعمليتين منفردين ومختلفتين الاولى (انعكاس عشوائي) والعملية الثانية هي **الحيود او الانعطف**.

**الانعكاس العشوائي:** يحدث عند مرور الشعاع في وسط مادي، حيث ان جسيمات صغيرة معلقة في الوسط المادي تتصرف بصفة مرايا وتولد انعكاسا عشوائيا بسبب توجيهها العشوائي بالنسبة لاتجاه الشعاع الساقط عليها وان الانعكاس العشوائي يحدث عندما تكون **ابعاد الجسيم العاكس كبيرة مقارنة بالطول الموجي للضوء**.

**الحيود:** ويحدث عند مرور الشعاع في وسط مادي، عند وجود جسيمات في الوسط المادي اصغر من **الطول الموجي للضوء الساقط**. وبسبب ظاهرة الحيود تتصرف هذه الجسيمات في الوسط بصفتها مراكز للشعاع، وكل منها تشتت الضوء في جميع الاتجاهات.

ان ظاهرة الحيود هي حالة خاصة للتدخل تحصل بسبب الطبيعة الموجية للضوء وكل الجسيمات التي ترافق حركتها موجات مثل الالكترونات والنيوترونات. يمكن القول ان الحيود هو حالة خاصة للاستطارة وهو يمثل استطارة متشاكهة او متالفة coherent scattering بغض النظر عن كونها مصحوبة بتغير طاقة الشعاع (انتقال الطاقة بين الشعاع والوسط المادي) او عدم تغيرها.

### الحزم المستعملة في الحيود:

توجد ثلاثة انواع اساسية من الجسيمات الموجية المتباينة الطاقة (او الاطوال الموجية) التي يمكن استعمالها في تجارب الحيود. وهي:

- فوتونات الاشعة السينية
- النيوترونات
- الالكترونات

### 1. فوتونات الاشعة السينية

حسب علاقة انشتاين

$\nu$  يمثل تردد الفوتون

$h$  ثابت بلانك

$c$  سرعة الضوء

$$E = h\nu = \frac{hc}{\lambda}$$

$$h=6.626 \times 10^{-34} \text{ J.sec}$$

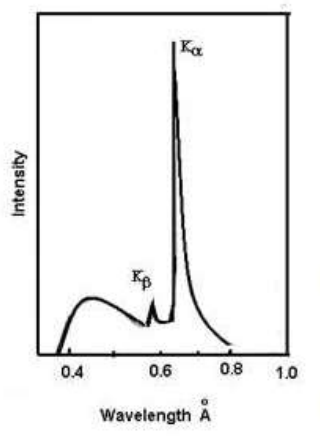
$$c=3 \times 10^8 \frac{\text{m}}{\text{sec}}$$

$$\lambda(\text{\AA}) \approx \frac{12.4}{E(\text{keV})}$$

وهذا يعني ان فوتوناً ذا طول موجي 1 انكستروم له طاقة حوالي (12400 ev). ان الاشعة السينية هي موجات كهرومغناطيسية ذات اطوال موجية محددة تقع بين الاشعة فوق البنفسجية واسعات كما هي لا تزيد اطوالها الموجية عن بضعة انكستروم ولهذا يفضل استخدامها في معظم تجارب الحيود البلوري.

- يتم إنتاج الأشعة السينية من خلال اصطدام الكترونات سريعة جداً بهدف معدني مثل النحاس Cu والكوبالت Co أو المولبيدينوم Mo أو الفضة. أي إننا بحاجة إلى
- 1- هدف معدني مثل النحاس او الكوبالت
  - 2- فرق جهد مجعل للالكترونات
  - 3- مصدر لتوليد الالكترونات

- عند اصطدام الالكترونات السريعة بهدف معدني يحصل آنئياً عمليتان متباينتان:



- 1- العملية الأولى تباطؤ الالكترونات وانحرافها بسبب الشحنات النووية في الهدف التي تسبب انبعاث اشعاع عبارة عن فوتونات ذات اطوال موجية مختلفة ويدعى بالطيف المستمر.
- 2- والعملية الثانية يتم من خلالها تفاعل او اصطدام غير مرن بين الالكترونات الساقطة والكترونات لباب ذرات الهدف المعدني (الكترونات القشرة الداخلية لذرات الهدف المعدني اي الالكترونات الموجودة في ذرات الهدف المعدني القريبة من النواة). حيث تولد خطوط طيف حادة ذات شدة عالية تسمى بالطيف الخطى ويكون مركباً فوق الطيف المستمر.

- الطول الموجي للأشعة السينية : الخطوط الحادة البراقة (الطيف الخطى) هي تمثل فوتونات ذات طول موجي لكل خط منها حيث يتولد من انتقال الكترون من قشرة shell بعيدة عن النواة الى قشرة قريبة منها. فعند انتقال الكترون من القشرة L الى القشرة K سمي الخط الحاد  $K_\alpha$ . عند انتقال الكترون من القشرة M الى القشرة K سمي الخط الحاد  $K_\beta$ . اي ان هناك احتمالاً لانتقال الكترونين مختلفين من القشرة L الى القشرة K ويحصل من ذلك ظهور خطين مختلفين يمثلان فوتونين مختلفين للطاقة (او الطول الموجي) يسميان  $K_{\alpha 1}$  و  $K_{\alpha 2}$

اذا كان الهدف نحاس Cu

$$K_{\alpha 1} = 1.5405 \text{ \AA} \quad , \quad K_{\alpha 2} = 1.5443 \text{ \AA}$$

اذا كان الهدف مولبيدينوم Mo

$$K_{\alpha 1} = 0.7093 \text{ \AA} \quad , \quad K_{\alpha 1} = 0.7135 \text{ \AA}$$

- يمكن حساب اقصر طول موجي  $\lambda_{swl}$  في الطيف المستمر باستخدام علاقة اشتاين حيث تكون طاقة فوتونات الاشعة السينية المنبعثة من الهدف المعدني اكبر ما يمكن ولا تزيد عن اقصى طاقة تمتلكها الاشعة الكاثودية (الالكترونات) المصطدمه بالهدف، ولما كانت طاقة الاشعة الكاثودية تحدد بالجهد الكهربائي ( $V_{max}$ ) المسلط على انبوبة الاشعة السينية (بين الكاثود ، وهو مصدر توليد الالكترونات والهدف المعدني)

$$E_{max} = eV_{max} = h\nu_{swl} = \frac{hc}{\lambda_{swl}}$$

$$\lambda_{swl} = \frac{hc}{eV_{max}} = \frac{12400}{V_{max} (\text{volt})} \text{ \AA}$$

عندما يتعرض الكترون في بلورة الى اشعة سينية احادية الموجة او احادية الطاقة monochromatic اي الى أحد الخطوط الحادة للأشعة السينية. يجر متوجه المجال الكهربائي لهذه الاشعة الالكترون على الاهتزاز بتردد مساوٍ لتردد الفوتونات المؤثرة فيه. ونتيجة لتعجيل الالكترون يطلق اشعاعاً في جميع الاتجاهات بتردد واحد ويسمي اشعاع الحيد وتسمى العملية بالحيد المرنة لتساوي تردد الفوتون المؤثر في الالكترون مع تردد الفوتون المنبعث من الالكترون.

**2. الالكترونات :**

يتصرف الالكترون بوصفه جسيماً له كتلة ترافقه موجة طولها  $\lambda$  والعلاقة بين طاقة الالكترون والطول الموجي المرافق له:

$$\lambda (\text{\AA}) \approx \frac{12}{\sqrt{E(\text{eV})}}$$

ان ظاهرة الحيود الالكتروني هي في الاساس اثبات لوجود موجات ترافق الالكترونات بموجب نظرية ديبرولي ولكن ما يميز الالكترون عن الفوتون او النيوترون امتلاكه للشحنة ويفاعل بقوة مع المواد ويختلفها الى مسافات صغيرة نسبياً قد تصل الى بعض مئات من الانكسترومترات قبل ان يعاني من تشتت مرن او غير مرن ولذلك لا يقوم الالكترون بدور مشابه للاشعاع السيني في دراسة التركيب البلوري بل ينحصر استخدامه في هدفين اساسيين هما :

- دراسة سطوح البلورات.
- دراسة الااغشية الرقيقة

**3. النيوترونات :**

ترافق النيوترون موجه كما هو حال الالكترون. والعلاقة بين طاقة النيوترون وطول موجته  $\lambda$  المرافق له :

$$\lambda (\text{\AA}) \approx \frac{0.28}{\sqrt{E(\text{eV})}}$$

ان شحنة النيوترون متعادلة ولكنه يمتلك عزماً مغناطيسيّاً بسبب عدم تطابق مركز الشحنة الموجبة والسلبية التي يحملها.  
**ولذلك يستخدم:**

1- في دراسة التركيب البلوري للبلورات المغناطيسية حيث يتفاعل النيوترون بسبب عزمه المغناطيسي هو والكترونات هذه البلورات ((ويكون ذروات peaks اضافية تسمى الذروات المغناطيسية ومنها يمكن دراسة طريقة توزيع العزوم المغناطيسي للالكترونات)) فضلاً عن تفاعله هو ونوى الذرات.

اما في البلورات غير المغناطيسية، حيث تصبح محصلة العزم المغناطيسي لجميع الكترونات الذرة صفرًا، فان النيوترون يتفاعل ونوى الذرات فقط.

- 2- كذلك يستعمل في اكتشاف تراكيب بعض العناصر الخفيفة كالهيدروجين.
- 3- كما يمكن استعماله للتمييز بين العناصر المجاورة في الجدول الدوري.
- 4- كما يمكن استعماله للتمييز بين نظائر العنصر الواحد.

امثلة على قانون براك

$$d_{hkl} = \frac{a}{\sqrt{h^2 + k^2 + l^2}} \quad \&\& \quad 2d_{hkl} \sin \theta_{hkl} = n\lambda$$

مثال: حدد المسافة البينية  $d$  (فسحة السطوح) عند سقوط حزمة من الأشعة السينية ذات الطول الموجي  $1.54 \text{ \AA}$  باتجاه البلورة بزاوية  $20.3^\circ$  مع المستوى الذري.

$$\begin{aligned} 2d \sin \theta &= n\lambda & \lambda &= 1.54 \text{ \AA} \\ 2d \sin 20.3^\circ &= 1 * 1.54 & \theta &= 20.3^\circ \\ d &= \frac{1.54}{2 \sin 20.3^\circ} = \frac{1.54}{2 \times 0.3469} = 2.22 \text{ \AA} \end{aligned}$$

مثال: أشعة سينية بطول موجي  $0.58 \text{ \AA}$  استخدمت لحساب  $d_{200}$  في بلورة نيكل. زاوية الانعكاس كانت  $9.5^\circ$ . ما هو حجم خلية الوحدة؟

$$d = \frac{a}{\sqrt{h^2 + k^2 + l^2}}$$

$$\lambda = 0.58 \text{ \AA} \quad \& \quad \theta = 9.5^\circ$$

$$d_{200} = \frac{a}{\sqrt{2^2 + 0^2 + 0^2}} = \frac{a}{2} = 0.5a$$

$$2d_{hkl} \sin \theta = n\lambda$$

$$2 \times d_{200} \times \sin 9.5^\circ = 1 \times 0.58$$

$$2 \times 0.5a \times 0.165 = 1 \times 0.58$$

$$a = \frac{0.58}{1.165} = 0.52 \text{ \AA}$$

$$V = a^3 = 0.52^3$$

مثال: احسب زاوية براك للمستويات (111) لبلورة مكعب ثابت الشبيكة لها  $a = 3.57 \text{ \AA}$  تم اسقاط اشعة سينية عليها بطول موجي  $0.54 \text{ \AA}$ .

$$d = \frac{a}{\sqrt{h^2 + k^2 + l^2}}$$

$$d_{111} = \frac{3.57}{\sqrt{(1)^2 + (1)^2 + (1)^2}} = 2.06 \text{ \AA}$$

$$2d_{111} \sin \theta = n\lambda$$

$$2 \times 2.06 \times \sin \theta = 1 \times 0.54$$

$$\sin \theta = \frac{1 \times 0.54}{2 \times 2.06} = 0.131$$

$$\theta = 7^\circ 32'$$

مثال: يتبلور الرصاص بشكل مكعب متمركز الأوجه FCC، ثابت الشبكة له  $a = 4.93 \text{ \AA}$ . احسب زاوية براك للمستويات (111) و (110) اذا سقطت على البلورة اشعة سينية بطول موجي  $0.152 \text{ nm}$ .

$$2d_{hkl} \sin \theta_{hkl} = n\lambda$$

$$\sin \theta_{hkl} = \frac{n\lambda}{2d_{hkl}}$$

$$\theta_{hkl} = \sin^{-1} \left( \frac{n\lambda}{2d_{hkl}} \right)$$

$$d_{hkl} = \frac{a}{\sqrt{h^2 + k^2 + l^2}}$$

$$\theta_{hkl} = \sin^{-1} \left( \frac{n\lambda}{2a} \sqrt{h^2 + k^2 + l^2} \right)$$

$$\theta_{111} = \sin^{-1} \left( \frac{0.152 * 10^{-9}}{2 * 4.93 * 10^{-10}} \sqrt{1^2 + 1^2 + 1^2} \right) = 15.29^\circ$$

$$\theta_{110} = \sin^{-1} \left( \frac{0.152 * 10^{-9}}{2 * 4.93 * 10^{-10}} \sqrt{1^2 + 1^2 + 0^2} \right) = 12.59^\circ$$

مثال: اوجد قيمة ثابت الشبكة  $a$  لبلورة مكعبية اذا كان الطول الموجي للاشعة السينية المستخدمة يساوي  $1.54 \text{ \AA}$  وزاوية براك  $11.1^\circ$  للرتبة الأولى للمستوي (110).

$$2d_{hkl} \sin \theta_{hkl} = n\lambda$$

$$d_{hkl} = \frac{n\lambda}{2 \sin(\theta_{hkl})}$$

$$d_{hkl} = \frac{a}{\sqrt{h^2 + k^2 + l^2}}$$

$$\frac{a}{\sqrt{h^2 + k^2 + l^2}} = \frac{n\lambda}{2 \sin(\theta_{hkl})}$$

$$a = \frac{n\lambda}{2 \sin(\theta_{hkl})} \sqrt{h^2 + k^2 + l^2} \quad n=1 \text{ للرتبة الأولى}$$

$$a = \frac{1.54 \text{ \AA}}{2 \sin(11.1)} \sqrt{1^2 + 1^2 + 0^2} \quad (110) \text{ للمستوي}$$

$$a = \frac{1.54 \text{ \AA}}{2 \sin(11.1)} \sqrt{2} = 5.656 \text{ \AA}$$

مثال: بلورة مكعب BCC فسحة السطوح (المسافة البينية) (d) للمستويات (110) هي  $1.181 \text{ \AA}$ . اذا كان الطول الموجي للاشعة السينية المستخدمة يساوي  $1.54 \text{ \AA}$ . اثبت ان اقصى رتبة لانعكاس براك يمكن ان نجدها هي  $n=1$ .

$$2d \sin \theta = n\lambda$$

$$d = 1.181 \text{ \AA}$$

الجواب:

$$\lambda = 1.540 \text{ \AA}$$

$$n = \frac{2d \sin \theta}{\lambda}$$

$$= \frac{2 \times 1.181 \sin 90^\circ}{1.540} = 1.53$$

ومن الجدير بالذكر ان  $n$  يجب ان تكون عدد صحيح integer وهنا نلاحظ بان اقصى قيمة ممكنة  $n$  في هذه الحالة هو 1.

مثال: اوجد زاوية الحيود المتوقعة (20) للانعكاس من الرتبة الأولى من مجموعة مستويات (310) للكروم الذي يمتلك شبكة BCC. عند استخدام إشعاع أحادي اللون (احادي الطول الموجي) نانومتر. علماً ان نصف القطر الذري ( $r$ ) =  $0.1249 \text{ nm}$ .

$$a = \frac{4r}{\sqrt{3}} = \frac{(4)(0.1249 \text{ nm})}{\sqrt{3}} = 0.2884 \text{ nm}$$

$$d_{310} = \frac{a}{\sqrt{(3)^2 + (1)^2 + (0)^2}} = \frac{0.2884 \text{ nm}}{\sqrt{10}} = 0.0912 \text{ nm}$$

$$\sin \theta = \frac{n\lambda}{2d_{310}} = \frac{(1)(0.0711 \text{ nm})}{(2)(0.0912 \text{ nm})} = 0.390$$

$$\theta = \sin^{-1} 0.390 = 22.94^\circ$$

زاوية براك  
**زاوية براك**

$$2\theta = \text{Diffraction angle} \quad \text{زاوية الحيود}$$

$$2\theta = (2)(22.94^\circ) = 45.88^\circ$$

مثال: باستخدام البيانات نجد ان الحديد - BCC – نصف القطر الذري له يساوي  $0.1241 \text{ nm}$  احسب المسافة البينية  $d$  (فسحة السطوح) لمجموعة مستويات (111) و (211).

$$a = \frac{4r}{\sqrt{3}} = \frac{(4)(0.1241 \text{ nm})}{\sqrt{3}} = 0.2866 \text{ nm}$$

$$d_{hkl} = \frac{a}{\sqrt{(h)^2 + (k)^2 + (l)^2}}$$

$$d_{111} = \frac{a}{\sqrt{(1)^2 + (1)^2 + (1)^2}} = \frac{0.2866 \text{ nm}}{\sqrt{3}} = 0.1655 \text{ nm}$$

$$d_{211} = \frac{a}{\sqrt{(2)^2 + (1)^2 + (1)^2}} = \frac{0.2866 \text{ nm}}{\sqrt{6}} = 0.1170 \text{ nm}$$

مثال: يحتوي الروديوم المعدني على تركيب بلوري FCC. إذا كانت زاوية الحيود لمجموعة المستويات (311) تحدث عند  $2\theta = 36.12^\circ$  (انعكاس من الرتبة الأولى) عند استخدام إشعاع أحادي اللون بطول موجي  $\lambda = 0.0711 \text{ نانومتر}$  ، احسب (أ) المسافة البينية  $d$  (فسحة السطوح) لهذه المجموعة من المستويات، و (ب) نصف قطر الذري لذرة الروديوم.

$$(a) 2\theta = \text{Diffraction angle} = 36.12^\circ \quad \theta = \text{Bragg angle} = \frac{36.12}{2} = 18.06^\circ$$

$$d_{311} = \frac{n\lambda}{2 \sin \theta} = \frac{(1)(0.0711 \text{ nm})}{(2)(\sin 18.06^\circ)} = 0.1147 \text{ nm}$$

$$(b) d_{hkl} = \frac{a}{\sqrt{(h)^2 + (k)^2 + (l)^2}} \quad a = d_{hkl} \sqrt{(h)^2 + (k)^2 + (l)^2}$$

$$a = d_{311} \sqrt{(3)^2 + (1)^2 + (1)^2} = (0.1147 \text{ nm})(\sqrt{11}) = 0.3804 \text{ nm}$$

$$\text{For FCC: } a = 2\sqrt{2} r \quad r = \frac{a}{2\sqrt{2}} = \frac{0.3804 \text{ nm}}{2\sqrt{2}} = 0.1345 \text{ nm}$$

واجب بيتي:

يتبلور الكاربون بتركيبين هما الماس، للamas تركيب fcc وثابت الشبكية له  $a = 3.57 \text{ \AA}$ . اذا علمت ان كثافة الماس  $3510 \text{ Kg/m}^3$  ، فاحسب عدد ذرات الكاربون في خلية الوحدة للamas، علماً بأن الوزن الجزيئي للكاربون هو (12.01).

الجواب: خلية الماس تحوي 8 ذرات  
1- يتبلور النحاس بتركيب fcc فإذا كانت الكتلة الذرية تساوي 63.54 وحدة كتلة ذرية وكثافتها  $8960 \text{ Kg/m}^3$  احسب اقصر مسافة بين ذرتين نحاس .

(س) اوجد المسافة بين ذرتين  $a$  في بلورة مكعبية اذا كانت زاوية براك  $30^\circ = \theta$  لرتبة الانعكاس الأولى  $n=1$  للمستوى (111). اذا كان الطول الموجي للاشعة السينية المستخدمة يساوي  $2 \text{ \AA}$ .

### الطرق التجريبية للحيود: (طريقة لاوي ، طريقة البلورة الدوارة ، طريقة المسحوق)

توجد اكثر من عشر طرائق تجريبية مختلفة في دراسة التماثل والتركيب البلوري وغيرها من الامور المتعلقة بعلم البلورات من حيود الاشعة السينية وان معظم هذه الطرائق يمكن استخدامها في تجارب الحيود النيوتروني .

ومن هذه الطرق :

طريقة لاوي

طريقة البلورة الدوارة (تدوير البلورة)

طريقة المسحوق (ديبيا - شيرر)

طريقة تذبذب البلورة وطريقة وايزينبرك

ولكن هناك ثالث طرق رئيسية متميزة عن بعضها البعض ومصممة أساساً بموجب الكميات الرئيسية وهي  $\lambda$  ، اي انه في كل طريقة للحيود يجب ان يكون هناك ربط مناسب بين هذه الكميات للحصول على تداخل تقوية للاشعة المنعكسة ، حيث ان سقوط اشعة سينية ذات أطوال موجية معينة على بلورة بزاوية سقوط ما لا يعني بالضرورة حصول حيود من تلك البلورة. ان اية طريقة لحيود الاشعة السينية تتضمن متغيراً واحداً فقط.

في تجارب الحيود هناك ثلاثة طرق شائعة جداً هي :-

$\theta$	$\lambda$	الطريقة
ثابتة	متغير	طريقة لاوي
متغير جزئياً	ثابت	طريقة تدوير البلورة
متغيرة	ثابت	طريقة المسحوق

## 1- طريقة لاوي : Laue method

تعد طريقة لاوي من اقدم الطرق المستخدمة في حيود الاشعة السينية حيث تثبت بلورة احادية في مسار حزمة من الاشعة السينية ذات اطوال موجية مختلفة كما موضح في الشكل أدناه .

ان كل مجموعة من مجاميع السطوح في البلورة لها فسحة  $\Delta$  خاصة بها وتحدد زاوية خاصة مع اتجاه الاشعة السينية الساقطة على البلورة ولذلك تختار كل مجموعة متوازية من السطوح أحد الاطوال الموجية المناسبة لها، اي التي تحقق قانون براك ويحدث الحيود وتتبع أشعة الحيود من البلورة لتسقط على اللوح الفوتوغرافي مكونة نقاط على ذلك اللوح (spots).

- يمكن وضع اللوح الفوتوغرافي بين مصدر الاشعة السينية والبلورة وتدعى هذه الحالة الحيود الخلفي (الانعكاس الخلفي). او يوضع في جهة نفوذ الاشعة السينية وتدعى هذه الحالة بالحيود الامامي.

- الكونيوميتر هو حامل البلورة المنظم للزوايا يتضمن قوسين متعمدين بعضهما على بعض لغرض امالة البلورة قليلاً لتوجيه البلورة باتجاه الاشعة السينية الساقطة وتتجزء هذه العملية قبل تعریض البلورة للأشعة.

- تستخدم طريقة لاوي للحالات التالية:

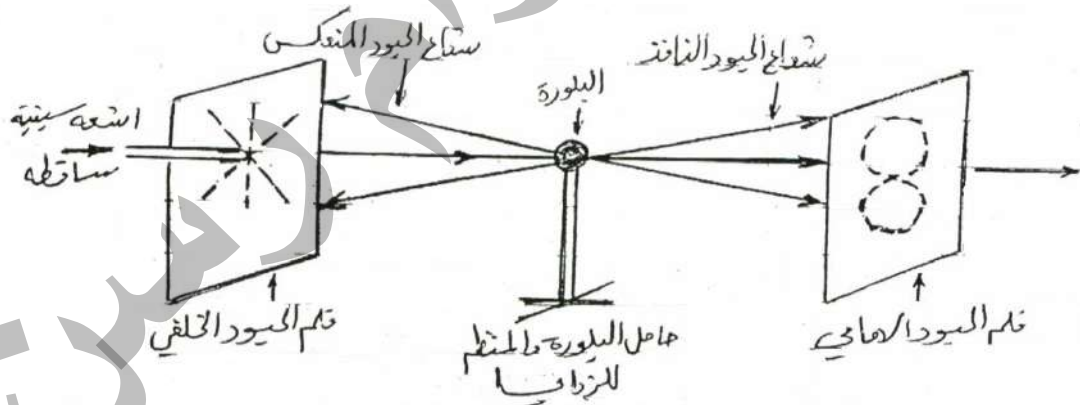
✓ اما البقع المتكونة على اللوح الفوتوغرافي لبلورة معروفة تركيبها البلوري فيمكن الاستدلال منها على تماثل البلورة والاتجاهات البلورية الموازية والعمودية على اتجاه سقوط الاشعة.

✓ وكذلك الاستدلال على عيوب البلورة الحاصلة نتيجة التأثيرات الحرارية والميكانيكية على البلورة .

✓ اذا كان اتجاه الشعاع الساقط على البلورة هو محور تماثل ما فان تشكيلة بقع الحيود المتكونة على اللوح الفوتوغرافي سوف تُظهر ذلك التماثل.

✓ وعلى الرغم من عدم امكانية تحديد القيمة العددية لحجم وحدة الخلية (خلية الوحدة) في طريقة لاوي الا انه يمكن تحديد شكل تلك الخلية .

ان الاشعة السينية المستخدمة في هذه الطريقة يجب ان تكون ذات طيف مستمر ومن ناحية اخر يفضل ان تكون المسافة بين اللوح الفوتوغرافي والبلورة (3-5cm) حيث ان ذلك يقلل من الفترة



الزمنية اللازمة للتجربة ويزيد من عدد البقع المرئية على اللوح .

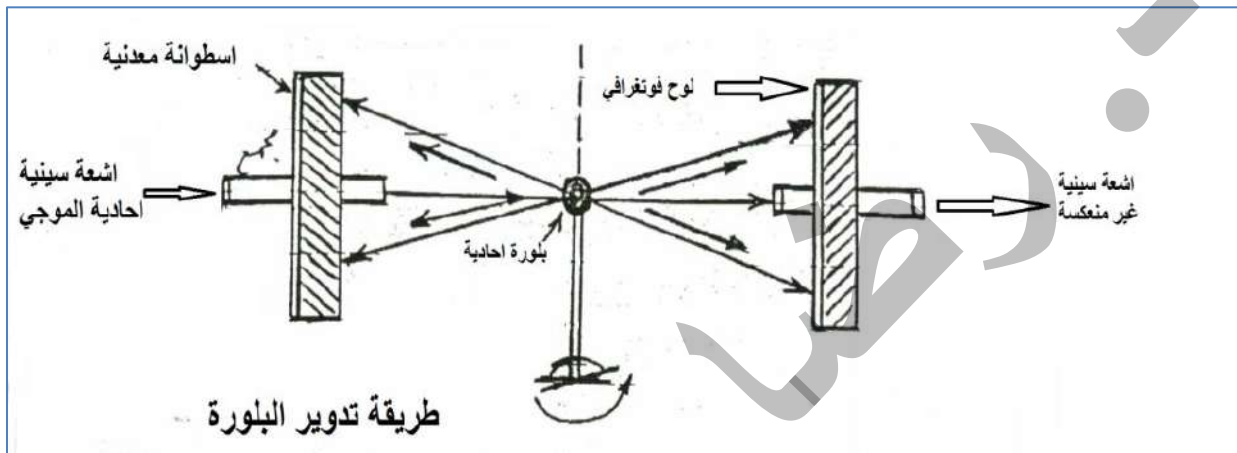
س/ هل يمكن استخدام طريقة لاوي لتعيين احداثيات شبكة او تركيب بلورة غير معروفة التركيب؟

**الجواب:**

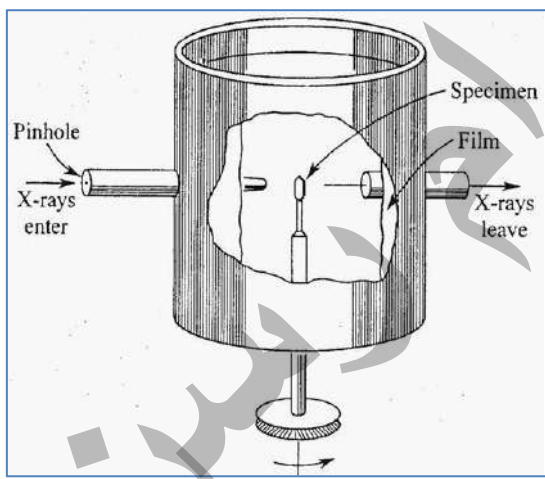
لا يمكن استخدام طريقة لاوي لتعيين احداثيات شبكة او تركيب بلوري لبلورة غير معروفة التركيب بسبب المدى الواسع لقيم  $\lambda$  حيث ان البقعة الواحدة تمثل عدة انعكاسات اي يمكن لمجاميع من السطوح المتوازية ذات فسح متباعدة ان تعكس آنياً عدة اطوال موجية لعدة قيم للرتبة. وبذلك يتعدد اعتبار شدة بقعة ما على الفلم ممثلة لشدة انعكاس لسطح معين (hkl) ذات فسحة معينة.

**2- طريقة البلورة الدوارة (Rotating Crystal Method)**:  
 في هذه الطريقة يسمح لبلورة احادية بالدوران المستمر حول محور ثابت عمودي على اتجاه سقوط الاشعة السينية ذات طول موجي أحادي monochromatic وبذلك تتغير زاوية براك ( $\theta$ ) بوصفها دالة على الزمن والشكل ادناه يوضح جهاز التصوير المستخدم في هذه الطريقة.  
 تستخدم طريقة تدوير البلورة للحالات التالية:

- يستفاد من طريقة تدوير البلورة لتعيين التركيب البلوري.
- تتحصر فائدتها في تعين اطوال محاور شبكة بلورة معروفة التمايز.
- و اذا كان التركيب البلوري معلوم فيمكن استخدام هذه الطريقة لمعرفة كون البلورة احادية ام لا.
- يمكن بهذه الطريقة تحديد شكل وحجم وحدة الخلية وترتيب الذرات داخل الخلية.



ان مبدأ عمل هذه الطريقة يمكن ان يوضح من خلال ما يلي :

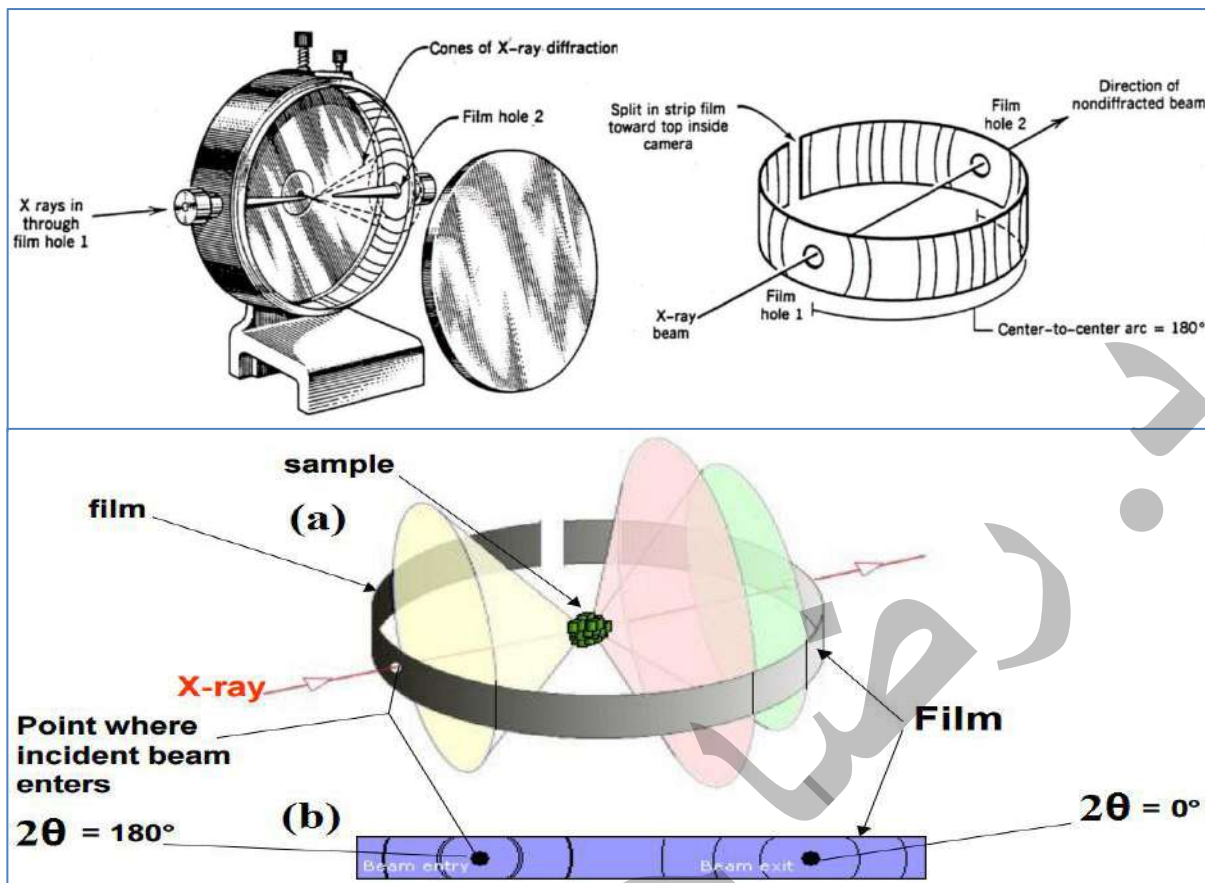


- ❖ الشكل التخططيي يوضح الاجزاء الرئيسية حيث توضع البلورة المطلوب دراستها عادة على محور قابل للدوران ويكون حجمها ( $1\text{mm}^3$ ) ويلصق الفلم على السطح الداخلي للاسطوانة المتحدة المركز مع محور الدوران .
- ❖ توجه حزمة احادية التردد في خطوط متوازية وتسقط على البلورة التي يمكنها الدوران اذا تطلب ذلك حيث يتم الحصول على شرط الحيود وذلك فان ( $\theta,\lambda$ ) يحققان قانون براك وعند تحقيق قانون براك فان الحزمة الحادية تنفذ من البلورة وهكذا تظهر البقع على الفلم لتسجيل نمط الحيود لاتجاهات المختلفة .

### طريقة المسحوق (ديباي - شيرر) Powder method

في هذه الطريقة نستخدم مسحوق البلورة الذي يجب ان يكون متجانساً من ناحية خلط المسحوق وحجم الحبيبات المكونة له ، ان هذا المسحوق المتجانس من الحبيبات او البلورات الصغيرة له القابلية عند تعرضه للأشعة السينية الاحادية الموجة ان يعكس بعدة قيم لزاوية براك ( $\theta$ ) .

- ولعرض توضيح هذه الطريقة نبين ما يلي :
- ❖ تسحق البلورة بشكل جيد الى ان تصبح على هيئة حبيبات دقيقة جداً اي على شكل مسحوق يوضع على مسار الاشعة السينية ذات التردد الأحادي.



- ❖ كل حبة من حبيبات المسحوق يمكن اعتبارها بلورة صغيرة جداً ذات اتجاه عشوائي بالنسبة للاشعة الساقطة.
- ❖ بما ان هناك عدداً كبيراً من هذه الحبيبات في مسار الاشعة الساقطة فيكون هناك احتمال كبير من تواافق وضع أحد الحبيبات أو عدد منها مع زاوية سقوط الاشعة بحيث يتحقق قانون براك وبذلك تحدث ظاهرة الحيود.
- ❖ ان نمط الحيود الذي يتم الحصول عليه بهذه الطريقة مطابقاً للحيود الذي نحصل عليه من البلورة الدوارة حول جميع المحاور الممكنة وليس حول محور واحد.
- ❖ وبما ان اتجاه الانعكاسات متتساو في جميع الاتجاهات تقريباً لذا فان الحزمة المحاد تكون مخروطاً محوره باتجاه الشعاع الساقط.
- ❖ يبين الشكل مخاريط من الشعاع المحاد. يبين الشكل نمط الحيود على غشاء تصويري مسطح. ان خط الحيود ذو الزاوية الصغيرة  $2\theta$  يعود الى مستويات متوازية ذات أكبر مسافة بينية  $d_{hkl}$  وتكون لها أكبر قيمة عندما تكون قيمة  $l^2 + k^2 + h^2$  اصغر ما يمكن.

تستخدم طريقة المسحوق للحالات التالية:

- ✓ تستعمل بشكل واسع في حقل فحص المعادن، في دراسة مكونات السبائك ونسب تلك المكونات.
- ✓ وتستخدم عند عدم إمكانية الحصول على بلورة أحادية كبيرة نسبياً (الحجم 1 mm<sup>3</sup>) من بعض المواد.
- ✓ هذه الطريقة مفيدة جداً في الحالات تعين ثوابت البلورة مثل ايجاد قيم (d) للسطح المختلفة للمسحوق
- ✓ تستخدم في دراسة تغيير الطور للمواد

## الشبيكة المقلوبة (Reciprocal lattice):

أن نظرية الشبيكة المقلوبة تعد من المفاهيم الأساسية في علم البلورات وفي فيزياء الحالة الصلبة بحيث يمكن استخدامها للتعبير عن كل الظواهر التي تنتج من تفاعل الموجات في المواد الصلبة مثل الحيود والاستثاره وكذلك يمكن استعمال مفهوم الشبيكة المقلوبة في تفسير نظرية الحزم . Band theory .

أن حيود الاشعه السينيه تنتج من استثارتها من الذرات الواقعه ضمن اي مجموعة من المستويات المتوازية في البلوره ، فعليه من الصعب عمليا تعقب معرفة مصدر كل استثاره وذلك بسبب التداخل بين المستويات في البلوره ولمعرفة مصدر كل استثاره يمكن استخدام الشبيكة المقلوبة واظهار كل مجموعة من المستويات في البلوره بدلالة نقطة يطلق عليها بنقطة الشبيكة المقلوبة.

ان ظهور البقع السوداء على الفلم الفوتوغرافي ينتج في الحقيقة عن استثاره الاشعة السينية من الذرات الواقعه في مجموعة من المستويات المتوازية. ولتشخيص هذه البقع السوداء ومصدرها من المستويات يجب علينا مقارنة نموذج البقع السوداء على الفلم مع النموذج النظري للشبيكة المقلوبة والذي يعد مكافئاً لشكل وصورة نموذج الحيود (البقع السوداء) التي تظهر على الفلم الفوتوغرافي.

تعد الشبيكة المقلوبة من الناحية الرياضية عبارة عن تحويلات فوريير (Fourier Transformation) للشبيكة الحقيقية. تعتمد تحويلات فوريير على نقاط أو موجات تعيد نفسها بشكل دوري. وبما أن المستويات البلورية في اي مجموعة من المستويات المتوازية تعيد نفسها بشكل دوري بمسافة  $d$  فعليه يمكن تطبيق نظرية تحويلات فوريير هنا وكذلك يمكن كتابة دالة فوريير بالشكل:

$$F(r + d) = F(r)$$

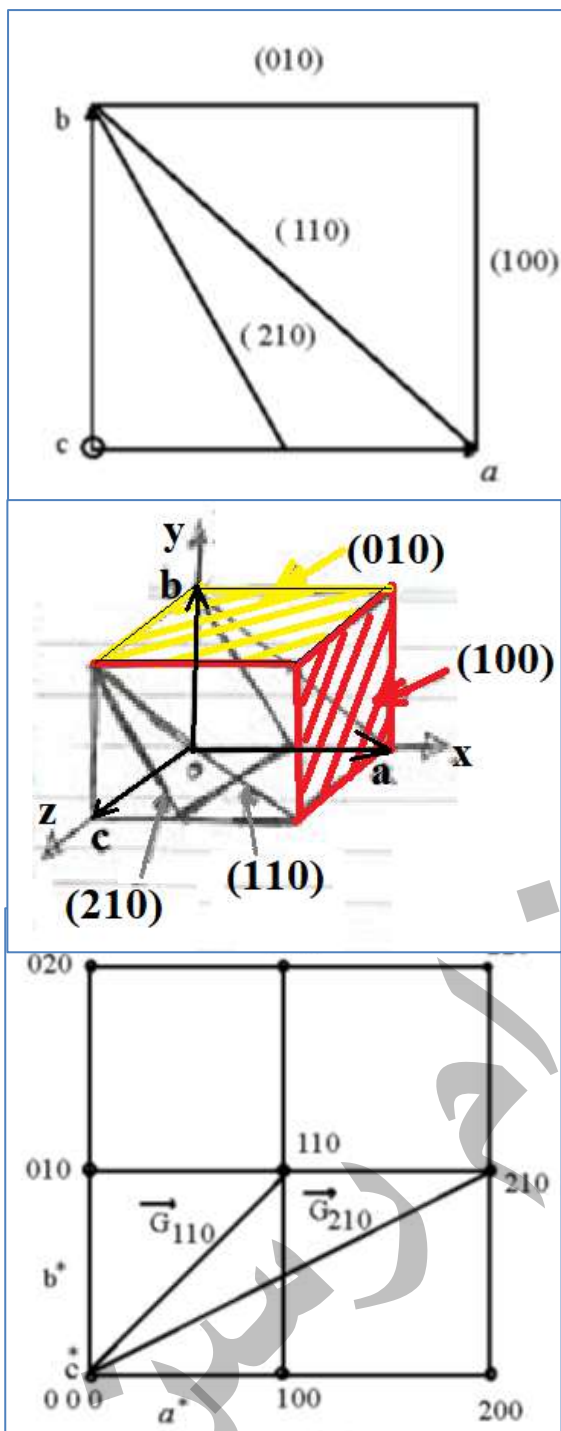
وقد أستطاع فوريير أن يجزء هذه الدالة الى مركبتين الاولى تدعى بالمرکبه الجيبية  $\sin(ar)$  والثانية تدعى بمرکبه جيبي تمام  $\cos(ar)$  ويمكن كتابة الدالة بالصيغة  $\exp[i(ar)]$ . حيث  $\alpha = \frac{2\pi n}{d}$  وتمثل  $n$  عددا صحيحا و  $d$  يمثل المسافة البينية بين المستويات؟

أن الدالة النهائية والتي لها علاقة بالشبيكة المقلوبة هي:

$$F(r) = \int_{-\infty}^{+\infty} f(n) \exp\left(\frac{2\pi n i r}{d}\right) dr$$

في الحقيقة جاءت تسمية الشبيكة المقلوبة من خلال المعادلة اعلاه حيث نرى ان المسافة  $d$  بين المستويات تظهر في المعادلة بصورة مقلوبة.

ان مقلوب المسافة هو الذي يعين موقع نقطة في الشبكة المقلوبة. وعليه يعد من الناحية الرياضية متجمهاً يطلق عليه متجم الشبيكة المقلوبة ( $\vec{G}$ ) ويكتب رياضياً بالصيغة التالية:  $\frac{A}{d_{hkl}} = |\vec{G}|$  حيث  $A$  يمثل عامل مقياس الرسم وقيمه اما  $1$  او  $2\pi$ . في فيزياء الحالة الصلبة سوف نستخدم  $A = 2\pi$ .



### طريقة بناء الشبكة المقلوبة:

كل مجموعة من المستويات المتوازية في بلورة تمثل بمتوجهات من نقطة الأصل لشبكة مقلوبة، وكل متوجه عمودي على تلك المجموعة من المستويات التي يمثلها وان طولها يتاسب عكسياً مع المسافة البنية  $d$  لتلك المجموعة من المستويات. وبعبارة أخرى ان النقاط الواقعه عند نهايات تلك المتوجهات العمودية تشكل نقاط الشبكة المقلوبة لبلورة.

الشكل التالي يبين مجموعة الخطوط المستقيمة التي تمثل مستويات ذات احداثيات (010) و (100) و (110) و (210) مرسومة في بعدين. وتعود هذه المستويات لخلية مكعبية.

فلكي يتم تعين موقع نقاط الشبكة المقلوبة التي تتناظر هذه المستويات نتبع الخطوات التالية:

- أرسم من نقطه الأصل المشتركة 0 إحداثيات البلورة.
- جد قيمة  $\frac{1}{d_{hkl}}$  لكل مجموعة من المستويات المتوازية.
- أرسم من نقطه الأصل عمودي على المستوى ثم ضع نقطه على العمود تبعد عن نقطه الأصل  $\frac{1}{d_{hkl}}$ .

ويبين الشكل مجموعة من النقاط التي تمثل المستويات والتي يطلق عليها بمقاييس الشبكة.

ان اتجاه وطول المتوجه الذي يربط نقطة الأصل بآية نقطة يميز توجيه وفسحة تلك المجموعة من السطوح التي تمثلها النقطة. ان مثل هذا المتوجه يسمى بمتوجه الشبكة المقلوبة  $|\vec{G}| = A \frac{1}{d_{hkl}}$  ، حيث  $A$  هو عامل مقاييس الرسم وقيمه اما 1 او  $2\pi$ .

وسوف نستخدم في فيزياء الحالة الصلبة  $A = 2\pi$

$$\text{أي ان متوجه الشبكة المقلوبة هو } |\vec{G}| = \frac{2\pi}{d_{hkl}}$$

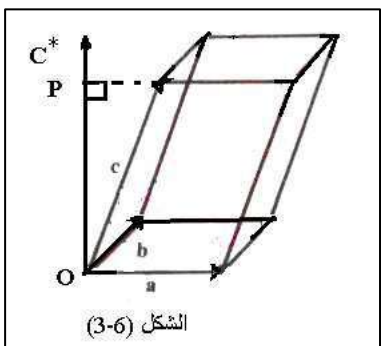
**الشبكة المقلوبة:** هي عدد غير محدود من نقاط مرتبه بنظام وبشكل دوري في فضاء ثلاثي الابعاد. بحيث ان طول المتوجه بين نقطه الأصل واي نقطه في الشبكة المقلوبة تتاسب عكسياً مع المسافة البنية  $d$  في مجموعة من المستويات المتوازية في شبكة حقيقية. تقاس اطوال المتوجهات في الشبكة المقلوبة بمقاييس وحدات المتوجهات في الشبكة المباشره (الحقيقية) : ( $1 \cdot \text{cm}$ ) أو ( $1 \cdot \text{m}$ ) أو ( $1 \cdot \text{\AA}$ ).

**ملاحظة :** الكمية المتوجه تكتب بلون غامق او يوضع فوقها سهم.



## متجهات الشبكة المقلوبة Reciprocal lattice vectors

يمكن تحديد الشبكة المباشرة (الحقيقية) في فضاء حقيقي بالمحاور الاساسية  $\bar{a}$  و  $\bar{b}$  و  $\bar{c}$ ، وبنفس الطريقة يمكن تحديد الشبكة المقلوبة بمحاور أساسية أخرى. تعرف المتجهات الأساسية للشبكة المقلوبة بدالة المتجهات الأساسية للشبكة  $\vec{c}^*$   $\vec{b}^*$   $\vec{a}^*$  وتقرأ  $\bar{b}$   $\bar{a}$ - star  $\bar{c}$ - star بدالة المتجهات الأساسية للشبكة  $\bar{a}$  و  $\bar{b}$  و  $\bar{c}$ .



الشكل (3-6)

لاشتقاق العلاقة بين [المتجهات الأساسية للشبكة الحقيقية (المباشرة)

و  $\bar{b}$  و  $\bar{c}$  وبين [متجهات الشبكة المقلوبة  $\vec{a}^*$   $\vec{c}^*$   $\vec{b}^*$ ] (الشبكة في الفضاء المقلوب - الفضاء المعكوس- فضاء فوريير)، نفرض لدينا خلية من نظام ثلاثي الميل Triclinic ذات محاور أساسية  $\vec{a}$  و  $\vec{b}$  و  $\vec{c}$  كما في الشكل:

ان حجم الخلية يساوي مساحة القاعدة في الارتفاع. وان ارتفاع الخلية يساوي  $op$  ويعادل  $d_{hkl}$  والعلاقة

**بين المساحة والحجم تعطى بالصيغة:**

**حجم خلية الوحدة في الشبكة البلورية العادي (الحقيقية – المباشرة)**

يمكن إعادة كتابة المعادلة السابقة بدلالة متوجه الشبكة المقلوبة : 
$$\left( \left| \vec{G} \right| = \frac{2\pi}{d_{hkl}} \right)$$

$$\vec{a} \dots \vec{b} \dots \times \dots \vec{c} \dots \times \dots \vec{a} \dots \times \dots \vec{b}$$

البسط يمثل

$$\overrightarrow{G_{100}} = 2\pi \frac{\vec{b} \times \vec{c}}{\vec{a} \cdot \vec{b} \times \vec{c}} \quad \dots \dots \quad \overrightarrow{a^*} = 2\pi \frac{\vec{b} \times \vec{c}}{\vec{a} \cdot \vec{b} \times \vec{c}} \quad \text{-----} \quad \overrightarrow{a^*} \perp \vec{b} \times \vec{c}$$

$$\overrightarrow{G_{010}} = 2\pi \frac{\vec{c} \times \vec{a}}{\vec{a} \cdot \vec{b} \times \vec{c}} \quad \dots \dots \quad \overrightarrow{b^*} = 2\pi \frac{\vec{c} \times \vec{a}}{\vec{a} \cdot \vec{b} \times \vec{c}} \quad \text{-----} \quad \overrightarrow{b^*} \perp \vec{c} \times \vec{a}$$

$$\overrightarrow{G_{001}} = 2\pi \frac{\vec{a} \times \vec{b}}{\vec{a} \cdot \vec{b} \times \vec{c}} \quad \dots \dots \quad \overrightarrow{c^*} = 2\pi \frac{\vec{a} \times \vec{b}}{\vec{a} \cdot \vec{b} \times \vec{c}} \quad \text{-----} \quad \overrightarrow{c^*} \perp \vec{a} \times \vec{b}$$

$$\vec{a}^* \cdot \vec{a} = \vec{b}^* \cdot \vec{b} = \vec{c}^* \cdot \vec{c} = 2\pi$$

$$\vec{a}^* \cdot \vec{a} = 2\pi \quad \vec{b}^* \cdot \vec{a} = 0 \quad \vec{c}^* \cdot \vec{a} = 0$$

$$\vec{a}^* \cdot \vec{b} = 0 \quad \vec{b}^* \cdot \vec{b} = 2\pi \quad \vec{c}^* \cdot \vec{b} = 0$$

$$\vec{a}^* \cdot \vec{c} = 0 \quad \vec{b}^* \cdot \vec{c} = 0$$

$$\vec{c}^* \cdot \vec{a} = 0$$

$$\vec{c}^* \cdot \vec{b} = 0$$

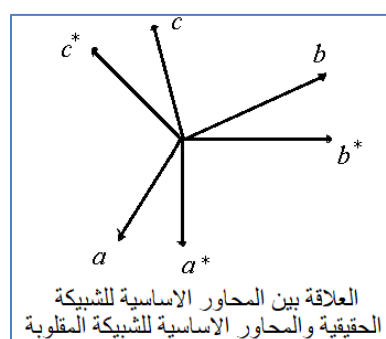
$$\vec{c}^* \cdot \vec{c} = 2\pi$$

ان تحديد موقع نقاط الشبكة الحقيقة بواسطة المتجهات الانتقالية  
البدائية  $\bar{a}$  و  $\bar{b}$  و  $\bar{c}$  وبهذا يكون المتجه الانتقالي الشبكي  $T$  لا ينقطة  
يعرف :

$$\vec{T} = n_1 \vec{a} + n_2 \vec{b} + n_3 \vec{c}$$

وبنفس الطريقة يمكن تعريف موقع أي نقطة في الشبكة المقلوبة بمتوجه الشبكة المقلوبة  $\overrightarrow{G_{hkl}}$  بدلاًلة اعداد صحيحة  $hkl$  لمحاور الشبكة المقلوبة  $\overrightarrow{b^*}$   $\overrightarrow{c^*}$   $\overrightarrow{a^*}$

$$\vec{G}_{hkl} = h\vec{a}^* + k\vec{b}^* + l\vec{c}^*$$





كما نلاحظ ان حجم خلية الوحدة المقلوبة  $V^*$  يتاسب عكسياً مع حجم خلية الوحدة العادية  $V$

$$V^* = \vec{a}^* \cdot \vec{b}^* \times \vec{c}^* \quad & \quad V = \vec{a} \cdot \vec{b} \times \vec{c} \quad & \quad V^* \propto \frac{1}{V} \quad & \quad \vec{a}^* \cdot \vec{b}^* \times \vec{c}^* \propto \frac{1}{\vec{a} \cdot \vec{b} \times \vec{c}}$$

أي ان لكل بلورة شبيكتين ترافقانها و هما الشبكة البلورية (الحقيقية- المباشرة) والشبكة المقلوبة. وعندما نستقبل الاشعة السينية بعد حيودها عبر البلورة فاننا نحصل على صورة تعتبر مسحاً للشبكة المقلوبة وخصائصها.

أي اننا اذا تخيلنا اننا ننظر مباشرة الى البلورة لنجده عن ترتيب الذرات فيها ، فان هذا يُعد تعاملـا مع البنية البلورية الفعلية (الحقيقية - المباشرة) بينما نموذج الحيود يعتبر خريطة لمقلوب الشبكة للبلورة.

أي ان الصورة التي نحصل عليها بالميكرسكوب الالكتروني هي خريطة للتركيب البلوري الحقيقي. وبالمقابل صورة الفلم الفوتوغرافي للأشعة السينية بعد الحيود هي صورة للشبكة المقلوبة.

### شرط الحيود لأقصى شدة :-

لفرض الحصول على اقصى شدة للموجة المستطيرة من سطح في بلورة ما يجب ان تتحقق معادلات لاوي الثلاثة والتي صيغتها بدلالة المتغير الاتجاهي لمتجه الموجة  $\vec{\Delta K}$  وان  $s, r, q$  هي اعداد صحيحة .

$$\begin{aligned} \vec{a} \cdot \vec{\Delta K} &= 2\pi q \\ \vec{b} \cdot \vec{\Delta K} &= 2\pi r \\ \vec{c} \cdot \vec{\Delta K} &= 2\pi s \end{aligned} \quad \text{معادلات لاوي}$$

وتتحقق هذه المعادلات الثلاثة آنياً اذا كان التغير الاتجاهي لمتجه جبهة الموجة  $\vec{\Delta K}$  مساوياً لمتجه الشبكة المقلوبة  $\vec{G}_{hkl}$  وبذلك لحصول على اقصى شدة .

$$\begin{aligned} \vec{\Delta K} &= \vec{G}_{hkl} \\ \vec{k} - \vec{k}' &= ha^* + kb^* + lc^* \end{aligned}$$

ان المعادلة اعلاه تعني ان المتجهين متساوين في القيمة والاتجاه (اطوالهما متساوية واحداهما يوازي الآخر وان كليهما متعامدان على السطح  $hkl$  في البلورة) . وللحصول على المعادلة اعلاه نعمل على تكافؤ شرط براك ولاوي يمكن اثبات ذلك كما يلي :

$$\begin{aligned} \vec{k}' &= \text{متجه الموجة الساقطة} & \vec{k} &= \text{متجه الموجة الساقطة} \\ |\vec{k} - \vec{k}'| &= |\vec{\Delta K}| = |\vec{G}_{hkl}| & \text{قيمة مطلقة تساوي الاطوال .} \end{aligned}$$

### البناء الهندسي لكرة ايوالد:

- استطاع العالم ايوالد ربط فكرة الشبكة المقلوبة مع فكرة كرة الانعكاس التي أطلق عليها بكرة ايوالد لتفصيل النتائج التجريبية لحيود الاشعة السينية.

- يمكن معرفة المستوي الذي يعمل على استطارة الاشعة السينية من معرفة اتجاه وقيمة الطول الموجي للأشعة الساقطة.

- نفرض ان النقاط المرسومة في الشكل تمثل نقاط في الشبكة المقلوبة. نرسم متجه  $\text{CO}$  في اتجاه سقوط الاشعة السينية على ان يكون طوله يساوي  $\left(\frac{1}{\lambda}\right)$  حيث  $\lambda$  تمثل الطول الموجي للأشعة السينية الساقطة ويمر بنقطة في الشبكة المقلوبة مثل  $O$ .

$$\vec{G} = \frac{2\pi}{d_{hkl}} \hat{n}$$

$$2d_{hkl} \sin \theta_{hkl} = n\lambda$$

$$\sin \theta_{hkl} = \frac{\lambda}{2d_{hkl}} = \frac{(1/d_{hkl})}{(2/\lambda)}$$

- الآن إذا رسم مثلث قائم الزاوية في دائرة سيكون قطرها وترًا له والمثلث سيكون قائم الزاوية، فإذا كان قطر الدائرة  $\frac{1}{\lambda}$  وأحد الساقين المتعامدين للمثلث  $\frac{1}{d_{hkl}}$  كانت الزاوية التي تقابل هذا الساق هي  $\theta$  كما في الشكل.

من التمثيل البياني لقانون براك نستطيع ان نحدد حيود الاشعة السينية فقط في نقطة معينة وكما يلي:

1- وضع شريحة بلورة في الموقع  $C$

2- نسقط عليها اشعة سينية طولها الموجي  $\lambda$ . من نقطة  $A$  تتحرف الاشعة بزاوية  $\theta$  الى النقطة  $P$  وبذلك يكون  $PA$  زاوية  $\theta$  مع الشعاع الساقط على البلورة. بحيث  $OP$  عمودي على سطح البلورة وكذلك على  $AP$  وان الزاوية  $PCO$  هي  $2\theta$  ولهذا يكون الشعاع  $CP$  باتجاه الحزمة المنعكسة، حيث ان الشكل اعلاه يمثل قانون براك بدلالة مفاهيم الشبكة المقلوبة حيث يتحقق قانون براك.

$$G = OP = \frac{1}{d_{hkl}} = \frac{\vec{G}}{2\pi}$$

$$k = CO = \frac{1}{\lambda}$$

$$\vec{k} = CP$$

متجه الموجة  $= \frac{2\pi}{\lambda} \vec{k}$  = متجه الموجة الساقطة

يحدث انعكاس براك إذا مرت كرة ايوالد (كرة الانعكاس) بآي نقطة أخرى في الشبكة المقلوبة، مثل النقطة  $P$  التي تتصل بالنقطة  $O$  بواسطة متجه الشبكة المقلوبة  $\vec{G}$  ويكون اتجاه الشعاع المنعكس (المستطير) هو  $\vec{k}$ .

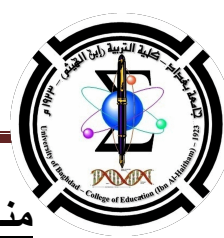
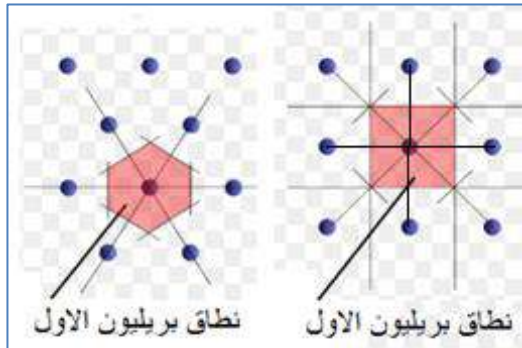
$$\vec{k} = \vec{k} + \vec{G}_{hkl} \quad \vec{G}_{hkl} = \Delta \vec{k}$$

بتربيع طرفي المعادلة (1) وللحيود المرن  $\vec{k} = \vec{k}$  (لا تغير بالطاقة)

$$\vec{k}^2 = (\vec{G}_{hkl} + \vec{k})^2 = G_{hke}^2 + 2\vec{G}_{hkl} \cdot \vec{k} + \vec{k}^2$$

$$G_{hkl}^2 + 2\vec{G}_{hkl} \cdot \vec{k} = 0$$

معادلة براك للشبكة المقلوبة والمعادلة الأخيرة تكافئ معادلة براك في الشبكة الحقيقة

**مناطق بريليون :Brillouin zones**

المنطقة المحيطة بنقطة شبكة مقلوبة (الشبكة المعكosaة) في الفضاء المقلوب (فضاء فوريير او فضاء متوجه الموجة  $\mathbf{k}$ ) تسمى منطقة او نطاق بريليون الأول. نطاق بريليون الأول: هو أصغر حجم للحيز المحيط او المتمركز حول احدى نقاط الشبكة المقلوبة والمحددة بمجموعة من السطوح التي تكون منصفة وعمودية على متجهات الشبكة المقلوبة التي تربط تلك النقطة بالنقط المجاورة بها كما في الشكل.

لتحديد نطاق بريليون الاول حول نقطة شبكة مقلوبة:

1- نربط النقطة بجميع النقاط المجاورة لها بمتوجهات.

2- نرسم خطوط مستقيمة (سطح) بشكل عمودي على هذه المتجهات من نقاط المنتصف.

3- ان أصغر مساحة محصورة بالمستقيمات (السطح) المرسومة تدعى بنطاق بريليون الاول وحجم منطقة بريليون يعطى:

$$V^* = V_{BZ} = \overrightarrow{a}^* \cdot \overrightarrow{b}^* \times \overrightarrow{c}^* = \frac{(2\pi)^3}{V}$$

حيث ان  $V$  هو حجم خلية الوحدة الاولية للشبكة الحقيقية او المباشرة.

ويمكن تعريف منطقة بريليون بانها خلية ويكثر سيتز البدانية في الشبكة المقلوبة.

منطقة بريليون تعطي تفسير هندسي لشروط الحيود متمثلة بالمعادلة

$$G_{hke}^2 + 2\vec{G}_{hkl} \cdot \vec{k} = 0$$

للحصول على شرط الحيود

**ملاحظة: تصحيح الخطأ في المصادر المعتمدة لمادة فيزياء الحالة الصلبة:**

**المصادر**

- فيزياء الحالة الصلبة --- تأليف: د. يحيى نوري الجمال صفة 155 معادلة 59-4

فيزياء الحالة الصلبة ----- تأليف: د. مؤيد جبرائيل يوسف صفة 136 معادلة 80-2

$$V_{BZ} = \left( \frac{2\pi}{a} \right)^3 \quad \text{الخطأ: } V_{BZ} = \left( \frac{2\pi}{V} \right)^3$$

تحلل المطرح . التي  $2k \cdot \vec{G} = \vec{G}^2$  تأليف: د. يحيى نوري - فيزياء الحالة الصلبة

إن حجم كل منطقة من مناطق بريليون يعطى في المعادلة (4.59)

حيث ان  $V$  يمثل حجم وحدة الخلية في الشبكة الحقيقية.

$V_{BZ} = \left( \frac{2\pi}{V} \right)^3$  (4.59)

العامل التركيب الهندسي Geometrical Structure Factor

تحلل المطرح . التي  $2k \cdot \vec{G} = \vec{G}^2$  تأليف: د. يحيى نوري - فيزياء الحالة الصلبة

في كثير من مواقع فيزياء الحالة الصلبة. إن مثل هذه المطرح تدعى حدود نطاق بريليون (Brillouin zone boundaries) ويدعى الحجم المحيط والمحدد بذلك المطرح والغرضة جداً من نقطة الأصل بـ نطاق بريليون الأول. إن حجم كل نطاق بريليون هو حجم الوحدة للشبكة المقلوبة ذات الحجم المقلوب ( $V_{BZ}$ ) الذي يساوي :

$V_{BZ} = \left( \frac{2\pi}{V} \right)^3$  (٤٠-٤)

حيث ان  $V$  هو حجم خلية الوحدة الاولية للشبكة الحقيقة او المباشرة

ان ناطقة بريليون لا يقتصر استخدامها في تحليل تابع جود الأشعة السينية فقط بل تعد صوره أيضاً في نظرية أشرطة الطاقة الإلكترونية في البلورات ونظرية اهتزاز الشبكة وغيرها من المراضع

فيزياء الحالة الصلبة - تأليف: د. مؤيد جبرائيل يوسف

عند معادلة برانك  $n\hat{a} = 2d \sin \theta$  أو معادلات لاوي المذكورة في المعادلة (٣٨-٢) والكافحة لها ، الشرط الأساسي لعدوث حدوث ظاهرة الحيود، وبنم ذلك من خلال منها باعطاء معلومات بمحدث أو عدم حدوث ظاهرة الحيود، ويم ذلك من خلال

مثال: اوجد المتجهات الأساسية للشبكة المقلوبة لشبكة مكعب بسيط SC ؟

مثال: اثبت ان الشبكة المقلوبة لشبكة مكعب بسيط هي ايضاً شبكة مكعب بسيط طول ضلعه  $\frac{2\pi}{a}$

$$\vec{a} = a\hat{x} \quad \vec{b} = a\hat{y} \quad \vec{c} = a\hat{z}$$

$$\vec{a}^* = 2\pi \frac{\vec{b} \times \vec{c}}{\vec{a} \cdot \vec{b} \times \vec{c}} \quad \vec{b}^* = 2\pi \frac{\vec{c} \times \vec{a}}{\vec{a} \cdot \vec{b} \times \vec{c}} \quad \vec{c}^* = 2\pi \frac{\vec{a} \times \vec{b}}{\vec{a} \cdot \vec{b} \times \vec{c}}$$

$$V = |\vec{a} \times \vec{b} \cdot \vec{c}| = |a\hat{x} \times a\hat{y} \cdot a\hat{z}| = |a^2 \hat{z} \cdot a\hat{z}| = |a^3|$$

$$\vec{a}^* = 2\pi \frac{\vec{b} \times \vec{c}}{\vec{a} \cdot \vec{b} \times \vec{c}} = \frac{2\pi}{a^3} (\vec{b} \times \vec{c}) = \frac{2\pi}{a^3} (a\hat{y} \times a\hat{z}) = \frac{2\pi a^2}{a^3} (\hat{y} \times \hat{z}) = \frac{2\pi}{a} \hat{x}$$

$$\vec{a}^* = \frac{2\pi}{a} \hat{x}$$

$$\vec{b}^* = 2\pi \frac{\vec{c} \times \vec{a}}{\vec{a} \cdot \vec{b} \times \vec{c}} = \frac{2\pi}{a^3} (\vec{c} \times \vec{a}) = \frac{2\pi}{a^3} (a\hat{z} \times a\hat{x}) = \frac{2\pi a^2}{a^3} (\hat{z} \times \hat{x}) = \frac{2\pi}{a} \hat{y}$$

$$\vec{b}^* = \frac{2\pi}{a} \hat{y}$$

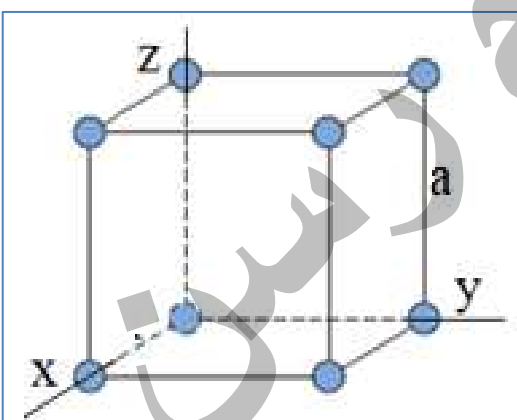
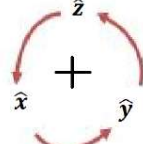
$$\vec{c}^* = 2\pi \frac{\vec{a} \times \vec{b}}{\vec{a} \cdot \vec{b} \times \vec{c}} = \frac{2\pi}{a^3} (\vec{a} \times \vec{b}) = \frac{2\pi}{a^3} (a\hat{x} \times a\hat{y}) = \frac{2\pi a^2}{a^3} (\hat{x} \times \hat{y}) = \frac{2\pi}{a} \hat{z}$$

$$\vec{c}^* = \frac{2\pi}{a} \hat{z}$$

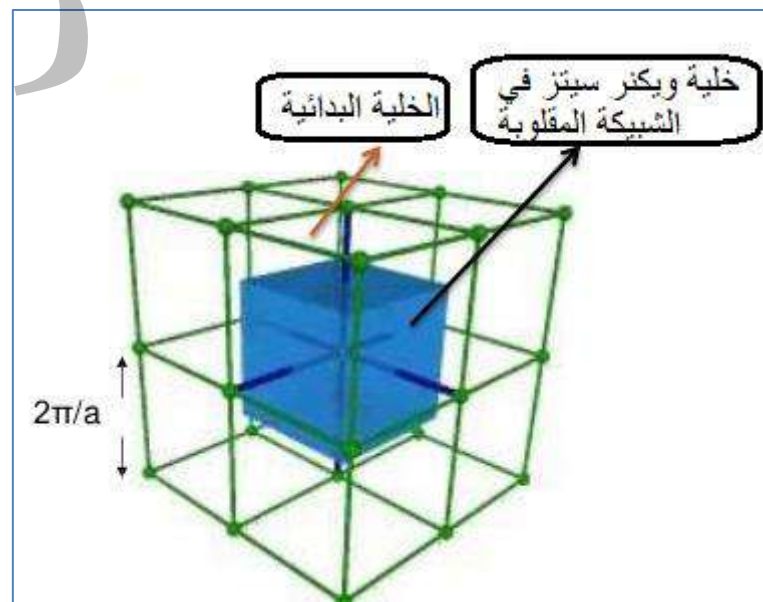
$$\vec{G}_{hkl} = h\vec{a}^* + k\vec{b}^* + l\vec{c}^*$$

$$\vec{G}_{hkl} = h \frac{2\pi}{a} \hat{x} + k \frac{2\pi}{a} \hat{y} + l \frac{2\pi}{a} \hat{z} \quad \dots \dots \quad \vec{G}_{hkl} = \frac{2\pi}{a} (h\hat{x} + k\hat{y} + l\hat{z})$$

$$V^* = V_{BZ} = \vec{a}^* \cdot \vec{b}^* \times \vec{c}^* = \frac{2\pi}{a} \hat{x} \cdot \frac{2\pi}{a} \hat{y} \times \frac{2\pi}{a} \hat{z} = \frac{2\pi}{a} \hat{x} \cdot \frac{4\pi^2}{a^2} \hat{z} = \frac{(2\pi)^3}{a^3} = \left(\frac{2\pi}{a}\right)^3 = \frac{(2\pi)^3}{V}$$



الشبكة البلورية (الحقيقية او المباشرة)



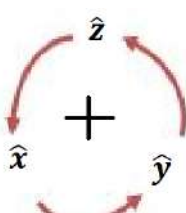
الشبكة المقلوبة (الشبكة المعكosaة)

مثال: اوجد المتجهات الأساسية للشبكة المقلوبة لشبكة مكعب متمركز الجسم BCC ؟  
مثال: اثبت ان الشبكة المقلوبة لمكعب BCC هي شبكة مكعب FCC ؟

$$\vec{a} = \frac{1}{2}a(-\hat{x} + \hat{y} + \hat{z})$$

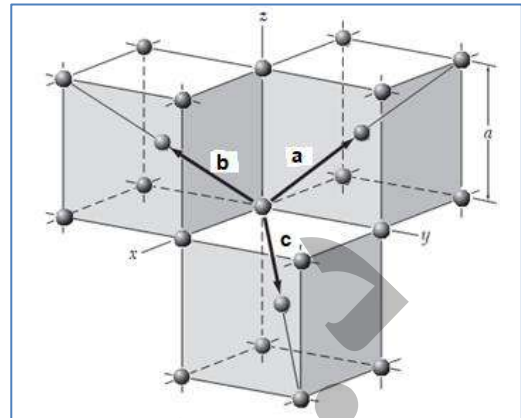
$$\vec{b} = \frac{1}{2}a(\hat{x} - \hat{y} + \hat{z})$$

$$\vec{c} = \frac{1}{2}a(\hat{x} + \hat{y} - \hat{z})$$



$$V = |\vec{a} \times \vec{b} \cdot \vec{c}| = \frac{1}{2}a^3$$

تم اثباتها في الفصل الأول



$$\vec{a}^* = 2\pi \frac{\vec{b} \times \vec{c}}{\vec{a} \cdot \vec{b} \times \vec{c}} \quad \vec{b}^* = 2\pi \frac{\vec{c} \times \vec{a}}{\vec{a} \cdot \vec{b} \times \vec{c}} \quad \vec{c}^* = 2\pi \frac{\vec{a} \times \vec{b}}{\vec{a} \cdot \vec{b} \times \vec{c}}$$

$$\vec{a}^* = 2\pi \frac{\vec{b} \times \vec{c}}{\vec{a} \cdot \vec{b} \times \vec{c}} = \frac{2\pi}{\frac{1}{2}a^3} (\vec{b} \times \vec{c}) = \frac{4\pi}{a^3} (\vec{b} \times \vec{c})$$

$$\vec{b} = \frac{a}{2}\hat{x} - \frac{a}{2}\hat{y} + \frac{a}{2}\hat{z} \quad \vec{c} = \frac{a}{2}\hat{x} + \frac{a}{2}\hat{y} - \frac{a}{2}\hat{z}$$

$$(\vec{b} \times \vec{c}) = \begin{vmatrix} \hat{x} & \hat{y} & \hat{z} \\ \frac{a}{2} & -\frac{a}{2} & \frac{a}{2} \\ \frac{a}{2} & \frac{a}{2} & -\frac{a}{2} \end{vmatrix}$$

$$(\vec{b} \times \vec{c}) = \begin{vmatrix} \hat{x} & \hat{y} & \hat{z} \\ \frac{a}{2} & -\frac{a}{2} & \frac{a}{2} \\ \frac{a}{2} & \frac{a}{2} & -\frac{a}{2} \end{vmatrix} \begin{vmatrix} \hat{x} & \hat{y} & \hat{z} \\ \frac{a}{2} & -\frac{a}{2} & \frac{a}{2} \\ \frac{a}{2} & \frac{a}{2} & -\frac{a}{2} \end{vmatrix}$$

$$\vec{b} \times \vec{c} = \left( \frac{a^2}{4} - \frac{a^2}{4} \right) \hat{x} + \left( \frac{a^2}{4} + \frac{a^2}{4} \right) \hat{y} + \left( \frac{a^2}{4} + \frac{a^2}{4} \right) \hat{z} = \frac{a^2}{2} \hat{y} + \frac{a^2}{2} \hat{z}$$

$$\vec{a}^* = \frac{4\pi}{a^3} (\vec{b} \times \vec{c}) = \frac{4\pi}{a^3} \left( \frac{a^2}{2} (\hat{y} + \hat{z}) \right) = \frac{2\pi}{a} (\hat{y} + \hat{z})$$

$$\vec{a}^* = \frac{2\pi}{a} (\hat{y} + \hat{z})$$

$$\vec{b}^* = \frac{2\pi}{a} (\hat{x} + \hat{z})$$

$$\vec{c}^* = \frac{2\pi}{a} (\hat{x} + \hat{y})$$

وبنفس الطريقة يمكن اثبات

انتهى الجواب

$$\vec{G}_{hkl} = h\vec{a}^* + k\vec{b}^* + l\vec{c}^*$$

$$\vec{G}_{hkl} = h \frac{2\pi}{a} (\hat{y} + \hat{z}) + k \frac{2\pi}{a} (\hat{x} + \hat{z}) + l \frac{2\pi}{a} (\hat{x} + \hat{y})$$

$$\vec{G}_{hkl} = \frac{2\pi}{a} \{h(\hat{y} + \hat{z}) + k(\hat{x} + \hat{z}) + l(\hat{x} + \hat{y})\}$$

المتجهات الانتقالية الأساسية لشبكة المقلوبة  $FCC$  هنا تمثل شبكة مكعب BCC المتجهات الانتقالية الأساسية لشبكة مكعب FCC

$$\vec{a} = \frac{1}{2}\vec{a}(-\hat{x} + \hat{y} + \hat{z}) \quad \vec{b} = \frac{1}{2}\vec{a}(\hat{x} - \hat{y} + \hat{z}) \quad \vec{c} = \frac{1}{2}\vec{a}(\hat{x} + \hat{y} - \hat{z})$$

$$V = |\vec{a} \times \vec{b} \cdot \vec{c}| = \frac{1}{2}a^3$$

حجم خلية الوحدة في الشبكة الحقيقية والمتوجهات الانتقالية لشبكة المقلوبة لها ستكون شبكة مقلوبة لمكعب FCC

$$\vec{a}^* = \frac{2\pi}{a}(\hat{y} + \hat{z}) \quad \vec{b}^* = \frac{2\pi}{a}(\hat{x} + \hat{z}) \quad \vec{c}^* = \frac{2\pi}{a}(\hat{x} + \hat{y})$$

**سؤال:** اثبت ان حجم خلية الوحدة المقلوبة  $V^*$  شبكة مقلوبة FCC

$$V^* = \vec{a}^* \cdot \vec{b}^* \times \vec{c}^* = 2 \left( \frac{2\pi}{a} \right)^3$$

طبعاً يجب اجراء الضرب الاتجاهي اوًّا وبعدّها يتم اكمال الضرب العددي

$$\vec{a}^* = \frac{2\pi}{a}(\hat{y} + \hat{z}) \quad \vec{b}^* = \frac{2\pi}{a}(\hat{x} + \hat{z}) \quad \vec{c}^* = \frac{2\pi}{a}(\hat{x} + \hat{y})$$

$$V^* = \vec{a}^* \cdot \vec{b}^* \times \vec{c}^* = \left( \frac{2\pi}{a} \hat{y} + \frac{2\pi}{a} \hat{z} \right) \cdot \left( \frac{2\pi}{a} \hat{x} + \frac{2\pi}{a} \hat{z} \right) \times \left( \frac{2\pi}{a} \hat{x} + \frac{2\pi}{a} \hat{y} \right)$$

$$(\vec{b}^* \times \vec{c}^*) = \begin{vmatrix} \hat{x} & \hat{y} & \hat{z} \\ \frac{2\pi}{a} & 0 & \frac{2\pi}{a} \\ \frac{2\pi}{a} & \frac{2\pi}{a} & 0 \end{vmatrix}$$

$$(\vec{b} \times \vec{c}) = \begin{vmatrix} \hat{x} & \hat{y} & \hat{z} \\ \frac{2\pi}{a} & 0 & \frac{2\pi}{a} \\ \frac{2\pi}{a} & \frac{2\pi}{a} & 0 \end{vmatrix}$$

$$\vec{b} \times \vec{c} = \left( 0 - \frac{4\pi^2}{a^2} \right) \hat{x} + \left( \frac{4\pi^2}{a^2} - 0 \right) \hat{y} + \left( 0 - \frac{4\pi^2}{a^2} \right) \hat{z}$$

$$= \frac{-4\pi^2}{a^2} \hat{x} + \frac{4\pi^2}{a^2} \hat{y} + \frac{4\pi^2}{a^2} \hat{z}$$

$$V^* = \vec{a}^* \cdot \vec{b}^* \times \vec{c}^* = \left( \frac{2\pi}{a} \hat{y} + \frac{2\pi}{a} \hat{z} \right) \cdot \left( \frac{-4\pi^2}{a^2} \hat{x} + \frac{4\pi^2}{a^2} \hat{y} + \frac{4\pi^2}{a^2} \hat{z} \right)$$

$$V^* = \frac{8\pi^3}{a^3} + \frac{8\pi^3}{a^3} = \left( \frac{2\pi}{a} \right)^3 + \left( \frac{2\pi}{a} \right)^3 = 2 \left( \frac{2\pi}{a} \right)^3$$

مثال: اوجد المتجهات الأساسية لشبكة المقلوبة لشبكة مكعب متمركز الاوجه FCC ؟  
مثال: اثبت ان الشبكة المقلوبة لمكعب FCC هي شبكة مكعب BCC ؟

$$\vec{a} = \frac{1}{2}a(\hat{\mathbf{y}} + \hat{\mathbf{z}})$$

$$\vec{b} = \frac{1}{2}a(\hat{\mathbf{x}} + \hat{\mathbf{z}})$$

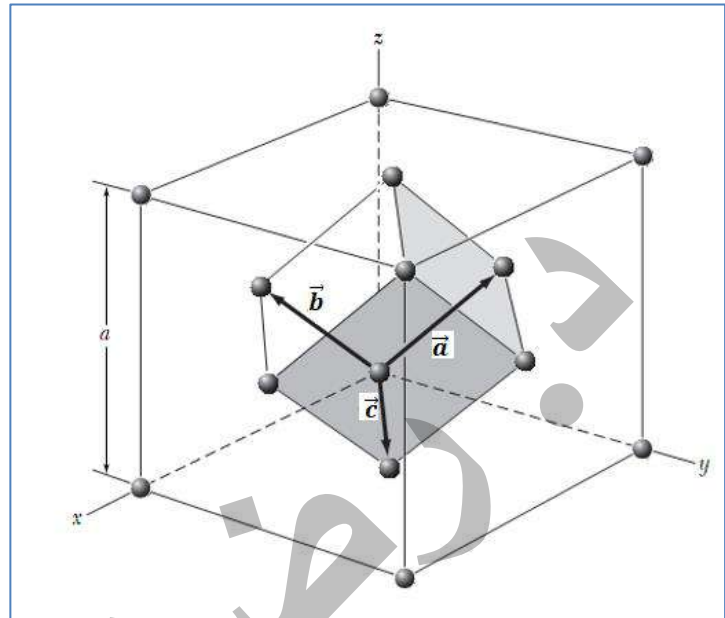
$$\vec{c} = \frac{1}{2}a(\hat{\mathbf{x}} + \hat{\mathbf{y}})$$

$$V = |\vec{a} \cdot \vec{b} \times \vec{c}| = \frac{1}{4}a^3$$

حجم الخلية الاولية لشبكة مكعب متمركز الاوجه تم اثباتها في الفصل الاول

$$\vec{a}^* = 2\pi \frac{\vec{b} \times \vec{c}}{\vec{a} \cdot \vec{b} \times \vec{c}}$$

$$\vec{c}^* = 2\pi \frac{\vec{a} \times \vec{b}}{\vec{a} \cdot \vec{b} \times \vec{c}}$$



$$\vec{a}^* = 2\pi \frac{\vec{b} \times \vec{c}}{\vec{a} \cdot \vec{b} \times \vec{c}} = \frac{2\pi}{\frac{1}{4}a^3} (\vec{b} \times \vec{c}) = \frac{8\pi}{a^3} (\vec{b} \times \vec{c})$$

$$\vec{b} = \frac{a}{2}\hat{\mathbf{x}} + \frac{a}{2}\hat{\mathbf{z}} \quad \vec{c} = \frac{a}{2}\hat{\mathbf{x}} + \frac{a}{2}\hat{\mathbf{y}}$$

$$(\vec{b} \times \vec{c}) = \begin{vmatrix} \hat{\mathbf{x}} & \hat{\mathbf{y}} & \hat{\mathbf{z}} \\ \frac{a}{2} & 0 & \frac{a}{2} \\ \frac{a}{2} & \frac{a}{2} & 0 \end{vmatrix}$$

$$(\vec{b} \times \vec{c}) = \begin{vmatrix} \hat{\mathbf{x}} & \hat{\mathbf{y}} & \hat{\mathbf{z}} \\ \frac{a}{2} & 0 & \frac{a}{2} \\ \frac{a}{2} & \frac{a}{2} & 0 \end{vmatrix} \begin{vmatrix} \hat{\mathbf{x}} & \hat{\mathbf{y}} & \hat{\mathbf{z}} \\ \frac{a}{2} & 0 & \frac{a}{2} \\ \frac{a}{2} & \frac{a}{2} & 0 \end{vmatrix}$$

$$\begin{aligned} \vec{b} \times \vec{c} &= \left(0 - \frac{a^2}{4}\right)\hat{\mathbf{x}} + \left(\frac{a^2}{4} - 0\right)\hat{\mathbf{y}} + \left(\frac{a^2}{4} - 0\right)\hat{\mathbf{z}} \\ &= -\frac{a^2}{4}\hat{\mathbf{x}} + \frac{a^2}{4}\hat{\mathbf{y}} + \frac{a^2}{4}\hat{\mathbf{z}} = \frac{a^2}{4}(-\hat{\mathbf{x}} + \hat{\mathbf{y}} + \hat{\mathbf{z}}) \end{aligned}$$

$$\vec{a}^* = \frac{8\pi}{a^3} (\vec{b} \times \vec{c}) = \frac{8\pi}{a^3} \left( \frac{a^2}{4} (-\hat{\mathbf{x}} + \hat{\mathbf{y}} + \hat{\mathbf{z}}) \right) = \frac{2\pi}{a} (-\hat{\mathbf{x}} + \hat{\mathbf{y}} + \hat{\mathbf{z}})$$

$$\vec{a}^* = \frac{2\pi}{a} (-\hat{\mathbf{x}} + \hat{\mathbf{y}} + \hat{\mathbf{z}})$$

وبنفس الطريقة يمكن اثبات

$$\vec{b}^* = \frac{2\pi}{a} (\hat{\mathbf{x}} - \hat{\mathbf{y}} + \hat{\mathbf{z}})$$

$$\vec{c}^* = \frac{2\pi}{a} (\hat{\mathbf{x}} + \hat{\mathbf{y}} - \hat{\mathbf{z}})$$

انتهى الجواب

المتجهات الانتقالية الأساسية لشبكة المقلوبة ( $\vec{a}^*$   $\vec{b}^*$   $\vec{c}^*$ ) هنا تمثل شبكة مكعب BCC

$$\vec{G}_{hkl} = h\vec{a}^* + k\vec{b}^* + l\vec{c}^*$$

$$\vec{G}_{hkl} = h \frac{2\pi}{a} (-\hat{x} + \hat{y} + \hat{z}) + k \frac{2\pi}{a} (-\hat{x} + \hat{y} + \hat{z}) + l \frac{2\pi}{a} (\hat{x} + \hat{y} - \hat{z})$$

$$\vec{G}_{hkl} = \frac{2\pi}{a} \{h(-\hat{x} + \hat{y} + \hat{z}) + k(-\hat{x} + \hat{y} + \hat{z}) + l(\hat{x} + \hat{y} - \hat{z})\}$$

المتجهات الانتقالية الأساسية لشبكة المقلوبة ( $\vec{a}^*$   $\vec{b}^*$   $\vec{c}^*$ ) هنا تمثل شبكة مكعب BCC

المتجهات الانتقالية الأساسية لشبكة مكعب FCC

$$\vec{a} = \frac{1}{2}a(\hat{y} + \hat{z}) \quad \vec{b} = \frac{1}{2}a(\hat{x} + \hat{z}) \quad \vec{c} = \frac{1}{2}a(\hat{x} + \hat{y})$$

$$V = |\vec{a} \times \vec{b} \cdot \vec{c}| = \frac{1}{4}a^3$$

حجم خلية الوحدة في الشبكة الحقيقية BCC

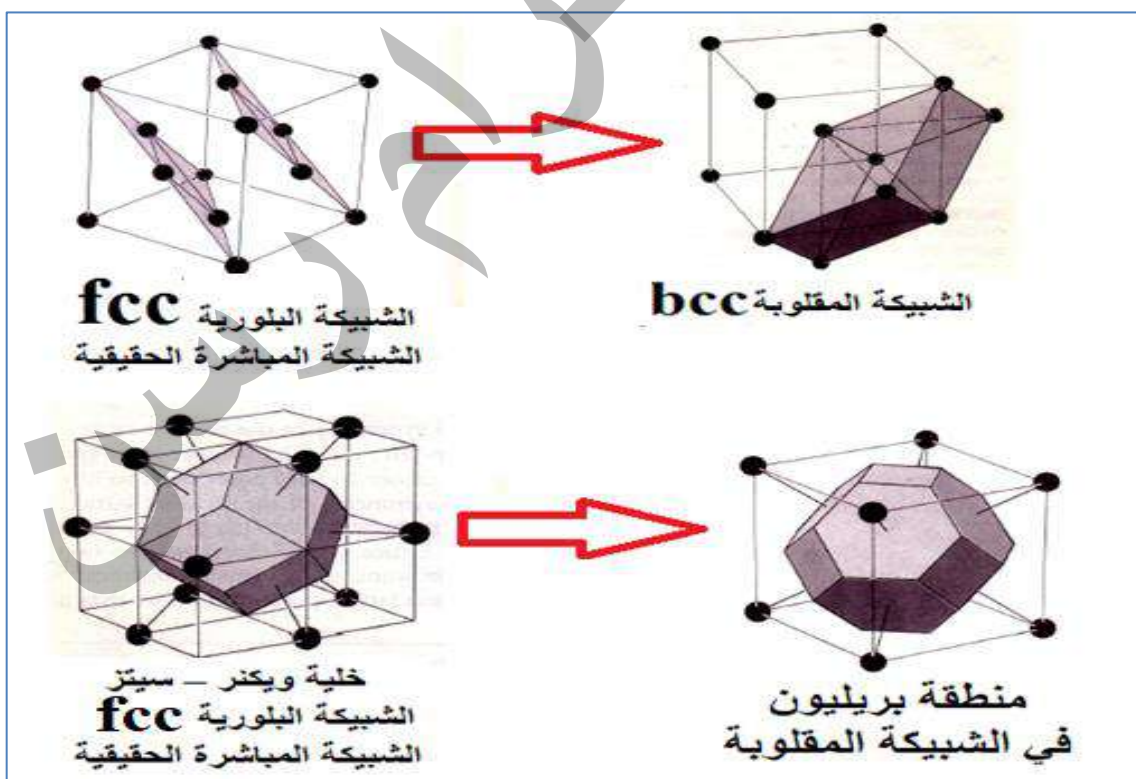
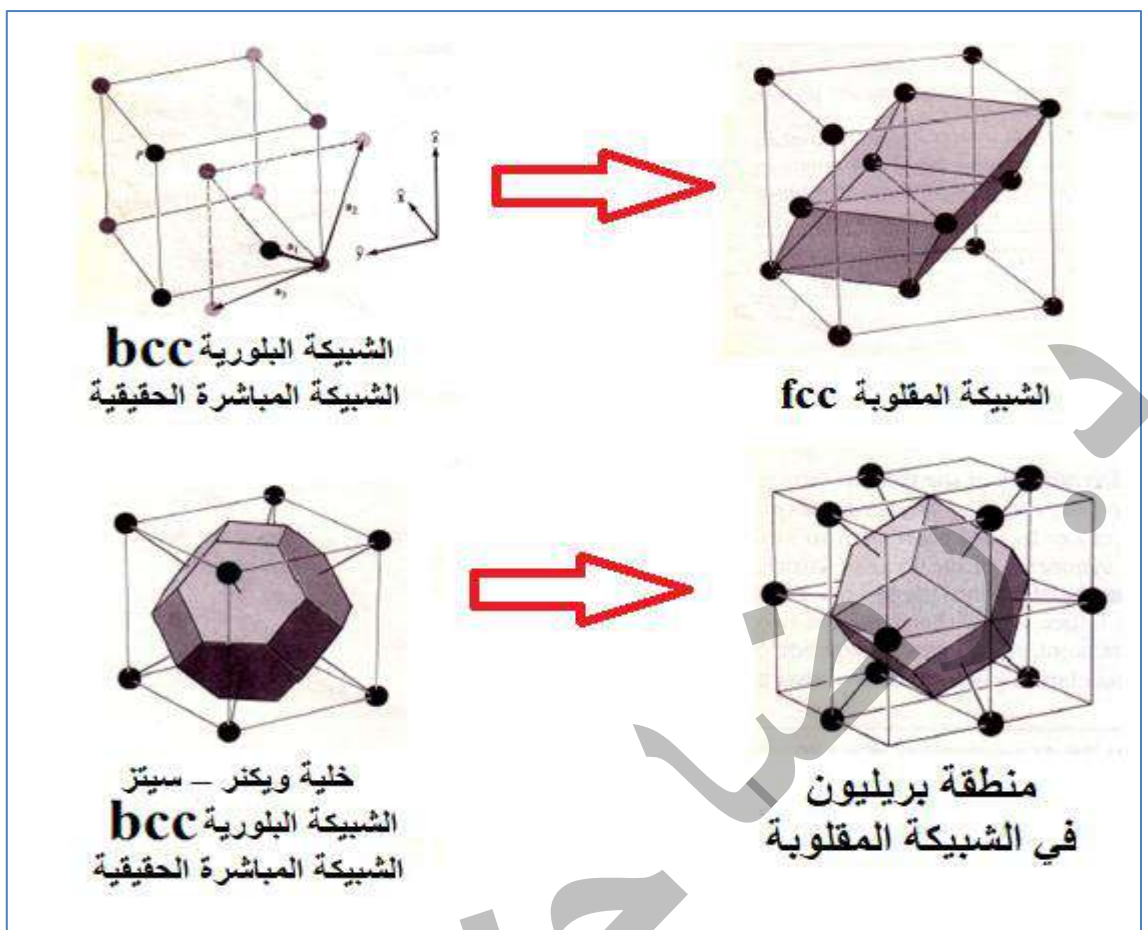
والتجهيزات الانتقالية لشبكة المقلوبة لها ستكون شبكة مقلوبة لمكعب

$$\vec{a}^* = \frac{2\pi}{a} (-\hat{x} + \hat{y} + \hat{z}) \quad \vec{b}^* = \frac{2\pi}{a} (\hat{x} - \hat{y} + \hat{z}) \quad \vec{c}^* = \frac{2\pi}{a} (\hat{x} + \hat{y} - \hat{z})$$

سؤال H.W. : اثبت ان حجم خلية الوحدة المقلوبة  $V^*$  لشبكة مقلوبة BCC

$$V^* = \vec{a}^* \cdot \vec{b}^* \times \vec{c}^* = 4 \left( \frac{2\pi}{a} \right)^3$$

طبعا يجب اجراء الضرب الاتجاهي أولاً وبعد ذلك يتم اكمال الضرب العددي





**مثال: ايجاد فسحة السطوح  $d_{hkl}$  (الفسحة البنية) باستعمال افكار الشبكة المقلوبة ؟**

يمكن ايجاد  $(d_{hke})$  باستخدام مفاهيم الشبكة المقلوبة مثل المعادلات :

تمثل المعادلة 2 اي متوجه في الشبكة المقلوبة من نقطة الاصل الشبكة الى النقطة  $(hkl)$  حيث مثلنا المستوى  $(hkl)$  بنقطة. اما المعادلة 1 فتمثل متوجه الشبكة المقلوبة حيث  $n$  وحدة متوجه او متوجه الوحدة. وباستخدام الضرب العددي للمعادلة 2 اي المتوجه  $G_{hkl}$  بنفسه.

$$\vec{G}_{hkl} \cdot \vec{G}_{hkl} = (ha^* + kb^* + lc^*). (ha^* + kb^* + lc^*) \\ = hh a^*. a^* + hk a^*. b^* + hl a^*. c^* + \\ kh b^*. a^* + kk b^*. b^* + kl b^*. c^* + \\ lh c^*. a^* + lk c^*. b^* + ll c^*. c^*$$

نستخدم العلاقة

$$a^*. b^* = a^* b^* \cos Y^*$$

$$b^*.c^* = b^* c^* \cos \alpha^*$$

$$c^*. a^* = c^* a^* \cos \beta^*$$

نرتّب المعادلة ونستخدم المعادلة لنحصل على:

$$G^2_{hke} = h^2 a^{*2} + k^2 b^{*2} + l^2 c^{*2} + 2hka^* b^* \cos \gamma^* + 2klb^* c^* \cos \alpha^* + 2lh c^* a^* \cos \beta^*$$

ان المعادلة الاخيرة تمثل تعبيراً عاماً للنظام البلوري الثلاثي الميل والذي فيه لا تتساو الا ضلائع ولا الزوايا. وايضاً ينطبق على جميع الأنظمة البلورية الأخرى.

$$Y^* = \alpha^* = \beta^* = 90^\circ \quad \text{والزوايا} \quad a^* = b^* = c^*$$

$$G^2_{hkl} = h^2 a^{*2} + k^2 b^{*2} + l^2 c^{*2}$$

$$\& \quad a^* = \frac{2\pi}{a} \quad \& \quad |\vec{G}| = G = \frac{2\pi}{d_{hkl}}$$

$$\mathbf{G}^2_{\text{hke}} = (h^2 + k^2 + l^2)a^{*2}$$

$$\left(\frac{2\pi}{d_{hkl}}\right)^2 = (h^2 + k^2 + l^2) \left(\frac{2\pi}{a}\right)^2$$

$$\frac{4\pi^2}{d_{hkl}^2} = (h^2 + k^2 + l^2) \frac{4\pi^2}{a^2}$$

$$d^2_{hkl} = \frac{a^2}{h^2+k^2+l^2}$$

$$d_{hkl} = \frac{a}{\sqrt{h^2+k^2+l^2}}$$

مثال: برهن على أن متجه الشبكة المقلوبة  $\vec{G}_{hkl}$  يكون عمودياً على المستوى  $(hkl)$ ؟

الجواب:

لإثبات أن متجه الشبكة المقلوبة  $\vec{G}_{hkl} = h\vec{a}^* + k\vec{b}^* + l\vec{c}^*$  عمودي على المستوى  $(hkl)$ .

يكفي أن نثبت أن  $\vec{G}_{hkl}$  عمودي على متغيرين غير متوازيين في هذا المستوى. المستوى البلوري الذي معاملات ميلر له هي  $hkl$  هو مستوى يُعرف بالنقاط  $\frac{a}{h}, \frac{b}{k}, \frac{c}{l}$ .

يمكن ان نأخذ المتجهين  $\left(\frac{\vec{a}}{h} - \frac{\vec{b}}{k}\right)$  and  $\left(\frac{\vec{a}}{h} - \frac{\vec{c}}{l}\right)$  اللذان يقعان في هذا المستوى. فإذا كان حاصل الضرب العددي لهذين المتجهين مع متجه الشبكة المقلوبة  $\vec{G}_{hkl}$  يساوي صفر، فإن متجه الشبكة المقلوبة  $\vec{G}_{hkl}$  يكون عمودياً على سطح البلورة  $(hkl)$ .

$$\vec{G} \cdot \left( \frac{\vec{a}}{h} - \frac{\vec{b}}{k} \right) = 0 \quad (\theta = 90^\circ) \rightarrow \cos\theta = 0 \rightarrow \vec{G} \perp (hkl)$$

$$\vec{G} \cdot \left( \frac{\vec{a}}{h} - \frac{\vec{b}}{k} \right) = (h\vec{a}^* + k\vec{b}^* + l\vec{c}^*) \cdot \left( \frac{\vec{a}}{h} - \frac{\vec{b}}{k} \right)$$

$$= \frac{h}{h}(\vec{a}^* \cdot \vec{a}) - \frac{h}{k}(\vec{a}^* \cdot \vec{b}) + \frac{k}{h}(\vec{b}^* \cdot \vec{a}) - \frac{k}{k}(\vec{b}^* \cdot \vec{b}) + \frac{l}{h}(\vec{c}^* \cdot \vec{a}) \\ - \frac{l}{k}(\vec{c}^* \cdot \vec{b})$$

$$\vec{a}^* \cdot \vec{a} = 2\pi$$

$$\vec{a}^* \cdot \vec{b} = 0$$

$$\vec{a}^* \cdot \vec{c} = 0$$

$$\vec{b}^* \cdot \vec{a} = 0$$

$$\vec{b}^* \cdot \vec{b} = 2\pi$$

$$\vec{b}^* \cdot \vec{c} = 0$$

$$\vec{c}^* \cdot \vec{a} = 0$$

$$\vec{c}^* \cdot \vec{b} = 0$$

$$\vec{c}^* \cdot \vec{c} = 2\pi$$

$$\therefore \vec{G} \cdot \left( \frac{\vec{a}}{h} - \frac{\vec{b}}{k} \right) = 0$$

$$\vec{G} \cdot \left( \frac{\vec{a}}{h} - \frac{\vec{c}}{l} \right) = 0$$

أي أن متجه الشبكة المقلوبة  $\vec{G}_{hkl}$  يكون عمودياً على سطح البلورة  $(hkl)$

مثال: اثبت أن فسحة السطوح (المسافة بين مستويين متوازيين متعاقبين في الشبكة تساوي

$$d_{hkl} = \frac{2\pi}{|\mathbf{G}_{hkl}|}$$

اذا كان  $\left( \hat{\mathbf{n}} = \frac{\vec{\mathbf{G}}}{|\vec{\mathbf{G}}|} = \frac{\vec{\mathbf{G}}_{hkl}}{|\vec{\mathbf{G}}_{hkl}|} \right)$  يمثل الوحدة العمودية على المستوى، الفسحة البينية  $\left( \frac{\vec{a}}{h} \cdot \hat{\mathbf{n}} \right)$  كما في موضع في الشكل.

يمكن ان نلاحظ بان كلا من  $\mathbf{G}_{hkl}$  والتجه من نقطة الأصل باتجاه المستوى  $(hkl)$  يمكن ان نعبر عنها كمضاعفات لتجه الوحدة  $\hat{\mathbf{n}}$ .

معادلة المستوى  $(hkl)$

$$d_{hkl} = \vec{r} \cdot \hat{\mathbf{n}} = \frac{\vec{a}}{h} \cdot \frac{\vec{\mathbf{G}}_{hkl}}{|\vec{\mathbf{G}}_{hkl}|} = \vec{r} \cdot \frac{\vec{\mathbf{G}}_{hkl}}{|\vec{\mathbf{G}}_{hkl}|}$$

بالنسبة لاي تجه  $\vec{r}$  مقداره اكبر من  $d_{hkl}$  والتجه  $(\vec{a}/h)$  والتجه  $d_{hkl} \hat{\mathbf{n}}$

$$d_{hkl} = \frac{\vec{a} \cdot \vec{\mathbf{G}}_{hkl}}{h |\vec{\mathbf{G}}_{hkl}|} = \frac{\vec{a} \cdot (h\vec{a}^* + k\vec{b}^* + l\vec{c}^*)}{h |\vec{\mathbf{G}}_{hkl}|}$$

$$d_{hkl} = \frac{h(\vec{a} \cdot \vec{a}^*) + k(\vec{a} \cdot \vec{b}^*) + l(\vec{a} \cdot \vec{c}^*)}{h |\vec{\mathbf{G}}_{hkl}|} = \frac{h(2\pi) + k(0) + l(0)}{h |\vec{\mathbf{G}}_{hkl}|}$$

$$\vec{a}^* \cdot \vec{a} = 2\pi$$

$$\vec{b}^* \cdot \vec{a} = 0$$

$$\vec{c}^* \cdot \vec{a} = 0$$

$$\vec{a}^* \cdot \vec{b} = 0$$

$$\vec{b}^* \cdot \vec{b} = 2\pi$$

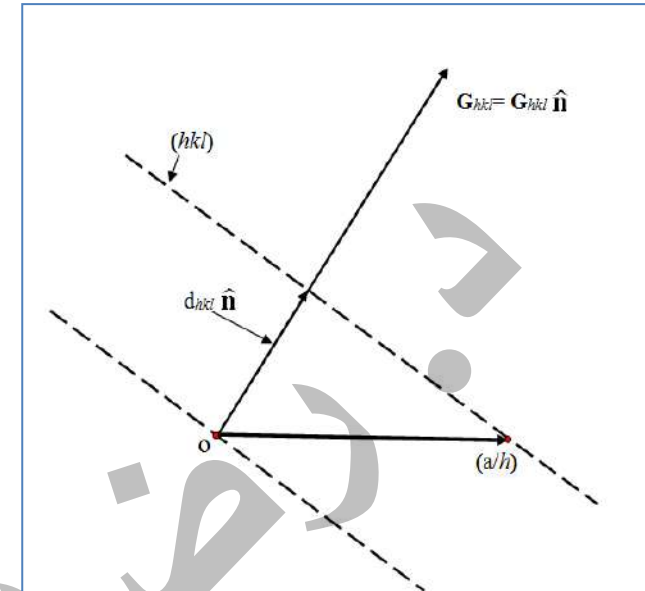
$$\vec{c}^* \cdot \vec{b} = 0$$

$$\vec{a}^* \cdot \vec{c} = 0$$

$$\vec{b}^* \cdot \vec{c} = 0$$

$$\vec{c}^* \cdot \vec{c} = 2\pi$$

$$d_{hkl} = \frac{2\pi}{|\vec{\mathbf{G}}_{hkl}|}$$



مثال: اثبت انه لشبكة مكعب بسيط  $d^2 = \frac{a^2}{(h^2+k^2+l^2)}$  باستعمال أفكار الشبكة المقلوبة؟

$$\begin{aligned}\vec{a} &= a\hat{x} & \vec{b} &= a\hat{y} & \vec{c} &= a\hat{z} \\ \vec{a}^* &= \frac{2\pi}{a}\hat{x} & \vec{b}^* &= \frac{2\pi}{a}\hat{y} & \vec{c}^* &= \frac{2\pi}{a}\hat{z} \\ \vec{G}_{hkl} &= h\vec{a}^* + k\vec{b}^* + l\vec{c}^* & \vec{G}_{hkl} &= h\frac{2\pi}{a}\hat{x} + k\frac{2\pi}{a}\hat{y} + l\frac{2\pi}{a}\hat{z} \\ |\vec{G}| &= \sqrt{\left(\frac{2\pi h}{a}\right)^2 + \left(\frac{2\pi k}{a}\right)^2 + \left(\frac{2\pi l}{a}\right)^2} & & & & \rightarrow \\ d_{hkl} &= \frac{2\pi}{|\vec{G}_{hkl}|} = \frac{2\pi}{\frac{2\pi}{a}\sqrt{h^2+k^2+l^2}} & d_{hkl} &= \frac{a}{\sqrt{h^2+k^2+l^2}}\end{aligned}$$

مثال: اثبت ان حجم منطقة بربيليون الاولى  $\left\{ \frac{(2\pi)^3}{V_c} \right\}$  حيث  $V_c$  يمثل حجم الخلية البدانية للبلورة.

علمًا ان حجم متوازي السطوح البداني في فضاء فوريير Fourier space يمكن استعمال المتطابقة:  $(\vec{c} \times \vec{a}) \times (\vec{a} \times \vec{b}) = (\vec{c} \cdot \vec{a} \times \vec{b})\vec{a}$

$$\begin{aligned}\vec{a}^* &= 2\pi \frac{\vec{b} \times \vec{c}}{\vec{a} \cdot \vec{b} \times \vec{c}} & \vec{b}^* &= 2\pi \frac{\vec{c} \times \vec{a}}{\vec{a} \cdot \vec{b} \times \vec{c}} & \vec{c}^* &= 2\pi \frac{\vec{a} \times \vec{b}}{\vec{a} \cdot \vec{b} \times \vec{c}} \\ V_{B.Z} &= \vec{a}^* \cdot (\vec{b}^* \times \vec{c}^*) = \left( 2\pi \frac{\vec{b} \times \vec{c}}{\vec{a} \cdot \vec{b} \times \vec{c}} \right) \cdot \left( 2\pi \frac{\vec{c} \times \vec{a}}{\vec{a} \cdot \vec{b} \times \vec{c}} \right) \times \left( 2\pi \frac{\vec{a} \times \vec{b}}{\vec{a} \cdot \vec{b} \times \vec{c}} \right) \\ V_{B.Z} &= \left\{ \frac{(2\pi)^3}{(\vec{a} \cdot \vec{b} \times \vec{c})^3} \right\} [(\vec{b} \times \vec{c}) \cdot (\vec{c} \times \vec{a}) \times (\vec{a} \times \vec{b})] \\ &\quad \therefore (\vec{c} \times \vec{a}) \times (\vec{a} \times \vec{b}) = (\vec{c} \cdot \vec{a} \times \vec{b})\vec{a}.\end{aligned}$$

$$V_{B.Z} = \left\{ \frac{(2\pi)^3}{(\vec{a} \cdot \vec{b} \times \vec{c})^3} \right\} [(\vec{b} \times \vec{c}) \cdot (\vec{c} \cdot \vec{a} \times \vec{b})\vec{a}]$$

$$\vec{a} \quad \vec{b} \quad \vec{c} \quad \vec{a} \quad \vec{b}$$

$$V_c = \vec{a} \cdot \vec{b} \times \vec{c} = \vec{b} \cdot \vec{c} \times \vec{a} = \vec{c} \cdot \vec{a} \times \vec{b}$$

(حجم الخلية البدانية وهي كمية عددية)

$$V_{B.Z} = \left\{ \frac{(2\pi)^3}{(\vec{a} \cdot \vec{b} \times \vec{c})^3} \right\} [(\vec{b} \times \vec{c}) \cdot \vec{a} (\vec{c} \cdot \vec{a} \times \vec{b})] \quad \& \quad (\vec{b} \times \vec{c}) \cdot \vec{a} = \vec{a} \cdot (\vec{b} \times \vec{c})$$

$$V_{B.Z} = \left\{ \frac{(2\pi)^3}{(\vec{a} \cdot \vec{b} \times \vec{c})^3} \right\} [\vec{a} \cdot (\vec{b} \times \vec{c}) (\vec{c} \cdot \vec{a} \times \vec{b})]$$

$$V_{B.Z} = \frac{(2\pi)^3}{\vec{a} \cdot \vec{b} \times \vec{c}}$$

## عامل تركيب الشبكة

### التشتت من الذرات:

عملية الحيود يمكن ان تقسم الى مرحلتين:

المرحلة الأولى: هي التشتت بالذرات

المرحلة الثانية هي مرحلة التداخل بين الاشعة المنشطة.

ان المرحلتين تتميز بعضها من بعض. حين تحاط كل ذرة بـالإلكترونات فالمجال الكهربائي الذي يصاحب حزمة الأشعة السينية سيؤثر في هذه الإلكترونات ويسبب تعجيلها. الشحنات المعلقة تتبع الإشعاع وكذلك تفعل الإلكترونات الذرات وفي الواقع فإن هذه الإلكترونات تمتص الطاقة من حزمة الأشعة وتشتتها في كل اتجاه، ولكن الإلكترونات تكون غيمة شحنة تحيط بالذرة وعليه عند التعامل مع تشتت الأشعة في هذه الإلكترونات يجب اخذ فارق الطور بين الموجات المنشطة من مختلف شحنات الغيمة بنظر الاعتبار.

ان شدة الحزمة المنشطة تتناسب مع مربع قيمة المجال وعليه

$$I = |f|^2 = f_e^2 \left| \sum_j \exp(i\vec{S} \cdot \vec{r}) \right|^2 - - - - 1$$

$f_e$  هو عامل يعرف بـ(طول التشتت).  $\vec{S}$  يمثل متجه التشتت حيث  $\{\vec{S} = \vec{G}\}$  متجه الوحدة باتجاه الشعاع المنشط.  $\vec{r}$  هي متجه نصف القطر لـالكترون الثاني نسبة الى الـكترون الاول

ومن الظواهر المهمة المصاحبة لـتشتت الأشعة هي صفة التشاكيه وهذه الصفة تعني ان هناك علاقة طور محددة بين مراكز التشتت وبذلك نستطيع ان نتكلم على التداخل بين الموجات الجزيئية، وعلى النقيض من ذلك، لو تنبذت مراكز التشتت عشوائياً او بصورة غير متشاكه، فـان الموجات الجزيئية لا تـتـاـخـلـ مع بعضها وتـكـونـ شـدـةـ الاـشـعـةـ الـواـصـلـةـ إـلـىـ جـهـازـ قـيـاسـ الاـشـعـةـ هـيـ مـجـمـوعـ الشـدـدـ (الـشـدـاتـ)ـ الـجـزـئـيـةـ.

$$I = N f_e^2 - - - - 2$$

حيث ان  $N$  هي عدد مراكز التشتت (الـكتـرونـ)

نلاحظ الفرق الواضح بين المعادلة 1 والمعادلة 2 التي تمثل التشتت المتشاكه، ان طول التشتت لـالـكتـرونـ يـمـثـلـ بـالـمـعـادـلـةـ المـعـرـوفـةـ التـالـيـةـ:

$$f_e = [(1 + \cos^2 2\theta)/2]^{1/2} r_e$$

حيث  $r_e$  هي نصف قطر الكلاسيكي لـالـكتـرونـ وقيمة حوالـيـ  $(10^{-15}$  مـترـ = 1 فـيمـتوـ مـترـ).

وـعـاـمـلـ التـشـتـتـ الذـريـ  $f_a$  يـعـطـىـ بـالـمـعـادـلـةـ

$$f_a = \int_0^R 4\pi r^2 \rho(r) \frac{\sin Sr}{Sr} dr - - - - 3$$

$R$  هو نصف قطر الذرة. نرى من معادلة 3 ان عـاـمـلـ التـشـتـتـ  $f_a$  يـعـتمـدـ عـلـىـ زـاوـيـةـ التـشـتـتـ من خـلـالـ وجود عـاـمـلـ التـنـبذـبـ  $\frac{\sin Sr}{Sr}$

### التشتت من البلورة:

يعرف عامل التشتت في البلورة ( $f_{cr}$ ) كما يلي:

$$f_{cr} = \sum_j \exp(i\vec{S} \cdot \vec{r}) \quad --- 4$$

اذ يمتد الجمع الى الكترونات البلورة كافة ولأجل الاستفادة من عامل التشتت الذري تقسم الجمع من المعادلة الأخيرة 4 الى جزئين،

- ✓ الجزء الأول يشل الجمع على كل الكترونات الذرة
- ✓ والجزء الثاني يشمل الجمع على كل ذرات الشبكة.

ان الجمع في الجزء الاول يؤدي الى معادلة عامل التشتت الذري وعليه إعادة كتابة المعادلة الأخيرة كما يلي:

$$f_{cr} = \sum_l f_{al} \exp(i\vec{S} \cdot \vec{R}_l) \quad --- 5$$

ضرب عاملين، العامل الأول يشمل الجمع على وحدة الخلية والعامل الثاني الجمع على وحدات الخلية في البلورة كافة.

يعرف عامل التركيب الهندسي  $F$  كما يلي:

$$F = \sum_j f_{aj} \exp(i\vec{S} \cdot \vec{\delta}_j) \quad --- 6$$

والجمع هنا شمل كل الذرات في وحدة الخلية و  $\vec{\delta}_j$  يمثل الموضع النسبي للذرة المرقمة  $j$ . بطريقة مشابهة نعرف عامل التشتت الشبكي (عامل الشبكة)  $S$  كما يلي:

$$S = \sum_l \exp(i\vec{S} \cdot \vec{R}_l(c)) \quad --- 7$$

ويمتد الجمع على كل وحدات الخلايا في البلورة  $(c)$   $\vec{R}_l$  يمثل موقع الخلية المرقمة  $l$  ، يمكن إعادة كتابة المعادلة 5 بدلالة  $F$  و  $S$  حيث  $\vec{R}_l = \vec{R}_l(c) + \vec{\delta}_j$  وبالاستعانة بالمعادلة 6 & 7 نرى بان :

$$f_{cr} = FS$$

وتجرد الملاحظة هنا ان عامل التشتت الشبكي (عامل الشبكة) يعتمد على النظام البلوري تحت الدراسة فقط. في حين ان عامل التركيب الهندسي  $F$  تعتمد على الشكل الهندسي وعلى محتويات وحدة الخلية. في حالة الشبكة البسيطة ذات وحدة خلية تحوي ذرة واحدة فقط يصبح العامل  $F$  مساوياً للعامل  $f_a$  ويمكن اعتبار  $F$  و  $S$  عاملين غير معتمدين على بعضهما، ان  $F$  يتضمن الجمع على عوامل ذرية قليلة فقط، فيمكن حسابه تقريراً بدلالة هذه العوامل الذرية.

**عامل التركيب الهندسي:**

هو النسبة بين سعة الموجة المستطيرة من جميع الذرات الموجودة في خلية الوحدة من بلورة وسعة الموجة المستطيرة من الكترون حر طليق عند تعرض كل منها إلى حزمة من الأشعة السينية الساقطة نفسها.

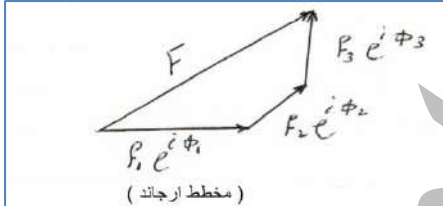
اما سبب تسميته بعامل التركيب الهندسي  $F_{hkl}$  فيعود إلى أنه يمثل مجملة سعة الموجات المستطيرة من الذرات المختلفة، التي تكون عادة متباعدة المطالع بسبب اختلاف مواضع الذرات داخل خلية الوحدة الصادرة عنها تلك الموجات، وفضلاً عن ذلك، قد تكون السعات متباعدة في القيمة أيضاً نتيجة اختلاف أنواع الذرات في خلية الوحدة وثم اختلاف العدد والتوزيع الإلكتروني للأنواع المختلفة من الذرات مما يسبب تبايناً في قدرتها على التشتت. وإن الذرات تكون مختلفة في عدد الإلكترونات المكونة لكل منها ، يتسبب ذلك في قدرتها المختلفة على الاستطارة .

$$F_{(hkl)} = \sum_{n=1}^{N} f_n \exp[2\pi i(u_n h + v_n k + w_n l)]$$

ونلاحظ أن عامل التركيب الهندسي  $F_{hkl}$  كمية مركبة تحتوي حد حقيقي وحد خيالي وهو يعتمد على:

- 1- العدد الكلي للذرات  $N$  في وحدة الخلية.
- 2- موقع كل ذرة من الذرات  $u_n$   $v_n$   $w_n$  في وحدة الخلية.
- 3- قدرة او قابلية الاستطارة لكل ذرة من الذرات  $f_n$  في وحدة الخلية وهذه القابلية تعتمد على التوزيع الإلكتروني لكل ذرة وعوامل أخرى.

فرق الطور بين الحزمة المستطيرة من الذرة  $n$  وتلك الحزمة المستطيرة من الذرة الأولى الواقعة في نقطة أصل خلية الوحدة



$$\Phi_n = 2\pi(u_n h + v_n k + w_n l)$$

حيث  $hkl$  دلائل ميلار و  $u_n, v_n, w_n$  احداثيات الذرات

$$F_{hkl} = \sum_{n=1}^{N} f_n e^{i\Phi_n}$$

$$F_{hkl} = f_1 + f_2 e^{i\Phi_2} + f_3 e^{i\Phi_3} + \dots + f_N e^{i\Phi_N}$$

$f_n$ : قابلية الاستطارة حيث  $f_1$  للذرة الأولى  $f_2$  للذرة الثانية ..... وان  $f_n$  يتمثل بالجمع الاتجاهي لسعة الموجات المستطيرة من جميع الذرات في خلية الوحدة ، كما في المخطط (مخطط ارجاند) لثلاث ذرات.

وبما ان المعادلة تتضمن  $e^{i\Phi}$  والذي يساوي

$$e^{i\Phi} = \cos \Phi + i \sin \Phi$$

اذن ستكون المعادلة (1)

$$F_{hkl} = \sum_{n=1}^{N} f_n \cos \Phi_n + \sum_{n=1}^{N} f_n i \sin \Phi_n$$

$$I \propto F_{(hkl)}^2$$

اذن الشدة تتناسب مع مربع السعة

ولحساب  $F$  نحتاج إلى ما يلي :

- 1- عدد نقاط الشبكة في خلية الوحدة
- 2- نوع ذرات الأساس و مواقعها بالنسبة لنقطة الأصل
- 3- دلائل او معاملات ميلار للمستوي المراد حساب عامل التركيب له
- 4- قدرة تشتت كل ذرة من ذرات الأساس (أي معرفة عامل التشتت لكل نوع من ذرات وحدة الخلية).

$$e^{i\theta} = \cos \theta + i \sin \theta$$

ملاحظة: ذكران:

$$e^{-i2\pi} = e^{i2\pi} = \cos 2\pi + i \sin 2\pi = 1 + 0 = 1 = e^{-i\pi} \quad (\text{عدد زوجي})$$

$$e^{-i\pi} = e^{i\pi} = \cos \pi + i \sin \pi = -1 + 0 = -1 = e^{-i\pi} \quad (\text{عدد فردي})$$

**مثال 1: حساب عامل التركيب الهندسي لشبكة مكعب بسيط (SC)**  
 توجد نقطة شبيكة واحدة في خلية الوحدة لشبكة مكعب بسيطة (SC) وعندما يكون الاساس المرافق لهذه النقطة مكوناً من ذرة واحدة فقط، فإن موقع هذه الذرة سيكون في  $u = v = w = 0$

اي ان عامل التركيب لاي سطح (hkl) في شبكة (SC) يساوي قدرة استطاره الذرة الوحيدة في خلية الوحدة. وهذا يعني ان اي سطح يحقق قانون براك توجد له قيمة لشدة الموجة المستطرة  $\sin \theta / \lambda$  تتناسب مع مربع قدرة استطاره الذرة  $f^2$ . ولما كانت  $f$  لاي سطح (hkl) تتناسب عكسياً مع  $\sin \theta / \lambda$  او طردياً مع  $d_{hkl}$  لذلك السطح. لذا سيكون هنالك انخفاض في قيم شدة الموجة المستطرية من مستويات شبكة البلورة كلما ازدادت قيم دلائل ميل للسطح المستتر للاشعة السينية. وفي الواقع لا توجد بلورات حقيقية ذات شبكة SC وبasis مكون من ذرة واحدة. اي ان هذا المثال هو مثال خيالي غير واقعي.

**مثال 2:** احسب عامل التركيب لشبكة مكعب متتركز الجسم (BCC).

إذا كانت الذرتان متشابهتان يعني  $f_2 = f_1$  ، متساوية  $N=2$  ٠٠٠

$$u_1 = 0 \quad v_1 = 0 \quad w_1 = 0$$

$$u_2 = \frac{1}{2} \quad v_2 = \frac{1}{2} \quad w_2 = \frac{1}{2}$$

$$\left\{ F_{(hkl)} = \sum_{n=1}^{n=N} f_n \exp[2\pi i (u_n h + v_n k + w_n l)] \right\}$$

$$F_{(hkl)} = \sum_{n=1}^{N-2} f_n e^{2\pi i (u_n h + v_n k + w_n l)}$$

$$F_{(hkl)} = f \left[ e^{2\pi i (0h+0k+0l)} + e^{2\pi i \left(\frac{1}{2}h+\frac{1}{2}k+\frac{1}{2}l\right)} \right]$$

- عامل التركيب هنا يعتمد على الحد  $e^{i\pi(h+k+l)}$  وكما يلي :-

اذا كان  $(h+k+l)$  مجموعهم عدد فردي (a)

$$e^{-i\pi} = e^{i\pi} = \cos \pi + i \sin \pi = -1 + 0 = -1 = e^{-i\pi} \quad (\text{عدد فردی}) \quad = e^{i\pi}$$

وبالتعويض في معادلة 2 سيكون عامل التركيب :-

$$F_{(hkl)} = f[1 - 1] = 0$$

**القاعدة** ستكون هنا هي اذا كان  $\{h+k+l = 0\}$  فان عامل التركيب:  $\{F_{hkl} = 0\}$

انعکاس مفقود (غائب) -- والشدة ستكون:

اما اذا كان مجموع  $(h+k+l)$  هو عدد زوجي

$$e^{-i2\pi} = e^{i2\pi} = \cos 2\pi + i \sin 2\pi = 1 + 0 = 1 = e^{-i\pi} = e^{i\pi} \quad (\text{عدد زوجي})$$

و عند التعويض بالمعادلة 2 سيكون عامل التركيب :-

$$F_{hkl} = f [1+1] = 2f$$

$$F_{hkl} = f [1+1] = 2f$$

**القاعدة:** ستكون هنا هي اذا كان  $\{ F_{hkl} = 2f \}$  فان عامل التركيب:  $h + k + l = 2f$  انعكاس موجود (حاضر) -- والشدة ستكون:  $I \propto |F_{hkl}|^2 = 4f^2$

**مناقشة المثال السابق لحساب عامل التركيب لشبكة مكعب متمركز الجسم (BCC):**  
هناك مصطلح الانعكاس الغائب والانعكاس الحاضر من السطوح فمثلاً (100) و (111) فهي انعكاسات غائبة . اما (110) و (231) ومثلثاتهم هي انعكاسات حاضرة .

Planes المستويات	$(h + k + l)$	$F_{hkl}$	الملاحظات Notes
(100)	فردي Odd	0	<b>absent reflection</b> × انعكاس مفقود (غائب)
(110)	و زوجي Even	$2f$	<b>present reflection</b> انعكاس موجود (حاضر)
(111)	فردي odd	0	<b>absent reflection</b> × انعكاس مفقود (غائب)
(200)	و زوجي even	$2f$	<b>present reflection</b> انعكاس موجود (حاضر)
(210)	فردي odd	0	<b>absent reflection</b> × انعكاس مفقود (غائب)
(220)	و زوجي even	$2f$	<b>Reflections present</b> انعكاس موجود (حاضر)

ان بعض العناصر لها شبكة bcc مثل الصوديوم والبوتاسيوم والباريوم والسيزيوم ولذلك لا يشمل طيف الحيود وفق القواعد المذكورة سابقاً خطوط او اشعة حيود من المستويات مثل

(001) (010) (011) (110) (111) (234) (113) (100) (300)

ان هذه الانعكاسات تحقق قانون براك ولكن سبب التلاشي والظهور يعتمد على فرق الطور حيث يكون تداخل تقوية (بناء) او تداخل اتلافي .



مثال 3: احسب عامل التركيب لشبكة مكعب متمركز الجسم (BCC). اذا كانت الذرتان مختلفتان يعني  $f_1 \neq f_2$  غير متساوية. خذ على سبيل المثال بلورة كلوريد-CsCL السبيزيوم CsCL س احسب عامل التركيب لشبكة بلورة كلوريد السبيزيوم CsCL ؟

قدرة التشتت  $f_{\text{cl}}$   $f_{\text{cs}}$  (مختلفة لأن في  $\text{Cs}$  54 الكترون أما في الكلور 18 الكترون) احداثيات  $\text{Cs}$  هي في الموقع 000 واحاديثيات ذرة  $\text{Cl}$  هي في الموقع  $\frac{1}{2} \frac{1}{2} \frac{1}{2}$

$$\left\{ F_{(hkl)} = \sum_{n=1}^{n=N} f_n \exp[2\pi i(u_n h + v_n k + w_n l)] \right\}$$

$$F_{(hkl)} = \sum_{n=1}^{n=2} f_n e^{2\pi i(u_n h + v_n k + w_n l)}$$

$$F_{(hkl)} = f_{cs} e^{2\pi i(0h+0k+0l)} + f_{cl} e^{2\pi i(\frac{1}{2}h+\frac{1}{2}k+\frac{1}{2}l)}$$

$$F_{(hkl)} = f_{cs} e^0 + f_{cl} e^{2\pi i(\frac{1}{2}h+\frac{1}{2}k+\frac{1}{2}l)}$$

$$F_{(hkl)} = f_{cs} + f_{cl} e^{\pi i(h+k+l)}$$

لمناقشة المعادلة الأخيرة ٣

- اذا كان مجموع  $(h+k+l)$  هو عدد صحيح فردي { عدد فردي }  $\{h + k + l =$

وبذلك تصبح المعادلة 3

$$I = (f_{cs} - f_{cl})^2 \quad \text{أقل شدة}$$

$$e^{-i\pi} = e^{i\pi} = \cos \pi + i \sin \pi = -1 + 0 = -1 = e^{-i\pi(\text{عدد فردي})} = e^{i\pi(\text{عدد فردي})}$$

- حسب هذه المعادلة لهذه الحالة لا يكون فيها الانعكاس الغائب وإنما ذو شدة قليلة لا يكون اتلافي 100%.

b-اما اذا كان مجموع دلائل ميلر زوجي { عدد زوجي

$$F_{hkl} = f_{cs} + f_{cl} \quad \text{معادلة 3}$$

$$I = (f_{cs} + f_{cl})^2 \quad \text{اعظم شدة}$$

$$e^{-i2\pi} = e^{i2\pi} = \cos 2\pi + i \sin 2\pi = 1 + 0 = 1 = e^{-i\pi(\text{عدد زوجي})} = e^{i\pi}$$

- وهذه الحالة المعادلة مجموع  $(l + k + h)$  هو اعداد زوجية ويكون الشدة قوية .  
 (تدخل بناء).

**مثال 4:** احسب عامل التركيب لشبكة مكعب متتركز الوجه F.C.C ؟ وان اساسها يمتلك ذرات متماثلة (ذرات متشابهة) عند الاحداثيات  $(000), (\frac{1}{2} \frac{1}{2} O), (\frac{1}{2} O \frac{1}{2}), (O \frac{1}{2} \frac{1}{2})$   $u v w$



## أي ان قدرة التشتت

$$\text{الذرات متشابهة} \quad f_1 = f_2 = f_3 = f_4 = f \quad N=4$$

$$\left\{ F_{(hkl)} = \sum_{n=1}^{n=N} f_n \exp[2\pi i (\mathbf{u}_n h + \mathbf{v}_n k + \mathbf{w}_n l)] \right\}_{n=4}$$

$$F_{(hkl)} = \sum_{n=1}^N f_n e^{2\pi i (u_n h + v_n k + w_n l)}$$

$$F_{hkl} = f \left[ e^{2\pi i(0h+0k+0l)} + e^{2\pi i(0h+\frac{1}{2}k+\frac{1}{2}l)} + e^{2\pi i(\frac{1}{2}h+0k+\frac{1}{2}l)} + e^{2\pi i(\frac{1}{2}h+\frac{1}{2}k+0l)} \right]$$

$$F_{hkl} = f[e^{2\pi i(0)} + e^{\pi i(k+l)} + e^{\pi i(h+l)} + e^{\pi i(h+k)}]$$

**القاعدة:** اذا كان  $\{ (h \& k \& l) \}$  متشابهة (كلها زوجي او كلها فردي)

فإن عامل الترکيب:  $I \propto |F_{hkl}|^2 = 16f^2$  والشدة ستكون:  $\{ F_{hkl} = 4f \}$

حيث انه اذا كانت  $(I+h+k)$  كلها فردية او كلها زوجية فان كل حد اسي سيعطي  $(1)$  وسيحصل على حيود من هذه الاسطح. لانه  $(زوجي+زوجي=زوجي)$  &  $(فردي+فردي=زوجي)$

$$e^{-i2\pi} = e^{i2\pi} = \cos 2\pi + i \sin 2\pi = 1 + 0 = 1 = e^{-i\pi(\text{عدد زوجي})} = e^{i\pi}$$

ومن أمثلة هذه الأسطح : (406) ، (224) ، (200) (135) ، (111)

**القاعدة:** اذا كان  $\{(h \& k \& l)\}$  مختلطة = (زوجي وفردي)

**فان عامل التركيب:**  $\{ F_{hkl} = 0 \}$  والشدة ستكون:  $I \propto |F_{hkl}|^2 = 0$

$$e^{-i\pi} = e^{i\pi} = \cos \pi + i \sin \pi = -1 + 0 = -1 = e^{-i\pi} \quad (\text{عدد فردي}) = e^{i\pi}$$

ومن امثلة هذه السطوح

(221) (234) (123) (221), (210), (110), (100)

فمثلاً للنحاس والذهب والنحيل والفضة شبيكة fcc لذلك يكون طيف الحيوانات هذه العناصر خالياً من الانعكاسات من مثل هذه المستويات.

Notes الملاحظات	$F_{hkl}$	( $h & k & l$ )	المستويات Planes
<i>absent reflection</i> انعكاس مفقود (غائب)	0	مختلطة	(100)
<i>absent reflection</i> انعكاس مفقود (غائب)	0	مختلطة	(110)
<i>Reflections present</i> انعكاس موجود (حاضر)	$4f$	مشابهة كلها فردي	(111)
<i>present reflection</i> انعكاس موجود (حاضر)	$4f$	مشابهة كلها زوجي	(200)
<i>absent reflection</i> انعكاس مفقود (غائب)	0	مختلطة	(210)
<i>Reflections present</i> انعكاس موجود (حاضر)	$4f$	مشابهة كلها زوجي	(220)

**مثال 5:** احسب عامل التركيب لشبكة مكعب متمركز الاوجه (FCC). اذا كانت الذرات مختلفه  $f$  غير

متساوية. خذ على سبيل المثال بلورة كلوريد الصوديوم  $\text{NaCl}$  احسب عامل التركيب لشبكة بلورة كلوريد الصوديوم؟

$$Na^+ : \begin{matrix} 000 \\ 110 \\ 220 \end{matrix}, \begin{matrix} 111 \\ 222 \\ 222 \end{matrix}, \begin{matrix} 101 \\ 022 \\ 020 \end{matrix}, \begin{matrix} 011 \\ 022 \\ 100 \end{matrix}$$

$$F_{(hkl)} = \sum_{n=1}^{n=N} f_n \exp[2i\pi(u_n h + v_n k + w_n l)]$$

$$F_{hkl} = f_{Na} \left[ e^{2i\pi(0)} + e^{2i\pi(\frac{1}{2}h + \frac{1}{2}k + 0l)} + e^{2i\pi(\frac{1}{2}h + 0k + \frac{1}{2}l)} + e^{2i\pi(0h + \frac{1}{2}k + \frac{1}{2}l)} \right]$$

$$+ f_{Cl} \left[ e^{2i\pi(\frac{1}{2}h + \frac{1}{2}k + \frac{1}{2}l)} + e^{2i\pi(0h + 0k + \frac{1}{2}l)} + e^{2i\pi(0h + \frac{1}{2}k + 0l)} + e^{2i\pi(\frac{1}{2}h + 0k + 0l)} \right]$$

$$F_{hkl} = f_{Na} [1 + e^{i\pi(h+k)} + e^{i\pi(h+l)} + e^{i\pi(k+l)}] + f_{Cl} [e^{i\pi(h+k+l)} + e^{i\pi l} + e^{i\pi k} + e^{i\pi h}]$$

$$F_{hkl} = f_{Na} [1 + e^{i\pi(h+k)} + e^{i\pi(h+l)} + e^{i\pi(k+l)}] + f_{Cl} e^{i\pi(h+k+l)} [1 + e^{-i\pi(h+k)} + e^{-i\pi(h+l)} + e^{-i\pi(k+l)}]$$

لكن تغيير إشارة الاس للكميات الاسية ليس في قيمتها

$$e^{-i\pi(h+k)} = e^{i\pi(h+k)} \quad (\text{عدد زوجي})$$

$$e^{-i\pi} = e^{i\pi} \quad (\text{عدد فردي})$$

$$F_{hkl} = [1 + e^{i\pi(h+k)} + e^{i\pi(h+l)} + e^{i\pi(k+l)}] [f_{Na} + f_{Cl} e^{i\pi(h+k+l)}] \dots \dots \dots 5$$

$$e^{-i2\pi} = e^{i2\pi} = \cos 2\pi + i \sin 2\pi = 1 + 0 = 1 = e^{-i\pi} = e^{i\pi} \quad (\text{عدد زوجي})$$

$$e^{-i\pi} = e^{i\pi} = \cos \pi + i \sin \pi = -1 + 0 = -1 = e^{-i\pi} = e^{i\pi} \quad (\text{عدد فردي})$$

اولاً: ان عامل التركيب يساوي صفرأً عندما تكون معاملات ميلر للمستوي  $(hkl)$  اعداداً مختلفة.

$$\{ F_{hkl} = 0 \}$$

القاعدة: ستكون هنا هي اذا كان  $(h & k & l)$  مختلفة

فان عامل التركيب:

$$\{ F_{hkl} = 0 \}$$

لا يحدث انعكاس

الشدة صفر

$$I=0$$

ثانياً: ان عامل التركيب يكون كمية كبيرة او صغيرة تبعاً لمعاملات ميلر للمستوي فيما اذا كانت جميعها اعداد زوجية او جميعها اعداد فردية.

القاعدة: ستكون هنا هي اذا كان  $(h & k & l)$  متشابهة

فان عامل التركيب:

$$F_{hkl} = 4[f_{Na} + f_{Cl}] \dots \dots \dots (\text{كلها زوجي}) \quad I = 16[f_{Na} + f_{Cl}]^2$$

$$F_{hkl} = 4[f_{Na} - f_{Cl}] \dots \dots \dots (\text{كلها فردي}) \quad I = 16[f_{Na} - f_{Cl}]^2$$

هذا السؤال من د. تغريد & د. حسين مع الجواب



س6) أحسب عامل التركيب الهندسي للمركب  $\text{Ni}_3\text{Al}$  اذا كانت الذرة  $\text{Al}$  تقع بالموقع (000) وذرات  $\text{Ni}$  تقع في الموقع  $(\frac{1}{2}\frac{1}{2}0), (\frac{1}{2}0\frac{1}{2}), (0\frac{1}{2}\frac{1}{2})$

الحل:

$$f_{Ni} \neq f_{Al}$$

$$\text{Al: } 000 \quad \text{Ni: } \frac{1}{2}\frac{1}{2}0, \frac{1}{2}0\frac{1}{2}, 0\frac{1}{2}\frac{1}{2}$$

$$\left\{ F_{(hkl)} = \sum_{n=1}^{n=N} f_n \exp[2i\pi(u_n h + v_n k + w_n l)] \right\}$$

$$F_{hkl} = f_{Al} [e^{2\pi i(0h+0k+0l)}] + f_{Ni} \left[ e^{2\pi i(\frac{1}{2}h+\frac{1}{2}k+0l)} + e^{2\pi i(\frac{1}{2}h+0k+\frac{1}{2}l)} \right. \\ \left. + e^{2\pi i(0h+\frac{1}{2}k+\frac{1}{2}l)} \right]$$

$$F_{hkl} = f_{Al} + f_{Ni} [e^{\pi i(h+k)} + e^{\pi i(h+l)} + e^{\pi i(k+l)}]$$

$$F_{hkl} = f_{Al} + 3f_{Ni} \quad \text{اذا كان (hkl) اعداد فردية او زوجية}$$

$$\text{لانه (زوجي+زوجي=زوجي) } \& \text{ (فردوي+فردوي=زوجي)} \\ e^{-i2\pi} = e^{i2\pi} = \cos 2\pi + i \sin 2\pi = 1 + 0 = 1 = e^{-i\pi} = e^{i\pi} \quad (\text{عدد زوجي})$$

$$F_{hkl} = f_{Al} - f_{Ni}$$

اذا كان (hkl) اعداد مختلطة

$$e^{-i\pi} = e^{i\pi} = \cos \pi + i \sin \pi = -1 + 0 = -1 = e^{-i\pi} = e^{i\pi} \quad (\text{عدد فردوي})$$

س) 2-النيوبيوم المعدني له تركيب بلوري BCC إذا حدثت زاوية الحيود من مجموعة المستويات (211) عند  $75.99^\circ$  عند استخدام أشعة سينية بطول  $0.1659 \text{ nm}$  ، احسب (أ) المسافة بينية للمستويات (ب) نصف قطر ذرة النيوبيوم.

$$\theta = \frac{75.99}{2} = 37.995^\circ \quad (\text{أ})$$

$$d_{211} = \frac{n\lambda}{2 \sin \theta} = \frac{(1)(0.1659 \text{ nm})}{(2)(\sin 37.995^\circ)} = 0.134748 \text{ nm}$$

$$d_{hkl} = \frac{a}{\sqrt{(h)^2 + (k)^2 + (l)^2}} \quad a = d_{hkl} \sqrt{(h)^2 + (k)^2 + (l)^2} \quad (\text{ب})$$

$$a = d_{211} \sqrt{(2)^2 + (1)^2 + (1)^2} = (0.134748 \text{ nm})(\sqrt{6}) = 0.33006 \text{ nm}$$

$$\text{For BCC : } a = \frac{4r}{\sqrt{3}} \quad r = \frac{a\sqrt{3}}{4} = \frac{0.33006 \text{ nm}\sqrt{3}}{4} = 0.1429 \text{ nm}$$

س) لأي مجموعة من المستويات البلورية ستحدث قمة حيود من الدرجة الأولى بزاوية حيود  $44.93^\circ$  للفلز FCC عند استخدام إشعاع بطول موجي  $0.1542 \text{ nm}$  عندما يكون نصف القطر الذري للنحاس  $r_{\text{Ni}} = 0.1246 \text{ nm}$  ؟

$$\theta = \frac{44.93}{2} = 22.465^\circ \quad \text{زاوية برانك} = \frac{44.93}{2} = 22.465^\circ$$

$$d_{hkl} = \frac{n\lambda}{2 \sin \theta} = \frac{(1)(0.1542 \text{ nm})}{(2)(\sin 22.465^\circ)} = 0.2017696 \text{ nm}$$

$$d_{hkl} = \frac{a}{\sqrt{(h)^2 + (k)^2 + (l)^2}} \quad \sqrt{(h)^2 + (k)^2 + (l)^2} = \frac{a}{d_{hkl}}$$

$$\text{For FCC } a = \frac{4r}{\sqrt{2}}$$

$$\sqrt{(h)^2 + (k)^2 + (l)^2} = \frac{a}{d_{hkl}} = \frac{4r}{d_{hkl} \sqrt{2}} = \frac{4 * 0.1246 \text{ nm}}{0.2017696 \text{ nm} * \sqrt{2}}$$

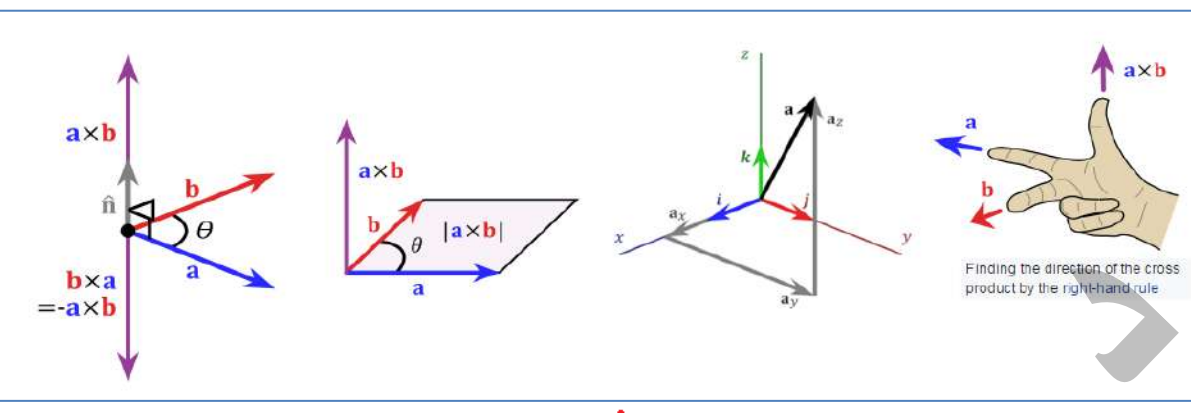
$$= 1.746655689179$$

$$(h)^2 + (k)^2 + (l)^2 = 3$$

بالتجربة والخطأ ، الأعداد الثلاثة الوحيدة التي لها مجموع مربعاتها 3 هي 1 و 1 و 1. لذلك، فإن مجموعة المستويات المسئولة عن ذروة الحيود هي (111) .

**Table** Miller Indices of the Diffracting Planes for BCC and FCC Lattices

Cubic planes {hkl}	$h^2 + k^2 + l^2$	Sum $\Sigma[h^2 + k^2 + l^2]$	Cubic diffracting planes {hkl}	
			FCC	BCC
{100}	$1^2 + 0^2 + 0^2$	1		
{110}	$1^2 + 1^2 + 0^2$	2	...	110
{111}	$1^2 + 1^2 + 1^2$	3	111	
{200}	$2^2 + 0^2 + 0^2$	4	200	200
{210}	$2^2 + 1^2 + 0^2$	5		
{211}	$2^2 + 1^2 + 1^2$	6	...	211
...		7		
{220}	$2^2 + 2^2 + 0^2$	8	220	220
{221}	$2^2 + 2^2 + 1^2$	9		
{310}	$3^2 + 1^2 + 0^2$	10	...	310



This little cycle diagram can help you remember these results.

$$\begin{aligned} \mathbf{i} \times \mathbf{j} &= \mathbf{k} \\ \mathbf{j} \times \mathbf{k} &= \mathbf{i} \\ \mathbf{k} \times \mathbf{i} &= \mathbf{j} \end{aligned}$$

$$\begin{aligned} \mathbf{j} \times \mathbf{i} &= -\mathbf{k} \\ \mathbf{k} \times \mathbf{j} &= -\mathbf{i} \\ \mathbf{i} \times \mathbf{k} &= -\mathbf{j} \end{aligned}$$

$$\mathbf{a} = (a_1, a_2, a_3) = a_1 \mathbf{i} + a_2 \mathbf{j} + a_3 \mathbf{k}$$

$$\mathbf{b} = (b_1, b_2, b_3) = b_1 \mathbf{i} + b_2 \mathbf{j} + b_3 \mathbf{k}$$

$$\begin{aligned} \mathbf{a} \times \mathbf{b} &= (a_1 \mathbf{i} + a_2 \mathbf{j}) \times (b_1 \mathbf{i} + b_2 \mathbf{j}) \\ &= a_1 b_1 (\mathbf{i} \times \mathbf{i}) + a_1 b_2 (\mathbf{i} \times \mathbf{j}) + a_2 b_1 (\mathbf{j} \times \mathbf{i}) + a_2 b_2 (\mathbf{j} \times \mathbf{j}) \end{aligned}$$

$\mathbf{i} \times \mathbf{i} = \mathbf{0} = \mathbf{j} \times \mathbf{j}$  and that  $\mathbf{i} \times \mathbf{j} = \mathbf{k} = -\mathbf{j} \times \mathbf{i}$ ,

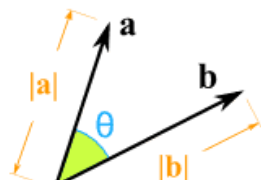
$$\mathbf{a} \times \mathbf{b} = (a_1 b_2 - a_2 b_1) \mathbf{k}$$

$$= \begin{vmatrix} a_1 & a_2 \\ b_1 & b_2 \end{vmatrix} \mathbf{k}.$$

$$\begin{aligned} \mathbf{a} \times \mathbf{b} &= (a_1 \mathbf{i} + a_2 \mathbf{j} + a_3 \mathbf{k}) \times (b_1 \mathbf{i} + b_2 \mathbf{j} + b_3 \mathbf{k}) \\ &= a_1 b_1 (\mathbf{i} \times \mathbf{i}) + a_1 b_2 (\mathbf{i} \times \mathbf{j}) + a_1 b_3 (\mathbf{i} \times \mathbf{k}) \\ &\quad + a_2 b_1 (\mathbf{j} \times \mathbf{i}) + a_2 b_2 (\mathbf{j} \times \mathbf{j}) + a_2 b_3 (\mathbf{j} \times \mathbf{k}) \\ &\quad + a_3 b_1 (\mathbf{k} \times \mathbf{i}) + a_3 b_2 (\mathbf{k} \times \mathbf{j}) + a_3 b_3 (\mathbf{k} \times \mathbf{k}) \end{aligned}$$

$$\begin{aligned} \mathbf{a} \times \mathbf{b} &= a_1 b_2 \mathbf{k} - a_1 b_3 \mathbf{j} - a_2 b_1 \mathbf{k} + a_2 b_3 \mathbf{i} + a_3 b_1 \mathbf{j} - a_3 b_2 \mathbf{i} \\ &= (a_2 b_3 - a_3 b_2) \mathbf{i} - (a_1 b_3 - a_3 b_1) \mathbf{j} + (a_1 b_2 - a_2 b_1) \mathbf{k}. \end{aligned}$$

$$\mathbf{a} \times \mathbf{b} = \begin{vmatrix} a_2 & a_3 \\ b_2 & b_3 \end{vmatrix} \mathbf{i} - \begin{vmatrix} a_1 & a_3 \\ b_1 & b_3 \end{vmatrix} \mathbf{j} + \begin{vmatrix} a_1 & a_2 \\ b_1 & b_2 \end{vmatrix} \mathbf{k}.$$



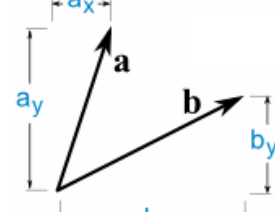
$$\mathbf{a} \cdot \mathbf{b} = |\mathbf{a}| \times |\mathbf{b}| \times \cos(\theta)$$

Where:

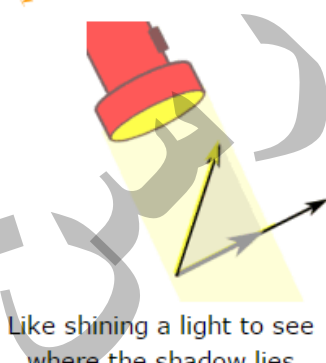
$|\mathbf{a}|$  is the magnitude (length) of vector  $\mathbf{a}$

$|\mathbf{b}|$  is the magnitude (length) of vector  $\mathbf{b}$

$\theta$  is the angle between  $\mathbf{a}$  and  $\mathbf{b}$



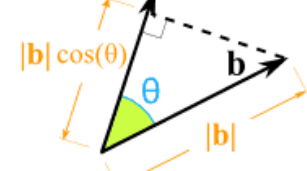
$$\mathbf{a} \cdot \mathbf{b} = a_x \times b_x + a_y \times b_y$$



Like shining a light to see where the shadow lies

$$\mathbf{a} \cdot \mathbf{b} = |\mathbf{a}| \times |\mathbf{b}| \times \cos(\theta)$$

$$\mathbf{a} \cdot \mathbf{b} = |\mathbf{a}| \times \cos(\theta) \times |\mathbf{b}|$$



$$\mathbf{a} \cdot \mathbf{b} = |\mathbf{a}| \times |\mathbf{b}| \times \cos(\theta)$$

The dot or scalar product  $\rightarrow \mathbf{A} \cdot \mathbf{B} = |\mathbf{A}| \cdot |\mathbf{B}| \cdot \cos \theta$

Where  $|\mathbf{A}|$  and  $|\mathbf{B}|$  represents the magnitudes of vectors A and B and  $\theta$  is the angle between vectors A and B.

$$A = a_1 i + a_2 j \text{ and } B = b_1 i + b_2 j \rightarrow \mathbf{A} \cdot \mathbf{B} = a_1 \cdot b_1 + a_2 \cdot b_2$$

### الفصل الثالث: ديناميكية الشبكة Lattice Dynamics

#### اهتزازات الشبكة:

بعد موضوع حرکية الشبكة في فيزياء الحالة الصعبة ذات اهمية بالغة جداً وذلك لتدخله في تفسير مفاهيم الخواص الفيزيائية للمواد الصلبة. ويقصد بحرکية الشبكة هو دراسة اهتزازات ذرات الشبكة. ان دراسة الحركة الاهتزازية للذرات المكونة للشبكة البلورية تمكنا من وصف السلوك الاجمالي للمادة الصلبة من خلال الخواص الحرارية او الكهربائية او الميكانيكية او غيرها.

الذرات داخل البنية البلورية تكون في حالة حركة اهتزازية، اي انها تتحرك حركة توافقية بسيطة دون ان تنتقل من موقعها الى موقع اخر. تعتمد الحركة التوافقية البسيطة للذرات على درجات الحرارة. ولو فرضنا ان الذرات داخل الشبكة تكون عند درجة الصفر المطلق فانها ستستقر في موقع الاتزان في حالة سكون. وعند رفع درجة الحرارة تبدأ الذرات بالتدبر حول مواقع الاتزان بـازاحة تتوقف على درجة الحرارة.

ان انماط الاهتزاز "Vibrational modes" للذرات في داخل التركيب البلوري يعبر عنه بموجب النظرية الكلاسيكية على انها موجات صوتية مرنة تسير في وسط مستمر على نسق معين ويمتد سريانه خلال بلوره غير محددة اما في النظريات الحديثة فتعتبر انماط الاهتزاز مجموعة من جسيمات يتذرع تميزها تدعى الفونونات "Phonons".

ان الصفات الحرارية للمواد الصلبة والسعنة الحرارية والتوصيل الحراري وكذلك الاستطاره غير المرنة للنيوترونات او الاشعة السينية بواسطة البلورات وغيرها تقسر جميعها من خلال اهتزاز الشبكة والحاصل عنها فونونات.

#### تكمم اهتزازات الشبكة:

بموجب النظرية الكلاسيكية يعبر عن انماط الاهتزاز في بلورة بوصفها موجات مرنة في وسط مستمر على نسق معين ويمتد جريانها خلال بلورة غير محددة. اما النظرية الحديثة فتعتبر انماط الاهتزاز مجموعة من الدقائق يتذرع تميزها تدعى الفونونات. كلمة فونونات مشابهة لكلمة فوتونات.

والفونونات تمتلك طاقة محددة  $\hbar\omega$  ولكن لا يمكن القول انها تملك زخماً حقيقاً. ان الكمية الاتجاهية  $\vec{K}$  (حيث  $\vec{K}$  يمثل متجه الموجة الحاصلة من الاهتزاز)، تكون كمية صغيرة جداً في تفاعلات بين الفونونات وشعاعاً خارجياً.

ان الفوتون والفونون يخضعان لاحصاء بوز- اينشتين. و اذا اردنا ان نعطي تعريف مبسط للفونون نقول. ان الازاحات الدورية للذرات عن مواضع اتزانها (موجات مرنة) يمكن وصفها عن طريق الفونون وهو وحدة طاقة مكممة quantized لاهتزاز ذرات البلورة (او كم طاقة اهتزاز الشبكة)، له طاقة  $E$  تساوي  $\hbar\omega$  وزخم او شبه زخم  $\vec{P}$  وسرعة المجموعة  $v_g = \frac{d\omega}{dK} = \frac{dE}{dP}$  وطول موجي ومتوجه موجة  $\vec{K}$  وتعدد وسرعة انتشار نمط الاهتزاز او سرعة الطور  $\nu = \frac{\omega}{K}$  وفضلاً عن ذلك يخضع الفونون لقوانين حفظ الزخم والطاقة.

ان جميع الافكار المطبقة على الفوتون كازدواج صفة الموجة وصفة الدقيقة وتكممية الفوتون يمكن ان تطبق على الفونون. فهناك الكثير من المعلومات التجريبية تشير الى اهتزاز الشبكة وهذا الاهتزاز ممثلاً بالفونون يكون مكمماً حيث ان كثير من الصفات الحرارية للمواد الصلبة كالسعنة الحرارية والتوصيل الحراري وكذلك الاستطاره غير المرنة للنيوترونات او الاشعة السينية بواسطة البلورات وغيرها تقدم دلائل قوية على ان اهتزاز الشبكة يكون مكمم. ويطلق عادة على الاهتزاز في بلورة والحاصل من مؤثرات حرارية بالفونونات المهيجة حرارياً.

- وتجد تهيجات أولية مكملة مهمة أخرى فضلاً عن الفونون وينتهي اسمها بالحروف  $\text{on}$
- 1- **ماكنون magnon**: يمثل موجة برم مغناطيسي وهو تهيج للبروم في المواد الصلبة ذات مغناطيسية حديدية مثل الحديد والكوبالت والنيكل حيث تكون جميع البروم متوازية تماماً في حالة الأساس أو الحالة الأرضية.
  - 2- **بلازمون Plasmon**: وهو تهيج متراكم لسحابة الالكترونات الحرجة نسبياً والهاربة من المدارات الخارجية للذرات المعدنية وتسمى هذه السحابة بغاز الالكترون وهذا يعني التذبذب المتشاكي او المترابط لجميع الالكترونات والناشئ من قوى كولوم ذات المدى الطويل او الاستطارة غير المرنة للالكترونات الساقطة على غشاء معدني.
  - 3- **بولارون Polaron**: ويمثل الكترون ايرافقه تشويه مرن في البلورة. فعند تفاعل الكترون في شبكة بلورة مع الذرات او ايونات تلك الشبكة بواسطة شحنته الكهربائية فإنه يسبب تشويهاً مرناً (استقطاب في البلورات الايونية) وموضعياً للشبكة.
  - 4- **اكسيتون Exciton**: ويمثل موجة استقطاب تنتج من ترابط بين الكترون وفجوة او ثقب hole في شريط التكافؤ او نطاق التكافؤ Valence Band ان طاقة الفوتون اللازمة لتوليد هذا الزوج المترابط من الكترون وفجوة يجب ان تكون اقل من فجوة الطاقة اي اقل من الفرق بين طاقة شريط التكافؤ وشريط التوصيل.

### الاستطارة غير المرنة للفوتونات (فوتونات الاشعة السينية) بواسطة الفونونات:

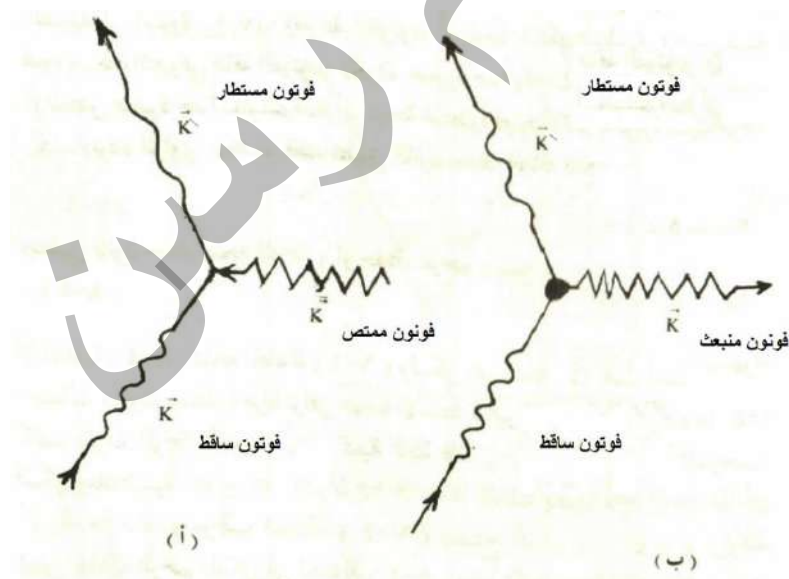
حيود براك (استطارة مرنة) للأشعة السينية بواسطة بلورة يخضع لقانون حفظ متجه الموجة اي ان:

$$\vec{k}' - \vec{k} = \vec{G}$$

$\vec{k}$  هو متجه الفوتون (الموجة) الساقطة &  $\vec{k}'$  هو متجه الفوتون المستطير &  $\vec{G}$  متجه الشبكة المقلوبة. وهذه الاستطارة هي استطارة مرنة. وقد تحدث استطارة غير مرنة بين الاشعة السينية (الفوتونات) الساقطة على البلورة وال WAVES (الفونونات) الحاصلة من اهتزاز ذرات البلورة مما يسبب انبعاثاً او تولد (creation) او فناء (annihilation) فونون ذو متجه  $\vec{K}$  وباستخدام قانون حفظ متجه الموجة نحصل على:

$$\vec{k}' - \vec{k} = \vec{G} + \vec{K}$$

حيث ان الاشارة السالبة تشير الى تولد فونون والاشارة الموجبة الى فناء او امتصاص فونون.



ان المجال الكهربائي للفوتون الساقط على البلورة يولـد اجهاداً ميكانيكياً دورياً داخل البلورة مما يسبب تغير الصفات المرنة للبلورة في هذا النوع من التفاعـل يمكن للفوتون ان يولـد او يمتصـ فونوناً.

وبذلك يتغير  $\vec{k}$  (متجه الفوتون "الموجة" الساقطة الذي تردد الزاوي  $\omega$ ) الى  $\vec{k}'$  (متجه الفوتون المستطير الذي تردد الزاوي  $\omega'$ ).

فإن هذا التغير في قيمة واتجاه متجه موجة الفوتون وكذلك طاقته، نتيجة تولد أو فقاء فونونات صوتية (acoustic phonons) هو السبب في اعتبار عملية التفاعل هذه استطارة غير مرنة ويطلق على هذه العملية تشتيت أو استطارة بريليون (Brillauim scattering) ولكن بسبب الفرق الكبير بين سرعة الموجة الصوتية في البلوة ( $v_s$ ) وسرعة الفوتون او الموجة الكهرومغناطيسية  $c$  (سرعة الضوء) فإن التغير في طاقة الفوتون تكون صغيرة جداً ولذلك تكون طاقة الفونون المتولد أو الممتص صغيرة جداً.

لو افترضنا ان نتيجة استطارة فوتون كانت تولد فونوناً متجه موجة  $\vec{K}$  وتردد الزاوي  $\omega_0$  ، فعند تطبيق قانون حفظ الطاقة ينتج

$$\hbar\omega = \hbar\omega' + \hbar\omega_0 \dots \dots 1$$

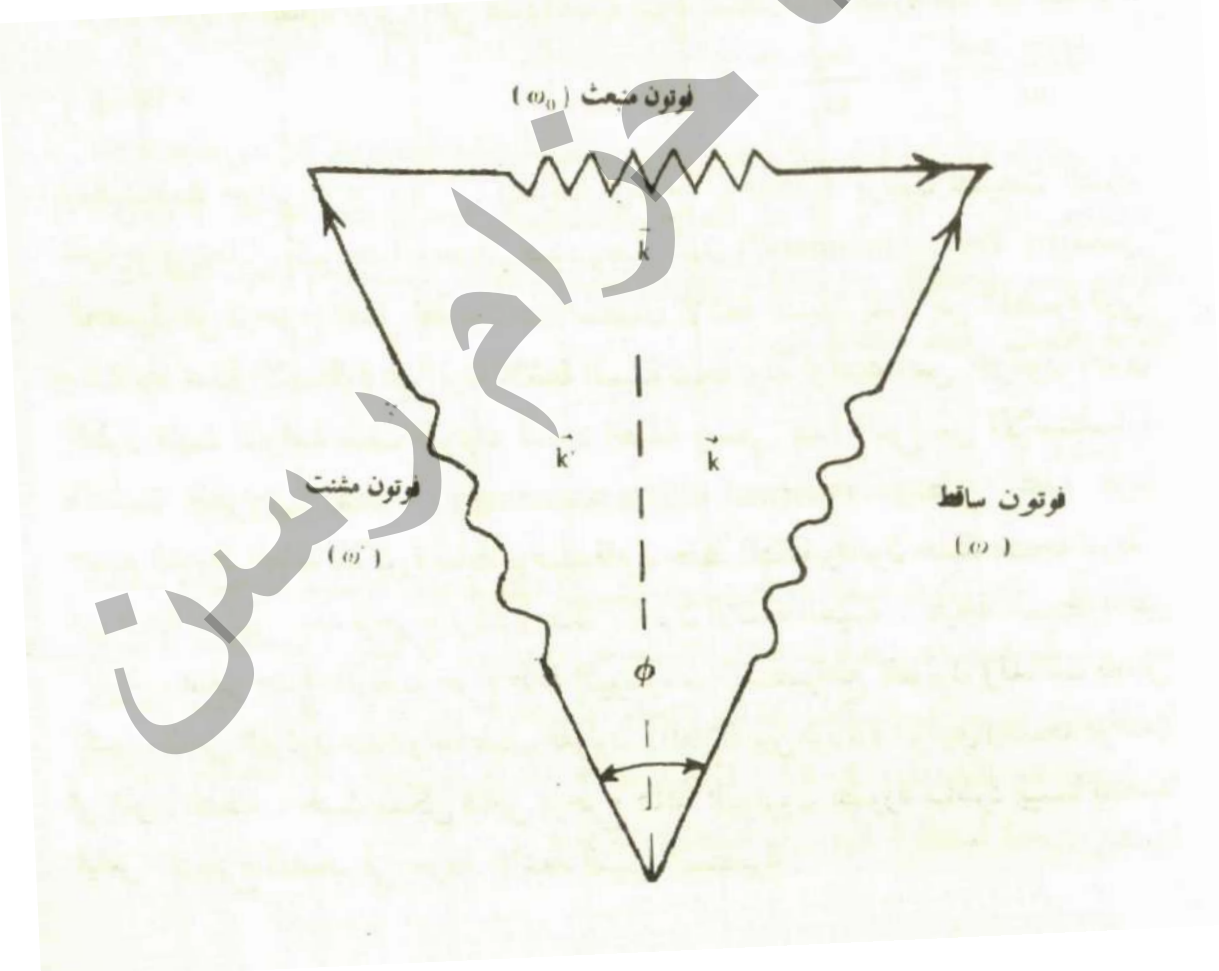
وبتطبيق قانون حفظ متجه الموجة (او حفظ الزخم) ينتج:

$$\hbar\vec{k} = \hbar\vec{k}' + \hbar\vec{K} \dots \dots 2$$

ان سرعة الموجة الصوتية  $v_s$  هي كمية ثابتة فان  $\omega_0$

اما بالنسبة للموجة الكهرومغناطيسية  $\omega = ck$  وان  $c \gg v_s$  لذلك يكون  $K \gg ck$  أي ان

$\omega \gg \omega_0$   
ومن المعادلة الاولى (1) نستنتج ان  $\omega' = \omega - \omega_0$  ،  
وعند تمثيل تعادل الزخم في (2) بيانياً تكون النتيجة مثلث متساوي الساقين تقريرياً



حيث  $\phi$  تمثل زاوية الاستطارة. ويمكن كتابة معادلة (3) بدلالة معامل الانكسار للبلورة "n" النسبة بين سرعة الفوتون في الفراغ وسرعته في البلورة حيث ان

$$n = \left( \frac{c}{\omega} \right) \dots \dots \dots \quad (4)$$

وبذلك تصبح معادلة "3" بعد ضرب طرفيها بسرعة الموجة الصوتية في البلورة  $v_s$  كالتالي:

$$v_s K \cong 2v_s \omega n c^{-1} \sin \frac{\phi}{2} \dots \dots \dots \quad (5)$$

ولكن  $K = v_s / \omega_0$  يكافئ تردد الفونون المنبعث ( $\omega_0$ ) لذا فان المعادلة "5" تكتب بالصيغة الآتية:

$$\omega_0 \cong 2v_s \omega n c^{-1} \sin \frac{\phi}{2} \dots \dots \dots \quad (6)$$

وبذلك نكون قد حصلنا على علاقة تقريبية لتردد فونونات متولدة في بلورة عند استطارة فوتونات استطارة غير مرنة عند زاوية  $\phi$ .  
ان اقصى تغير نسبي لتردد الفوتون (الضوء المرئي) في هذه العملية نتيجة استطارته استطارة غير مرنة هو

$$\frac{\omega - \omega'}{\omega} = \frac{\omega_0}{\omega} \cong 2v_s n c^{-1} \dots \dots \dots \quad (7)$$

بعد ترhzح تردد (طاقة) فوتون الاشعة السينية نتيجة استطارته غير المرنة صغير جدا مقارنة بتترhzح طاقة النيوترونات المستطيره مع الفونون لذلك يفضل النيوترون على الفوتون عند دراسة طيف الفونون (العلاقة بين تردد الزاوي ومتوجه موجته) في المواد الصلب.  
حيث يمكن قياس ترhzح طاقة النيوترون بصورة مباشرة بينما تصعب قياس الترhzح الصغير في حزمة الاشعة السينية المستطيره.

**سؤال 1 في كتاب فيزياء الحالة الصلبة د. مؤيد جبرائيل:**

س1) فوتون صوئي طول موجته في الفراغ  $m^{-7} * 5 * 10^3$  m/s يستطيع بواسطة بلورة معامل انكسارها 1.5 وسرعة الصوت فيها  $4.5 * 10^3$  m/s احسب

1- اقصى تردد زاوي ومتوجه موجة الفونون المتولد عن هذه الاستطارة؟

2- اقصى تغير نسبي للتتردد الزاوي للفوتون نتيجة الاستطارة؟

### الاستطاره غير المرنة للنيوترونات بواسطه الفونونات:

يمكن تعريف النيوترون الحراري (thermal neutron) بانه نيوترون ذو طاقة حرارية حوالي (0.025ev) بدرجة حرارة (288<sup>o</sup>k) وتعت طاقة النيوترون الحراري مقاربة لطاقة الفونون. ولذلك يتوقع تغير ملموس في طاقة النيوترون خلال عملية استطارته غير المرنة مع نوى ذرات البلورة. اذا كانت سرعة النيوترون  $\vec{v}$  وكتلته  $M_n$  سيكون متوجه موجته وطاقة الحركة:

$$\vec{K}_n = \frac{M_n \vec{v}}{\hbar} \quad \left. \right\} \quad \dots\dots(8)$$

$$E = \frac{\hbar^2 K_n^2}{2 M_n}$$

و عند استطاره النيوترون غير المرنه بامتصاص او توليد فونون فان متوجه موجته وطاقة تتغير الى  $E'$  على التوالي وباستخدام قانون حفظ الطاقة:

$$\vec{K}_n - \vec{K}'_n = \vec{G} \pm \vec{K} \quad \left. \right\} \quad \dots\dots(9)$$

$$E - E' = \pm \hbar \omega_k$$

ان قياس قيمة الطاقة المكتسبة او المفقودة للنيوترون المستطير كدالة لاتجاه الاستطاره

عمليا يمكننا استخدام العلاقة (9) لايجاد علاقه التفرق بين  $K$ ،  $\omega_k$  للفونون المتولد او الممتص نتائجه استطاره النيوترون استطاره غير مرنة.

### انماط الاهتزاز لشبكة خطية احادية الذرات:

يمكن ايجاد علاقه التفرق بين التردد الزاوي ( $\omega$ ) للذرة المهترزة ومتوجه الموجه (K) للموجه الحاصله من ذلك الاهتزاز نفترض سلسله خطيه طوليه جدا من الذرات المتشابهه حيث ان:

$m$  = كتله كل ذرة من ذرات السلسله.

$a$  = فسحة الاتزان بين أي ذرتين متجاورتين (ثابت السلسله).

$C$  = ثابت قوه بين أي ذرتين متجاورتين (ثابت المرنة).

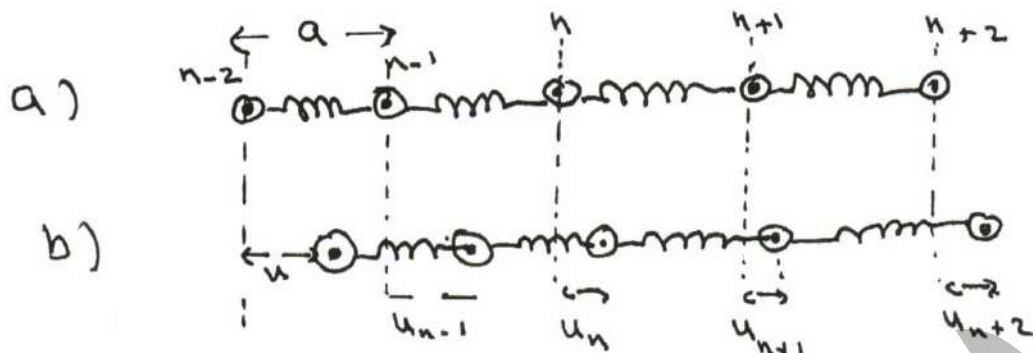
$U_n$  = ازاحة الذرة "n" عن موضع الاتزان وهي دالة للزمن.

$N$  = العدد الكلي لذرات السلسله.

$F_n$  = محصلة القوى المؤثرة على الذرة "n".

يمكن اعتبار(على افتراض) السلسلة الذريه الخطية عباره عن مجموعة من الكرات المتشابهه المربوطة بعضها مع بعض بنوابض افقية بحيث تكون حركة كل كرة باتجاه موازي للسلسله وبذلك تكون الموجات الحاصله من الاهتزاز موجات طوليه فقط.

فإذا كانت استطالله او انكبس احد هذين النابضين اكثر من الآخر فسوف تتعجل الذرة الواقعه بينهما، اي تكون الذرة في حالة اهتزاز بقوة تتناسب مع الفرق بين اجهادي النابضين. ويمكن حساب محصلة القوة المؤثرة في الذرة( $F_n$ ) في الشكل التالي لحساب المركبة من جهة اليسار [ $F_L$ ] ومن جهة اليمين [ $F_R$ ]



الشكل: (a) سلسلة خطية من الذرات المتشابهة في مواضع اتزانها.

(b) ازاحات الذرات عن مواضع اتزانها.

$$F_R = c(u_{n+1} - u_n)$$

$$F_L = c(u_n - u_{n-1})$$

$$F_n = F_{(R)} - F_{(L)}$$

$$F_n = c [u_{n+1} - u_n - u_n + u_{n-1}]$$

$$F_n = c[u_{n+1} + u_{n-1} - 2u_n] \dots \dots \dots (1)$$

ان المعادلة (1) تمثل هذا تعبير خططي لكل الازاحات بصيغة قانون هوك تحت تأثير اقرب الجيران فقط.  
ويمكن تمثيل انتقال موجه طولية في صلب متجانس باتجاه معين مثل  $x$

$$u = Ae^{[i(Kx - \omega t)]}$$

حيث  $x$  تمثل موضع استقرار الذرة المهترئة عن نقطة الأصل و بما ان ازاحة الذرة "n" عن موضع استقرارها عن نقطة الأصل  $x$  يساوي  $na$  عندئذ يمكن كتابة المعادلة (13) كما يلي:

$$u_n = Ae^{[i(Kna - \omega t)]}$$

وباشتقاق الازاحة بالنسبة الى الزمن مرتين نحصل على تعجيل هذه الذرة وكما يلي:

$$\frac{d^2 u_n}{dt^2} = -\omega^2 A e^{[i(Kna - \omega t)]} \quad \frac{d^2 u_n}{dt^2} = -\omega^2 u_n$$

وهذا يعني ان اتجاه التعجيل او اتجاه القوة المسبيبة للتعجيل يكون معاكسا لاتجاه الازاحة، أي ان القوة المعايدة المؤثرة في الذرة n هي:

$$F_n = -m\omega^2 u_n \dots \dots \dots (2)$$

وبربط المعادلتين (1) (2) نحصل معادلة الحركة لاي ذرة في المستوى على

$$-m\omega^2 u_n = c [u_{n+1} + u_{n-1} - 2u_n] \dots \dots \dots (*)$$

$$-m\omega^2 = c \left[ \frac{u_{n+1}}{u_n} + \frac{u_{n-1}}{u_n} - \frac{2u_n}{u_n} \right]$$

$$\omega^2 = \frac{c}{m} \left[ 2 - \frac{u_{n+1}}{u_n} - \frac{u_{n-1}}{u_n} \right]$$

ولكن

$$\frac{u_{n+1}}{u_n} = \frac{Ae^{[iK(n+1)a - i\omega t]}}{Ae^{[iK(na) - i\omega t]}} = e^{iKa}$$

وبذلك

$$\omega^2 = \frac{c}{m} [2 - e^{iKa} - e^{-iKa}]$$



$$= \frac{c}{m} [2 - (\cos ka + i \sin ka) - (\cos ka - i \sin ka)]$$

$$= \frac{c}{m} [2 - 2 \cos ka] = \frac{2c}{m} (1 - \cos ka)$$

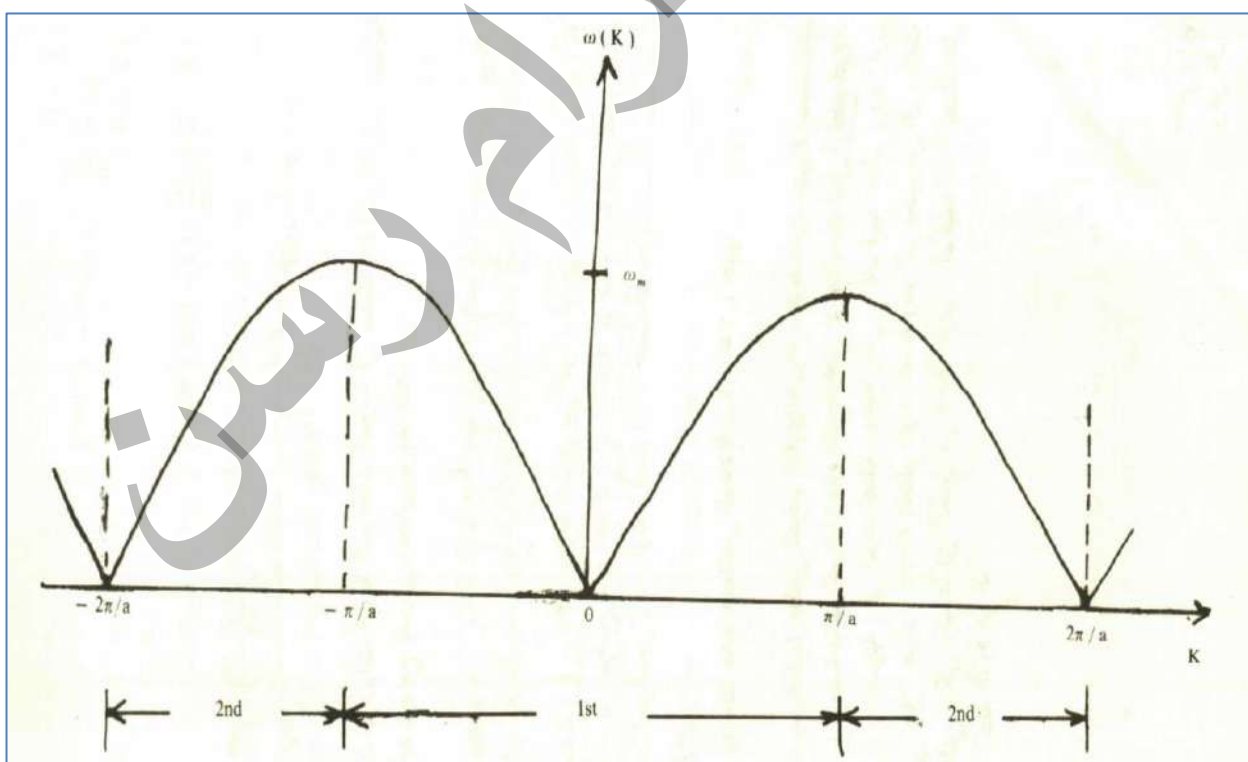
$$(1-\cos ka) = 2 \sin^2 \left( \frac{Ka}{2} \right)$$

$$\omega^2 = \frac{4c}{m} \sin^2\left(\frac{Ka}{2}\right)$$

$$\omega_m = 2 \left[ \frac{c}{m} \right]^{\frac{1}{2}} = \left[ \frac{4c}{m} \right]^{\frac{1}{2}} \quad \dots \dots \dots \quad \omega_{max}$$

$$\omega = \mp \omega_m \sin\left(\frac{Ka}{2}\right) \dots \dots \dots \text{علاقة التفريق} \dots \dots \dots (3)$$

والمعادلة (3) تمثل علاقة التفريقي بين التردد الزاوي ( $\omega$ ) وقيمة متوجه الموجة [K] لسلسلة احادية الذرات. والشكل ادناه يوضح هذه العلاقة، ان الاشارة الموجبة والسالبة تعين اتجاه انتقال الموجة اذا كان نحو اليمين (+) او نحو اليسار (-) حيث الحركة عند أي نقطة تكون دورية مع الزمن.



### **الفصل الثالث: ديناميكية الشبكة**

ويمكن ملاحظة الخصائص التالية للمعادلة (3) اهمها: توقف فاصل - وجود قيمة عظمى للتردد الزاوي ( $\omega_m$ ) عندما تكون قيم K تساوى  $\left(\pm \frac{\pi}{a}\right)$  او مضاعفاتها الفردية وهذا يعني ان هناك حد اعلى او قطع لتردد الموجات المرنة (الصوتية) في المواد الصلبة. ان قيمة ( $\omega_m$ ) تعتمد على ثابت القوة وكتلة الذرة أي ان

$$\omega = \mp 2 \left[ \frac{c}{m} \right]^{\frac{1}{2}} \sin \left( \frac{Ka}{2} \right) \dots \dots \dots \text{علاقة التقرير} \dots \dots \dots (3)$$

وجود قيمة عظمى للتردد الزاوي ( $\omega_m$ ) عندما تكون قيم K تساوى  $\left(\frac{\pi}{a}\right)$  او مضاعفاتها الفردية وهذا يعني ان هناك حد اعلى او قطع لتردد الموجات المرنة (الصوتية) في المواد الصلبة.

$$\omega = \mp 2 \left[ \frac{c}{m} \right]^{\frac{1}{2}} \sin \left( \frac{Ka}{2} \right) = \mp 2 \left( \frac{c}{m} \right)^{\frac{1}{2}} \sin \left( \frac{\pi a}{2a} \right)$$

$$= \mp 2 \left( \frac{c}{m} \right)^{\frac{1}{2}} \sin \left( \frac{\pi}{2} \right) \quad \& \quad \sin \left( \frac{\pi}{2} \right) = 1$$

- لكل متجه موجة  $K$  يقابلها تردد زاوي وان جميع الاهتزازات المحتملة تحدد بقيم  $K$  في المدى حدود منطقة برليون الاولى  $-\frac{\pi}{a} \leq K \leq \frac{\pi}{a}$  .....

ويدعى هذا المدى بنطاق او منطقة برليون الاولى (1<sup>st</sup> B.Z.) (First Brillauin Zone) للشبيكة الخطية، اما المدى الذي يلي مدي منطقة برليون الاولى وبنصف دوره  $\left(\frac{\pi}{a}\right)$  لكل من جهتيها فيدعى بمنطقة برليون الثانية (2<sup>st</sup> B.Z.).

$$\frac{\pi}{a} \leq K \leq \frac{2\pi}{a} \quad -\frac{2\pi}{a} \leq K \leq -\frac{\pi}{a} \dots \text{حدود منطقة بـ ١٠٠ مليون الثانية}.$$

تبعدها منطقة بـ ١٠٠ مليون بريليون المتر مربع، وهذا يعادل  $\left(\frac{2\pi}{a}\right)$  قيم متجه الشبكة المقلوبة ( $\vec{G}$ ) لشبكة او سلسلة احادية الذرات ذات بعد واحد، وهذا المتجه يربط بين أي نقطتين متناظرتين في منطقتين مختلفتين من مناطق بـ ١٠٠ مليون بريليون (ان فضاء بـ ١٠٠ مليون بريليون هو فضاء متجه الموجه أي فضاء شبكة مقلوبة).

إذا فرضنا ان  $\vec{K}$  تمثل متجهات موجة داخل وخارج منطقة بـ ١٠٠ مليون على التوالي فان:

$$K = K' + G \quad K = K' + n\left(\frac{2\pi}{a}\right)$$

بعد اهمال صفة الاتجاهية لأنها يقعان على خط واحد، حيث  $n$  عدد صحيح

-3 ان التناسب بين التردد الزاوي ( $\omega$ ) ومتوجه الموجة  $K$  لقيم صغيرة جداً اي ان ( $1 < K < \infty$ ) (أي عند منطقة اطيف موجات طويلة) ويمثل ذلك للموجات المرنة في وسط مستمر متجانس اي ان:

$$\omega = \mp 2 \left( \frac{c}{m} \right)^{\frac{1}{2}} \sin \left( \frac{ka}{2} \right) \dots \text{علاقة التفريق} \dots \quad (3)$$

وبما ان قيمة  $K$  صغيرة جدا فعليه تكون الزاوية  $\left( \frac{ka}{2} \right)$  ستكون صغيرة جداً وعند ذلك سيكون جيب الزاوية يساوي الزاوية

$$\sin \left( \frac{ka}{2} \right) = \left( \frac{ka}{2} \right) \dots \text{عندما تكون الزاوية صغيرة}$$

$$\omega \approx \mp 2 \left[ \frac{c}{m} \right]^{\frac{1}{2}} \left( \frac{ka}{2} \right)$$

$$\omega \approx \mp \left[ \frac{c}{m} \right]^{\frac{1}{2}} Ka \dots \dots \dots \dots \dots \dots \quad (5)$$

**س2) لشبكة خطية أحادية الذرات وعند منطقة الأمواج الطويلة اثبت ان:**

وهذا يعني ان كان الطول الموجي للاهتزاز (او الاضطراب) اكبر بكثير من ثابت السلسلة (a) فان سلسلة الذرات تتصرف كأنها سلك مستمر كما يصفه الميكانيك الكلاسيكي حيث تكون سرعة انتشار الموجة كمية ثابتة لا تعتمد على الطول الموجي

أي انه عندما يكون  $1 < K < \frac{1}{a}$  فان  $a >> \lambda$  فـ  $K = \frac{1}{\lambda}$  بما ان

أي عند (منطقة اطيف موجات طويلة) ولذلك تتناسب ( $\omega$ ) خطيا مع  $K$  تقريبا اي ان:

$$\omega = \mp 2 \left( \frac{c}{m} \right)^{\frac{1}{2}} \sin \left( \frac{ka}{2} \right) \dots \text{علاقة التفريق} \dots \quad (3)$$

وبما ان قيمة  $K$  صغيرة جدا فعليه تكون الزاوية  $\left( \frac{ka}{2} \right)$  ستكون صغيرة جداً وعند ذلك سيكون جيب الزاوية يساوي الزاوية

$$\sin \left( \frac{ka}{2} \right) = \left( \frac{ka}{2} \right) \dots \text{عندما تكون الزاوية صغيرة}$$

$$\omega \approx \mp 2 \left[ \frac{c}{m} \right]^{\frac{1}{2}} \left( \frac{ka}{2} \right) \quad \omega \approx \mp \left[ \frac{c}{m} \right]^{\frac{1}{2}} Ka = 2\pi\nu \dots \dots \dots \dots \dots \dots \quad (5)$$

$\nu$  = نيو (Nu) يمثل تردد الموجة التي طولها  $\lambda$ .

$$\lambda\nu = \left[ \frac{c}{m} \right]^{\frac{1}{2}} a = V_0$$

$$\omega \approx \mp \left[ \frac{c}{m} \right]^{\frac{1}{2}} Ka = V_0 K$$

$$\omega \approx V_0 K$$

**س3) لشبكة خطية أحادية الذرات وعند منطقة الأمواج الطويلة اثبت ان:**

و ايضاً  $\left( V_0 = \left[ \frac{c}{m} \right]^{\frac{1}{2}} a \right)$  حيث  $V_0$  هي سرعة انتشار الموجة الصوتية او المرنة في منطقة اطيف

الموجات الطويلة لسلسلة خطية من الذرات المتشابهة وهي كمية ثابتة تقريبا كما هو الحال لسرعة انتشار موجة طولية في وسط مستمر مرن ومتجانس ذو بعد واحد. بالنسبة للموجات ذات الاطوال الموجية الكبيرة (أي عندما تكون  $\lambda$  كبيرة) (بعبرة أخرى عندما تكون  $K$  صغير) تنتقل ترددات هذه الموجات خلال الشبكة، بينما الترددات الأخرى سوف تتلاشى بسرعة وبذلك تعمل الشبكة عمل مرشح ميكانيكي للتخلص من الترددات الوطنية.

وبما ان قيمة  $K$  صغيرة جدا فعليه يمكن اعتبار جيب الزاوية مساوياً للزاوية أي ان:

$$\omega_m = 2 \left[ \frac{c}{m} \right]^{\frac{1}{2}} \quad \dots \dots \dots \quad \text{القيمة العظمى للتردّد الزاوي}$$

$$\sin\left(\frac{ka}{2}\right) = \left(\frac{\dot{k}a}{2}\right)$$

$$\omega = \omega_m \left( \frac{ka}{2} \right) = \left( \frac{\omega_m a}{2} \right) k \quad \because \quad \omega = V_o k \quad \therefore \quad V_o = \frac{\omega_m a}{2}$$

$$\therefore \omega_m = \frac{2V_o}{a}$$

وايضاً يمكن ان نستنتج:

$$V_o = \frac{\omega_m a}{2} \quad \therefore \quad \omega_m = 2 \left[ \frac{c}{m} \right]^{\frac{1}{2}} \quad \therefore \quad V_o = a \left[ \frac{c}{m} \right]^{\frac{1}{2}}$$

اما عند قيم  $K$  اكبر من ذلك فان سرعة انتشار الموجة لا تكون ثابتة بل تتناقص كلما ازداد متوجه الموجة (او صغر الطول الموجي). وعندما تصبح قيمة  $K$  مساوية الى  $\left(\frac{\pi}{a}\right)$  فهذا يعني ان الطول الموجي اصبح يساوي  $(2a)$  والدالة  $\omega_k$  تتحني الى مماس افقي وتصبح قيمتها  $(\omega_m)$  وتساوي  $\left(\frac{2V_o}{a}\right)$ .

$$\left( \omega_m = \frac{2V_o}{a} \right)$$

ان هذا التباين في سرعة انتقال الموجة بسبب تباين اطوالها الموجية نتيجة انتقالها من وسط مفرق او مشتت (dispersive) يقودنا الى التمييز بين سرعة الطور  $v_p$  (Phase velocity) وسرعة المجموعة  $v_g$  (group velocity) حيث يمكن التعبير عنها بصورة عامة باستخدام المعادلة (3) التي تتمثل علاقة التفريق:

$$\omega = \mp 2\left(\frac{c}{m}\right)^{\frac{1}{2}} \sin\left(\frac{ka}{2}\right) \dots \text{ ... (3)} \quad V_0 = a\left(\frac{c}{m}\right)^{\frac{1}{2}}$$

$$v = \frac{\omega}{K} = \frac{2}{K} \left( \frac{c}{m} \right)^{\frac{1}{2}} \sin \left( \frac{Ka}{2} \right) = \frac{2a}{Ka} \left( \frac{c}{m} \right)^{\frac{1}{2}} \sin \left( \frac{Ka}{2} \right) = \frac{2}{K} \left( \frac{V_0}{a} \right) \left[ \frac{\sin \left( \frac{Ka}{2} \right)}{\left( \frac{Ka}{2} \right)} \right]$$

$$v_g = \frac{\partial \omega}{\partial K} = V_0 \cos\left(\frac{Ka}{2}\right) v = V_0 \left[ \frac{\sin\left(\frac{Ka}{2}\right)}{\left(\frac{Ka}{2}\right)} \right]$$

في منطقة الترددات الوطنية فإن كلا من سرعة الطور وسرعة المجموعة تساوي  $\frac{1}{2}$  أي أن

$$\left[ v = v_g = V_{\circ} = a \left( \frac{c}{m} \right)^{\frac{1}{2}} \right]$$

وهي سرعة الموجة الصوتية المنتشرة في تلك المنطقة، حيث تكون قيم  $Ka >> 1$ . وهذه النتيجة مطابقة تماماً لسرعة انتشار الموجة الصوتية في وسط مرن ومستمر. ومن الناحية

العملية يمكن معرفة ثابت القوة  $C$  عند قياس سرعة الموجات الصوتية الطويلة في مادة صلبة.

كلما ابتعدنا عن منطقة الترددات الواطئة حيث تزداد القيم المطلقة لمتجه الموجة  $K$  أكثر فأكثر

(موجات قصيرة) فان سرعة الطور ( $v$ ) هي دالة لمتجه الموجة، تقل حتى تبلغ اقل قيمة لها  $\frac{2V_0}{\pi}$  عندما

تكون  $\left[ \omega_m = 2\left(\frac{c}{m}\right)^{\frac{1}{2}} \right]$  والتردد الزاوي اعظم ما يمكن  $\left( K = \mp \frac{\pi}{a} \right)$



اما سرعة المجموعة ( $v_g$ ) فهي كذلك تقل بازدياد القيمة المطلقة ل  $K$  حتى تبلغ قيمتها الصفر عندما تكون  $\frac{\pi}{a} = K$ . ان سرعة المجموعة عندما تكون صفر ( $v_g=0$ ) تعني ان الموجة الحاصلة من الاهتزاز ليست موجة منتقلة بل موجة واقفة عند حدود منطقة برليون حيث الاذاحة عند تلك الحدود هي  $. K = \left( \mp \frac{\pi}{a} \right)$

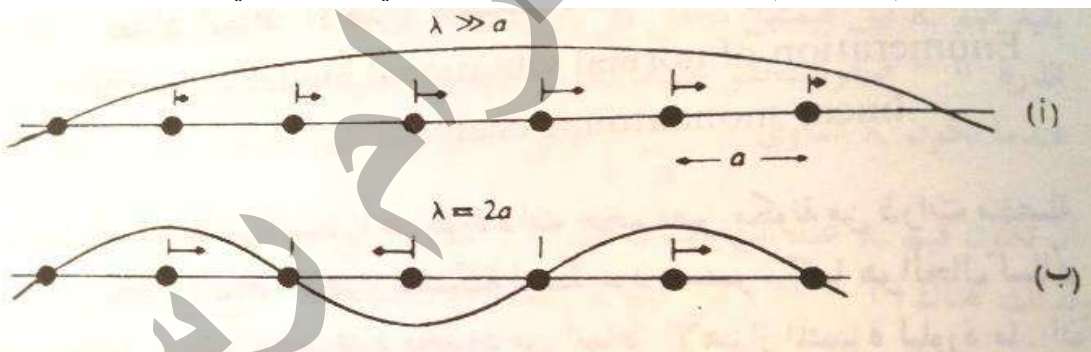
$$u_n = A e^{[i(Kna - \omega t)]} \quad \& \quad K = \left( \mp \frac{\pi}{a} \right)$$

$$u_n = A e^{-i\omega t} \cos n\pi \quad u_n = \mp A e^{-i\omega t}$$

حيث ان الإشارة الموجية تكون لقيم  $n$  الزوجية والإشارة السالبة تكون لقيم  $n$  الفردية. فمثلاً اذاحة الذرة الرابعة تتساوي وتعاكس اذاحة الذرة التي قبلها (الثالثة) او التي تليها (الخامسة). أي ان الذرات المجاورة تتحرك باتجاه متعاكسة كما في الشكل:



وبذلك فان نمط الاهتزاز عند حدود منطقة برليون الاولى لا يمكن ان ينتشر خلال السلسلة الخطية بل ينعكس الى الخلف ثم الى الامام على التالق كموجة واقفة كما في الشكل الاتي:



الشكل (٤-٨) (أ) الإذاحات الذرية في مدى أطيف الموجات الطويلة جداً

(ب) الإذاحات الذرية عند طول موجي  $\lambda = 2a$  والذي يقابل متوجه مرجة  $K = \frac{\pi}{a}$

السؤال الثالث في الفصل السادس في كتاب فيزياء الحالة الصلبة تأليف: د. يحيى نوري الجمال.

س 4 سلسلة خطية احادي الذرات ذات مسافة بينية ( $a=3*10^{-10} m$ ) فإذا كانت سرعة الصوت

تساوي  $3*10^2 m/sec$  ، احسب تردد القطع؟

ملاحظة : توجد أخطاء طباعية في هذا السؤال في كتاب د. يحيى نوري الجمال مثل

- ذات مسافة بينية ( $a=3*10^{10} m$ )

- سرعة الصوت تساوي  $3*10^3 m/sec$

**خلاصة ما تقدم:**

✓ هي عندما تكون  $K$  صغيرة فان  $\lambda < a$  فتتحرك جميع الذرات في الطور نفسه بعضها بالنسبة للبعض الآخر وان القوة المعايدة المؤثرة في ذرة بسبب تفاعلها مع جيرانها الأولى تكون صغيرة ولهذا السبب تكون  $\omega$  صغيرة كذلك.

✓ وعندما تكون  $K=0$  تكون  $\omega = \lambda$  ولذلك تتحرك الشبكة الخطية برمتها بوصفها (جسمًا صلاديًا) اجزاء غير قابلة للاهتزاز (rigidbody) بسبب ضيافة القوة المعايدة. مما يفسر بسبب كون  $\omega = 0$  عندما تكون  $K = 0$

✓ وعندما تكون  $\frac{\pi}{a} = K$  حيث  $2a = \lambda$  تتحرك الذرات المجاورة بأطوار متعاكسة وبعد ذلك تكون القوة المعايدة والتردد الزاوي اعظم ما يكون وتكون (موجات واقفة).

**السرع في الحركة الموجية:**

هناك ثلاثة سرع في الحركة الموجية تميز عن بعضها تماماً وهي:

**1- سرعة الذرة:** وهي السرعة التوافقية للذرة حول موقع الاتزان، وهي مقدار متغير فهي تكون في غايتها العظمى في لحظة مرور الذرة في موقع الاتزان. وتكون صفرًا عندما تكون في اقصى ازاحة عن موقع الاتزان.

**2- سرعة الطور ( $v$ ):** وهي سرعة تقدم طور معين للموجة المفردة وهي مقدار ثابت في الوسط الواحد والتي يمكن التعبير عنها رياضياً بالعلاقة التالية:  $(v = \frac{\omega}{K})$

أي ان سرعة الطور هي عبارة عن سرعة انتشار موجة نقية ذات تردد معين ( $\omega$ ) ومتوجه موجي  $K$

**3- سرعة المجموعة ( $v_g$ ):** عبارة عن سرعة انتشار عدد غير محدود من الترددات. أي ان سرعة المجموعة تمثل سرعة النبضة (Pulse) والتي متعدد تردداتها ( $\omega$ ) ومتوجه الموجة  $K$ . والتي يمكن التعبير عنها رياضياً بالعلاقة التالية:  $(v_g = \frac{\partial \omega}{\partial K})$

**انماط الاهتزاز لشبكة احادية ثلاثية الابعاد:**

سابقاً افترضنا وجود نوع واحد من الازاحات الذرية هي ازاحات طولية (Longitudinal)، اي ان اتجاه الذرات باتجاه انتشار الموجة ( $K$ ) ولكن توجد ايضاً ازاحات ذرية مستعرضة (transvers) باتجاه عمودي على اتجاه انتشار الموجة. ان الموجة في شبكة او بلورة ثلاثة الابعاد لها الخصائص المستعرضة والطولية والمعادلات الخاصة بذلك تصبح أكثر تعقيداً من تلك المعادلات لشبكة خطية حيث ان كل بعد يولد مركبة ديكارتية إضافية لمتجه الازاحة ولذلك يجب ان تتضمن المعادلات حدوداً مناسبة لثوابت القوى وكذلك السرع بحيث تناسب الازاحات الطولية والمستعرضة.

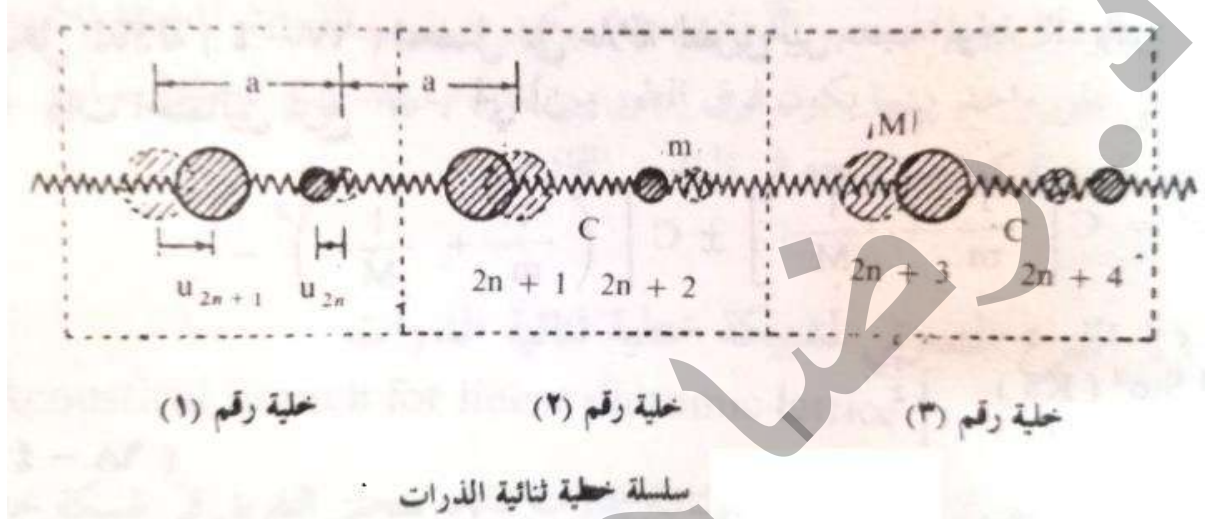
وخلال القول انه لشبكة ذات ثلاثة ابعاد يجب علينا إيجاد حل لمعادلة تكميلية أي معادلة من الدرجة الثالثة في  $\omega^2$  بينما المعادلة (\*) للشبكة الخطية تمثل معادلة في  $\omega^2$ . ويمكن فيزيائياً معرفة الجذور الثلاثة لالمعادلة التكميلية عند التركيز على حدود الاطوال الموجية الطويلة أي كاننا نتعامل مع وسط مرن مستمر. فمن المعروف جيداً انه في وسط مرن مستمر، يمكن ان تنتشر ثلاثة انواع من الموجات الصوتية (acoustic) ذات سرع مختلفة والاختلاف الاساسي بينها يكمن في طبيعة استقطابها.

**Polarization**

فمثلاً لو سط مرن متماثل الخواص الاتجاهية يكون أحد الانماط ذات استقطاب طولي (متوجه الازاحة لكل ذرة يكون في مواجهة اتجاه انتشار الموجة). اما النمطان الاخران فلهما السرعة نفسها واستقطابها مستعرض (اي تتحرك الذرات في سطوح عمودية على اتجاه متوجه الموجة). وبصورة عامة تكون سرعة النمط الطولي اعلى من سرعة النمط المستعرض.

### انماط الاهتزاز لشبكة خطية ثنائية الذرات:

هنا ترافق نقطة الشبكة الواحدة ذرتان قد تكونان متشابهتين في الكتلة كما في الماس او مختلفتين في الكتلة كما في (NaCl) في هذه الحالة فان علاقه التفريق بين  $K$  &  $\omega$  لكل نمط من الاستقطاب. يظهر فرعان رئيسان هما الفرع الصوتي (acoustical branch) والفرع البصري (optical branch) وكل منهما يضم موجات طولية ومستعرضة. وهذا يعني انه يمكن الحصول على موجات او فونونات: صوتية مستعرضة (TA) وصوتية طولية (LA) وبصرية مستعرضة (TO) وبصرية طولية (LO). الان نفترض وجود سلسلة تحوي نوعين من الذرات الصغيرة ( $m$ ) والذرات الكبيرة ( $M$ ) مرتبة بالتعاقب بحيث ان اقصر مسافة بين اي ذرتين متعاقبتين هي (a) وبذلك تكون دورية فضاء السلسلة هي (2a).



تنتشر الموجة الطولية على طول السلسلة. عندئذ يمكن كتابة ازاحات الذرات المتباينة الآتية وهي تمثل موجات منتقلة وكما يلي:

$$\left. \begin{aligned} u_{2n} &= A \exp\{i[K(2n)a - \omega t]\} \\ u_{2n+1} &= B \exp\{i[K(2n+1)a - \omega t]\} \end{aligned} \right\} \quad (7)$$

حيث ان  $A, B$  تمثلان سعة اهتزاز الذرات الصغيرة والكبيرة على التوالي وتكون عادة ذات قيم متباينة، وعلى فرض :

- 1- ان ثابت القوة ( $c$ ) متساو في جميع ازواج هذه السلسلة. أي ان الثابت المرن لأية اصارة كمية ثابتة.
- 2- وان القوة المعيدة للجيران الاولى هي المؤثرة فقط في اية ذرة في السلسلة.
- 3- وقوع الازاحات الذرية ضمن المدى المرن لقانون هوك فبذلك يمكن كتابة معادلات الحركة لكل من  $m, M$  هي:

$$\left. \begin{aligned} m \left( \frac{d^2 u_{2n}}{dt^2} \right) &= m(-\omega^2 u_{2n}) = c[u_{2n+1} + u_{2n-1} - 2u_{2n}] \\ M \left( \frac{d^2 u_{2n+1}}{dt^2} \right) &= M(-\omega^2 u_{2n+1}) = c[u_{2n+2} + u_{2n} - 2u_{2n+1}] \end{aligned} \right\} \quad (8)$$

ومن خلال تعويض الازاحتات الذرية  $u_{2n+1}$  &  $u_{2n}$  من المعادلة (7) في (8) ينتج:

$$\left. \begin{aligned} -m\omega^2 A &= cB[\exp(iKa) + \exp(-iKa)] - 2cA \\ -M\omega^2 B &= cA[\exp(iKa) + \exp(-iKa)] - 2cB \end{aligned} \right\} \exp(iKa) + \exp(-iKa) = 2\cos Ka$$

$$(m\omega^2 - 2c)A + 2cB \cos Ka = 0$$

$$(M\omega^2 - 2c)B + 2cA \cos Ka = 0$$

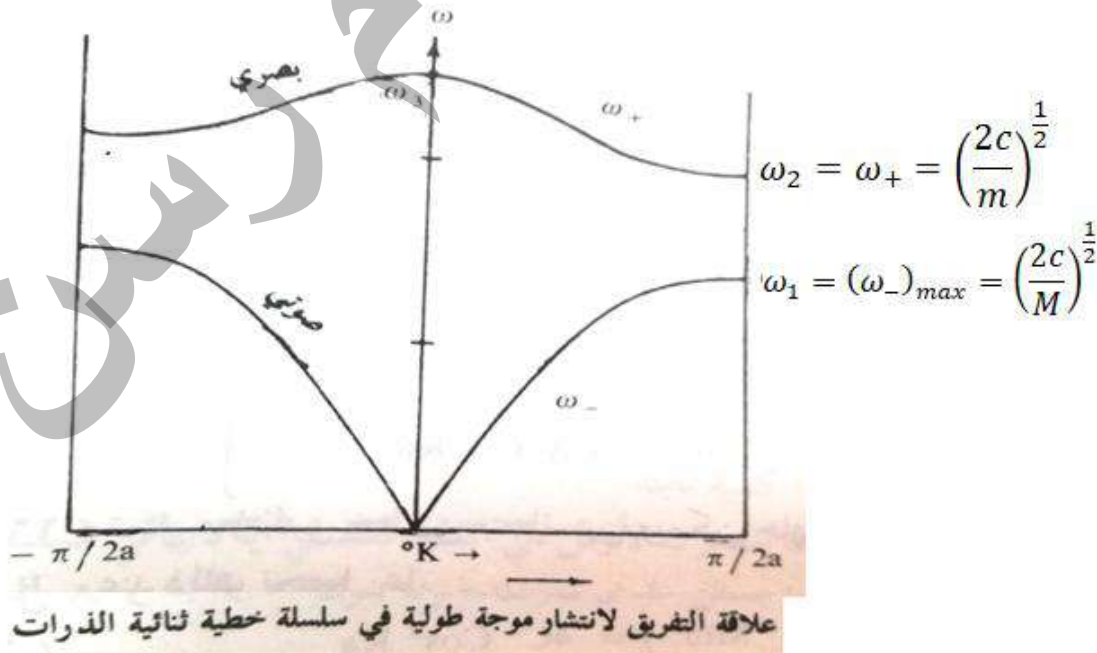
..... (9)

المعادلة (9) تمثل معادلتين خطيتين متجلانتين ويمكن حلهما آنياً للتخلص من المجاهيل  $A$ ,  $B$  لنحصل:  
 $\therefore (2c - m\omega^2)(2c - M\omega^2) = 4c^2 \cos^2 Ka$ .....

وبحل هذه المعادلة نحصل على علاقة التفريق بين متجه الموجة  $K$  والتردد الزاوي  $\omega$

$$\omega_{\pm}(k) = C \left( \frac{1}{m} + \frac{1}{M} \right) \pm C \left[ \left( \frac{1}{m} + \frac{1}{M} \right)^2 - \frac{4\sin^2(Ka)}{mM} \right]^{\frac{1}{2}} \quad (10)$$

**المعادلة (10)** تمثل علاقة التفريق لشبكة خطية ثنائية الذرات.  
 الشكل التالي يوضح الفرع الصوتي (المنحني السفلي) والفرع البصري (العلوي) لسلسلة خطية ثنائية الذرات ويعود السبب في هذه التسمية إلى طور تذبذب الذرات حيث يكون تذبذب الذرات المختلفة للأنماط الصوتية في طور واحد، بينما يكون فرق الطور بين تذبذب الذرات المختلفة متساوياً  $(\pi)$  لأنماط البصرية.



- ان التردد الزاوي هو دالة دورية لمحور الموجة ( $K$ ) ولما كانت قيمة ( $\omega$ ) كمية موجية دائمة، فان اية قيمة من قيم ( $\omega^2$ ) تؤدي الى قيمة واحدة لـ ( $\omega$ ) وهذا يعني وجود قيمتين للتردد الزاوي  $\omega$  ،  $+\omega$  ،  $-\omega$  كل قيمة واحدة لمحور الموجة ( $K$ ) .

- وهذا يعني وجود فرق عين لطيف اهتزاز سلسلة خطية ثنائية الذرات احدهما يمثل جميع الاختيارات لقيم ( $\omega$ ) للمعادلة (10) اي مجاميع الانماط الصوتية ويدعى بالفرع الصوتي. والآخر يمثل جميع الاختيارات الموجية لقيم ( $\omega$ ) للمعادلة (10) اي مجاميع الانماط البصرية ويدعى بالفرع البصري.

### الفرع الصوتي لشبكة خطية ثنائية الذرات:

الفرع الصوتي لشبكة خطية ثنائية الذرات مشابه لمنحنى التفريق في شبكة خطية أحادية الذرات. ولكن توجد بعض الاختلافات الأساسية بين هذين المنحنين. في المعادلة (10) تعتمد ( $\omega^2$ ) على ( $\sin^2(Ka)$ )

**علاقة التفريق لشبكة خطية ثنائية الذرات:**

$$\omega_{\pm}^2(k) = C \left( \frac{1}{m} + \frac{1}{M} \right) \pm C \left[ \left( \frac{1}{m} + \frac{1}{M} \right)^2 - \frac{4\sin^2(Ka)}{mM} \right]^{\frac{1}{2}} \quad (10)$$

$$\omega_{-}^2(k) = C \left( \frac{1}{m} + \frac{1}{M} \right) - C \left[ \left( \frac{1}{m} + \frac{1}{M} \right)^2 - \frac{4\sin^2(Ka)}{mM} \right]^{\frac{1}{2}}$$

$$K = \pm \frac{\pi}{2a} \quad \text{عند}$$

$$\sin^2(Ka) = \sin^2 \left( \pm \frac{\pi}{2a} a \right) = \sin^2 \left( \pm \frac{\pi}{2} \right) = \pm 1$$

$$\omega_{-}^2(k) = C \left( \frac{1}{m} + \frac{1}{M} \right) - C \left[ \left( \frac{1}{m} + \frac{1}{M} \right)^2 - \frac{4}{mM} \right]^{\frac{1}{2}}$$

$$\omega_{-}^2(k) = C \left( \frac{M+m}{mM} \right) - C \left[ \left( \frac{1}{m} + \frac{1}{M} \right)^2 - \frac{4}{mM} \right]^{\frac{1}{2}}$$

$$\omega_{-}^2(k) = C \left( \frac{M+m}{mM} \right) - C \left( \frac{M-m}{mM} \right)$$

$$\omega_1 = \omega_{-}(K) = \left( \frac{2c}{M} \right)^{\frac{1}{2}} \quad \dots \quad (K = \pm \frac{\pi}{2a}) \quad \text{عند}$$

**س5) لشبكة خطية ثنائية الذرات ولفرع الصوتي  $\omega$  ، اثبت ان علاقه التفريق عند  $(K = \pm \frac{\pi}{2a})$  تصبح:**

$$\omega_1 = (\omega_{-})_{max} = \left( \frac{2c}{M} \right)^{\frac{1}{2}} \quad \text{اعظم قيمة ممكنة للتردد الزاوي في الفرع الصوتي}$$

**س6) لشبكة خطية ثنائية الذرات ولفرع الصوتي  $\omega$  ، اثبت ان:  $K = 0$  عندما  $\omega = 0$**



اي ان قيمة  $(\omega^2)$  يكون ضمن مدى لمنجه الموجه K من  $\left(\frac{\pi}{2a} \text{ الى } -\frac{\pi}{2a}\right)$  للفرع الصوتي (الاختيار السالب) او الفرع البصري (الاختيار الموجب). وهذا المدى يمثل حدود منطقة بربليون الاولى :

$$\left(-\frac{\pi}{2a} \leq K \leq \frac{\pi}{2a}\right) \quad \text{مدى منطقة بربليون الاولى}$$

وتقابل  $\left(\mp \frac{\pi}{a}\right)$  لشبكة خطية احادية الذرات. وهذا الاختلاف يعني ان مدى منطقة بربليون الاولى يعتمد على دورية الشبكة لان (دورية الشبكة الاحادية هي "a" ودورية الشبكة الثانية هي "2a"). وعند تعويض عن قيمة  $K = \mp \frac{\pi}{2a}$  في المعادلة (10) لغرض الحصول على اعظم قيمة ممكنة للتردد الزاوي  $\omega_1$  :

$$\omega_1 = (\omega_-)_{max} = \left(\frac{2c}{M}\right)^{\frac{1}{2}} \quad \dots \quad (11)$$

نرى بوضوح ان اعظم تردد زاوي لاهتزازات الانماط الصوتية لا يعتمد على كتلة الذرة الصغيرة (m) بل يعتمد فقط على كتلة الذرة الكبيرة (M) حيث انه عند تساوي كتل ذرات السلسلة ( $m = M$ ) تتحول الشبكة الى شبكة احادية.

اما المعنى الفيزيائي للمعادلة (11) فيمكن توضيحه من المعادلة (12) حيث نرى ان النسبة بين سعة الذرة الكبيرة (B) الى سعة الذرة الصغيرة (A) هي:

$$\frac{B}{A} = \left[ \frac{2c - m\omega_-^2}{2c \cos(Ka)} \right] \quad \dots \quad (12)$$

$$\text{So } \frac{B}{A} = \frac{2c \cos(Ka)}{2c - M\omega_-^2}$$

✓ وتقرب هذه النسبة من الواحد عندما تقترب قيمة (K) من الصفر وهذا يعني ان جميع الذرات الصغيرة والكبيرة في السلسلة تتحرك بالاتجاه نفسه او بالطور نفسه في منطقة الترددات الواطئة او الاطوال الموجية الطويلة. وبهذا نجد ان الموجات الصوتية تتحقق الشروط التالية:

$$|K| \ll \frac{\pi}{2a} \quad \text{منجه الموجة}$$

$$v_o = \left[ \frac{2Ca^2}{M+m} \right]^{\frac{1}{2}} \quad \text{السرعة}$$

$$\omega = Kv_o \ll \left[ \frac{2C}{M} \right]^{\frac{1}{2}} \quad \text{التردد الزاوي}$$

✓ ولكن عندما تكون قيم (K) صغيرة بحيث يمكن التعويض عن قيمة  $\sin^2(Ka)$  في المعادلة 10 بقيمة  $(K^2a^2)$  فان التردد الزاوي  $\omega$  يتناسب طرديا مع قيمة متوجه الموجة (K) عندئذ تكون سرعة انتشار الموجة الصوتية  $(V_0)$  كمية ثابتة وكأن الانتشار في وسط مرن مستمر اي ان

$$\omega_- \equiv \left( \frac{2c}{m+M} \right)^{1/2} Ka$$

۱۴

وكلما زادت قيمة  $(K)$  تزداد قيمة  $(\omega)$  ولكن بنسب متفاوتة اي ان زيادة قيمة  $(K)$  بنسب معينة ما تسبب في زيادة قيمة  $(\omega)$  ولكن بنسبة اقل، لأن العلاقة ليست خطية بل تعتمد على  $(\sin Ka)$  اي ان نسبة الساعات ستزداد بازيد (K).

و عند الوصول الى اقصى قيمة لمتجه الموجة (حدود منطقة بربليون)  $\left(\frac{\pi}{2a}\right)$  فان  $(\omega)$  تقترب من  $(\omega_1)$  وبذلك تقترب السعات  $\left(\frac{B}{A}\right)$  من الانهاية وتقترب سرعة المجموعة من الصفر اي ان:

$$K = \mp \frac{\pi}{2a} \quad \omega_1 \rightarrow (\omega_-)_{max} = \left( \frac{2c}{M} \right)^{\frac{1}{2}} \quad \frac{B}{A} = +\infty$$

$$\frac{\omega}{K} = \left( \frac{8ca^2}{\pi^2 M} \right)^{1/2}, \quad \frac{d\omega}{dK} = 0 \quad (14)$$

يمكن تفسير المعادلة (14) فيزيائيا كالتالي:

- ❖ عند بلوغ أعلى تردد زاوي للأنماط الصوتية ( $\omega_1$ ) فإن اهتزاز الذرة الصغيرة ( $m$ ) يض محل وتصبح سعة اهتزازها ( $A$ ) تساوي صفر أي تتوقف عن الحركة بغض النظر عن قيمة سعة اهتزاز الذرة الكبيرة ( $B$ ) ولذلك لا تعتمد ( $\omega_1$ ) على كتلة الذرة الصغيرة بل تعتمد على كتلة الذرة الكبيرة وثابت القوة ( $C$ ).
- ❖ من جهة أخرى لما كانت سرعة المجموعة تساوي صفر عند أعلى قيمة للتردد الزاوي يعني ذلك أن الموجة المنتقلة قد أصبحت واقفة وتعكس بزاوية ( $180^\circ$ ) بموجب قانون براك للحيود

ان المنطقة الفاصلة بين الفرع الصوتي والبصري في الشكل السابق هي منطقة التردد المحظور او الطاقة المحظورة، بسبب عدم وجود قيم  $\omega$  اكبر من  $\omega_1$ .

## **الفرع البصري لشبكة خطية ثنائية الذرات:**

ان الفرع البصري يشمل جميع الترددات الزاوية  $(\omega_+)$  في الشكل السابق والحاصلة من الاختيارات الموجبة للمعادلة ( 10 ). علاقة التفريق لشبكة خطية ثانية الذرات:

$$\omega_{\pm}^2(k) = C \left( \frac{1}{m} + \frac{1}{M} \right) \pm C \left[ \left( \frac{1}{m} + \frac{1}{M} \right)^2 - \frac{4 \sin^2(Ka)}{mM} \right]^{\frac{1}{2}}$$

$$\omega_+^2(k) = C \left( \frac{1}{m} + \frac{1}{M} \right) + C \left[ \left( \frac{1}{m} + \frac{1}{M} \right)^2 - \frac{4\sin^2(Ka)}{mM} \right]^{\frac{1}{2}} \quad \text{للفرع البصري}$$

عندما  $0 \cong K$  فان التردد الزاوي ( $\omega_3$ ) يكون اعظم ما يمكن والانماط الصوتية = صفر اي عندما

$$K \Rightarrow 0, \quad \omega_+ \rightarrow \omega_3 = \left[ 2c \left( \frac{1}{m} + \frac{1}{M} \right) \right]^{1/2} \quad \dots \dots \dots (15)$$

$$\frac{\omega}{K} \rightarrow -\infty, \quad \frac{d\omega}{dK} \Rightarrow 0, \quad \frac{B}{A} \rightarrow -\frac{m}{M}$$

وهذا يعني ان للأطوال الموجية الطويلة ذات الاهتزاز البصري تتحرك الذرات المتجاورة باتجاهات متعاكسة او بفرق طور ( $\pi$ ) بحيث ان مركز الكتلة لأية ذرتين متحاولتين يبقى ساكنا اي كأن الجزيئه الشائنة في كل ذرتن تقترب من مركزها من اجل ابقاء مركز المجموعة ساكناً

الساييه في كل حاليه تهبر بتصوره مسعده عن جيراتها من الاجريات مع بقاء مرد الحليه ساكناً.  
ان نسبة الساعات  $\left(\frac{B}{A}\right)$  تبقى سالبة خلال الفرع البصري ولكنها تقترب من الصفر عندما تقترب قيمة (K)  
من اعظم قيمة لها  $\left(\frac{\pi}{2a}\right)$  وتقترب  $(\omega_+)$  من اقل تردد زاوي  $(\omega_2)$  حيث يكون طول الموجه اقصر ما  
يمكن  $(\lambda = 4a)$ .

$$K = \frac{\pi}{2a} \quad \omega_2 = \omega_+ = \left(\frac{2c}{m}\right)^{\frac{1}{2}} \quad \frac{B}{A} = 0$$

س(7) لشبكة خطية ثنائية الذرات وللفرع البصري  $w$  ، اثبت ان علاقه التفريق تصبح:

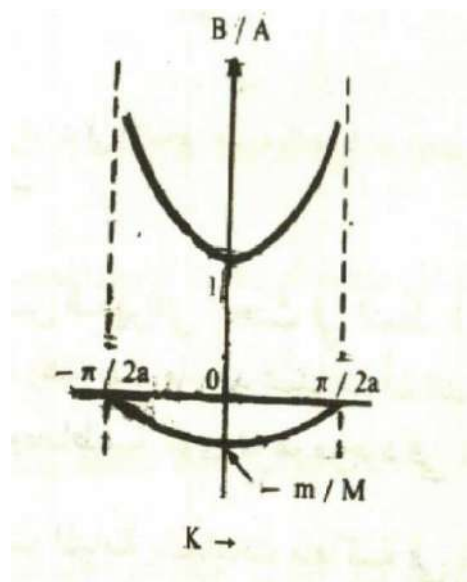
$$\omega_3 = \omega_{+max} = \left[ 2C \left( \frac{1}{m} + \frac{1}{M} \right) \right]^{\frac{1}{2}} \quad \text{عندما} \quad K = 0$$

س(8) لشبكة خطية ثنائية الذرات وللفرع البصري  $w$  ، اثبت ان علاقه التفريق تصبح:

$$K = \mp \frac{\pi}{2a} \quad \text{عندما} \quad \omega_2 = \omega_+ = \left(\frac{2c}{m}\right)^{\frac{1}{2}}$$

ان نسبة السعات اصبحت صفراء في هذه الحالة وهذا يعني ان سعة اهتزاز الذرة الكبيرة (B) اصبحت صفراء بغض النظر عن سعة اهتزاز الذرة الصغيرة (A) اي ان الذرة الكبيرة توقفت عن الحركة ولذلك تعتمد  $\omega_2$  فقط على كتلة الذرة الصغيرة (m) وثابت القوة (c).  
في هذا الشكل نلاحظ ان النسبة بين سعات الذرات المختلفة الكتلة لأنماط الاهتزاز الصوتية تتغير من واحد

لل一波ات الطويلة جداً) الى مالا نهاية (أقصى موجة ممكنة).



- ♦ بينما تتغير هذه النسبة لأنماط الاهتزاز البصرية من  $(\frac{-m}{M})$  (لل一波ات الطويلة جداً) الى صفر (أقصى طول موجة ممكنة).
- ♦ ان النمط البصري يظهر ابتعاثاً او امتصاصاً للموجات الكهرومغناطيسية اقوى مما هو موجود في النمط الصوتي.
- ♦ يمكن اثارة الانماط البصرية بوساطة المجال الكهربائي لموجة صوتية. وللسبب نفسه تعود تسمية هذه الانماط بالانماط البصرية.

نعود الى المنطقة المحضورة، ان عرض هذه المنطقة يعتمد على نسبة كتل الذرتين  $(\frac{m}{M})$ . فعند تقارب كتل الذرتين تضيق منطقة الترددات المحضورة ثم تتعدم هذه المنطقة عندما  $(\omega_1 = \omega_2)$  عندما تتساوى كتل هاتين الذرتين والعكس صحيح حيث يزداد عرض المنطقة بازدياد نسبة كتلتهما  $(\frac{m}{M})$ .

ان مدى الترددات لفرع البصري  $(\omega_3 - \omega_2)$  يعتمد على نسبة الكتل  $(\frac{m}{M})$  فعند تقارب كتل الذرتين تضيق منطقة الترددات المحضورة ليتسع مدى ترددات الفرع البصري وتكون  $\frac{\omega_3}{\omega_2}$  حوالي 40% اكبر من  $\omega_2$ .

وتقييد جميع اهتزازات الفرع البصري في مدى ضيق جداً ذات تردد زاوي مقارب الى  $(\omega_2)$  وهذا يعني ان التردد الزاوي لفرع البصري لا يعتمد على متوجه الموجة تقريباً وان  $(\frac{d\omega}{dK})$  تكون مقاربة للصفر.

### انماط الاهتزاز لشبكة ثلاثة الابعاد متعددة الذرات:

يمكن اعتبار صفات طيف الاهتزاز لشبكة ثلاثة الابعاد (بلورة) تحوي خليتها الاولية ذرتين متشابهتين او مختلفتين، مشابهة تقريباً لصفات طيف الاهتزاز لشبكة خطية ثنائية الذرات، ان ذلك يعني وجود فرعين اساسيين لطيف اهتزاز البلوره هما الفرع الصوتي وال بصري وكل من هذين الفرعين يشتمل على فروع لل一波ات الطويلة والمستعرضة. ان عدد الانماط المستعرضة هو دائمًا ضعف عدد الانماط الطويلة.

بصورة عامة اذا كان عدد الذرات في خلية الوحدة لبلوره هو P، فان عدد الفروع لطيف تفريغ الفونون (اهتزاز الشبكة هو  $(3P)$  ثلاثة منها هي مجموع الفروع الصوتية و  $(3P-3)$  هي مجموع الفروع البصرية.

اما اذا كان لدينا بلوره تحوي على N من الخلايا الاولية فيصبح العدد الكلي لفرع 3PN موزعاً كالتالي:

N	عدد الانماط الصوتية الطويلة
2N	عدد الانماط الصوتية المستعرضة
$(P-1)N$	عدد الانماط البصريه الطوليه
$2(PN)N$	عدد الانماط البصريه المستعرضه

## تفاعل الاشعة تحت الحمراء وانماط الاهتزاز البصرية:

هناك سطوح للبلورة تعكس الاشعاع الكهرومغناطيسي الساقط عليها بينما هناك سطوح أخرى تمنع هذا الاشعاع. وهذه الظواهر تعتمد على ترددات الاشعاع الساقط وعلى الترددات الذاتية للمواد الصلبة.

ان سرعة الموجات الكهرومغناطيسية أكبر بكثير من سرعة الصوت حيث ان نسبة الزخم الى طاقة الاشعاع الكهرومغناطيسي اقل بكثير من تلك لأنماط الاهتزاز الصوتية الذاتية للمواد الصلبة. وسبب هذا القاوت بين السرعتين لا يمكن تحقيق قوانين حفظ الزخم والطاقة عند تحويل فوتون بصري الى فوتون صوتي ولكن من الممكن افشاء فوتون بصري لتوليد فونون بصري فعند امتصاص بلورة لفوتون اشعة تحت الحمراء ذات تردد زاوي  $\approx 10^B$  زاوية نصف قطرية لكل ثابت وتولد فونون نتيجة فناء ذلك الفوتون فان قانون حفظ متوجه الموجة (حفظ الزخم) يصح عندئذ متوجه الفوتون يساوي متوجه موجة الفونون.

بصورة عامة فان البلورات التي تحوي خليتها الاولية ذرتين فقط، يمكن القول ان الترددات الزاوية لفرع البصري تقع ضمن منطقة الاشعة تحت الحمراء من طيف الاشعاع الكهرومغناطيسي، لذلك تظهر الانماط البصرية انباعاً او امتصاصاً للأشعة تحت الحمراء من طيف الاشعاع الكهرومغناطيسي لذلك تظهر الانماط البصرية انباعاً او امتصاصاً للأشعة تحت الحمراء اقوى مما تظهره الانماط الصوتية.

عند مرور فوتونات موجة كهرومغناطيسية خلال اي تركيب ايوني يستقطب متوجه المجال الكهربائي لذلك التركيب بحيث ان الايونات المجاورة ذات القطبية المختلفة تشجع على الحركة بأطوار متضادة لذلك فان هناك علاقة بين الاستقطاب وبين عملية فوتون وتولد فونون بصري في البلورات الايونية.

وبزيادة التردد الزاوي، كتعدد الاشعة فوق البنفسجية او اعلى فقد تتعذر مساهمة الالكترونات الخارجية لعدم وجود الوقت الكافي لكي تتجاذب هذه الالكترونات والتردد العالي للإشعاع الكهرومغناطيسي. هناك علاقة بين ثابت عزل البلورة المعرضة للإشعاع الكهرومغناطيسي وربيع معامل انكسارها كما في العلاقة:

$$n^2 = \frac{c^2}{v^2} = \frac{c^2 K^2}{\omega^2}$$

$v$  = سرعة الاشعاع الكهرومغناطيسي في الوسط المادي

$c$  = السرعة في الفراغ

$(\epsilon)$  = ثابت العزل

$n$  = معامل الانكسار

## انماط الفونون الموضعى:

تكون البلورات الحقيقية عادة بلوارات غير مثالية، اي وجود عيوب فيها ولهذه العيوب تأثير كبير على الصفات المرنة والكهربائية والصوتية للمواد الصلبة.

ومن العيوب التقليدية في البلورات احلال شائبة (impurity) محل احدى ذرات او ايونات البلورة ويدعى نمط الاهتزاز المرافق لهذه الشائبة بنمط الفونون الموضعى. ان هذا الاحلال يؤدي الى تشويف ضعيف على ترددات انماط الاهتزازات الطبيعية للبلورة وخلق حالات اهتزازية ضمن مدى الترددات الزاوية المحصورة بين الفرع الصوتي والبصري تتلاشى سعتها اسياً مع المسافة من الذرة الشائبة حيث تكون متوجهات الموجة لهذه الحالات مركبة.

## أسئلة وسائل

س) عرف: - الفونون، تردد القطع، سرعة المجموعة، تشتنت برليون (استطارة برليون)، الفونونات المهيجة حراريا، النيوترون الحراري.  
س) علل ما يأتي:

1- في تشتنت او استطارة برليون يكون التغير في طاقة الفوتون تكون صغيرة جدا؟

ج) بسبب الفرق الكبير بين سرعة الموجة الصوتية في البلوة ( $v_s$ ) وسرعة الفوتون او الموجة الكهرومغناطيسية  $c$  (سرعة الضوء) فان التغير في طاقة الفوتون تكون صغيرة جدا ولذلك تكون طاقة الفونون المتولد او الممتص صغيرة جدا

2- علل: في تشتنت او استطارة برليون تكون طاقة الفونون المتولد او الممتص صغيرة جدا؟

ج) بسبب الفرق الكبير بين سرعة الموجة الصوتية في البلوة ( $v_s$ ) وسرعة الفوتون او الموجة الكهرومغناطيسية  $c$  (سرعة الضوء) فان التغير في طاقة الفوتون تكون صغيرة جدا ولذلك تكون طاقة الفونون المتولد او الممتص صغيرة جدا

3- علل: يفضل النيوترون على الفوتون عند دراسة طيف الفونون؟

يعد تردد تردد (طاقة) فوتون الاشعة السينية نتيجة استطاراته غير المرنة صغير جدا مقارنة بتتردح طاقة النيوترونات المستطيره مع الفونون لذلك يفضل النيوترون على الفوتون عند دراسة طيف الفونون (العلاقة بين تردد الزاوي ومتوجه موجته) في المواد الصلب. حيث يمكن قياس تتردح طاقة النيوترون بصورة مباشرة بينما تصعب قياس التتردح الصغير في حزمة الاشعة السينية المستطيره.

4- علل: سرعة المجموعة هي الأكثر أهمية فيزيائياً من سرعة الطور؟

الجواب: وبما ان الطاقة والزخم تتقى عملياً بواسطه النبضات وليس الموجات النقيه لذا فان سرعة المجموعة هي الأكثر أهمية فيزيائياً .

**سؤال 1 في كتاب فيزياء الحالة الصلبة د. مؤيد جبرائيل:**

س(1) فوتون ضوئي طول موجته في الفراغ  $m^{-7} \times 10^5$  يستطير بواسطه بلورة بلورة معامل انكسارها 1.5 وسرعة الصوت فيها  $m/s \times 10^3 \times 4.5$  احسب. 1- اقصى تردد زاوي ومتوجه موجة الفونون المتولد عن هذه الاستطارة؟. 2- اقصى تغير نسبي للتردد الزاوي للفوتون نتيجة الاستطارة؟؟

**الجواب: (1)**

$$\omega_0 \cong 2v_s \omega n c^{-1} \sin \frac{\phi}{2} \quad \& \quad \omega_{\text{omax}} \cong 2v_s \omega n c^{-1} \quad \& \quad \sin \frac{\phi}{2} = \sin \left( \frac{180}{2} \right) = 1$$

$\omega_0$  تردد الفونون المنبعث &  $\omega$  التردد الزاوي لمتجه الفوتون الساقط

$v_s$  سرعة الموجة الصوتية &  $c$  سرعة الضوء &  $\phi$  تمثل زاوية الاستطارة

$$\omega = 2\pi f = \left( \frac{2\pi c}{\lambda} \right)$$

$$\begin{aligned} \omega_0 &\cong \frac{2v_s \omega n}{c} = \frac{2v_s n}{c} \left( \frac{2\pi c}{\lambda} \right) = \frac{4\pi v_s n}{\lambda} \\ &= \frac{4 \times \pi \times 4.5 \times 10^3 \times 1.5}{5 \times 10^{-7}} = 16.9 \times 10^{10} \text{ Hz} = 1.69 \times 10^{11} \text{ Hz} \end{aligned}$$

اقصى تردد زاوي

$$v_s K \cong 2v_s \omega n c^{-1} \sin \frac{\phi}{2} \quad K \text{ يمثل متوجه موجة الفونون}$$

$$K \cong 2\omega n c^{-1} \sin \frac{\phi}{2}$$

$$K \cong 2\omega n c^{-1} = \frac{2\omega n}{c} = \frac{2n}{c} \left( \frac{2\pi c}{\lambda} \right) = \frac{4\pi n}{\lambda}$$

$$= \frac{4 \times 3.14 \times 1.5}{5 \times 10^{-7}} = 37.68 \times 10^6 \text{ m}^{-1}$$

متوجه موجة الفونون المتولد نتيجة الاستطارة

2) ان اقصى تغير نسبي لتردد الفوتون (الضوء المرئي) في هذه العملية نتيجة استطارته استطاره غير مرنة هو

$$\frac{\omega - \omega'}{\omega} = \frac{\omega_0}{\omega} \cong 2v_s n c^{-1} \quad \frac{\omega_0}{\omega} \cong \frac{2v_s n}{c} = \frac{2 \times 4.5 \times 10^3 \times 1.5}{3 \times 10^8} = 45 \times 10^{-6}$$

ولهذا قلنا بان تردد طاقة فوتون الاشعة السينية نتيجة استطارته غير مرنة يكون صغير جدا. حيث يصعب قياس التردد الصغير في حزمة الاشعة السينية المستطيره.

**س2) شبكة خطية أحادية الذرات وعند منطقة الأمواج الطويلة اثبت ان:**

**الجواب:**

ان التتناسب بين التردد الزاوي ( $\omega$ ) ومتوجه الموجه  $K$  لقيم صغيرة جدا اي ان  $(Ka)$  (أي عند منطقة اطيف موجات طويلة) ويمثل ذلك للموجات المرنة في وسط مستمر متجانس اي ان:

$$\omega = \mp 2 \left( \frac{c}{m} \right)^{\frac{1}{2}} \sin \left( \frac{ka}{2} \right) \dots \text{ علاقة التفريق } \dots (3)$$

وبما ان قيمة  $K$  صغيرة جدا فعليه تكون الزاوية  $\left( \frac{ka}{2} \right)$  ستكون صغيرة جدا وعند ذلك سيكون جيب الزاوية يساوي الزاوية

$$\sin \left( \frac{ka}{2} \right) = \left( \frac{ka}{2} \right) \dots \text{ عندما تكون الزاوية صغيرة}$$

$$\omega \approx \mp 2 \left[ \frac{c}{m} \right]^{\frac{1}{2}} \left( \frac{ka}{2} \right) \quad \omega \approx \mp \left[ \frac{c}{m} \right]^{\frac{1}{2}} Ka \dots \dots \dots \dots \dots \dots (5)$$

**س3) شبكة خطية أحادية الذرات وعند منطقة الأمواج الطويلة اثبت ان:**  $\omega \approx V_o K$

**الجواب:**

$$\text{عندما يكون } 1 << \frac{1}{a} \text{ فان } Ka << \frac{1}{a} \text{ أو } \lambda >> a$$

أي عند (منطقة اطيف موجات طويلة) ولذلك تتناسب ( $\omega$ ) خطيا مع  $K$  تقريبا اي ان:

$$\omega = \mp 2 \left( \frac{c}{m} \right)^{\frac{1}{2}} \sin \left( \frac{ka}{2} \right) \dots \text{ علاقة التفريق } \dots (3)$$

وبما ان قيمة  $K$  صغيرة جدا فعليه تكون الزاوية  $\left( \frac{ka}{2} \right)$  ستكون صغيرة جدا وعند ذلك سيكون جيب الزاوية يساوي الزاوية

$$\sin \left( \frac{ka}{2} \right) = \left( \frac{ka}{2} \right) \dots \text{ عندما تكون الزاوية صغيرة}$$

$$\omega \approx \mp 2 \left[ \frac{c}{m} \right]^{\frac{1}{2}} \left( \frac{ka}{2} \right) \quad \omega \approx \mp \left[ \frac{c}{m} \right]^{\frac{1}{2}} Ka = 2\pi\nu \dots \dots \dots \dots \dots \dots (5)$$

$\nu$  = نيو (Nu) يمثل تردد الموجه التي طولها  $\lambda$ .

$$\lambda\nu = \left[ \frac{c}{m} \right]^{\frac{1}{2}} a = V_o \quad \omega \approx \mp \left[ \frac{c}{m} \right]^{\frac{1}{2}} Ka = V_o K \quad \omega \approx V_o K$$

س 4) سلسلة ذرية خطية احادي الذرات ذات مسافة بينية ( $a=3 \times 10^{-10} \text{ m}$ ) فإذا كانت سرعة الصوت تساوي  $300 \text{ m/sec}$  ، احسب تردد القطع؟

وجود قيمة عظمى للتردد الزاوي ( $\omega_m$ ) عندما تكون قيم K تساوى  $\left(\frac{\pi}{a}\right)$  او مضاعفاتها الفردية وهذا يعني ان هناك حد اعلى او قطع لتردد الموجات المرنة (الصوتية) في المواد الصلبة.

$$\begin{aligned}\omega &= \mp 2\left(\frac{c}{m}\right)^{\frac{1}{2}} \sin\left(\frac{ka}{2}\right) = \mp 2\left(\frac{c}{m}\right)^{\frac{1}{2}} \sin\left(\frac{\pi a}{2a}\right) \\ &= \mp 2\left(\frac{c}{m}\right)^{\frac{1}{2}} \sin\left(\frac{\pi}{2}\right) \quad \& \quad \sin\left(\frac{\pi}{2}\right) = 1\end{aligned}$$

$$\omega_m = 2 \left( \frac{V_0}{a} \right) = 2 \times \left( \frac{300}{3 \times 10^{-10}} \right) = 2 \times 10^{12} \text{ (S}^{-1}\text{)}$$

طريقة أخرى للحل

القيمة العظمى للت剌د الزاوي

بالنسبة للموجات ذات الاطوال الموجية الكبيرة (أي عندما تكون  $\lambda$  كبيرة) (عبارة أخرى عندما تكون  $K$  صغير) تنتقل ترددات هذه الموجات خلال الشبكة، بينما الترددات الأخرى سوف تتلاشى بسرعة وبذلك تعمل الشبكة عمل مرشح ميكانيكي للتخلص من الترددات الواطنة. وبما ان قيمة  $K$  صغيرة جدا فعليه يمكن اعتبار جيب الزاوية مساوياً للزاوية أي ان:

$$\sin\left(\frac{ka}{2}\right) = \left(\frac{ka}{2}\right)$$

$$\omega = \omega_m \left( \frac{ka}{2} \right) = \left( \frac{\omega_m a}{2} \right) k \quad \therefore \quad \omega = V_o k \quad \therefore \quad V_o = \frac{\omega_m a}{2}$$

$$\therefore \omega_m = \frac{2V_o}{a} \quad \omega_m = 2 \left( \frac{V_o}{a} \right) = 2 \times \left( \frac{300}{3 \times 10^{-10}} \right) = 2 \times 10^{12} \text{ (S}^{-1}\text{)}$$

س(5) لشبكة خطية ثنائية الذرات وللفرع الصوتي  $\omega$  ، اثبت ان علاقة التفريق عند  $K = \pm \frac{\pi}{2a}$  تصبح:

$$\omega_1 = (\omega_-)_{max} = \left(\frac{2c}{M}\right)^{\frac{1}{2}}$$

اعظم قيمة ممكنة للتردد الزاوي في الفرع الصوتي

الجواب:

علاقة التفريق لشبكة خطية ثنائية الذرات:

$$\omega_{\pm}^2(k) = C \left( \frac{1}{m} + \frac{1}{M} \right) \pm C \left[ \left( \frac{1}{m} + \frac{1}{M} \right)^2 - \frac{4\sin^2(Ka)}{mM} \right]^{\frac{1}{2}} \quad (10)$$

$$\omega_-^2(k) = C \left( \frac{1}{m} + \frac{1}{M} \right) - C \left[ \left( \frac{1}{m} + \frac{1}{M} \right)^2 - \frac{4\sin^2(Ka)}{mM} \right]^{\frac{1}{2}} \quad \text{للفرع الصوتي}$$

$$K = \pm \frac{\pi}{2a} \quad \text{عند}$$

$$\sin^2(Ka) = \sin^2 \left( \pm \frac{\pi}{2a} a \right) = \sin^2 \left( \pm \frac{\pi}{2} \right) = \pm 1$$

$$\omega_-^2(k) = C \left( \frac{1}{m} + \frac{1}{M} \right) - C \left[ \left( \frac{1}{m} + \frac{1}{M} \right)^2 - \frac{4}{mM} \right]^{\frac{1}{2}}$$

$$\omega_-^2(k) = C \left( \frac{M+m}{mM} \right) - C \left[ \left( \frac{1}{m} + \frac{1}{M} \right)^2 - \frac{4}{mM} \right]^{\frac{1}{2}}$$

$$\omega_-^2(k) = C \left( \frac{M+m}{mM} \right) - C \left( \frac{M-m}{mM} \right) \quad \therefore \quad \omega_1 = \omega_-^2(k) = \left( \frac{2c}{M} \right)^{\frac{1}{2}}$$

س(6) لشبكة خطية ثنائية الذرات وللفرع الصوتي  $\omega$  ، اثبت ان:  $\omega = 0$  عندما  $K = 0$

تمثل علاقه التفريق لشبكة خطية ثنائية الذرات

وللفرع الصوتي نستعمل ( $\omega_-$ )

$$\omega_-^2(k) = C \left( \frac{1}{m} + \frac{1}{M} \right) - C \left[ \left( \frac{1}{m} + \frac{1}{M} \right)^2 - 0 \right]^{\frac{1}{2}}$$

$$\omega_-^2(k) = C \left( \frac{1}{m} + \frac{1}{M} \right) - C \left( \frac{1}{m} + \frac{1}{M} \right) = 0$$

س7) لشبكة خطية ثنائية الذرات وللفرع البصري  $\omega_+$  ، اثبت ان علاقة التفريق تصبح:

$$\omega_3 = \omega_{+max} = \left[ 2C \left( \frac{1}{m} + \frac{1}{M} \right) \right]^{\frac{1}{2}}$$

عندما  $K = 0$

علاقة التفريق لشبكة خطية ثنائية الذرات:

$$\omega_{\pm}^2(k) = C \left( \frac{1}{m} + \frac{1}{M} \right) \pm C \left[ \left( \frac{1}{m} + \frac{1}{M} \right)^2 - \frac{4\sin^2(Ka)}{mM} \right]^{\frac{1}{2}}$$

$$\omega_+^2(k) = C \left( \frac{1}{m} + \frac{1}{M} \right) + C \left[ \left( \frac{1}{m} + \frac{1}{M} \right)^2 - \frac{4\sin^2(Ka)}{mM} \right]^{\frac{1}{2}} \quad \text{للفرع البصري}$$

$$\omega_+^2(k) = C \left( \frac{1}{m} + \frac{1}{M} \right) + C \left[ \left( \frac{1}{m} + \frac{1}{M} \right)^2 - 0 \right]^{\frac{1}{2}}$$

$$\omega_+^2(k) = C \left( \frac{1}{m} + \frac{1}{M} \right) + C \left( \frac{1}{m} + \frac{1}{M} \right)$$

$$\omega_+^2(k) = \left[ 2C \left( \frac{1}{m} + \frac{1}{M} \right) \right]$$

$$\omega_3 = \omega_+(k) = \left[ 2C \left( \frac{1}{m} + \frac{1}{M} \right) \right]^{\frac{1}{2}}$$

س8) لشبكة خطية ثنائية الذرات وللفرع البصري  $\omega_+$  ، اثبت ان علاقه التفريق تصبح:

$$K = \mp \frac{\pi}{2a} \quad \text{عندما} \quad \omega_2 = \omega_+ = \left( \frac{2c}{m} \right)^{\frac{1}{2}}$$

علاقة التفريق لشبكة خطية ثنائية الذرات:

$$\omega_{\pm}^2(k) = C \left( \frac{1}{m} + \frac{1}{M} \right) \pm C \left[ \left( \frac{1}{m} + \frac{1}{M} \right)^2 - \frac{4\sin^2(Ka)}{mM} \right]^{\frac{1}{2}}$$

$$\omega_+^2(k) = C \left( \frac{1}{m} + \frac{1}{M} \right) + C \left[ \left( \frac{1}{m} + \frac{1}{M} \right)^2 - \frac{4\sin^2(Ka)}{mM} \right]^{\frac{1}{2}} \quad \text{للفرع البصري}$$

$$K = \pm \frac{\pi}{2a} \quad \text{عدن} \quad \sin^2(Ka) = \sin^2 \left( \pm \frac{\pi}{2a} a \right) = \sin^2 \left( \pm \frac{\pi}{2} \right) = \pm 1$$

$$\omega_+^2(k) = C \left( \frac{1}{m} + \frac{1}{M} \right) + C \left[ \left( \frac{1}{m} + \frac{1}{M} \right)^2 - \frac{4}{mM} \right]^{\frac{1}{2}}$$

$$\omega_+^2(k) = C \left( \frac{M+m}{mM} \right) + C \left( \frac{M-m}{mM} \right) = \frac{2C}{m} \quad \omega_2 = \omega_+ = \left( \frac{2c}{m} \right)^{\frac{1}{2}} 1$$

H.W

## الفصل الرابع

### (الخواص الحرارية)

### Thermal Properties

يمكن تعريف السعة الحرارية  $C$ : بأنها كمية الحرارة (طاقة) المسببة لتغيير درجة حرارة مادة ما درجة مئوية (او مطلقة) وهي صفة لنظام معين.

$$C = \Delta Q / \Delta T$$

اما السعة الحرارية النوعية: هي النسبة بين السعة الحرارية للنظام الجامع لتلك المادة الى كتلة ذلك النظام (أو عدد المولات في النظام) ووحداتها  $J/mol.deg$  او  $J/kg.deg$  قبل ظهور الميكانيك الكمي، كان الاعتقاد السائد ان ذرات المادة تُجبر على التذبذب حول نقاط ثابتة بتأثير قوى كبير نسبيا تنتج من تفاعلها مع بقية الذرات المحاطة بها، ولذلك تتجز كل ذرة حرقة توافقية بسيطة ذات ثلاث درجات الحرية وكل درجة من درجات الحرية ( $K_B T$ ) من الطاقة (نصفها طاقة حرارية والنصف الآخر كامنة) ولهذا تكون الطاقة الاهتزازية الكلية للبلورة  $U$  التي تحتوي على  $N$  من الذرات هي:

$$U = 3N K_B T$$

$$K_B = 1.38 \times 10^{-23}$$

درجة الحرارة المطلقة

ويمكن حساب الحرارة النوعية  $c_v$  عند ثبوت الحجم ولمول واحد يحوي على عدد فوكادرو ( $\times 6.0225 \times 10^{23}$ ) من الذرات.

$$C_v = \left( \frac{\partial U}{\partial T} \right) = 3 N_A K_B$$

$$C_v = 3 \times 6.0225 \times 10^{23} \times 1.3805 \times 10^{-23}$$

$$C_v = 24.9422 J/mol.^oK$$

إن ثابت الغازات

$$R = 8.3142 J/mol.^oK$$

ولهذا ان الرقم اعلاه للحرارة النوعية  $C_v$  يكون مساوياً الى  $3R$

$$\therefore C_v = 3R$$

ينص قانون دلونك وبيتيت: على انه عند درجات حرارة غير منخفضة جداً تكون الحرارة النوعية المولية عند حجم ثابت لجميع المواد الصلبة النقيمة مقارباً جداً  $3R$ . وهذا ما وجد عملياً عند درجات الحرارة العالية.

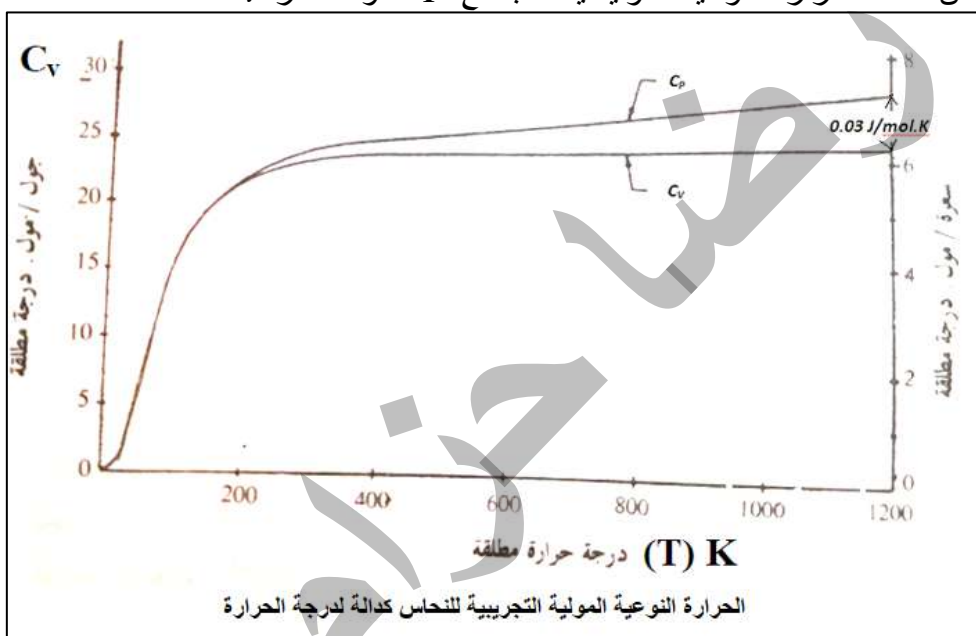
اما عند درجات الحرارة المنخفضة فان هذه الحجة لا تصح حيث تقترب الحرارة النوعية للمواد الصلبة بأنواعها كافة تقترب من الصفر عند اقتراب درجة حرارة هذه المواد من درجة الصفر المطلق  $0^oK$ . لذلك لم يستطع الميكانيك الكلاسيكي اعطاء جواب صحيح لهذه المشكلة لذا وجب التوجه الى الميكانيك الكمي.

توجد عادة أنواع مختلفة من الحرارة النوعية لمادة ما، ويقصد بذلك وجود عدد غير محدود من الحرارات النوعية لمادة تمثل عدد الطرق غير المحدودة لتغيير درجة الحرارة لتلك المادة حيث يمكن تغيير درجة الحرارة بثبوت الحجم او الضغط او كليهما. ولذلك يركز الاهتمام على الحرارة النوعية المولية عند حجم ثابت  $C_p$  والحرارة النوعية المولية عند ضغط ثابت

نماذج دراسة الحرارة النوعية هي

(المودج الكلاسيكي) و (نمودج اشتلين) و (نمودج ديباي)

- الشكل التالي يوضح تغير الحرارة النوعية المولية عند حجم ثابت  $C_v$  والحرارة النوعية المولية عند ضغط ثابت  $C_p$  مع تغير درجات الحرارة لمعدن النحاس عند ضغط قدره ضغط جوي واحد.
- عند درجات حرارة منخفضة تكون  $C_v$  و  $C_p$  متساوين تقريباً.
  - بالقرب من درجة الصفر المطلقة  $0^{\circ}\text{K}$  فإن  $C_v$  و  $C_p$  تتناقضان بسرعة حتى تبلغان قيمة الصفر.
  - عند درجات حرارة مرتفعة تستمر  $C_p$  بالزيادة بينما تكون  $C_v$  ثابتة تقريباً وتتساوي  $0.03 \text{ J/mol}^{\circ}\text{K}$ . وقد وجد ان قيمة  $C_v$  هذه هي أعظم قيمة يمكن ان تبلغها معظم المواد الصلبة عند درجات الحرارة العالية وتدعى عادة **قيمة دلونك وبيت**  $3R$ . علمًاً ان الفرق بينها يكون صغيراً جداً للمواد الصلبة حوالي  $0.03 \text{ J/mol}^{\circ}\text{K}$ .
  - ان هذا السلوك هو صفة مميزة لمعظم المواد الصلبة على الرغم من تباينها الكبير في درجة الحرارة التي عندها يحدث الانخفاض الحاد للحرارة النوعية وكذلك أسلوب هذا الانخفاض حيث:
    - ✓ الانخفاض الحاد للحرارة النوعية المولية يتاسب مع  $T$  للمواد المعدنية.
    - ✓ الانخفاض الحاد للحرارة النوعية المولية يتاسب مع  $T^3$  للمواد العازلة.



س) لأغراض القياسات الفعلية يكون تعين الحرارة النوعية عند ضغط ثابت اكثراً ملائمة من الحرارة النوعية عند حجم ثابت. علل ذلك؟

**الجواب:**

- لانه عند درجات حرارة منخفضة تكون  $C_v$  و  $C_p$  متساوين تقريباً.
- وعند درجات حرارة مرتفعة تستمر  $C_p$  بالزيادة بينما تكون  $C_v$  ثابتة تقريباً وتتساوي  $0.03 \text{ J/mol}^{\circ}\text{K}$ .
- لذلك فان تعين الحرارة النوعية عند ضغط ثابت اكثراً ملائمة لأغراض القياسات الفعلية. وهي التي تستخدم للتمييز بين معظم المواد الصلبة

س) الفرق بين  $C_p$  و  $C_v$  عند درجات حرارة مرتفعة يكون صغيراً جداً للمواد الصلبة حوالي  $0.03 \text{ J/mol}^{\circ}\text{K}$ . ما السبب في نشوء هذا الفرق بين  $C_v$  و  $C_p$ ؟

**الجواب:**

الفرق ناشئ من الشغل المنجز في اثناء التمدد الحراري، لذلك يمكن اهماله في كثير من الحالات واعتبار  $C_p$  متساوية تقريباً الى  $C_v$

## النموذج الكلاسيكي: يفترض أن

- 1) ذرات المادة الصلبة تزاح عن موقع اتزانها تحت تأثير قوة معنوية خطية (حسب قانون هوك). وتتنبئ حول تلك المواقع بحركة توافقية بسيطة.
- 2) أنماط الاهتزاز الطبيعية للشبكة تكون مستقلة بعضها عن البعض عندما تخضع تلك الاهتزازات لقانون هوك ولذلك لا تعتمد طاقة أي اهتزاز شبكة على تردد الزاوي  $\omega$  وقيمة  $n$  التي يحتلها او يمتلكها الفونون *phonon occupancy* ولا تعتمد على القيم التي تمتلكها الفونونات الأخرى.
- 3) عند ارتفاع درجة حرارة المادة تزداد السعة ومن ثم الطاقة للحركة التذبذبية. حيث ان ( $K_B T$ ) القيمة المتوقعة للطاقة الكلية لمتنبب توافق واحد وتعني ان معدل الطاقة، المرافقة لاحدي الاحاديث كالسرعة او الازاحة، وكل ذرة في مجموعة من الذرات المتوازنة ثرموديناميكياً عند درجة حرارة  $T$  مساوية ( $K_B T$ ) وبما ان هنالك ثلاثة درجات للحرارة. والمادة تتكون من  $N$  من الذرات.

$$\therefore U = 3 K_B T N \quad \text{وفي حالة مول واحدة} \leftarrow N_A = N$$

$$C_V = \left( \frac{\partial U}{\partial T} \right) = 3 N_A K_B$$

الخلاصة العامة للنموذج:

1. الطاقة  $U$  والحرارة النوعية  $C_V$  لا تعتمد على التردد الزاوي (يعني التردد كمية ثابتة وليس متغير).
2. يصح هذا النموذج من درجة حرارة الغرفة ( $27^\circ$ ) مئوية فما فوق.
3. فشلت النظرية في تقسيم تناقص قيمة الحرارة النوعية بانخفاض درجة الحرارة.

## نموذج أنشتاين للحرارة النوعية:

افتراض أنشتاين:

- ان الذرات في الشبكة تهتز بصورة مستقلة بعضها عن بعض وبترددات زاوية متساوية بسبب تشابه الذرات المحيطة لها.
- ان البلورة تضم  $3N$  من المتنبذبات التوافقية كل منها ذات تردد زاوي  $\omega$ .
- وهي نفس فرضيات النظرية الكلاسيكية ولكن أنشتاين اختلف مع النظرية الكلاسيكية وادخل شيء جديد وهو حساب معدل الطاقة للمتنبب التوافيقي (استقاد من نظرية بلانك الخاصة بإشعاع الجسم الأسود). التي تنص (نظرية بلانك) على ان المتنبب التوافيقي لا يمكن ان تمتلك طيفاً مستمراً للطاقة بل هنالك شروط تقييدية يجب ان تتحقق وهي ان الطاقة تكون مكممة وتتساوي عدداً صحيحاً مضروباً في  $h\nu$  ولهذا تكون الطاقة للمتنبب التوافيقي. حيث  $\nu = \text{نيو} (Nu)$  يمثل التردد

$$E_n = nh\nu = n\hbar\omega \dots \dots \dots \quad 1$$

$$\hbar = \frac{h}{2\pi} = 1.054 \times 10^{-34} \quad J.Sec$$

$$n = 0, 1, 2, \dots \dots$$

علمأً ان الميكانيك الكمي الحديث ظهر بعد 25 سنة من ظهور نظرية بلانك وحسب الميكانيك الكمي تكون تكون الطاقة للمتنبب التوافيقي:

$$E_n = \left( n + \frac{1}{2} \right) \hbar\omega = n\hbar\omega + \frac{1}{2} \hbar\omega$$

طاقة نقطة الصفر هي الطاقة الملازمة للذرة المهتزة حتى عندما تصل درجة الحرارة الى الصفر المطلق.

## مقارنة بين الميكانيك الكلاسيكي والميكانيك الكمي:

1. في الميكانيك الكمي توجد قيمة غير صفرية (صغرى) لطاقة الصفر عند درجة حرارة الصفر المطلق وغيرها من درجات الحرارة. بينما يسمح الميكانيك الكلاسيكي للذرة بالبقاء ساكنة وبطاقة تساوي صفرًا عند درجة حرارة الصفر المطلق.
  2. في الميكانيك الكمي توجد قيم محددة ومقيدة لمستويات طاقة اهتزاز الذرة بينما يسمح الميكانيك الكلاسيكي للذرة لأن تمتلك أية قيمة للطاقة.
  3. الميكانيك الكلاسيكي يتبع بأحتمالية ثابتة عن وجود الذرة في موقع معين حيث تتناسب تلك الاحتمالية عكسياً مع سرعة الذرة في ذلك الموقع. بينما لا يتبع الميكانيك الكمي بأحتمالية ثابتة بل بأحتمالية متذبذبة.
- الطاقة حسب نموذج انشتاين هي:

$$U = 3N \langle E \rangle$$

$$\langle E \rangle = \frac{\hbar\omega}{e^{(\hbar\omega / K_B T)} - 1}$$

$$U = \frac{3N\hbar\omega}{e^{(\hbar\omega / K_B T)} - 1} \quad \& \quad C_V = \left( \frac{\partial U}{\partial T} \right)_V$$

$$F_E(\omega_E, T) = \left( \frac{\hbar\omega_E}{K_B T} \right)^2 \frac{e^{\hbar\omega_E / K_B T}}{[e^{\hbar\omega_E / K_B T} - 1]^2} \quad \text{تسمى دالة انشتاين}$$

$$T_E = \frac{\hbar\omega_E}{K_B} = \theta_E \quad \text{درجة حرارة انشتاين}$$

$$F_E(\omega_E, T) = \left( \frac{T_E}{T} \right)^2 \frac{e^{T_E / T}}{[e^{T_E / T} - 1]^2} \quad \text{دالة انشتاين}$$

$$C_V = 3R F_E(\omega_E, T)$$

س) أثبت أنه عند درجات الحرارة العالية يقترب نموذج انشتاين من النموذج الكلاسيكي؟

الجواب:

عند درجات الحرارة العالية، أي عند  $T$  أعلى من بكثير من درجة حرارة اينشتاين ( $T_E$  أو  $\theta_E$ ) أي ان  $(T \gg T_E)$  فعليه تكون قيمة  $\frac{T_E}{T}$  صغيرة جدا. وعليه فإن :

$$e^{T_E / T} = 1 + \frac{T_E}{T}$$

نعرضها في دالة اينشتاين فنحصل على

$$F_E(\omega_E, T) = \left( \frac{T_E}{T} \right)^2 \frac{e^{T_E / T}}{[e^{T_E / T} - 1]^2} = \left( \frac{T_E}{T} \right)^2 \frac{1 + \frac{T_E}{T}}{\left[ 1 + \frac{T_E}{T} - 1 \right]^2}$$

$$= \left( \frac{T_E}{T} \right)^2 \frac{1 + \frac{T_E}{T}}{\left[ \frac{T_E}{T} \right]^2} = 1 + \frac{T_E}{T}$$

صغيرة جدا

$$\therefore F_E(\omega_E, T) = 1$$

$$\therefore C_V = 3R$$

س) عند درجات الحرارة الواطئة ثبت ان الحرارة النوعية حسب نموذج اينشتاين سيكون

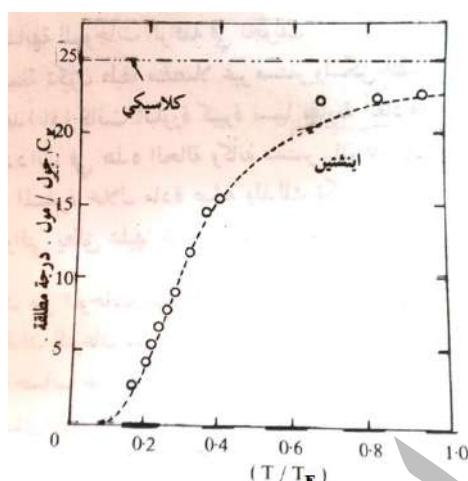
$$\therefore C_V = 3R \left(\frac{T_E}{T}\right)^2 e^{-T_E/T}$$

الجواب: عند درجات الحرارة الواطئة، أي عند  $T$  اقل بكثير من درجة حرارة اينشتاين ( $T_E$ ) او ( $\theta_E$ ) ستكون ( $T \ll T_E$ ) فعليه ستصبح دالة اينشتاين ستكون:

$$F_E(\omega_E, T) = \left(\frac{T_E}{T}\right)^2 \frac{e^{T_E/T}}{\left[e^{T_E/T} - 1\right]^2} = \left(\frac{T_E}{T}\right)^2 \frac{e^{T_E/T}}{\left[e^{T_E/T}\right]^2} = \left(\frac{T_E}{T}\right)^2 e^{-T_E/T}$$

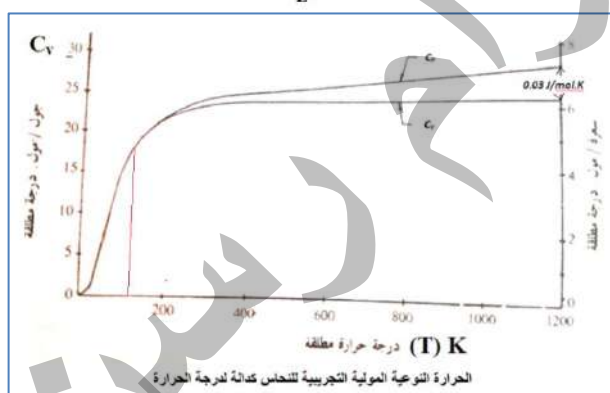
$$C_V = 3R F_E(\omega_E, T)$$

$$C_V = 3R \left(\frac{T_E}{T}\right)^2 e^{-T_E/T}$$



حيث  $T_E$  درجة حرارة اينشتاين المميزة والمعادلة

(2) تمثل الحرارة النوعية حسب نظرية اينشتاين.  
ينحرف المنحني بموجب نموذج اينشتاين ويبدا  
بالانخفاض كلما انخفضت درجة الحرارة باتجاه الصفر  
تناقصاً اسياً حيث ان الحرارة النوعية تتناسب مع  $e^{-T_E/T}$   
وقد وجد ان الكثير من المواد تتناسب مع  $T^3$  عند الدرجات  
الحرارة المنخفضة كما تنبأ بذلك نموذج ديباي.



س1: د. مؤيد ص 325 من الشكل (1-5) احسب درجة حرارة اينشتاين المميزة  $T_E$  للنحاس بحيث تتوافق معادلة اينشتاين للحرارة النوعية مع القيمة التجريبية عند درجة حرارة  $100K$ .

الجواب:

من الشكل (1-5) وبعد وضع المسطرة ورسم مستقيم من درجة  $100K$  الى الاعلى ليقطع

المنحني ثم نأخذ القيمة المناظرة لها على منحني  $c_v$  نجد ان القيمة تساوي  $19$  ( $J/mol.K$ ) وبعد التعويض بمعادلة السعة الحرارية لأينشتاين:

$$c_v = 3R \left(\frac{T_E}{T}\right)^2 e^{-T_E/T}$$

$$19 = 25 \left(\frac{T_E}{100}\right)^2 e^{-T_E/100}$$

$$\frac{19}{24.9422} = \frac{T_E^2}{10^4} e^{-T_E/100}$$

$$\frac{19 \times 10^4}{24.9422} = T_E^2 e^{-T_E/100} = 7.618 \times 10^3$$

وبعد أخذ لوغارتم لطرفين في المعادلة سوف نجد قيمة  $T_E$

$$-115.79292501997552413i$$

$$177.13746222539723269$$

$$T_E = 177.137 \text{ K}$$

## نموذج ديباي للحرارة النوعية:

افتراض ديباي كما افترض أينشتاين قبله ان البلورة تحوي  $N$  من الذرات تمتلك  $3N$  من انماط الاهتزاز وكل نمط له معدل طاقة ولكن ديباي اضاف ما يلي:

1. التعامل مع حركة الشبكة كلياً وكأنها (متذبذبات مترادفة) تتذبذب جماعياً بدلاً من اعتبارها مستقلة بعضها عن البعض وتفاعل الذرات بعضها مع البعض كما افترضها نموذج أينشتاين.

2. اذا كان الطول الموجي لموجة مرنة تنتشر خلال بلورة اكبر من المسافات الذرية لذلک البلورة أمكن

اعتبار البلورة وسطاً مستمراً لذا يمكن استخدام مواصفات الوسط المستمر حيث  $(V_0 = \frac{\omega}{k})$

كمية ثابتة وتساوي  $V_0$  سرعة الصوت حيث تعتمد على متوجه الموجة  $K$  وليس كمية ثابتة.

3. ان طيف الاهتزاز للتعدد الزاوي ينقطع عند قيمة معينة للتعدد الزاوي لكي يستجيب مع العدد الكلي لأنماط الاهتزاز  $3N$ .

ان اقصى تردد زاوي يحدث عنده انقطاع الطيف يسمى **تردد ديباي  $\omega_D$**  ويطلق عليه تردد القطع،  
ويسمى متوجه الموجة المقابل لهذا التردد **متوجه موجة ديباي  $K_D$** .  
ويعبر عن الطاقة الكلية:

$$U = \frac{9N}{\omega_D^3} \int_0^{\omega_D} \frac{\hbar\omega^3 d\omega}{e^{\hbar\omega/K_B T} - 1}$$

للتبسيط سندخل درجة حرارة ديباي المميزة  $\theta_D$  والتي تكون عندها معدل الطاقة الحرارية الكلية للمتذبذب تساوي كمية ثابتة مقدارها  $\hbar\omega_D$  أي ان:

$$K_B \theta_D = \hbar\omega_D,$$

$$\left[ \omega_D = \frac{K_B \theta_D}{\hbar} \dots \dots \dots \right] \text{تردد ديباي}$$

$$\left[ \theta_D = \frac{\hbar\omega_D}{K_B} \dots \dots \dots \right] \text{درجة حرارة ديباي}$$

$$\left( x = \frac{\hbar\omega}{K_B T} \right) \quad \left( \omega = \frac{K_B T}{\hbar} x \right) \quad \left( d\omega = \frac{K_B T}{\hbar} dx \right) \quad \left( x_m = \omega_D = \frac{\theta_D}{T} \right)$$

$$U = \frac{9N K_B T^4}{\theta_D^3} \int_0^{x_m} \frac{x^3}{e^x - 1} dx$$

$$U = 9N K_B T \left( \frac{T}{\theta_D} \right)^3 \int_0^{x_m} \frac{x^3}{e^x - 1} dx = 9RT \left( \frac{T}{\theta_D} \right)^3 \int_0^{x_m} \frac{x^3}{e^x - 1} dx$$

$$U = 9RT \left( \frac{T}{\theta_D} \right)^3 f \left( \frac{\theta_D}{T} \right)$$

حيث  $f \left( \frac{\theta_D}{T} \right)$  تعرف بـ **دالة ديباي**

س) أثبت أنه عند درجات الحرارة العالية ان نموذج ديباي يقترب من النموذج الكلاسيكي؟  
 الجواب: عند درجات الحرارة العالية، أي عند  $T$  أعلى من بكثير من درجة حرارة ديباي ( $\theta_D$ ) أي ان  $T \gg \theta_D$  فعليه تكون قيمة  $x$  صغيرة جداً. وعليه فإن :

$$e^x = 1 + x + \frac{x^2}{2} + \dots \quad \text{مع اهمال الأسس العالية} \quad x = \frac{\hbar\omega}{K_B T}$$

$$U = \frac{9N K_B T^4}{\theta_D^3} \int_0^{x_m} \frac{x^3}{e^x - 1} dx = \frac{9N K_B T^4}{\theta_D^3} \int_0^{x_m} \frac{x^3}{1 + x - 1} dx$$

$$= \frac{9N K_B T^4}{\theta_D^3} \int_0^{x_m} x^2 dx = \frac{9N K_B T^4}{\theta_D^3} \frac{x_m^3}{3} \quad x_m = \omega_D = \frac{\theta_D}{T}$$

$$U = \frac{3N K_B T^4}{\theta_D^3} x_m^3 = \frac{3N K_B T^4}{\theta_D^3} \frac{\theta_D^3}{T^3} = 3N K_B T$$

$$C_V = \left( \frac{\partial U}{\partial T} \right)_V$$

$$C_V = 3N K_B = 3R$$

وهذه النتيجة مطابقة تماماً لنتيجة الحرارة النوعية في النظرية الكلاسيكية  
 س) عند درجات الحرارة الواطئة أثبت أن الحرارة النوعية حسب نموذج ديباي سيكون

$$C_V = \frac{12}{5} \pi^4 R \left( \frac{T}{\theta_D} \right)^3 = 1944 \left( \frac{T}{\theta_D} \right)^3 \frac{J}{mol \cdot K}$$

الجواب: عند درجات الحرارة الواطئة، أي عند  $T$  أقل بكثير من درجة حرارة ديباي ( $\theta_D$ ) ستكون  $T \ll \theta_D$  فعليه يمكن تبسيط الحد  $\int_0^{x_m} \frac{x^3}{e^x - 1} dx$  بالاستعانة بدالة زيتا

$$U = \frac{9N K_B T^4}{\theta_D^3} \int_0^{x_m} \frac{x^3}{e^x - 1} dx$$

$$\lim_{x \rightarrow \infty} \int_0^{x_m} \frac{x^3 dx}{e^x - 1} = \frac{\pi^4}{15} \quad (\text{Riemann Zeta function})$$

$$U = \frac{9N K_B T^4 \pi^4}{\theta_D^3 15}$$

$$C_V = \left( \frac{\partial U}{\partial T} \right)_V = \frac{12N K_B T^3 \pi^4}{\theta_D^3 5} = \frac{12 R T^3 \pi^4}{5 \theta_D^3}$$

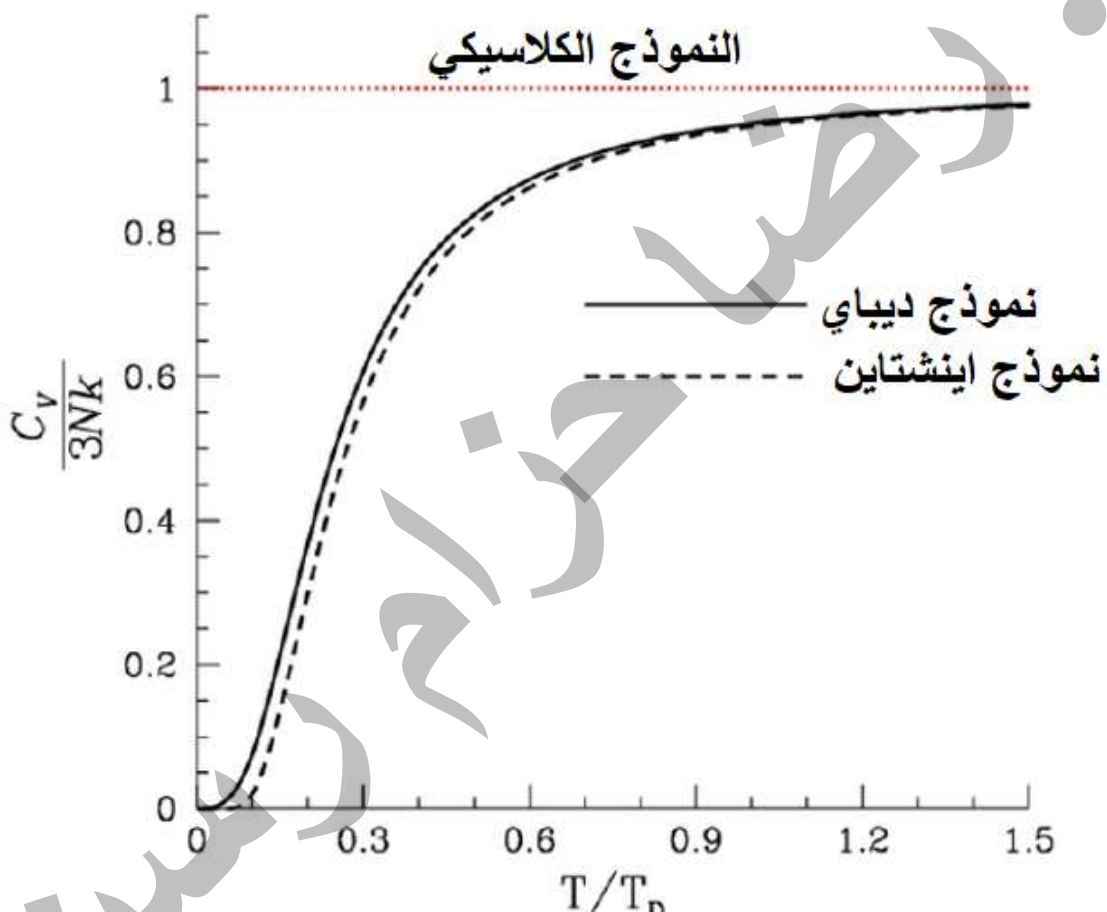
$$C_V = \frac{12}{5} \pi^4 R \left( \frac{T}{\theta_D} \right)^3 = 1944 \left( \frac{T}{\theta_D} \right)^3 \frac{J}{mol \cdot K}$$

قانون ديباي

ان نموذج ديباي يتفق بصورة جيدة مع النتائج التجريبية في درجات الحرارة الواطنة ( $\frac{\theta_D}{12} < T$ ) وكذلك في درجات الحرارة العالية ( $\theta_D > T$ ). ولكنه لا يتفق بصورة جيدة مع النتائج التجريبية في درجات الحرارة المتوسطة (درجات الحرارة المعتدلة).

ان من أخطاء نظرية ديباي انه افترض وجود نوع واحد من اختران الطاقة داخل المادة وعلى شكل طاقة حركة تنبذبية للذرات المكونة لها. ولكن تحدث حالات شاذة وانحراف عن صحة النظرية عند ادخال الطرق الأخرى الممكنة التي تخزن بواسطتها الطاقة مثلًا:

- 1- يمكن ان يكون لجزيئات المادة درجة حرية دورانية
- 2- يمكن ان تخزن في حركة الالكترونات.
- 3- تتغير الطاقة عند حدوث تحول داخل المادة أي تحول الطور في المادة.



## التوسيط الحراري **Thermal Conductivity**

إن التوسيط الحراري في المواد الصلبة هي ظاهرة انتقال الفوتونات والالكترونات الحرية اللذين يمتلكا معدل طاقة أعلى في منطقة معينة إلى منطقة أخرى ذات طاقة أقل.

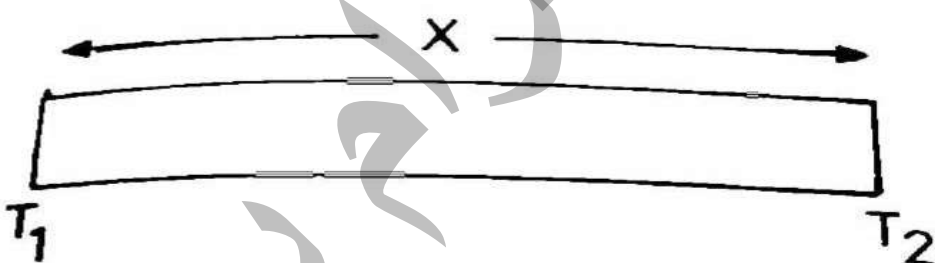
- في المواد الصلبة الفلزية الخالية نسبياً من العيوب تنتقل الحرارة بواسطة كل من الفوتونات والالكترونات الحرية. في المواد شبه الموصلة والمواد الفلزية تعد الالكترونات المساهم الأكبر في عملية التوسيط الحراري.

- في المواد شبه الموصلة التي تحتوي في بنيتها على عيوب وعلى نسبة عالية من الشوائب فإنه يتم بواسطة الفوتونات والالكترونات. وتقوم الفوتونات بالدور الأساس في عملية التوسيط الحراري في هذه المواد.

- في المواد الصلبة العازلة فيتم التوسيط الحراري بواسطة الفوتونات حيث تعد الناقل الوحيد للطاقة الحرارية.

- عند درجات الحرارة العالية تلعب الفوتونات دور الرئيسي في عملية التوسيط الحراري لجميع أنواع المواد الصلبة.

لذلك سوف نركز في هذا البند على عملية التوسيط الحراري بواسطة الفوتونات فقط. لغرض حساب قيمة التيار الفونوني ( $\omega$ ) ، افترض قصبياً بلوريأً طوله  $X$  وقيمة درجة حرارة نهايته تساوي  $T_1$  و  $T_2$  حيث تكون  $T_1 > T_2$  وكما هو مبين في الشكل



رسم توضيحي للتوصيل الحراري

وكما هو معلوم ان الحرارة سوف تسرى باتجاه الانحدار الحراري ، أي من النهاية ذات الدرجة الحرارة العالية إلى النهاية ذات الدرجة الحرارة الواطئة ، وأن قيمة التيار الفونوني المار في أية نقطة من نقاط القصبي البلاوري وفي أية لحظة تكون كمية ثابتة ، فعليه

$$\frac{dQ}{dt} \propto \alpha \frac{dT}{dX} \quad \frac{dQ}{dt} = -K_l \frac{dT}{dX}$$

حيث ان  $K_l$  تمثل معامل التوصيل الحراري. إن الاشارة السالبة تعني أن اتجاه تدفق التيار الحراري يكون باتجاه معاكس لاتجاه تدرج درجة الحرارة.

إن الطاقة الحرارية تنتشر خلال البلورة بمسارات مختلفة حيث تتغير تلك المسارات من موقع إلى آخر وعليه يمكن القول أن انتقال الحرارة داخل البلورة بطريقة عشوائية. ولهذا السبب تعتمد الطاقة المتنقلة على الانحدار الحراري أي على الفرق بين درجات حرارة نهايتي البلورة وطولها وليس فقط على الفرق بين درجات حرارة نهايتي البلورة.

فبعد مناقشة عملية التوصيل الحراري بواسطة الفونونات فمن الملائم أن نتصور أن الفونونات عبارة عن جزيئات غاز وأن عملية التوصيل الحراري تم في غاز فونوني **phonon gas**

عند تطبيق المفاهيم الفيزياوية المعروفة للنظرية الحركية للغازات على الغاز الفونوني فسوف نحصل على نفس خاصية التوصيل الحراري للغازات وهي :

$$K_1 = \frac{1}{3} C_v V \cdot \lambda$$

حيث أن  $C_v$  الحرارة النوعية لكل وحدة حجم للفونونات عند حجم ثابت.  
 ٧ سرعة الفونونات (سرعة الصوت).  
 λ متوسط معدل المسار الحر للفونون.

يعرف معدل المسار الحر للفونون على أنه معدل المسافة التي يقطعها الفونون بين تصادمين متعاقبين. وعليه فإن قيمة λ أذن تحدد من قبل عمليات التصادم الفونونية التي يمكن أن تحدث داخل المادة الصلبة.

وإن من أهم عمليات التصادم هي:

- 1 \_ تصادم فونون مع فونون آخر
- 2 \_ تصادم فونون مع العيوب البلورية
- 3 \_ تصادم الفونون مع الحدود الخارجية للبلورة.

ان لكل عملية من العمليات الثلاثة معدل مسار حر خاص بها. أما معدل المسارات الحرة الكلية (λ) للبلورة ف تكون :

$$\frac{1}{\lambda} = \frac{1}{\lambda_1} + \frac{1}{\lambda_2} + \frac{1}{\lambda_3} + \dots \dots \dots \quad \dots (7.82)$$

حيث أن λ<sub>1</sub> معدل المسار الحر في العملية الاول  
 λ<sub>2</sub> معدل المسار الحر في العملية الثانية  
 λ<sub>3</sub> معدل المسار الحر في العملية الثالثة

### أسئلة وسائل من كتاب د. يحيى الجمال & كتاب د. مؤيد جبرائيل

#### س1) أي من العبارات التالية صحيحة؟

- في المواد الصلبة الفلزية الخالية نسبياً من العيوب تنتقل الحرارة بواسطة كل من الفونونات والالكترونات الحرية. في المواد شبه الموصلة والمواد الفلزية تعد الالكترونات المساهم الأكبر في عملية التوصيل الحراري.
- في المواد شبه الموصلة التي تحتوي في بنيتها على عيوب وعلى نسبة عالية من الشوائب فإنه يتم بواسطة الفونونات والالكترونات. وتقوم الفونونات بالدور الأساس في عملية التوصيل الحراري في هذه المواد.
- في المواد الصلبة العازلة فيتم التوصيل الحراري بواسطة الفونونات حيث تعد الناقل الوحيد للطاقة الحرارية.
- عند درجات الحرارة العالية تلعب الفوتونات الدور الرئيسي في عملية التوصيل الحراري لجميع أنواع المواد الصلبة.
- جميع العبارات السابقة صحيحة. ✓

#### س2) أي من العبارات التالية خاطئة؟

- يُعد تصادم فونون مع فونون آخر أحد عمليات التصادم الفونونية التي يمكن أن تحدث داخل المادة الصلبة.
- يُعد تصادم تصادم فونون مع العيوب البلورية أحد عمليات التصادم الفونونية التي يمكن أن تحدث داخل المادة الصلبة.
- يُعد تصادم تصادم الفونون مع الحدود الخارجية للبلورة أحد عمليات التصادم الفونونية التي يمكن أن تحدث داخل المادة الصلبة.
- يُعد تصادم تصادم الفونون مع أنوية الايونات الموجبة والسلبية أحد عمليات التصادم الفونونية التي يمكن أن تحدث داخل المادة الصلبة. ✓

س(3) (الجمل س1 & جبرائيل س2) اذا كانت قيمة  $C_v$  التجريبية عند درجة حرارة K 207 لبلورة ماس تساوي  $2.68 \text{ J/mol.K}$ .

- (1) احسب قيمة  $C_v$  باستعمال نظرية اينشتاين.
- (2) احسب قيمة  $C_v$  باستعمال نظرية ديباي.

(3) قارن النتائج مع القيمة التجريبية اذا علمت ان درجة حرارة اينشتاين المميزة هي K 1320 ودرجة حرارة ديباي المميزة هي 1860 K.

$$C_v = 2.68 \frac{\text{J}}{\text{mol} \cdot \text{K}} \quad \text{(التجريبية)} \quad \text{عند } T = 207 \text{ K}$$

$$T_E = 1320 \text{ K} \quad \theta_D = 1860 \text{ K}$$

باستعمال نظرية اينشتاين 1)

عند درجات الحرارة الواطئة، أي عند  $T$  اقل بكثير من درجة حرارة اينشتاين ( $T_E$  او  $\theta_D$ ) ستكون قيمة  $C_v$  باستعمال نظرية اينشتاين  $(T \ll T_E)$

$$C_v = 3R \left(\frac{T_E}{T}\right)^2 e^{-T_E/T}$$

$$T = 207 \text{ K} \quad T_E = 1320 \text{ K}$$

$$\therefore (T \ll T_E)$$

$$C_v = 3R \left(\frac{T_E}{T}\right)^2 e^{-T_E/T}$$

$$R = 8.3142 \text{ J/mol.K}$$

$$C_v = 3(8.3142 \text{ J/mol.K}) \left(\frac{1320 \text{ K}}{207 \text{ K}}\right)^2 e^{-\left(\frac{1320 \text{ K}}{207 \text{ K}}\right)}$$

$$C_v = 1.7247 = 1.725 = 1.73 \text{ J/mol.K}$$

باستعمال نظرية ديباي 2)

عند درجات الحرارة الواطئة، أي عند  $T$  اقل بكثير من درجة حرارة ديباي ( $\theta_D$ ) ستكون قيمة  $C_v$  باستعمال نظرية ديباي  $(T \ll \theta_D)$

$$C_v = 1944 \left(\frac{T}{\theta_D}\right)^3 \frac{\text{J}}{\text{mol.K}}$$

$$T = 207 \text{ K} \quad \theta_D = 1860 \text{ K}$$

$$\therefore T \ll \theta_D$$

$$C_v = 1944 \left(\frac{207 \text{ K}}{1860 \text{ K}}\right)^3 \frac{\text{J}}{\text{mol.K}}$$

$$C_v = 1944 \left(\frac{T}{\theta_D}\right)^3 \frac{\text{J}}{\text{mol.K}} = 2.67959 = 2.68 \frac{\text{J}}{\text{mol.K}}$$

س4) احسب قيمة  $C_V$  باستخدام معادلة اينشتاين عند درجة حرارة  $C = 50^\circ$ . إذا كانت درجة حرارة اينشتاين المميزة هي  $1340 K$ .

باستعمال نظرية اينشتاين

عند درجات الحرارة الواطئة، أي عند  $T$  أقل بكثير من درجة حرارة اينشتاين ( $\theta_E$  أو  $T_E$ ) ستكون قيمة  $C_V$  باستعمال نظرية اينشتاين  $(T \ll T_E)$

$$C_V = 3R \left(\frac{T_E}{T}\right)^2 e^{-T_E/T}$$

$$T = -50^\circ C = -50 + 273 = 223 K \quad T_E = 1340 K \quad \therefore (T \ll T_E)$$

$$C_V = 3R \left(\frac{T_E}{T}\right)^2 e^{-T_E/T}$$

$$R = 8.3142 J/mol.^oK$$

$$C_V = 3(8.3142) \left(\frac{1340}{223}\right)^2 e^{-1340/223} = 2.21248 = 2.21 J/mol.^oK$$

س5/ احسب درجة حرارة ديباي لبلورة الجermanium عند درجة حرارة  $K = 200$  إذا كانت السعة الحرارية له  $317.2 J/mol.K$

باستعمال نظرية ديباي

عند درجات الحرارة الواطئة، أي عند  $T$  أقل بكثير من درجة حرارة ديباي ( $\theta_D$ ) ستكون قيمة  $C_V$  باستعمال نظرية ديباي  $(T \ll \theta_D)$

$$C_V = 1944 \left(\frac{T}{\theta_D}\right)^3 \frac{J}{mol.K}$$

$$T = 200 K \quad \theta_D = ? \quad \therefore T \ll \theta_D \quad C_V = 317.2 \frac{J}{mol.K}$$

$$C_V = 1944 \left(\frac{207 K}{1860 K}\right)^3 \frac{J}{mol.K}$$

$$317.2 \frac{J}{mol.K} = 1944 \left(\frac{200}{\theta_D}\right)^3 \frac{J}{mol.K}$$

$$317.2 = 1944 \left(\frac{200}{\theta_D}\right)^3 \quad \sqrt[3]{317.2} = \sqrt[3]{1944} \left(\frac{200}{\theta_D}\right)$$

$$\theta_D = \sqrt[3]{1944} \left(\frac{200}{\sqrt[3]{317.2}}\right) = 366.0027 K$$

س 6 / احسب درجة حرارة ديباي لبلورة النحاس عند درجة حرارة K 180 إذا كانت السعة الحرارية . 243 J/mol.K له

$$C_V = 1944 \left( \frac{T}{\theta_D} \right)^3 \frac{J}{mol \cdot K}$$

$$243 = 1944 \left( \frac{180}{\theta_D} \right)^3 \quad \sqrt[3]{243} = \sqrt[3]{1944} \left( \frac{180}{\theta_D} \right)$$

$$\theta_D = \sqrt[3]{1944} \left( \frac{180}{\sqrt[3]{243}} \right) = 359.999 K$$

س 7) احسب تردد ديباي عند درجة حرارة 300K

$$\theta_D = \frac{\hbar \omega_D}{k_B}$$

حفظ

$$\omega_D = \frac{\theta_D k_B}{\hbar}$$

$$\omega_D = \frac{300 * 1.38 * 10^{-23}}{1.05 * 10^{-34}} = (3.94 * 10^{13}) \left( \frac{rad}{sec} \right)$$

س 8) إذا كانت الحرارة النوعية التجريبية لمعدن الألمنيوم تساوي 0.28 J/mol.K عند درجة حرارة k 19.2 . احسب درجة حرارة ديباي المميزة للألمنيوم؟

الحل قيمة  $C_V$  باستعمال نظرية ديباي

$$C_V = 1944 \left( \frac{T}{\theta_D} \right)^3 \frac{J}{mol \cdot K}$$

$$T = 19.2 K \quad \theta_D = ? K$$

$$C_V = 0.28 J/mol.K$$

$$0.28 = 1944 \left( \frac{19.2}{\theta_D} \right)^3$$

$$\sqrt[3]{0.28} = \sqrt[3]{1944} \left( \frac{19.2}{\theta_D} \right)$$

$$\theta_D = \sqrt[3]{1944} \left( \frac{19.2}{\sqrt[3]{0.28}} \right) = 366 K$$

- س(9) اذا كانت سرعة الصوت  $V_0$  تساوي  $5 \times 10^3 \text{ m/s}$  وان عدد الذرات لوحدة حجم  $\left(\frac{N}{V}\right)$  يساوي  $(10^{29})$  ذرة لكل متر مكعب. احسب
- (1) تردد ديباي  $\omega_D$  (أقصى قيمة للتردد الزاوي) (تردد القطع)
  - (2) متوجه موجة ديباي  $k_D$  (متوجه الانقطاع)
  - (3) درجة حرارة ديباي المميزة  $\theta_D$
- الحل:

$$1) \omega_D = V_o \left( \frac{6\pi^2 N}{V} \right)^{\frac{1}{3}} \quad \text{حفظ}$$

$$\omega_D = V_o (6\pi^2)^{\frac{1}{3}} \left( \frac{N}{V} \right)^{\frac{1}{3}}$$

$$\omega_D = (5 * 10^3) (6\pi^2)^{\frac{1}{3}} (10^{29})^{\frac{1}{3}} \cong 91 * 10^{12} \left( \frac{1}{\text{s}} \right)$$

$$2) k_D = \frac{\omega_D}{V_o} \quad \text{حفظ}$$

$$k_D = \frac{91 * 10^{12}}{5 * 10^3} = 18 * 10^9 \left( \frac{1}{\text{m}} \right)$$

$$3) \theta_D = \frac{\hbar \omega_D}{k_B} \quad \text{حفظ}$$

$$\theta_D = \frac{(1.05 * 10^{-34})(J.S) (91 * 10^{12}) \left( \frac{1}{\text{s}} \right)}{(1.38 * 10^{-23}) \left( \frac{J}{K} \right)} = 692.4 \text{ K}$$

## الفصل الخامس: الإلكترونات الحرية

**النظرية الكلاسيكية للإلكترونات الحرية**

نظريّة درود

نموذج لورنتز

**فشل النظرية الكلاسيكية**

احصاء فيرمي ديراك للإلكترونات الحرية في ثلاثة ابعاد

طاقة فيرمي

**كثافة الحالات النوعية الإلكترونية**

### مقدمة:

أن عناصر المواد الصلبة تحتوي إما على أيونات موجبة أو سالبة أو على الكترونات. فإذا أثر مجال كهربائي أو مغناطيسي على هذه الأجسام المشحونة، فإن حركتهم سوف تتأثر حيث تفقد الصفة العشوائية في الحركة وتتصبّح ذات حركة اتجاهية.

أهم العوامل التي تؤثر على حركة حاملات الشحنة في المواد الصلبة هي:

-1 طاقة الكترونات التكافؤ الموجودة في الغلاف الخارجي الإلكتروني للذرة.

-2 حركة برم الإلكترونيات في الذرة.

-3 الهاسترة التي تصحب المجال الكهربائي والمغناطيسي *Hysteresis*

-4 البنية البلورية للمادة الصلبة

### الوصيل الكهربائي للمواد الصلبة:

يعرف التوصيل الكهربائي في المواد الصلبة على أنه قابلية انتقال الشحنة الكهربائية من موقع إلى موقع آخر وتعتمد هذه على الأيونات والتي تتوقف قابلية حركتهم على نوع المادة الصلبة المكونة لهم وال الإلكترونات وكذلك الفراغات الإلكترونية *Electronic Vacancy*.

✓ تكون الفراغات الإلكترونية في البنية البلورية ذات الأوصى التساهمية في حالة فقدان أحد الإلكترونات من المزدوج الإلكتروني للأصارة.

✓ كما يتكون الفراغ الإلكتروني في المواد ذات الأوصى الأيونية عند كسر الأصارة الأيونية فيتكون في هذه الحالة الكترون حر *Free electron* وفجوة *Hole* وتعتبر الفجوة شحنة موجبة على الرغم أنها في الحقيقة نقص في الشحنة السالبة ضمن البنية البلورية.

✓ في التوصيل الإلكتروني تكون حاملات الشحنة *charge carries* إما أيونات سالبة أو أيونات موجبة.

✓ أما في التوصيل الإلكتروني للمعادن تكون حاملات الشحنة هي الإلكترونات.

ويرمز لمعامل التوصيل الكهربائي  $\sigma$  وهو حاصل ضرب عدد حاملات الشحنات ( $n$ ) ومقدار الشحنة  $q$  والتي تحملها حامل الشحنة والقابلية الحركية لحاملات الشحنة ( $\mu$ )، أي أن:

$$\sigma = nq\mu$$

### تصنيف المواد الصلبة بالاعتماد على معاملات توصيلها الكهربائي:

1- **الموصلات** (مواد جيدة التوصيل الكهربائي) وهي المواد الفلزية (المعدنية) مثل النحاس الذي يكون معامل توصيله الكهربائي بحدود  $(10^7 \text{ ohm}^{-1} \text{ m}^{-1})$ .

2- **أشبه الموصلات** مثل السليكون والجرمانيوم وكبريتيد الرصاص الذي معامل توصيله بحدود  $(10^2 \text{ ohm}^{-1} \text{ m}^{-1})$ .

3- **مواد رديئة التوصيل الكهربائي** أو عازلة كهربائية مثل الأيونيت ومعامل توصيله بحدود  $(10^{-8} \text{ ohm}^{-1} \text{ m}^{-1})$ .

## الوصيل الإلكتروني في الفلزات:

- يمتاز المعدن من وجهة النظر الفيزيائية بامتلاكه سطح فيرمي. ومن الخواص الشائعة للفلزات توصيلها الكهربائي والحراري الجيد.
- تتميز بمتانة Strength له متانة عالية عادةً (ذرات الجوار الأول كثيرة وبذلك تكون أواصر وفرتها تجعل متانة المعدن عالية).
- لمعان و مطاوع للطرق والسحب و كثافة عالية
- تمتاز بالعاكسية الضوئية Optical reflectivity المسؤولة عن تمييز الفلزات بمظهرها البراق.
- ومن بين هذه الصفات نقطة الانصهار والكتافة والصلابة والصلادة وقابلية الطرق.

تتبادر المعادن الصلبة عادةً بثلاث تركيب هي

- تركيب bcc مثل معدن البيثيوم Li
- وتركيب fcc مثل معدن النحاس Cu
- وتركيب hcp مثل معدن الزنك Zn

### تعتمد الصفات الفيزيائية للفلزات (المعادن) على:

- البنية الذرية

والمتغيرات الذرية Atomic Parameters لذرات الفلزات واهماً عدد الكترونات التكافؤ Valance electrons لكل ذرة.

ومن البديهي ان تشذ اعداد قليلة من المعادن عن الأكثريّة الساحقة حيث نجد معادن الكاليوم

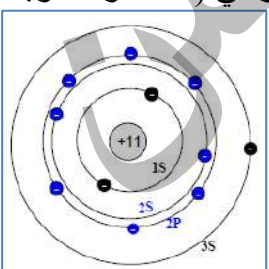


ومعدن الزئبق Hg يمتلكان نقطة انصهار واطئة. ان كلاً من هذين المعادنين يمتلك تركيباً بلوريًّا غير اعتيادي ويعتقد ان الكترونات التكافؤ لا تسهم كلها في عملية الترابط في هذين المعادنين عندما يكونان في حالة الصلابة. علماً ان الزئبق يتجمد عند (-36.9 درجة مئوية). بينما الكاليوم ينصهر عند درجة أعلى من درجة حرارة الغرفة قليلاً (درجة انصهار 29.6 درجة مئوية). الصورة التالية توضح ذوبان معدن الغاليم بدرجة حرارة جسم الإنسان.

**الكترونات التكافؤ** وهي الإلكترونات التي تشغّل الغلاف الخارجي للذرة الحرّة التي تستعمل لربط الذرات بعضها ببعض لتشكل بلورة. أما عدد الكترونات التكافؤ فيختلف من عنصر إلى آخر ولكن يكون دائمًا أقل من العدد اللازم لإشباع أو ملء الغلاف الخارجي للذرة حرّة.

### منشأ الكترونات التوصيل:

ابسط أنواع المعادن هو الصوديوم Na ذو تركيب bcc وسنفترض بأنه لدينا غاز صوديوم عبارة عن مجموعة من ذرات حرّة متعادلة الشحنات كل ذرة تملك (11) الكترون ( $Na: 1s^2 2s^2 2p^6 3s$ ) وتتوزع مدارياً حول النواة ونلاحظ ان الالكترون الأخير  $3s$  وحده في المدار الخارجي (القشرة الذرية الثالثة) والذي يكون مقيداً بصورة غير محكمة (او غير مستقرة) بينما باقية الالكترونات العشرة  $1s^2 2s^2 2p^6$  والتي تمثل الكترونات اللب او الكترونات القلب للذرة تختل القشرة الذرية الأولى والثانية والتي يحتوي عليها التركيب المستقر.



الآن عند تقرّب ذرات الصوديوم الحرّة بعضها من بعض لتشكيل معدن الصوديوم. في حالة الصلابة تراكب كل ذرتين متجاورتين او تتشابك قليلاً وهذا يعني ان الالكترون التكافؤ لذرة ما  $3s$  لم يعد مقيداً لأيون خاص بمفرده بل يكون منتدياً في الوقت نفسه الى كلا الايونين المتجاورين  $Na^+$ . ويمكن تعليم هذه الفكرة لتشمل كل الذرات التي تولّف بلورة صوديوم كاملة. اذ باستطاعة هذه الالكترون والالكترونات المشابهة له الحركة من ايون الى ايون اخر مجاور له ثم الى ايون اخر مجاور للأيون الأخير وهكذا. ان هذا الالكترون المتنقل الذي يدعى الالكترون تكافؤ يصبح نفسه ما نسميه الالكترون توصيل في المعدن.

**الكترونات التوصيل:** جميع الكترونات التكافؤ لذرات المعدن المشابكة تصبح الكترونات توصيل في البلورة الحاصلة من تلك الذرات. وهذه الإلكترونات تستطيع حمل تيار كهربائي تحت تأثير مجال خارجي. أي ان التوصيل يكون ممكناً عند توافر اعداد كبيرة من الإلكترونات غير المقيدة وغير المحصورة في مكان او موضع معين وغير المرتبطة بذرة خاصة بل تنتشر في كل البلورة المعدنية ولها سميت هذه الإلكترونات **بـالكترونات التوصيل**.

أي انه يطلق على الكترونات التكافؤ لذرة حرارة **بـالكترونات التوصيل** في الفلزات البسيطة مثل الصوديوم والليثيوم والفلزات الثمينة مثل الذهب والفضة والنحاس.

ان عدد الكترونات التوصيل في فلز لوحدة الحجم يساوي عدد الكترونات التكافؤ لذرة الفلز حرارة مضروبة في عدد الذرات لوحدة الحجم، ويعبر عن ذلك رياضياً بـ

$$n = Z \left( \frac{\rho}{M} \right) N_A \quad (\text{اعداد الكترونات التوصيل او التركيز الإلكتروني})$$

حيث ان:  $Z$  التكافؤ الذري،  $\rho$  كثافة الفلز،  $M$  الوزن الذري للفلز،  $N_A$  عدد أفراداً.

مع الاخذ بنظر الاعتبار فيما اذا كانت الذرة أحادية التكافؤ او ثنائية التكافؤ حيث:

- **في الذرات الأحادية التكافؤ** مثل البوتاسيوم  $k$  ، النحاس  $Cu$  ، الذهب  $Au$  : يكون عدد الكترونات التوصيل مساوياً لعدد الذرات الأحادية التكافؤ.

- **في الذرات ثنائية التكافؤ** مثل الزنك  $Zn$  وMagnesiوم  $Mg$  و الكادميوم  $Cd$ : يكون عدد الكترونات التوصيل مساوياً لضعف عدد الذرات المشاركة في تكوين المعدن (أي ضعف عدد الذرات).

**غاز الالكترون الحر:** يطلق على الكترونات التوصيل مصطلح الغاز الالكتروني الحر **free electron gas** وذلك بسبب اعتبار حركة الكترونات التوصيل بكل حرية داخل البلورة وهذا يشبه حركة ذرات الغاز المثالي في حيز مغلق.

**يختلف الغاز الالكتروني الحر في الفلز عن الغازات الاعتيادية ببعض الصفات المهمة:**

1- يكون الغاز الالكتروني الحر ذات شحنة سالبة بينما تكون جزيئات الغاز الاعتيادية متعدلة الشحنة في الغالب ولذلك يمكن اعتبار الغاز الالكتروني الحر في فلز مثل بلازما **Plasma** مادة عالية التأين، فيها اعداد متساوية من النويات الذرية المؤينة والالكترونات الحرية.

2- يكون تركيز الالكترونات في المعادن كبيراً جداً حوالي  $10^{28} \times 2$  لكل متر مكعب، حيث يعتمد تركيز الالكترونات (اي كثافة الغاز الالكتروني الحر) على موقع الذرات الفلزية في الجدول الدوري بينما يكون تركيز الغاز الاعتيادي حوالي  $10^{25}$  جزيئة لكل متر مكعب.

**نظريات الغاز الالكتروني الحر (نظريات الإلكترونات الحرية):**

أن خاصية التوصيل الكهربائي والحراري للمواد الفلزية تعتمد على الكترونات التكافؤ او الغاز الالكتروني الحر. وقد وضعت نظريات مختلفة لتفسير تصرف الغاز الالكتروني الحر في المواد الفلزية (المعدنية). ولقد تطورت هذه النظريات ومررت بثلاثة مراحل:

1- **النظرية الكلاسيكية للغاز الالكتروني الحر:** ووضعت من قبل العالمين درود **Drude** ولوشنتر **Lorentz** وقد افترضا فيها أن الفلزات تحتوي على الكترونات حرارة تخضع في حركتها لقوانين الميكانيك الكلاسيكي.

2- **النظرية الكمية للغاز الالكتروني الحر:** وضعها العالم سمرفيلد **Sommerfeld** عام 1928 حيث فرض بان الالكترونات الحرية في الفلزات تخضع لقوانين ميكانيك الكم.

3- **نظريّة الحزم:** وقد درست من قبل العالم بلوخ **Bloch** عام 1928 وكرونوك وبني - **Kronig Penney** حيث اعتبروا حركة الالكترونات في مجال جهد دوري **Periodic Potential field** ناشئ عن الشبكة. وسنسرحها في الفصل القادم.

**الصفات الأساسية للمعادن:** في درجة حرارة الغرفة يمتاز المعدن

(1) يخضع لقانون او姆 ( $\vec{E} = \sigma \vec{J}$ ) عند ثبوت درجة الحرارة.

(2) موصل جيد للكهربائية ( $\sigma = 10^6 - 10^8 \Omega^{-1} \cdot m$ )

شبكة الموصى ( $\sigma = 10^4 - 10^5 \Omega^{-1} \cdot m$ )

المادة العازلة ( $\sigma = 10^{-16} \Omega^{-1} \cdot m$ )

(3) جيد التوصيل للحرارة: وذلك لإمتلاكه توصيلية حرارية الكترونية عالية ( $K_{el}$ )

(4) النسبة بين التوصيلية الحرارية الإلكترونية إلى التوصيلية الكهربائية يدعى عدد لورنس

(يعرف بقانون وايدمان - فراتر)

$$L = \frac{K_{el}}{\sigma T} = 2.45 \times 10^{-8} \text{ watt} - \text{ohm/deg}^2$$

(5) عند درجات الحرارة الواطئة تبلغ قيمة التوصيلية الكهربائية قيمة الهضبة حيث يكون لتأثير الشوائب وعيوب الشبكة دورها الأساسي في التحكم وضبط تلك القيمة. علماً ان المقاومة الكهربائية (المقاومة الكهربائية النوعية) هي مقلوب التوصيلية الكهربائية  $\left[ \frac{1}{\sigma} (\Omega \cdot m)^{-1} \right] = \rho (\Omega \cdot m)$ . وحيث ان اسهام شوائب المعدن وعيوب الشبكة في المقاومة الكهربائية هو كمية ثابتة عند جميع درجات الحرارة بموجب قاعدة ماثيرين *Mathiessen* التي تتضمن على ان المقاومة الكهربائية العائدة الى الشوائب لا تعتمد على درجة الحرارة عندما يكون تركيز الشوائب صغيراً.

$$\rho = \rho_0 + \rho(T)$$

حيث  $\rho_0$  تمثل اسهام الشوائب في المقاومة الكهربائية وهي كمية ثابتة لا تتغير بتغيير درجة الحرارة. اما  $\rho(T)$  فتمثل المقاومة الكهربائية لمعدن نقي خال من الشوائب وهو يعتمد على درجة الحرارة ويعود الى المقاومة الناجمة عن حركة الشبكة وقيمتها تتناقص للصفر عند  $0K$  وبهذا تقترب التوصيلية الكهربائية للمعدن النقي من الانتهاء عند  $0K$ .

(6) تتناقص المقاومة الكهربائية (المقاومة الكهربائية النوعية) ( $\rho$ ) تبعاً لزيادة الضغط لمعظم المعادن. علماً ان المقاومة الكهربائية (المقاومة الكهربائية النوعية) هي مقلوب التوصيلية

$$\text{الكهربائية } \left( \Omega \cdot m \right)^{-1} = \frac{1}{\rho} (\Omega \cdot m)$$

(7) تسهم التأثيرات في المقاومة الكهربائية في كل من السبائك والمعادن ذات المغناطيسية الحديدية أي الفيرومغناطيسية.

(8) عند درجات حرارة واطئة جداً يصبح نصف عدد العناصر المعدنية تقريراً موصلات فائقة.

(9) تكون الحرارة النوعية الإلكترونية والقابلية البارامغناطيسية لغاز الكتروني حر صغير

جداً. لكن الحرارة النوعية الإلكترونية تتناسب مع درجة الحرارة بالكلفون بينما القابلية البارامغناطيسية تبقى ثابتة عن تغيير درجة الحرارة.

## التوزيع الكلاسيكي للسرعة (توزيع ماكسويل - بولتزمان):

إن أحدي أهم تطبيقات قانون توزيع ماكسويل - بولتزمان هي ايجاد سرعة الجزيئية في الغاز. وبما أننا اعتبرنا أن الغاز الإلكتروني الحر يشابهه الجزيئية في الغاز، فعليه نحاول الان ايجاد سرعة الغاز الإلكتروني الحر. أن الجزيئات في الغاز المثالي تتفاوت قيم سرعاتها بين الصفر و مالا نهاية، ولكن لمعظمها سرعة متوسطة تعبر عن حالة الغاز. قد تتغير سرعة أي جزيء نتيجة لتصادمها مع غيرها او مع جدران الوعاء ولكن يبقى ثابتة عدد الجزيئات التي لها سرع في المدى  $v$  و  $v + dv$  ويظل هذا العدد لا يتغير مع الزمن. ولأجل حساب عدد الجزيئات الواقعه ضمن المدى  $v$  و  $v + dv$  يجب علينا أن نعتبر الغاز في حالة اتزان حراري أي أن درجة حرارته ثابتة. وكذلك خضوع الجزيئات لقوانين الاحتمالية بسبب الحركة العشوائية للجزيئات. حيث أن  $(S)$  تمثل الانطلاق speed (مقدار السرعة) أي سرعة الاتجاهية وهي القيمة العددية للسرعة  $V$  ولذلك يمكن كتابة:

$$s^2 = v_x^2 + v_y^2 + v_z^2$$

وعلى هذا الأساس تكون احتمالية الانطلاق  $s$  بغض النظر عن اتجاه هذا الانطلاق في المدى من  $s$  الى  $s + ds$ . ان معدل الطاقة لكل الكترون في توزيع بولتزمان يساوي:

$$\frac{3}{2} K_B T = \frac{1}{2} m ((S_{RMS})^2$$

حيث ان  $S_{RMS}$  تمثل جذر متوسط مربع مقدار السرعة (الانطلاق) أي ان

$$S_{RMS} = \left( \frac{3K_B T}{m} \right)^{1/2}$$

فبعد الدرجات الحرارية الاعتيادية تكون قيمة جذر متوسط مربع السرعة حوالي  $10^5$  متر لكل ثانية.

### النظرية الكلاسيكية للإلكترونات الحرية:

قام العالم الالماني درود Drude بوضع النظرية الكلاسيكية للغاز الإلكتروني الحر في سنة (1900) حيث قام بمسح شامل لخواص المادة البصرية، وفي عام 1905 طور العالم لورنتز Lorentz نظرية درود والتي تدعى في الغالب بنظرية درود - لورنتز Drude - Lorentz

### نظريّة درود:

تعد نظرية درود اول نظرية كلاسيكية بسيطة للغاز الإلكتروني الحر في الفلزات.

### فرضيات درود

- افتراض درود البنية البلورية لأي فلز على انه رص من قلوب الايونات الموجبة يتخللها عدد كبير من الإلكترونات الحرية الناتجة من مساهمة كل ذرة في الفلز بالكترون او أكثر ويطلق على هذه الإلكترونات بالكترونات التكافؤ او الكترونات التوصيل والتي تمثل الغاز الإلكتروني الحر.

- هذه الإلكترونات هي التي تتأثر بالمجالات الكهربائية والمغناطيسية.

- افتراض ان الإلكترونات السالبة الشحنة تتصرف كجزيئات متعادلة لغاز مثالي.

- أهمل وجود المجال الدوري (بسبب دورية الشبكة) الذي تتحرك فيه الإلكترونات.

- افتراض ان الكترونات التوصيل تُستطار scattered نتيجة تصدامها العشوائي بقلوب الايونات الموجبة أي أن معدل سرعتها بعد كل تصدام مباشره يساوي صفرًا.

- عند تسليط مجال كهربائي خارجي على فلز (معدن) تكتسب الإلكترونات تعجيلاً اي تغير قيمة او اتجاه سرعة انجراف الإلكترونات Drift velocity او كل من القيمة والاتجاه.



ولكن هذا التغيير يباد ويُستأصل عند كل تصادم بين الإلكترونات وقلوب الأيونات الموجبة، أي أن الإلكترون بسبب التصادم يفقد جمع طاقته التي اكتسبها بواسطة المجال الكهربائي المسلط وان سرعته بعد التصادم تكون عشوائية ليس لها علاقة باتجاه حركته قبل التصادم وكأن اصطدام الكترون بقلب أيون موجب يسبب للإلكترون بعد التصادم مباشرة فقدان تصرف حالته الحركية قبل التصادم. أن هذا يعني التغيير في سرعة الإلكترون يظهر فقط خلال فترة بين تصادم وأخر ولذلك يزداد تأثير المجال الكهربائي المسلط على الكترونات التوصيل كلما ازدادت الفترة الزمنية بين تصادمين متتالين وتدعى هذه الفترة

### متوسط الزمن الحر أو متوسط زمن المسار الحر $\tau_m$

ويطلق كذلك على  $\tau_m$  بزمن الاسترخاء relaxation time يعرف  $\tau_m$  بأنه معدل الزمن اللازم الذي يستغرقه الكترون لقطع المسافة بين تصادمين متعاقبين. معدل سرعة الانجراف تعطى:

$$\Delta \bar{V} = \left( -\frac{e \bar{E} \tau_m}{m} \right)$$

اما اذا فرضنا ان الفاز يحتوي على عدد ( $n$ ) من الإلكترونات لكل متر مكعب، وان جميعها تتحرك بسرعة انجراف ثابتة  $\Delta \bar{V}$  في مجال كهربائي  $\bar{E}$ ، فعليه تكون كثافة التيار الكهربائي:

$$J = (-en\Delta \bar{V}) = \frac{ne^2 \tau_m}{m} \bar{E} = \sigma \bar{E} \quad \text{وحيث} \quad J = \sigma \bar{E}$$

حيث ان:

$$\sigma = ne^2 \tau_m / m$$

تمثل  $\sigma$  معامل التوصيل الكهربائي وهي كمية موجبة غير اتجاهية.  
إن العلاقة التي تربط  $J, \bar{E}$  هي علاقة خطية ومنها يمكن تقدير قيمة معامل التوصيل الكهربائي وبدلالة المقادير المعروفة  $n, m, e, \tau_m$ .

ويمكن التعبير عن قيمة معامل التوصيل الكهربائي  $\sigma$  باستخدام الحركية الانجرافية *Drift mobility*  $m$  والتي تعرف على أنها السرعة الانجرافية المنتظمة. لكل وحدة مجال كهربائي أي أن:

$$\mu = \frac{\Delta \bar{V}}{\bar{E}} = \frac{e \tau_m}{m}$$

ويتعويض هذه المعادلة في المعادلة السابقة، نحصل على:

$$\sigma = n e \mu$$

ويمكن كتابة المعادلة  $\sigma = ne^2 \tau_m / m$  بدلالة متوسط المسار الحر ودرجة الحرارة.

متوسط المسار الحر الإلكتروني  $\lambda$  على انه المسافة التي يتحركها أي الكترون توصيل بفاعلية انطلاق الحراري ( $S_{th}$ ) خلال متوسط الزمن الحر  $\tau_m$  ويقصد بالانطلاق الحراري ( $S_{th}$ ) انطلاق الكترون عند حركته من مركز استطاره إلى مركز استطاره أخرى. أي أن

$$S_{th} = \frac{\lambda}{\tau_m} = \left( \frac{3k_B T}{m} \right)^{\frac{1}{2}}$$

وبتعويض  $\tau_m = \frac{\lambda}{S_{th}}$  من المعادلة الأخيرة في  $ne^2\tau_m/m = \sigma = \frac{ne^2\lambda}{mS_{th}} = \frac{ne^2\lambda}{(3mk_B T)^{1/2}}$  وبعدها نعرض عن قيمة  $S_{th}$  من المعادلة الأخيرة فنحصل على:

$$\sigma = \frac{ne^2\tau_m}{m} = \frac{ne^2\lambda}{mS_{th}} = \frac{ne^2\lambda}{(3mk_B T)^{1/2}}$$

وهكذا يمكن التعبير عن معامل التوصيل الكهربائي بموجب نظرية درود بالصيغ الثلاثة الواردة في المعادلة الأخيرة. تبين المعادلة الأخيرة أن معامل التوصيل الكهربائي مع  $(\sigma)$  تتناسب طردياً مع  $(T^{-\frac{1}{2}})$  وفوق مدى واسع من درجات الحرارة. ولقد وجد انه عند تبريد الفلز إلى درجات حرارة واطئة أن معامل التوصيل الكهربائي يزداد بموجب الدالة  $(T^{-5})$  قبل الوصول إلى مستوى مستقر *Plateau* وبهذا تفشل نظرية درود في تفسير النتائج عند درجات الحرارة الواطئة وذلك لأن الكترونات التوصيل لا تتصرف تماماً كجزيئات الغاز المثالي وأن الإلكترونات لا ترتد عن اصطدامها بقلوب الأيونات الموجبة....

### التوصيل الحراري للغاز الإلكتروني الحر:

يعرف التوصيل الحراري الإلكتروني على أنه انتقال الطاقة الحرارية للإلكترونات الحرية في الفلزات ويرمز لها بالرمز  $K_{el}$ . إن التوصيل الحراري بواسطة الفونونات الموجودة في الفلزات يمكن إهمالها وذلك لوفرة الكترونات التوصيل بشكل كبير جداً وهي التي تسيطر على عملية التوصيل الحراري. يمكن تطبيق فرضيات درود بشأن طبيعة حركة الكترونات التوصيل في فلز ، المستخدمة في حساب معامل التوصيل الكهربائي وفي حساب معامل التوصيل الحراري للغاز الإلكتروني الحر. وسوف نستخدم العلاقة التالية:

$$K_{el} = \frac{2}{3} \tau_m S^2 C_{el}$$

حيث أن  $C_{el}$  تمثل الحرارة النوعية الإلكترونية الكلاسيكية لغاز الكتروني عند ثبوت الحجم. وتعطى بالعلاقة التالية:

$$C_{el} = \frac{3}{2} K_B n$$

وبتعويض المعادلة  $C_{el}$  والمعادلة  $S_{th}$  في معادلة  $K_{el}$  نحصل على:

$$K_{el} = \frac{2}{3} \tau_m S^2 C_{el}$$

$$K_{el} = \frac{2}{3} \tau_m (S^2)(C_{el}) = \frac{2}{3} \tau_m \left( \frac{3k_B T}{m} \right) \left( \frac{3}{2} K_B n \right)$$

$$K_{el} = n K_B \tau_m S^2 = \left( \frac{3n \tau_m K_B^2 T}{m} \right)$$

ان النسبة بين معامل التوصيل الحراري الإلكتروني  $K_{el}$  ومعامل التوصيل الكهربائي  $\sigma$  لكل درجة حرارة يعرف بعدد لورنر *Lorenz number* ويعطى بهذه العلاقة:

$$L = \frac{\text{معامل التوصيل الحراري}}{\text{معامل التوصيل الكهربائي}}$$

$$L = \frac{K_{el}/\sigma}{T} = 3 \left( \frac{K_B}{e} \right)^2$$

$$= 2.2 \times 10^{-6} \left( \frac{\text{Volt}}{\text{Kelvin}} \right)^2$$

تبين المعادلة (6.33) ان عدد لورنر كمية ثابتة لا تعتمد على عدد الكترونات التوصيل ولا على كتلة. ولابد من الإشارة الى ان عدد لورنر المحسوب في المعادلة (6.33) هو بناءً على النظرية الكمية بينما وجدت قيمة عدد لورنر حسب النظرية الكلاسيكية بـ  $1.1 \times 10^{-6} \text{ Volt/Kelvin}$ .

### نظرية لورنر للتوصيل الكهربائي:

لقد عمل العالم لورنر عام 1905 على تطوير نظرية درود للغاز الإلكتروني الحر حيث دحض فرضيته التي تنص على أن الإلكترونات الحرة في الفلز لها انطلاق حراري واحد.

#### فرضيات لورنر:

- فرض أن الغاز الإلكتروني الحر في الفلز يكون في حالة اتزان حراري ويمتلك سرعة تخضع لدالة توزيع السرع  $f_0$  (انظر المعادلة 6.8) عند غياب تأثير أي مجال كهربائي خارجي وكما هو مبين في الشكل (6.5a).
- ومن أجل تبسيط معادلة بولتزمان سوف نفترض أن الفلز يكون متجانس البنية البلورية وعند ذلك تكون غير معتمدة على الاحداثيات المكانية.
- فعند تسليط مجال كهربائي على الفلز، سوف ينتج عن ذلك انجراف الإلكترونات بشكل متماثل، وينشأ تبعاً لذلك نظام جديدة أو دالة جديدة لتوزيع السرع ويطلق عليها  $f$  وتحتفل تماماً عن دالة توزيع السرع  $f_0$  التي تكون في حالة الازان الحراري وفي حالة غياب المجال الكهربائي.
- لقد فرض لورنر أن الازاحة الاجمالية للدالة  $f$  عن موقعها والناطة عن تأثير المجال يكون صغيرة بالمقارنة بقيمة الجذر التربيعي المتوسط مربع الانطلاق  $S_{rms}$  وكما أن التشوه الذي يحدث عن التوزيع يكون صغيرة جداً.
- وقد افترض لورنر أن استطارة الإلكترونات تكون مرنة عند تصدامها مع صفوف القلوب الأيونية الموجبة الساكنة نسبياً، حيث يكون التغير في طاقة الكترون طفيفة جداً بسبب الفرق الشاسع بين كتلة الالكترون وكتلة القلب الأيوني الموجب.

ولا يعتمد متوسط المسار الحر  $\lambda$  على انطلاق الالكترون

$$\tau_r = \frac{\lambda}{S}$$

نحصل على معامل التوصيل الكهربائي  $\sigma$ .

$$\sigma = \frac{4ne^2\lambda}{3(2\pi m K_B T)^{1/2}}$$

ان المعادلة تعطي معامل التوصيل الكهربائي للفلز بموجب نظرية لورنتز للغاز الإلكتروني الحر وهي تشبه بصورة عامة صيغة معادلة درود لمعامل التوصيل الكهربائي.

ان الفرق بين العالمين هو  $\left(\frac{3\pi}{8}\right)^{1/2}$  ويساوي (1.09) في حالة تشابه درود ولورنتز في تعريفهما لمتوسط المسار الحر  $\lambda$ .

إن معادلة النقل لبولتزمان المستخدمة بموجب نظرية لورنتز تؤدي إلى صيغة التوصيل الحراري الإلكتروني مشابهة إلى صيغة درود ولكنها أصغر من تلك الصيغة المستنبطه بموجب نظرية درود بحوالى الثلث.

#### أخفاقات او فشل النماذج الكلاسيكية:

إن سبب فشل النظرية الكلاسيكية للغاز الإلكتروني الحرفي اعطاء نتائج دقيقة لقيم الحرارة النوعية الإلكترونية ومعامل التوصيل الكهربائي تعود إلى الفرضية الأساسية في النظرية بأن الكترونات التوصيل تشبه جزيئات الغاز المثالي وتتبع احصائية احصاء ماكسويل - بولتزمان حيث يمكن لأي عدد من الإلكترونات أن يكون على نفس مستوى الطاقة. ان هذه الفرضية لا تسمح بها قاعدة باولي للاستبعاد التي تنص على أن كل مستوى من مستويات الطاقة يشغله الكترون ذو برميل متعاكسين ( $S = \pm \frac{1}{2}$ ).

ولهذا السبب أصبح احصاء ماكسويل - بولتزمان غير صالح للتطبيق على حالة الغاز الإلكتروني الحر

ومن اهم الإخفاقات التي عانت منها النماذج الكلاسيكية هي الآتي:

اولاً: افتراض الطاقة الحرارية للإلكترونات الحرية ( $n^{\frac{3}{2}} K_B T$ ) وهذا يعني امتلاك المعدن او الفلز حرارة نوعية كترونية عالية. بينما التجارب تشير الى ان أي معدن لا يظهر حرارة نوعية كترونية كبيرة. ونفس الشيء يقال عن القابلية البارامغناطيسية العالية المتوقعة لحاملات شحنة حرة تماماً.

ثانياً: متوسط المسار الحر الإلكتروني المستنجد عملياً من تأثير هول والتوصيلية الكهربائية كان كبير جداً مقارنة بالفسح بين ذرات المعدن.

ثالثاً: لم تستطع النظريات الكلاسيكية إعطاء تفسير للتصريف المعدن الذي تسلكه مقاومة المعدن تحت تأثير مجال مغناطيسي (المقاومة الكهربائية المغناطيسية).

رابعاً: لم تستطع النظريات الكلاسيكية إعطاء تفسير الإشارات الشاذة لمعامل هول  $R_H$  في بضعة معادن.

## النظريّة الكميّة للغاز الإلكتروني الحرّ:

هناك نوعان من إحصاء الكم كلّ منها يفترض أنّ الجسيمات تكون مماثلة بعضها البعض ولا يمكن تمييز بعضها عن بعض وهما:

**أولاً: إحصاء فيرمي - ديراك** ويهمّ هذا الإحصاء بالجسيمات التي تخضع لقاعدة باولي في الاستثناء (قاعدة باولي للاستبعاد) (يسمح لجسيم واحد فقط أن يشغل حالة كمية معينة) وتدعى الجسيمات في هذا النوع من إحصاء الكم بالفيرميونات أو جسيمات فيرمي ديراك مثل الإلكترونات (جسيمات غير متميزة وطاقتها مكماة ويسمح لجسيم واحد فقط أن يشغل حالة كمية معينة)

**ثانياً: إحصاء بوز - أينشتاين** ويهمّ هذا الإحصاء بالجسيمات التي لا تخضع لقاعدة باولي في الاستثناء (قاعدة باولي للاستبعاد) وتدعى الجسيمات في هذا النوع من إحصاء الكم بالبوزونات أو جسيمات بوز - أينشتاين مثل الفوتونات والغفونونات (جسيمات غير متميزة وطاقتها مكماة وليس هناك تحديد لعدد الجسيمات التي يمكن أن تشغل حالة كمية معينة)

### النظريّة الكميّة لسمرفيلد (النظريّة الكميّة للغاز الإلكتروني الحرّ)

اعتمدت التوزيع الكمي لفيرمي - ديراك

**الإحصاء الكمي لفيرمي - ديراك** *Fermi - Dirac quantum statistics*:

يطبق إحصاء فيرمي - ديراك على الجسيمات التي لها دوال موجية غير متماثلة *anti-symmetric wave Function* مثل الإلكترونات والبروتونات والبيروتونات والتي تخضع لقاعدة باولي للاستبعاد (يسمح لجسيم واحد فقط أن يشغل حالة كمية معينة) يمكن التعبير عن قانون التوزيع لفيرمي - ديراك لعدد ( $n_i$ ) من الجسيمات المسموح بها في أي مستوى طاقة ( $E_i$ ) بالصيغة الرياضية التالية:

$$n_i = g_i [1 + \exp(\alpha + \beta E_i)]^{-1}$$

حيث أن  $g_i$  احتمالية الحالة *State probability* و  $\beta$  كمية ثابتة وتساوي

$\alpha$  تمثل كمية ثابتة وتساوي

$$\alpha = -\frac{E_f}{K_B T}$$

حيث أن  $E_f$  تمثل طاقة فيرمي *Fermi - energy* فبتغيير  $\alpha$  &  $\beta$  في  $n_i$  نحصل على:

$$n_i = g_i \left\{ 1 + \exp \left[ \left( -\frac{E_f}{K_B T} \right) + \left( \frac{E_i}{K_B T} \right) \right] \right\}^{-1}$$

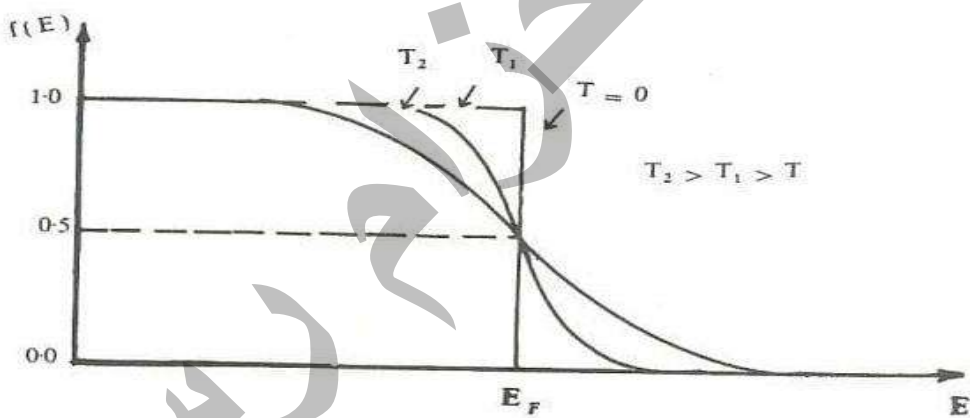
$$\therefore \frac{n_i}{g_i} = \left\{ 1 + \exp \left[ \frac{E_i - E_f}{K_B T} \right] \right\}^{-1}$$

يطلق على  $(\frac{n_i}{g_i})$  بـ (دالة التوزيع لفيرمي - ديراك) حيث تمثل احتمالية أي مستوى ذي طاقة  $E_i$  بأن يكون مشغولاً بالجسيمات (الإلكترون) ويرمز لهذه الدالة  $F(E)$ . وعليه يمكن إعادة كتابة المعادلة الأخيرة بالصيغة التالية:

$$f(E) = \left\{ 1 + \exp\left[\frac{(E - E_f)}{K_B T}\right] \right\}^{-1}$$

هذه المعادلة تمثل احتمال إشغال حالة ما ذات طاقة  $E$  بالجسيمات ذات الاتزان الحراري، أي عدد الجسيمات في تلك الحالة أو التوقع لاحتلال حالة كمية طاقتها  $E$ ، ومن ناحية أخرى، نلاحظ في المعادلة الأخيرة عند درجة حرارة ( $T = 0K$ ), إن جميع حالات الطاقة لغاية  $E = E_f$  تكون مشغولة تماماً اي ان  $[F(E) = g_i]$  أو  $1 = n_i$  بينما تكون جميع الحالات لطاقة  $E > E_f$  فارغة  $[f(E) = 0]$  فارغة. ان سبب ذلك هو:

$$\lim_{T \rightarrow 0} e^{\frac{E-E_f}{k_B T}} = \begin{cases} 0 & f(E) = 1 & E_f > E \\ 1 & f(E) = 0.5 & E_f = E \\ \infty & f(E) = 0 & E_f < E \end{cases}$$



الشكل (8.6) احتمالية الاشغال  $F(E)$  ذات الطاقة  $E$  في درجات حرارة مختلفة.

تدل المعادلات السابقة على ان مستويات الطاقة التي تقع اسفل مستوى فيرمي  $E_F$  تكون ممتلئة تماما بينما تكون المستويات اعلى مستوى فيرمي فارغة تماما. يوضح الشكل (6.6) اعتماد دالة التوزيع لفيرمي - ديراك  $F(E)$  أي توزيع احتمالية الاشغال على الطاقة  $E$  في احصاء فيرمي - ديراك لثلاثة قيم  $K_B T$ .

$$K_B T = 0$$

$$K_B T = 0.1 \text{ eV}$$

$$K_B T = 2.5 \text{ eV}$$

$$T = 0$$

$$T = 1200 \text{ K}$$

$$T = 3 \times 10^4 \text{ K}$$

حيث ان الجسيمات عند درجة حرارة  $0^\circ \text{K}$  تشغل اوطاً مستويات الطاقة المتوفرة ثم تكبر حتى تصل الى الطاقة  $E_F$  وذلك تمثل الطاقة  $E_F$  مؤشراً لأقصى طاقة للجسيمات في المنظومة ولذلك سميت بطاقة فيرمي.

ان الكرة التي نصف قطرها  $k_F$  والتي تكون فيها جميع مستويات الالكترون الواحد مملأة تسمى **كرة فيرمي (Fermi Sphere)** ان سطح كرة فيرمي الذي يفصل بين المستويات المملأة والمستويات الفارغة يسمى **سطح فيرمي (Fermi Surface)**. كما ان سطح فيرمي ليس من الضروري ان يكون كروياً.

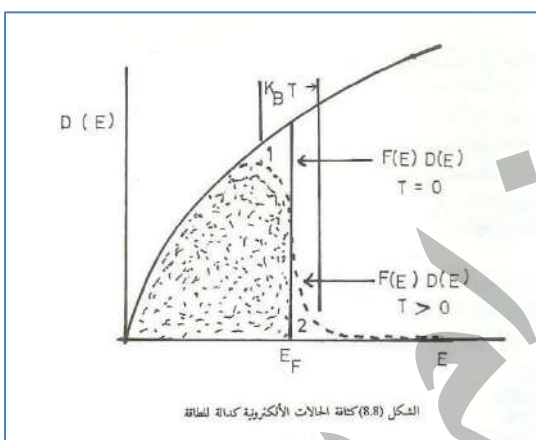
### 6.6.2 كثافة الحالات لغاز الالكتروني حر في ثلاثة ابعاد

تعرف كثافة الحالات  $D(E)$  لغاز الالكتروني حر بأنها عدد الحالات الكمية الالكترونية المتوفرة لكل وحدة مدى للطاقة وبعبارة أخرى تمثل  $D(E)dE$  عدد الحالات الالكترونية المتاحة خلال مدى طاقة بين  $E+dE$  و  $E$ .

ولما كانت كل حالة تتسع للإلكترونيين  $\left(\frac{1}{2}\right)$  فإن عدد المراتب  $D(E)$  المتوفرة عند الطاقة  $E$  وضمن المادة لكل وحدة حجم من الفلز هي:

$$D(E) = \frac{6\sqrt{2}\pi m^{3/2}}{h^2} \sqrt{E}$$

وبهذا فإن  $D(E)$  يتغير مع الطاقة  $(E)$  وفق الشكل التالي.



### نظرية سومرفيلد للتوصيل الكهربائي:

يعتبر العالم سومرفيلد من الرواد الأوائل لدراسة الغاز الالكتروني مستخدمة مفاهيم الميكانيك الكمي في الفلزات. وقد استفاد من نظرية لورنتز حيث استعمل في دراسته احصاء فيرمي - ديراك بدلاً من احصاء ماكسويل - بولتزمان. وعلى الرغم من أن سومرفيلد لم يقدم أية إضافة في البحث عن التقنية الفعلية للتصادم بين الالكترونات والقلوب الايونية الموجبة

- افترض أن زمن الاسترخاء  $\tau$  بين تصادمين متتاليين، يمكن اعتبارها دالة لطاقة الالكترونات فقط.

لقد أدرك سومرفيلد انه عند درجات حرارة اعتيادية، تكون طاقة معظم الالكترونات الغاز الالكتروني الحر لفلز هي اقل من طاقة فيرمي بعدة مرات للكمية  $K_B T$  ولهذا لا يمكن أن

تساهم في عملية التوصيل الكهربائي. أما إذا كانت قيمة طاقة فيرمي فأنها تساهم في عملية التوصيل الكهربائي.

لأجل حساب معامل التوصيل الكهربائي، استخدم سومرفيلد معادلة احصاء فيرمي - ديراك الخاصة الدالة التوزيع في فضاء الزخم الثلاثي الأبعاد لكل وحدة حجم.

$$\sigma = ne^2 \lambda(E_f) / mS(E_f)$$

وهكذا نجد أنه بالإمكان التعبير عن معامل التوصيل الكهربائي بدالة الكثافة الكلية للإلكترونيات  $n$  والانطلاق  $S(E_f)$  ومتوسط المسار الحر  $(E_f)$  لإلكترونات تمتلك طاقة فيرمي  $E_f$  فقط.

ويمكن كتابة معامل التوصيل الحراري أيضاً بدالة متوسط الزمن الحر  $(\tau_m)$  بين تصدامات الإلكترونات توصيل ذات طاقة  $E_f$  حيث ان:

(6.70) ...

$$\tau_m = [\lambda(E_f) / S(E_f)] = \tau_f$$

فبتغيير معادلة (6.70) في معادلة (6.69) نحصل على:

(6.71) ...

$$\sigma = ne^2 \tau_m / m$$

لقد وجد بأن النتائج المحسنة عملية مطابقة بشكل جيد مع النتائج النظرية المحسوبة في المعادلة (6.71) وهذا يدل على أن نظرية سومرفيلد جيدة.

## 6.6 التوصيل الحراري بموجب نظرية سومرفيلد

لقد توصل سومرفيلد إلى علاقة رياضية لمعامل التوصيل الحراري الإلكتروني معتمدة على فرضياته المذكورة في موضوع معامل التوصيل للغاز الإلكتروني الحر. لقد أهمل سومرفيلد دور الفونونات في عملية انتقال الحرارة في الفلزات. فقد استخدم معامل التوصيل الحراري لجسيمات الغاز المذكورة في النظرية الحرارية للغازات وهي:

$$K = \frac{1}{3} c_v v_e \lambda$$

حيث ان  $c_v$  تمثل الحرارة النوعية عند حجم ثابت. و  $\lambda$  معدل المسار الحر و  $v_e$  سرعة الإلكترون . ولحساب معامل التوصيل الحراري  $K_{el}$  حسب نظرية سومرفيلد علينا استبدال  $c_v$  بالحرارة النوعية الإلكترونية  $c_{el}$  و السرعة  $v_e$  بـ  $v_f$  فنحصل على:

$$K_{el} = \frac{\pi^2 K_B^2 T n \tau_m}{3m}$$

ان قيمة  $K_{el}$  المحسوبة في نظرية سومرفيلد أكبر من قيمة  $K_{el}$  المحسوبة في نظرية درود بحوالي 10%. ان النسبة بين معامل التوصيل الحراري الإلكتروني  $K_{el}$  ومعامل التوصيل الكهربائي  $\sigma$  لكل درجة حرارة يعرف بعدد لورنر ويعطي بالعلاقة التالية:

$$L = \frac{K_{el}}{\sigma} = \frac{\pi^2}{3} \left( \frac{K_B}{e} \right)^2$$

و هذا العدد أكبر من العدد المحسوب بموجب نظرية درود بحوالي 10%.

**سؤال 4)** اوجد عدد الذرات لوحدة الحجم يساوي عدد الإلكترونات لعنصر النحاس  $\text{cu}^{29}$   
 اذا علمت ان  $(M = 63.5 \frac{\text{gm}}{\text{mol}})$  والوزن الذري هو  $(\rho = 8.5 \frac{\text{gm}}{\text{cm}^3})$  عدد أفوکادو =  
 $.(6.022 * 10^{23} \frac{1}{\text{mol}})$



$$n = Z N$$

$$Z = 1 = \text{الكافؤ الذري (عدد الكترونات التكافؤ)}$$

$$n = Z \left( \frac{\rho N_A}{M} \right)$$

$$n = \text{عدد الإلكترونات لوحدة الحجم} \\ N = \text{عدد الذرات لوحدة الحجم}$$

$$N = \left( \frac{\rho N_A}{M} \right)$$

$$N = \left( \frac{8.5 * 10^3 \frac{\text{Kg}}{\text{m}^3} * (6.022 * 10^{23} \frac{1}{\text{mol}})}{63.546 * 10^{-3} \frac{\text{Kg}}{\text{mol}}} \right) = 0.806 * 10^{29} \text{ atoms/m}^3$$

**ملاحظة:** ولأن النحاس احدى التكافؤ وفي الذرات الأحادية التكافؤ مثل البوتاسيوم والنحاس والذهب يكون عدد الإلكترونات التوصيل متساوياً لعدد الذرات. أي ان:

$$N = n = 0.85 * 10^{29} \frac{\text{atoms}}{\text{m}^3} = 0.85 * 10^{29} \text{ elec/m}^3$$

ولا داعي لاكمال الحل لإيجاد عدد الإلكترونات التوصيل.

**طريقة إيجاد عدد الإلكترونات التوصيل:**

$$1 = Z = \text{الكافؤ الذري (عدد الكترونات التكافؤ)}$$

$$\rho = \text{كثافة الفلز} & M = \text{الوزن الذري للفلز}$$

$$, N_A = \text{عدد أفوکادو} = (6.022 * 10^{23} \frac{1}{\text{mol}})$$

$$\rho = 8.9 \frac{\text{gm}}{\text{cm}^3} = 8.9 \frac{\text{gm} * 10^{-3}}{\text{cm}^3 * 10^{-6}} = 8.9 * 10^3 \frac{\text{Kg}}{\text{m}^3}$$

$$M = 63.5 \frac{\text{gm}}{\text{mol}} = 63.5 \frac{\text{gm} * 10^{-3}}{\text{mol}} = 63.5 * 10^{-3} \frac{\text{Kg}}{\text{mol}}$$

$$n = Z \left( \frac{\rho N_A}{M} \right)$$

$$n = 1 \left( \frac{8.96 * 10^3 \frac{\text{Kg}}{\text{m}^3} * (6.022 * 10^{23} \frac{1}{\text{mol}})}{63.5 * 10^{-3} \frac{\text{Kg}}{\text{mol}}} \right) = 0.806 * 10^{29} \text{ elec/m}^3$$

$$= 8.06 * 10^{28} \frac{\text{elec}}{\text{m}^3}$$

نلاحظ ان عدد الذرات لوحدة الحجم تساوي عدد الإلكترونات لوحدة الحجم لأن الغنصر احادي التكافؤ وكل ذرة تعطي الكترون واحد.

$$N = 0.806 * 10^{29} \text{ atoms/m}^3 = \text{عدد الذرات لوحدة الحجم} \\ n = 0.806 * 10^{29} \text{ elec/m}^3 = \text{عدد الإلكترونات لوحدة الحجم}$$

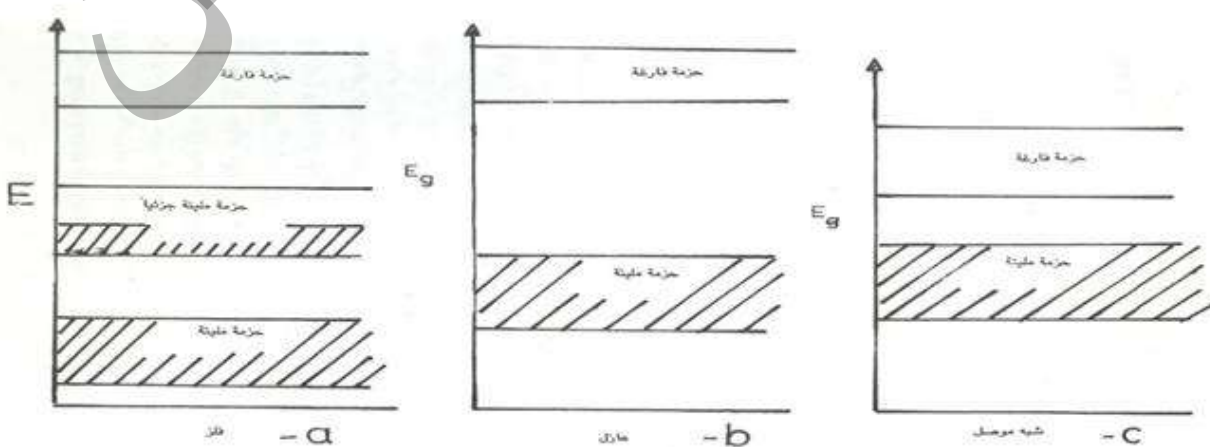
# نظرية الانطقة (الحزم) للمواد الصلبة

الالكترونات الحرجة  
 أصل فجوة الطاقة  
 دالة بلوخ  
 ديناميكية حركة الالكترونات  
 (سرعة الطور وسرعة المجموعة)  
 الكتلة الفعالة  
 تأثير هول  
 المعادن، العوازل، اشباه الموصلات

## المقدمة:

- أسباب فشل النظرية الكلاسيكية والنظرية الكمية للغاز الالكتروني:
- لم تستطع هذه النظريات تفسير تلك الفوارق الكبيرة في التوصيل الكهربائي للمواد المختلفة من عازلة إلى شبه موصلة إلى موصلة، وذلك بسبب إهمال التفاعل بين الالكترونات التوصيل والطبيعة الدورية للشبكة البلورية.
  - وكذلك عدم الأخذ بنظر الاعتبار بأن المادة الصلبة تمتلك حزمة متكونة من عدد كبير من مستويات الطاقة قريبة بعضها من البعض.

إن عدد مستويات الطاقة يساوي عدد الذرات في البلورة وعليه فإن حزمة الطاقة Energy Band تظهر وكأنها مستمرة، إن حزم الطاقة يمكن أن تكون مفصولة بعضها عن بعض بمناطق محظورة Forbidden تمنع إلكترونات التوصيل من احتلالها أو الوجود فيها وتسمى هذه المناطق بفجوة الطاقة Energy Gap. إن التوصيل الكهربائي في المادة الصلبة يتم عن طريق انتقال إلكترونات ضمن المادة، ولما كان لابد للإلكترون أن يحتل مستوى من الطاقة، فإن انتقال الإلكترون يجب أن يتم عن طريق انتقاله من مستوى إلى آخر. لهذا فإن التوصيل الكهربائي يتطلب وجود إلكترونات ومستويات شاغرة من إلكترونات في الحزمة.



**في الموصىل (المعادن):** إن التوصيل الكهربائي الجيد في الفلزات يعود إلى كون الحزمة العليا والذي يطلق عليها حزمة التوصيل Conduction Band مليئة جزئياً بالالكترونات وهذا يكون ناشئاً عن أحد أمرين:

- فاما أن يكون المستوي الأصلي في ذرة الفلز مليء جزئياً وبهذا فإنه ينশطر إلى حزم بحيث تبقى الحزمة مليئة جزئياً
- أو أن تكون ناشئة عن حزمتين متداخلتين أحدها مليئة وتعود إلى مستوى مليء في الأصل وأخرى فارغة ناشئة عن مستوى أعلى وبهذا ينجم عن هذا التداخل حزمة مليئة جزئياً وكما هو مبين في الشكل (a).

**في المواد العازلة:** أما في المواد العازلة فتكون حزمة التكافؤ Valance band مليئة بالالكترونات وعلى العكس من ذلك تكون حزمة التوصيل band Conduction فارغة من الالكترونات. وأما بالنسبة إلى الفجوة المحظورة بين الحزمتين فتكون كبيرة جداً بالمقارنة مع الفجوة المحظورة في الفلزات أو أشباه الموصلات، وكما هو مبين في الشكل (b).

إن التوصيل الكهربائي يتطلب انتقال الإلكترون من حزمة التكافؤ المملوءة بالالكترونات إلى حزمة التوصيل الفارغة من الالكترونات عبر الفجوة المحظورة بينهما، أي أنه يجب على الإلكترون أن يكتسب طاقة لكي يتمكن من الانتقال من حزمة إلى حزمة ويطلق على هذه الطاقة ( $Eg$ ) بفجوة الطاقة.

**في المواد شبه الموصولة:** أما بالنسبة إلى المواد شبه الموصولة، فإن الفرق الأساس بينها وبين المواد العازلة يكمن في قيمة فجوة الطاقة التي تكون أقل بكثير من قيمة فجوة الطاقة في المواد العازلة وكما هو موضح في الشكل (c)

س) التوصيل الكهربائي في المواد العازلة قليل جداً. على ذلك؟

الجواب: وذلك لكون فجوة الطاقة كبيرة تجعل عدد الالكترونات المنقوله إلى حزمة التوصيل قليلة في درجات الحرارة الاعتيادية أو حتى في درجات الحرارة العالية.

إن قيمة فجوة الطاقة في الكثير من المواد العازلة تتراوح بين 3 إلى 10 إلكترون فولت أما التوصيل الكهربائي في المواد شبه الموصولة ف تكون معتدلة نوعاً ما عند درجات الحرارة العالية.

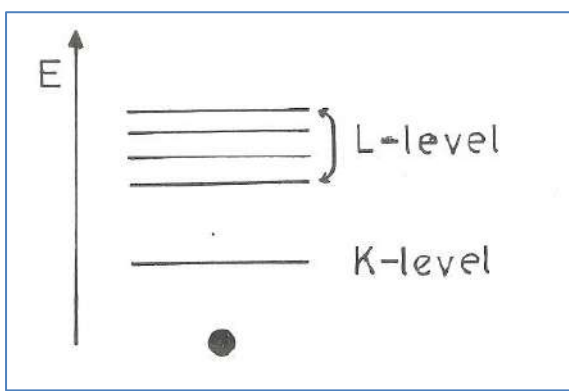
س) عند درجات الحرارة الواطئة فيكون التوصيل الكهربائي قليل جداً في المواد شبه الموصولة؟

الجواب: وذلك لأن حزمة التوصيل تكون فارغة عند درجة حرارة الصفر المطلقاً. وكلما ارتفعت درجات الحرارة ينتقل عدد كبير من الالكترونات إلى حزمة التوصيل وترتفع قيمة التوصيل الكهربائي إلى حد كبير.

## أصل فجوة الطاقة:

### مستويات الطاقة وحزم الطاقة:

- من المعروف أن الالكترونات في حركتها في الذرة تستقر في أغلفة حول النواة وفي مجموعات أو مستويات ذات طاقة محددة.
- تقل طاقة ارتباطها بالنواة كلما بعثت مستويات وجودها عن مركز النواة وبذلك يسهل انطلاقها بحرية في مجال نفوذها.
- ولا تتساوى طاقات الالكترونات الموجودة في غلاف واحد (عدا غلاف K) بل تتفاوت (زوجياً) بقدر قربها أو بعدها عن النواة.

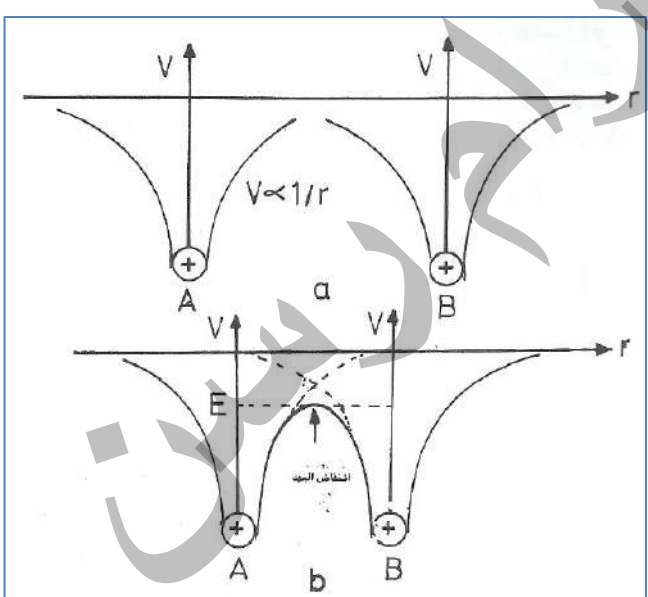


بين الشكل رسمًا توضيحيًا للذرة مفردة معزولة، عن باقي الذرات (أي بإهمال أثر الذرات الأخرى عليها) وفيه توضح المستويات التي يمكن أن تحتلها الالكترونات.

ويلاحظ أن الالكترونات تبدأ أولاً في شغل المستويات القرية من النواة (ذات الطاقة الأقل) وبحيث كل مستوى لا يمكن أن يحوي أكثر من إلكترونين فقط لهما دوران برمي يتعاكش في الاتجاه وذلك حسب قاعدة باولي للاستبعاد.

إن السؤال الذي يطرح نفسه الآن هو ماذا يحدث لهذه المستويات عند تجميع الذرات لتكوين المادة الصلبة؟

دعنا نأخذ ذرة منفردة، فإن الإلكترون يتحرك حول النواة ويكون تحت تأثير جاذبية النواة فإذا كان لهذا الإلكترون أن يتحرر من جذب النواة فعليه أن يعبر حاجز الجهد وهذا الجهد يتاسب عكسياً مع المسافة من النواة أي أن  $(V \propto \frac{1}{r})$  وهكذا يبدو منحنى الجهد وكما هو موضح في الشكل (a).

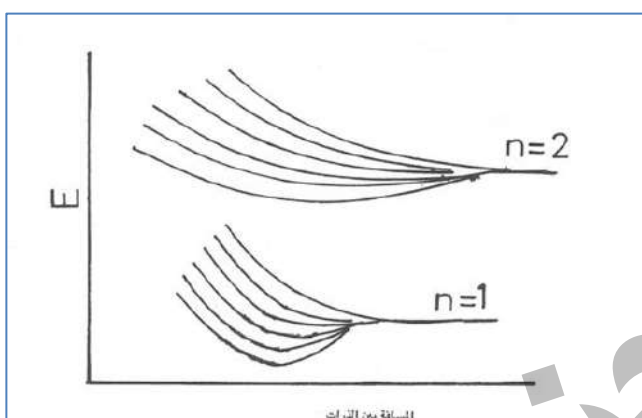


وألان إذا أخذنا الذرتين A وB وجعلناهما تقتربان الواحدة من الأخرى فإنه كلما ازداد التقارب بينها أصبحت قوة التجاذب بين النواة الواحدة والالكترونات الأخرى أشد وينجم عن ذلك أنه ينخفض حاجز الجهد في المجال ما بين الذرتين وكما يبدو ذلك في الشكل (b) في حين يبقى حاجز الجهد عالياً في الطرف الآخر للذرتين.

أن زيادة التقارب بين الذرتين يؤدي إلى تداخل أغلفتهما، وبهذا ينخفض حاجز الجهد بينها إلى الحد الذي يصبح فيه مستوى الطاقة E المبين في الشكل السابق واحداً لكل من

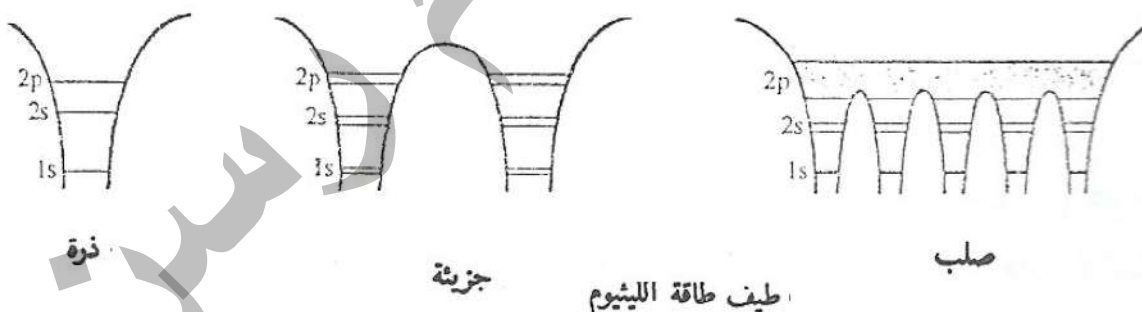
الذرتين. فإذا كان لكل مستوى إلكترون واحد فأن تداخل المستويين يعني أن المنسوب الموحد للذرتين سيضم الإلكترونين وعندئذ يتعدد التمييز بين إلكترون الذرة A والذرة B. إن احتواء المستوى لإلكترون لا يتعارض مع قاعدة باولي للاستبعاد شرط أن يكون للإلكترونين دوران برمي متعاكس ( $s=\pm 1/2$ ). في كل الأحوال يسع كل مستوى إلكترونان فان في الطاقة قليلا حيث لكل اتجاه دوراني طاقة.

ولكن الصورة تختلف إذا كان المستوى في الذرة المنفردة في الأصل يحتوي على إلكترونين فمثلا عند اللقاء أربعة ذرات من المادة فإن المستوى  $n=1$  في كل ذرة ويكون له إلكترونان فعند تداخل الأغلفة للذرات الأربع يصبح لدينا ثمانية إلكترونات بالمستوى نفسه وهذا يتناقض مع قاعدة باولي للاستبعاد ولهذا يتحتم عندئذ انشطار المستوى  $n=1$  إلى أربعه مستويات متقاربة بالطاقة وكل مستوى فيه إلكترونان.



ونستطيع أن نعمم هذا المبدأ بقولنا إنه إذا التقى  $N$  من الذرات في مادة فإن كل مستوى يجب أن ينسطر إلى  $N$  من المستويات وكل مستوى إلكترون إن المستوى الواحد يتحول إلى حزمة من المستويات level band تساوي بضع إلكترون – فولت وكما هو مبين في الشكل.

لأجل توضيح ذلك دعنا نأخذ فلز الليثيوم  $\text{Li}^3$  مثلا على إن ذرة الليثيوم تحتوي على ثلاثة إلكترونات موزعة على الأغلفة الثانوية  $2s^1$  وعند حل معادلة شرودينغر نحصل على طاقة منفصلة لذرة الليثيوم ويرمز لها  $1s, 2s, 2p$  وكما هو مبين في الشكل.

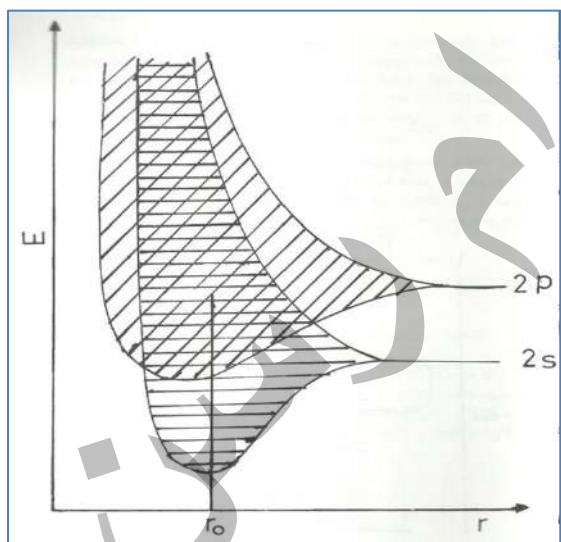


وألان إذا أخذنا ذرتين من الليثيوم وجعلناهما يقتربان الواحدة من الأخرى لتكون جزيئه الليثيوم  $\text{Li}_2$ . فإذا كان لكل غلاف موحد للذرتين يضم إلكترونين لها دوران برمي متعاكس ( $s=\pm 1/2$ ) ويمكنا طاقة مختلفة قليلا. عليه ينسطر الغلاف الموحد إلى مستويين فرعين للطاقة وكما هو مبين في الشكل اعلاه.

يعتمد مقدار الانشطار في كل مستوى وطاقة (غلاف موحد) أساساً على المسافة بين نواتي الذرتين المكونتين لجزيئه وعلى الغلاف الذري فمثلاً يكون الانشطار في الغلاف الثانوي  $2p$  أعلى من ذلك الانشطار في الغلاف الثاني  $2s$  ويكون الانشطار في الغلاف الثانوي  $1s$  أوطأ من ذلك الانشطار للغلاف الثانوي  $2s$ . إن تفسير ذلك أن، نصف قطر الغلاف الثانوي  $1s$  يكون صغيراً جداً، أي يكون الإلكترون في هذا الغلاف مقيداً بقوة إلى نواة ذرته ولا يتأثر كثيراً بالمجال الناشئ عن اقتراب ذرة من ذرة أخرى. ومن جهة أخرى يكون العكس صحيحاً، حيث يكون ارتباط الإلكترونات الأغلفة الثانوية  $2s$  و  $2p$  مضطرباً مع نوى ذراتها وذلك لكون نصف قطر  $2p, 2s$  كبيرة.

يمكن تعمم الاعتبارات المذكورة أعلاه لجزيئه  $Li$  المتعددة الذرات. فلجزيئية الليثيوم ذات الذرات الثلاثة ينশطر كل غلاف إلى مستويات بينما كل غلاف في جزيئه ذات أربع ذرات إلى مجموعة رباعية. وهكذا يمكن اعتبار الليثيوم الصلب حالة نهائية عندها يصبح عدد الذرات كبيراً جداً وينتج عنها بلورة صلبة.

وبموجب ما تقدم تنشطر الأغلفة الموحدة إلى  $N$  من المستويات الثانوية المتقاربة بعضها مع بعض حيث  $N$  تمثل عدد الذرات إلى تضمنها المادة الصلبة، ولما كان عدد الذرات  $N$  في المستويات الصلبة كبيراً جداً (حوالي  $10^{23}$  ذرة لكل مول) كانت المستويات الثانوية مقاربة جداً بعضها من بعض حيث يمكن لها أن تتدخّل بعضها ببعض لتتشكل ما يسمى بحزمة الطاقة Energy band. وعلى هذا الأساس تكون كل من الأغلفة الثانوية  $2p, 2s, 1s \dots 2p, 2s, 1s$  الخ حزم طاقة وكما هو مبين في الشكل (5.9c).



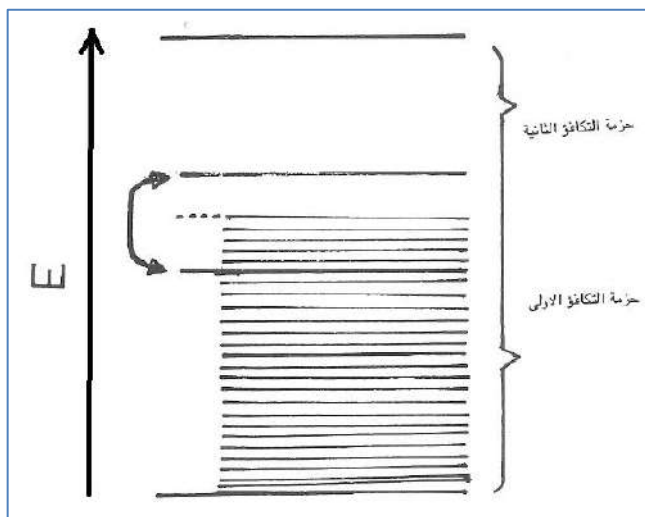
إن الفلزات في طبيعة بنيتها البلورية يحتم تقارب ذراتها من بعضها البعض بحيث لا يمكن اعتبار ذراتها معزولة عن بعضها البعض بحيث أن كل ذرة تؤثر ب المجالها على جارتها وهذا التأثير في الحقيقة متبدّل بينها. فدلاً من إن تحتلّ مستويات الطاقة المختلفة في الذرة حدوداً ضيقة في حالة الذرة المعزولة فعد أن هذه الحدود أو المستويات تتّوسع في حدودها كلما اقتربت ذراتان من بعضها البعض فتأخذ شكل حزم من مستويات عديدة الطاقة. وهذه الحزم تشتد في توسيعها بصفة خاصة في مستويات الأغلفة الخارجية وكما هو مبين في الشكل.

إن هذا التوسيع يتوقف على المسافة الذرية (r). فإذا كانت هذه المسافات صغيرة أشدّ التوسيع في كل مستوى حتى تتدخّل الحزم الناتجة لها. بينما لو كانت المسافات كبيرة بين التوسيع في حدود ضيقة فلا يحدث تداخل بل تبقى فجوات gaps بينها، وحزم الطاقة الناتجة تحتوي في حد ذاتها على مستويات طاقة عديدة متباينة. وهذه المستويات يمكن أن يشغلها ويمرّ عبرها الكترونات، إذا أعطي للإلكترونات طاقة كافية تسمح برفعها وتواجدها في هذه المستويات. أي أن هذه المستويات الجديدة في حزم

الطاقة تعتبر مرات ل تلك الالكترونات التي يؤهلها مستوى طاقتها للارتفاع إليها. وتتوارد مستويات الطاقة المكونة للحزم بإعداد فضخمة يمكنها أن تستوعب مرور كل الإلكترون.

(من الغاز الإلكتروني) في كل ذرة والتي يساوي عددها عدد ذرات الفلز. ولكن هذه الإلكترونات إما أن تكون أحادية في الغلاف الواحد أو ثنائية.

- فإذا كان الفلز ثانوي التكافؤ فهذا يعني أن الالكترونات تشغّل حزمة بكمّلها.
- أما إذا كان الفلز أحادي التكافؤ فهذا يعني أن الالكترونات تشغّل نصف الحزمة.



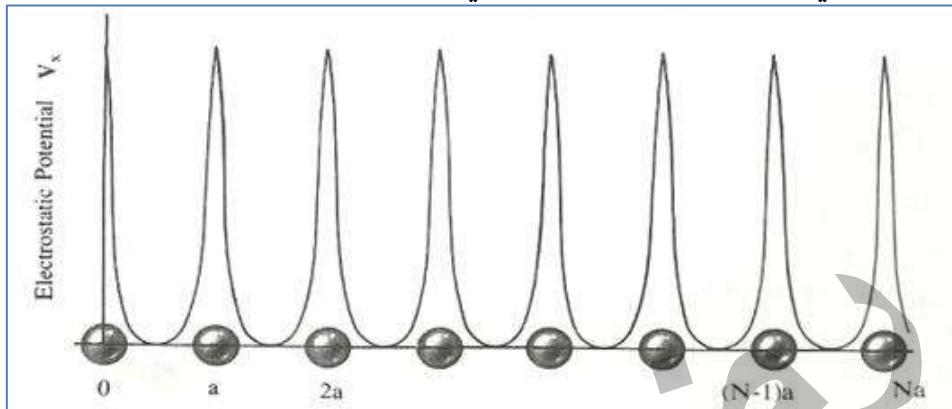
في بعض الفلزات يكون رص الذرات فيها بدرجة كبيرة تجعل من الحزم المتكونة تقترب من بعضها البعض فتتضاءل الفجوات وقد تتلاشى بل قد يحدث تداخل بين الحزم وكما هو مبين في **الشكل السابق** والشكل التالي وفي هذه الحالة لا يبذل الغاز الإلكتروني أي مجهود لإيجاد مسارات له إذ أن الحزمة الثانية متصلة في تدرج مستويات طاقتها مع مستويات الحزمة الأولى وبالتالي يتصنّف الفلز بأنه **جيد التوصيل للكهربائية**.



أما في الفلزات الأحادية فإن الالكترونات الغاز الإلكتروني لا تشغّل كل الحزمة الأولى وكما مبين في **الشكل** وبالتالي تبقى بها مسارات فارغة تصلح لمراور الالكترونات دون إعطاء طاقة عالية لها حيث يكفي الجهد لرفع هذه الالكترونات.

## الجهد الدوري ونظرية بلوخ:

كما هو معروف أن القلوب الأيونية الموجبة في البلورة المثالية تترتب على شكل صفوف دورية منتظمة، وتكون في حالة غير مستقرة حيث تهتز حول موقع توازنها. تتحرك الإلكترونات الحرة بوجود جهد دوري **Periodic potential** ناتج من ترتيب قلوب الأيونات الموجبة في الشبكة وكما هو مبين في الشكل.



لقد تمكّن بلوخ من دراسة الجهد لكل دورية الشبكة أي جهد البلورة واستنتج إن الجهد يتضمن جزئيين أساسين هما:

**أولاً: جهد كهروستاتيكي**  $V_i(r)$  ينشأ عن تفاعل إلكترون التوصيل مع جميع القلوب الأيونية الموجبة إلى تشكيل شبكة البلورة. إن هذا الجزء من جهد البلورة  $V_i(r)$  يجب أن يمتلك الدورية الانتقالية للشبكة المثالية نفسها ( $\bar{R}$ ) (أي عند إهمال اهتزاز القلوب الأيونية الموجبة).

**ثانياً: جهد**  $V_e(r)$  ينشأ من تفاعل إلكترون التوصيل وبقية الإلكترونات التوصيل (إلكترون بلوخ) المتحركة خلال شبكة البلورة. إن هذا الجهد يجب أن يكون جهداً دورياً لكي تتحقق متطلبات التعادل الكهربائي في البلورة والأخذ بنظر الاعتبار فكرة التناقض بين إلكترون وأخر.

وعلى هذا الأساس يمكن كتابة الجهد الكلي للبلورة بـ:

$$V(\bar{r}) = V_i(\bar{r}) + V_e(\bar{r})$$

وألاّن وبعد معرفة الجهد الكلي يمكن كتابة معادلة شرودينغر بالصيغة الرياضية التالية:

$$\left[ -\frac{\hbar^2}{2m} \nabla^2 - eV(\bar{r}) \right] \psi = E\psi$$

وممكن كتابة الجهد الكلي الدوري لإلكترون التوصيل بالصيغة التالية:

$$U(r) = -eV(\bar{r})$$

وبالتعميّض نحصل على:

$$\left[ -\frac{\hbar^2}{2m} \nabla^2 + u(\bar{r}) \right] \psi = E\psi$$

لقد تمكنا بلوخ من حل المعادلة الاخيرة لتعطي نوعين من الحلول:

$$\psi(\bar{r}) = u_k(\bar{r}) e^{\pm 2\mu\bar{r}}$$

$$\psi(\bar{r}) = u_k(\bar{r}) e^{\pm i.j.k}$$

✓ الحل الأول غير محدود حيث أن الدالة الموجية  $\psi(\bar{r})$  تؤول إلى ما لا نهاية عندما تؤول إلى ما لا نهاية لذلك فلهذا الحل يمثل أمواج متقدمة Progressive wave غير موجودة بالشبكة.

✓ أما الحل الثاني فيمثل أمواجا موقوفة Stationary Wave وتسمى هذه المعادلة بنظرية بلوخ.

في الحلين السابقين  $\bar{k}$  هي متوجه الموجة الذي يرافق طول موجة ديرولي اي  $(\bar{k} = \frac{2\pi}{\lambda})$  وزخم ديرولي  $(\bar{p} = \hbar\bar{k})$  حيث يدعى الزخم  $\bar{p}$  بالزخم البلوري للإلكترون.

إن  $u_k(\bar{r})$  هي دالة موجية لا تتوقف على الزمن ولكن على متوجه الموجة  $\bar{k}$  فقط الذي ينسب عادة إلى زخم الإلكترون فضلاً عن امتلاكه تماثلاً انتقالياً  $\bar{R}$  اي لها نفس دورية الشبكة وهذا يعني أن:

$$u_k(\bar{r}) = u_k(\bar{r} + \bar{R})$$

حيث إن  $(\bar{R})$  تمثل المتوجه الانتقالى للشبكة وبتعويض المعادلة الاخيرة في الحل الثاني نحصل على:

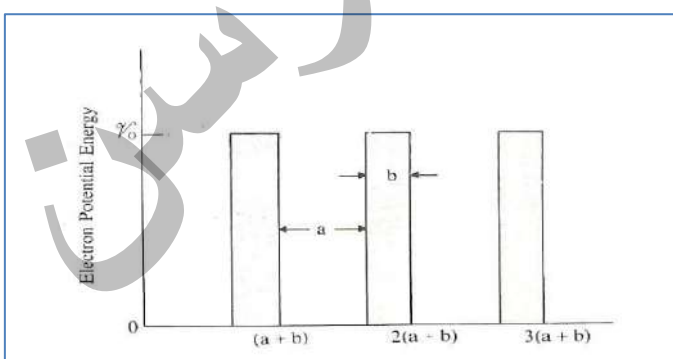
$$\psi_k(\bar{r} + \bar{R}) = u_k(\bar{r} + \bar{R}) e^{i\bar{k}(\bar{r} + \bar{R})}$$

$$\psi = \psi_k(\bar{r}) e^{i\bar{k}\bar{R}}$$

وندعى هذه المعادلة بدالة بلوخ.

إن ملخص نظرية بلوخ تنص على أن الدوال الذاتية لمعادلة موجة مرافق الإلكترون تحت تأثير جهد دوري تكون بصيغة حاصل ضرب موجة مستوية متقلقة  $e^{ikr}$  مع الدالة ذات دورية مثل تلك لشبكة البلورة  $(\bar{R})$

### نموذج كروينج وبيني:



لتوضيح وجود مناطق من الطاقة مسموح بها للإلكترون وأخرى محظورة عليه وضع كروينج وبيني نموذجاً من بعد واحد يمثل شبكة خطية مكونة من ذرات تبعد بعضها مسافة  $(a + b)$  وكما هو مبين في

الشكل. يمكن تمثيل الخواص المميزة لانتشار الأمواج الإلكترونية على هذه الشبكة بتركيب دوري مربع له نفس دورية الشبكة ويمثل بئر الجهد الذي تتحرك عليه الإلكترونات، لقد اعتبر الطاقة الكامنة متساوية صفراء في مناطق مثل  $(0 < x < a)$  بينما اعتبرها متساوية  $(u_0)$  في مناطق مثل  $a < x < a + b$  ولذلك تكون دورية الشبكة (period) في

حيث ان  $b$  تمثل سمك حاجز الجهد وان  $a$  يمثل اتساع بئر الجهد. إن الدوال الموجية إلى استخدامها كروينج وبيني لحل معادلة شروdonker الخطية في اتجاه ( $x$ ) تكون بصيغة  $(\psi(x) = u_k(x)e^{ikx})$  حيث إن  $(x) u_k$  تمثل دالة معدلة modulating للموجات المستوية المنتقلة ولها دورية الشبكة نفسها. لقد تمكن كروينج وبيني من حل معادلة شرودونكر

$$\frac{d^2(k)}{dx^2} + \frac{8\pi^2 m}{\hbar^2} (E - u_0) \psi(k) = 0$$

$$\frac{d^2 u(k)}{dx^2} + 2ik \frac{du(k)}{dx} + \frac{8\pi^2 m}{\hbar^2} (E - E_k - v) u_k = 0$$

يمكن حل معادلة شرودونكر للمناطق المتميزتين وهما:  
أولاً: في المنطقة  $x < a$  أي داخل بئر الجهد يكون حل المعادلة على هذا الشكل  
 $u_1(k) = A e^{i(\alpha-k)x} + B e^{-i(\alpha+k)x}$

حيث أن

$$\alpha = \sqrt{\frac{8\pi^2 m}{2\hbar^2} E} = \frac{2\pi}{\hbar} \sqrt{2mE}$$

ثانياً: في المنطقة  $(a < x < b)$  أي داخل حاجز الجهد يكون حل المعادلة على هذا الشكل:

$$u_2(k) = C e^{(\beta-ik)x} + D e^{-(\beta+ik)x}$$

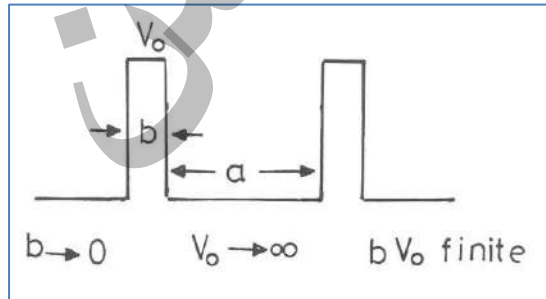
حيث أن

$$\beta = \left[ \frac{8\pi^2 m}{\hbar^2} (u_0 - E) \right]^{\frac{1}{2}}$$

إن الحل النهائي للمعادلات يؤدي إلى:

$$\left[ \frac{\beta^2 - \alpha^2}{2\beta\alpha} \right] \sinh \beta b \sin \alpha a + \cosh \beta b \cos \alpha a = \cosh(a + b)$$

والحصول على حل بسيط فقد اجري كروينج وبيني التقرير التالي والموضح في الشكل.



لقد اعتبر كروينج وبيني أن سماكة حاجز الجهد أصغر جداً ويؤدي للصفر كما اعتبرا إن ارتفاع حاجز الجهد  $V_0$  كبيراً جداً ويؤدي إلى ملا نهائية. ولكن يبقى حاصل الضرب  $bV_0$  محدود القيمة.

إن هذا التقرير لا يغير من طبيعة الحل النهائي ولكن فقط يسهل إيجاد حل للمشكلة باستخدام العلاقات الرياضية البسيطة كما يأتي:  
أ- فإذا كانت  $V_0 \rightarrow \infty$  فإن قيمة  $E$  تكون صغيرة نسبياً ولذلك يجد أن قيمة  $\beta$  تصبح

$$\beta = \left( \frac{8\pi^2 m}{h^2} \right)^{1/2}$$

تعويض هذه الفرضيات في معادلة الحل النهائي نحصل على:

$$\cos ka = \cos \alpha a + P \frac{\sin \alpha a}{\alpha a}$$

حيث أن

$$P = \frac{4\pi^2 m V_0 ab}{h^2}$$

وان

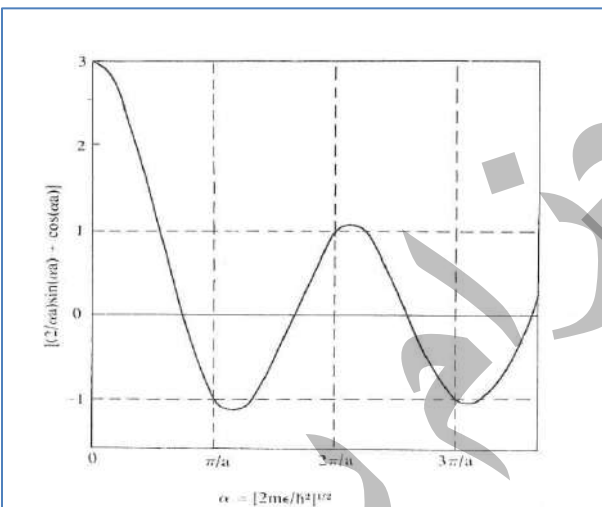
$$\alpha = \left( \frac{8\pi^2 m E}{h^2} \right)^{1/2}$$

ولدراسة المعادلة نرسمها بيانيًا، ليكن الطرف الأيسر من المعادلة يقع على المحور X والطرف الأيمن يقع على المحور Y وكما هو مبين في الشكل.

نلاحظ إن الطرف الأيسر من المعادلة  $\cos ka$  أخذ قيمة واحدة فقط لكل قيمة ل K أي لكل قيمة طاقة الكترونية E.

كما إن دالة جيب التمام تجعل حدود التغير للطرف الأيسر من المعادلة لا تتعدى  $\pm 1$  هي قيم تغير  $\cos ka$  ما بين أقل قيمة وأكبر قيمة.

لذلك فكل قيمة  $\alpha a$  التي تعطي قيمة للطرف الأيمن من المعادلة أكبر من 1 أو أقل من -1 تعتبر غير حقيقة.



يمثل المحور السيني ( $\alpha a$ ) محوراً للطاقة الإلكترونية وتكون بذلك قيم الطاقة الإلكترونية الممثلة بقيمة  $\alpha a$  التي تعطي قيمة للطرف الأيمن من المعادلة داخل الحدود  $\pm 1$

هي فقط القيم المسموح بها لطاقة الإلكترون. إما القيم الأخرى التي تخرج بقيمة الطرف الأيمن من هذه الحزمة فهي كلها قيم غير حقيقة أو بمعنى آخر قيم غير مسموح بها.

من هنا يتضح وجود حزم للطاقة مسموح بها وأخرى محظورة. أي أن الجهد الدوري لذرات الشبكة قد جعل وجود حزم محظوظ من الطاقة الإلكترونية لا يمكن لأي إلكترون أن يتواجد بداخليها. ويلاحظ أنه كلما ازداد ارتفاع بئر الجهد (أي إن  $V_0 b$  تزداد) نجد إن اتساع هذه الحزمة المحظورة يقل.

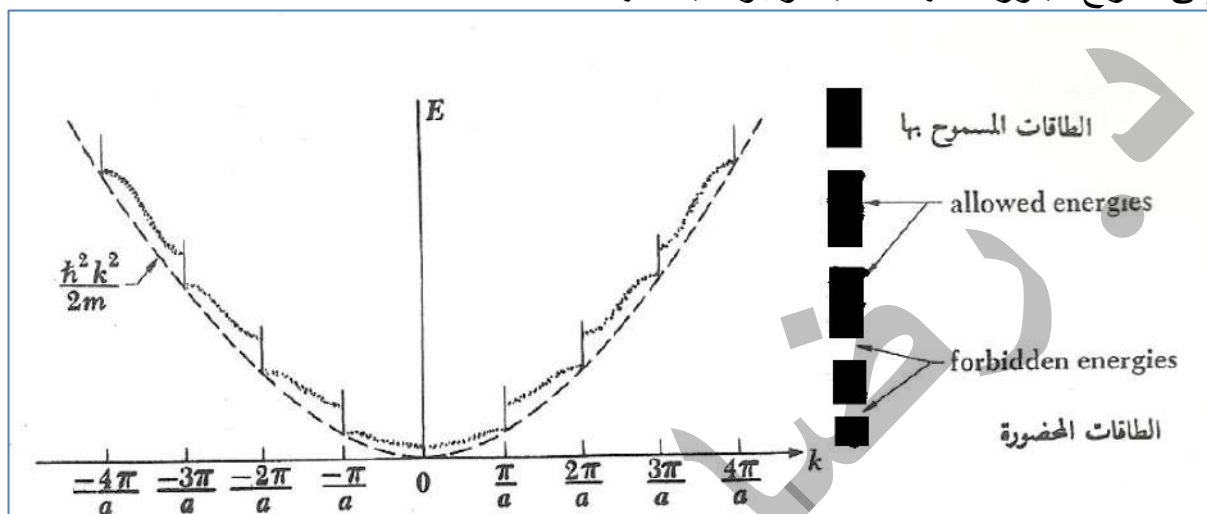
إذا رسمت العلاقة بين طاقة الإلكترون ومقلوب طول الموجة المرافق نحصل على الشكل التالي والذي فيه تظهر الحزم المحظوظة من الطاقة، يلاحظ من الشكل وجود انقطاع في

$$k = \frac{2\pi n}{a} \quad \text{و بما إن}$$

فعليه نحصل على

$$n\lambda = 2a$$

إن هذه المعادلة هي نفس معادلة براك التي تعطي انعكاسا قويا للإلكترونات الساقطة عموديا على سطح البلورة. إن هذا يعني أنه تبعا لقانون براك فإن أي إلكترون يتحصل داخل البلورة على طاقة تدخله في المنطقة المحظورة يستطرد ويعكس على المستويات الذرية إلى خارج البلورة لأنها لا تقبل وجوده بداخليها.



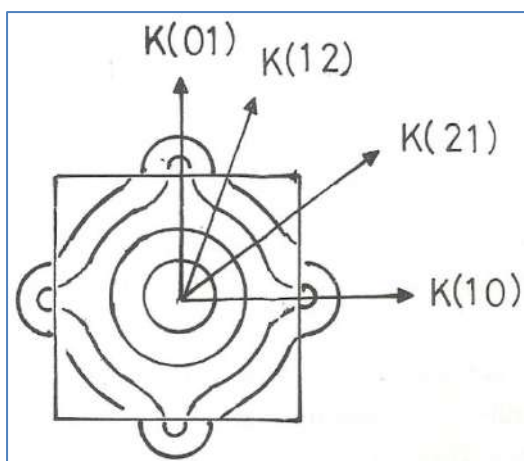
## 9.5 مناطق برليون في نظرية الحزم

سبق أن تكلمنا عن مناطق برليون وقلنا أن نظرية الحزم يمكن تفسيرها معتدلا على مفهوم الشبكة المقلوبة، أي على الفضاء المقلوب  $k \cdot space$ . إن مناطق برليون تعد أصغر حجم في الفضاء المقلوب ويحوي على نقطة شبيكة مقلوبة مركزية في داخله، يحاط الحجم من قبل مجموعة من المستويات تكون عمودية على المسافات التي تربط نقطة الشبيكة المتمرزة مع نقاط الشبيكة المقلوبة المجاورة لها.

## 9.6 سطح فيرمي Fermi surface

إن سطح فيرمي عبارة عن سطح في فضاء متوجه الموجة  $k$  ذي طاقة ثابتة تساوي  $E_F$ . يعد سطح فيرمي ذو أهمية في تفسير الكثير من الظواهر الفيزيائية خاصة في فيزياء الحالة الصلبة. إن شكل ومواصفات سطح فيرمي لفلز ما ذو أهمية كبيرة في تحديد الخواص الإلكترونية لذلك الفلز حيث يعزى سريان التيار الكهربائي في الفلز إلى التغيرات الحاصلة في احتمالية الإشغال للحالات الإلكترونية قرب سطح فيرمي. يعتمد شكل سطح فيرمي على التفاعل بين الإلكترونات والشبكة ولذلك يحدد شكل سطح فيرمي بواسطة هندسة المنحنيات المغلقة للطاقة Contours Energy في الحزمة حيث يعتبر سطح فيرمي نفسه منحنى مغلق للطاقة.

دعنا نفترض أن بلورة ذات بعدين وأنها فارغة من الالكترونات وافرض أن البنية البلورية لها منطقة برليون الأول على شكل مربع. دعنا نبدأ الآن بملء الشبكة تدريجيا بالالكترونات،



إذا وصلنا النقط المختلفة في فضاء متوجه الموجة والتي يكون لها نفس الطاقة الالكترونية نحصل على إشكال دائرية طالما كانا بعيدين عن حدود منطقة برليون. إن حركة الالكترونات في هذه الدوائر تكون غير مقيدة ولكن إذا اقتربنا من حدود المنطقة نجد أن منحنيات تساوي الطاقة Contours Energy إذ أن قيمة  $K$  تكون أكبر في الأركان عنها عند الجوانب. مثلا  $k(21) < k(10)$  كما هو مبين في الشكل.

إن الاستمرار في إضافة الكترونات للبلورة تمتلئ أركان منطقة برليون الأولى تماما. وبعد هذه المرحلة لن يدخل أي الكترون في المنطقة الثانية إلا إذا كانت طاقته من الكبر بحيث يستطيع تخطي المنقطة الممنوعة للطاقة بين منطقتي برليون الأولى والثانية.

#### الكتلة الفعالة للإلكترون:

عندما تنتشر الموجة  $e^{i(kx+\omega t)}$  في وسط التشتت فإن سرعة الموجة تساوي  $\frac{\omega}{k}$ . بينما سرعة مجموعة الأمواج  $V_g = \frac{d\omega}{dk}$  في بعد واحد وتساوي  $(\nabla_k \cdot \omega)$  ( $\text{grad}_k \omega$ ) في ثلاثة ابعاد. أن الإلكترون الواقع تحت تأثير جهد دوري يتوجه بال نسبة للشبكة عند تسليط مجال كهربائي خارجي عليه ولكن لا يحافظ على كتلته الاعتيادية ( $m$ ) في فضاء الحر، بل تتغير إلى ما يسمى **بالكتلة الفعالة** ويرمز لها بالرمز  $m^*$ . اذن، فعندما يتعرض الإلكترون داخل البلورة إلى قوة خارجية  $F$ ، فإن مقدار التغير الحاصل في طاقته في زمن  $dt$  يساوي

$$\frac{dE}{dt} = -F \cdot V_e$$

حيث أن  $V_e$  تمثل سرعة الإلكترون:

$$E = \hbar\omega$$

$$\bar{P} = \hbar \bar{k}$$

والتي تساوي

$$V_e = \nabla_p \cdot \omega = \frac{1}{\hbar} \nabla_k E$$

$$V_e = \text{grad}_p \cdot \omega = \frac{1}{\hbar} \text{grad}_k E$$

نوضع  $V_e$  في المعادلة الأولى نحصل على:

$$\frac{dE}{dt} = -F \cdot \frac{1}{\hbar} \nabla_k E$$

$$\therefore dE = \frac{1}{\hbar} F \cdot \nabla_k E dt$$

وبما أن

$$E = \hbar \omega \quad \frac{dE}{dk} = \nabla_k E$$

$$\therefore dE = \nabla_k E \cdot dk$$

فمن المعادلتين نحصل على:

$$\frac{1}{\hbar} F \cdot \nabla_k E dt = \nabla_k E \cdot dk$$

$$\frac{1}{\hbar} F \cdot \nabla_k E dt - \nabla_k E \cdot dk = 0$$

$$\nabla_k E \left[ \frac{1}{\hbar} F \cdot dt - dk \right] = 0 \quad \text{أو}$$

ولكن  $0 \neq \nabla_k E$  وذلك لأن قيمة  $k$  غير ثابتة لوجود المجال الكهربائي، وعليه فأن

$$\frac{1}{\hbar} F \cdot dt - dk = 0 \quad \therefore F = \hbar \frac{dk}{dt}$$

وبذلك فإن القوة تمثل معدل تغيير زخم البلورة ( $\hbar k$ ) crystal momentum . إن الإلكترون تحت تأثير هذه القوة يتحرك بتعجيل مقداره

$$\vec{a} = \frac{dv_e}{dt} = \frac{1}{m} \vec{F} \quad \frac{1}{\hbar} \nabla_k \frac{dE}{dt} = \frac{1}{\hbar} \nabla_k \vec{F} \cdot \vec{v}$$

أو

$$\vec{a} = \frac{1}{m^*} \vec{F} = \frac{1}{\hbar^2} \nabla_k [\vec{F} \cdot \nabla_k E]$$

إن المعادلة الأخيرة لها صيغة قانون نيوتن الثاني في الحركة بشرط أن نعد المقدار

$$\left( \frac{1}{m^*} = \frac{1}{\hbar^2} \frac{d^2 E}{dk^2} \right)^{-1}$$

$$F=ma \quad \frac{1}{m^*} = \frac{a}{F}$$

$$\frac{1}{m^*} = \frac{1}{\hbar^2} \frac{d^2 E}{dk^2} = \left[ \frac{\left( \frac{d^2 E}{dk^2} \right)}{\hbar^2} \right]$$

ولذلك يمكن تعريف الكتلة الفعالة  $m^*$  بالصيغة التالية

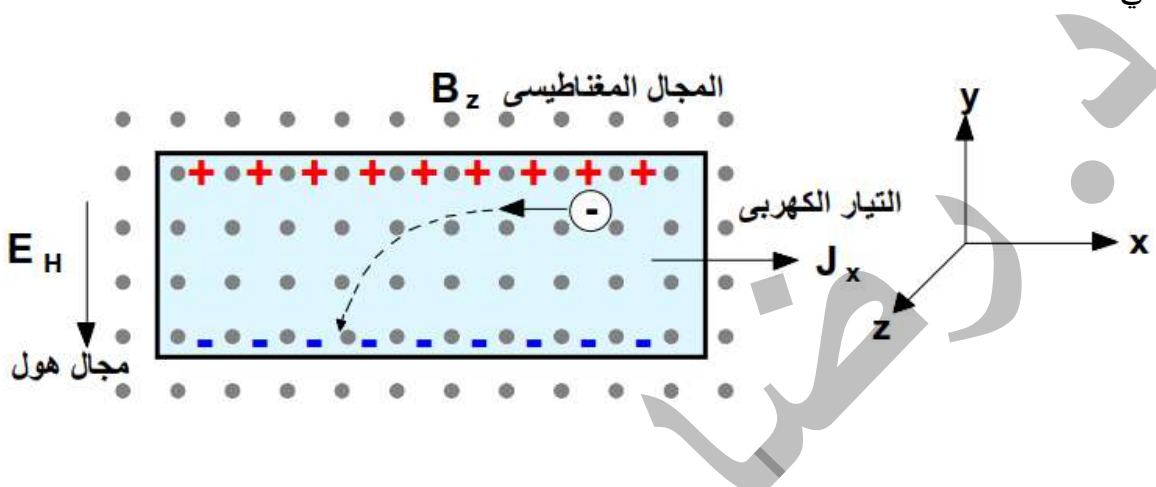
$$m^* = \hbar^2 / (d^2 E / dk^2)$$

وهكذا نجد أنه إذا كانت  $F$  تمثل القوة الخارجية المؤثرة على الإلكترون في مادة صلبة دورية ذي بعد واحد وكان  $\bar{a}$  يمثل التعجيل الفعلي للإلكترون ناشيء عن كل من القوة الخارجية  $F$  وتفاعل الإلكترون وجهد البلورة فإن الإلكترون بلوخ يتصرف مثل الإلكترون الحر (في خارج المادة الصلبة) ذي كتلة فعالة لا تعطي بالعلاقة  $F = m^* a$ . تختلف  $m^*$  عن كتلة الإلكترون الحر ( $m$ ) من حيث أنها ليست كمية ثابتة وموجبة الإشارة دائماً ولكن تكون  $m^*$  مساوية  $m$  عندما يكون الإلكترون بلوخ إلكتروناً حرراً وتعطى طاقته بالعلاقة:

$$\left( E = \frac{\hbar^2 k^2}{2m} \right)$$

**تأثير هول :Hall's Effect**

عندما يمر تيار كهربائي كثافته  $J_x$  في سلك باتجاه محور  $X$  تحت تأثير مجال مغناطيسي عمودي على هذا الاتجاه شدته  $B_z$  يتولد مجال كهربائي عمودي على كل من التيار الكهربائي والمجال المغناطيسي اي في اتجاه محور  $y$  تعرف هذه الظاهرة بتأثير هول ويمكن توضيحها بالشكل الاتي:



لفهم هذا التأثير نفترض اولا حاله ما قبل تطبيق المجال المغناطيسي في هذه الحاله يتدفق التيار الكهربائي في الاتجاه الموجب لمحور  $X$  وهذا يعني ان الكترونات التوصيل تتحرك بسرعه انجراف  $v$  في الاتجاه السالب لمحور  $X$ . عند تطبيق المجال المغناطيسي فان الالكترونات تقع في نفس الوقت تحت تأثير قوة لورنتز (Lorentz force) مقدارها  $\vec{F} = -e(\vec{v} \times \vec{B})$  وتسبب هذه القوه انحصار لحركة الالكترونات في الاتجاه الاسفل كما هو مبين بالشكل أعلاه.

ومع مرور الوقت تتكدس الالكترونات على السطح الاسفل و تتولد نتيجة للاستقطاب شحنات موجبه مساويه على السطح العلوي. يولد تراكم الشحنات السالبة و الموجبة على السطحين السفلي والعلوي مجالا كهربائيا يسمى مجال هول.

لحساب مجال هول افترض ان قوه لورنتز التي تؤدي الى تراكم الشحنات في المكان الاول تكون في الاتجاه السالب لمحور  $y$  وتعطي بالعلاقة

$$F_L = ev_x B_z$$

اختفاء الإشارة السالبة (نتيجة الضرب الاتجاهي) من المعادلة السابقة يعني  $F_L$  تكون سالبة وذلك لأن  $v_x$  تكون في الاتجاه السالب لمحور  $X$  كما موضح في الشكل السابق.

ينتج المجال المكون من الشحنة الموجودة على السطح قوه تعاكس قوه لورنتر تستمر عمليه تراكم الشحنة حتى تساوي قوه هول ( $F_H$ ) تماما مع قوه لورنتر و نحصل على حالة اتزان عند هذه الحالة تكون

$$-F_H = -e v_x B_z \quad \text{وبالتالي نحصل على, } F_L = F_H$$

نقسم على e

$$E_H = v_x B_z \quad \text{ويسمى هذا المجال بمجال هول.}$$

احيانا يكون من المفيد التعبير عن هذا المجال بكميات قابله لقياس ولذلك يتم التعبير عن السرعة  $\nabla \times$  بدلالة كثافة التيار:

$$J_x = N(-e)v_x$$

وهذا يؤدي الى ان المجال:

$$E_H = \frac{-1}{Ne} J_x B_z$$

يتضح من المعادلة السابقة ان مجال هول يتاسب طرديا مع كل من كثافه التيار و شده المجال المغناطيسي و يعرف ثابت التناسب  $(\frac{E_H}{J_x B_z})$  هذا ثابت هول ويرمز له عادة بالرمز  $R_H$ . وهكذا يكون ثابت هول على الصورة:

$$R_H = -\frac{1}{N e}$$

تعتبر النتيجة السابقة مهمة جدا من الناحية العلمية. وبما ان ثابت هول يتاسب عكسيا مع كثافه الالكترونات (N) فان هذا يعني اننا يمكننا تعين N بواسطه قياس جهد هول عمليا وتعتبر هذه الطريقة هي الطريقة القياسي لتعيين تركيز الالكترونات في المادة. ومن الناحية العملية فان هذه التقنيه ذات اهميه عملية لأنها بخلاف N، فان الكميه الاخرى التي يعتمد عليها ثابت هول هي شحنه الالكترون (-e) وهي ثابت فيزيائي اساسي وقيمته معروفة بدقة.

من السمات الاخرى المفيدة لثابت هول والتي تعطي معلومات اضافية عن المادة هي ان اشاره الثابت تحدد نوع حاملات التيار حيث تدل الإشارة السالبة على حاملات التيار هي الالكترونات (كما في الفلزات) بينما

تدل الإشارة الموجبة على ان حاملات التيار هي الفجوات الموجبة (كما في اشباه الموصلات) حيث يمكن كتابة معاملها للفجوات التي ترکیزها  $P$  كمایلی:

$$R_H = \frac{1}{P e}$$

ثابت هول	المعدن	ثابت هول	المعدن
- 0.72	Au	- 2.50	Na
+ 0.60	Cd	$-1.7 \times 10^{-10}$	Li
+ 0.30	Zn	- 0.55	Cu
- 0.30	Al	- 0.84	Ag

$$R_e = -\frac{1}{n_e e} \quad \text{تركيز الالكترونات} = n_e$$

والأشارة السالبة نتيجة الشحنة السالبة للألكترون

$$R_h = \frac{1}{n_h e} \quad \text{تركيز الفجوات} = n_h$$

في هذه الحالة مقدار موجب بسبب شحنة الفجوة الموجبة في المعادن لا توجد الفجوات فقط ولكن دائما توجد بعض الالكترونات، وبالتالي عندما تتدخل حزمتين معا فإن الألكترون توجد في الحزمة العليا بينما توجد الفجوات في السفلة. في هذه الحالة، يمكن كتابة ثابت هول لكل من الالكترونات والفجوات على الصورة،

$$R = -\frac{R_e \sigma_e^2 + R_h \sigma_h^2}{(R_e + R_h)^2}$$

حيث  $\sigma_e$  و  $\sigma_h$  هي التوصيلية الكهربائية للألكترونات والفجوات على الترتيب

$$\sigma_h = \frac{n_h e^2 \tau_m}{m} \quad \sigma_e = \frac{n_e e^2 \tau_m}{m}$$

أن إشارة ثابت هول تكون سالبة أو موجبة طبقاً للمشاركة السائدة من الالكترونات أم من الفجوات.  
وبفرض أن  $n_e = n_h$  كما في حالة المعادن فان  $R_e = R_h$ .

## المعادن، العوازل، اشباه الموصلات:

بصورة عامة يعتمد تحديد خواص المادة الصلبة ذات تركيب معين اهـ هو موصل ام عازل على معرفة عدد الالكترونات الحرة لكل خلية أولية. اذ من هذا العدد يمكن الاستدلال على نطاق الطاقة اهـ هو مملوء تماماً ام فارغ تماماً ام مملوء جزئياً. وعلى هذا الأساس يمكن تحديد هوية المواد الصلبة في الطبيعة كالاتي:

**اولاً:** يكون الصلب موصل دائمـاً عندما يمتلك الكتروناً حرـاً واحدـاً لكل خلية أولية مثل المعادن الأحادية التكافؤ كالمعادن القلوية مثل  $\text{Ag}$ ,  $\text{Au}$ ,  $\text{Cu}$  والمعادن الكريمية مثل  $\text{Li}$ ,  $\text{Na}$ ,  $\text{K}$ ,  $\text{Cs}$ ,  $\text{Rb}$  في حالة النحاس يكون نصف نطاق التكافؤ (النطاق 4s) مملوءـاً لأن كل خلية أولية في تركيبه fcc تـشـهـمـ بالـكـتـرـونـ وـاحـدـ فـقـطـ. أي ان كل صلب من المعادن القلوية والكريمية يمتلك نطاق تكافؤ نصف مملوءـ ( او منـطـقـةـ بـرـليـوـنـ نـصـفـ مـمـلـوـءـةـ).

**ثانياً:** يكون الصلب دائمـاً موصلـاً عندما يمتلك عدـداً فـرـديـاً من الالكترونات الحرة لكل خلية أولية. في كل من  $\text{Al}$ ,  $\text{Ga}$ ,  $\text{In}$ ,  $\text{Tl}$  تـوجـدـ ثـلـاثـ الـكـتـرـونـاتـ حـرـةـ فيـ كـلـ ذـرـةـ تـسـتـطـعـ انـ تـمـلـئـ تـامـاًـ نـطـاقـ واحدـاًـ فـضـلاـ عـنـ مـلـئـهاـ لـلنـطـاقـ التـالـيـ إـلـىـ حدـ النـصـفـ لـذـلـكـ تـعـدـ عـنـاصـرـ موـصـلـةـ.

اما العناصر  $\text{Bi}$ ,  $\text{Sb}$ ,  $\text{As}$  التي تتبلور بتركيب ذي ذرتين لكل خلية أولية وان كل ذرة تمتلك خمسة الكترونات حرة فلا تـعـدـ معـادـنـ بـلـ شـبـهـ معـادـنـ لأنـ العـشـرـةـ الـالـكـتـرـونـاتـ الـتـيـ تـضـمـنـهاـ الخـلـيـةـ الأولـيـةـ تـمـلـأـ خـمـسـةـ انـطـقـةـ وـلـكـنـ النـطـاقـ الخـامـسـ يـكـونـ فـيـ الغـالـبـ غـيرـ مـمـلـوـءـ تـامـاًـ.

**ثالثـاً:** ان امتلاك صـلـبـ لـعـدـدـ زـوـجـيـ مـنـ الـالـكـتـرـونـاتـ حـرـةـ لـكـلـ خـلـيـةـ أولـيـةـ لاـ يـعـنيـ اـنـهـ مـادـةـ عـازـلـةـ بـلـ قـدـ تـكـوـنـ مـادـةـ موـصـلـةـ. وـيـتـوـقـفـ ذـلـكـ عـلـىـ كـوـنـ الـانـطـقـةـ مـتـفـاـوـتـةـ اوـ مـتـرـاكـبـةـ. فـمـثـلاًـ فـلـزـاتـ اوـ مـعـادـنـ الـاـتـرـبـةـ الـقـلـوـيـةـ كـالـعـنـاصـرـ  $\text{Ca}$ ,  $\text{Sr}$ ,  $\text{Ba}$ ,  $\text{Ra}$  الثانية التكافؤ يـمـتـلـكـ كـلـ مـنـهـ الـكـتـرـونـ لـكـلـ خـلـيـةـ أولـيـةـ لـذـلـكـ يـجـبـ انـ يـكـونـ كـلـ مـنـهـ مـادـةـ عـازـلـةـ وـبـسـبـبـ تـرـاكـبـ الـانـطـقـةـ تـتـصـرـفـ هـذـهـ الـعـنـاصـرـ كـانـهـ مـعـادـنـ وـلـكـنـهاـ لـيـسـ مـعـادـنـ جـيـدةـ جـداـ.

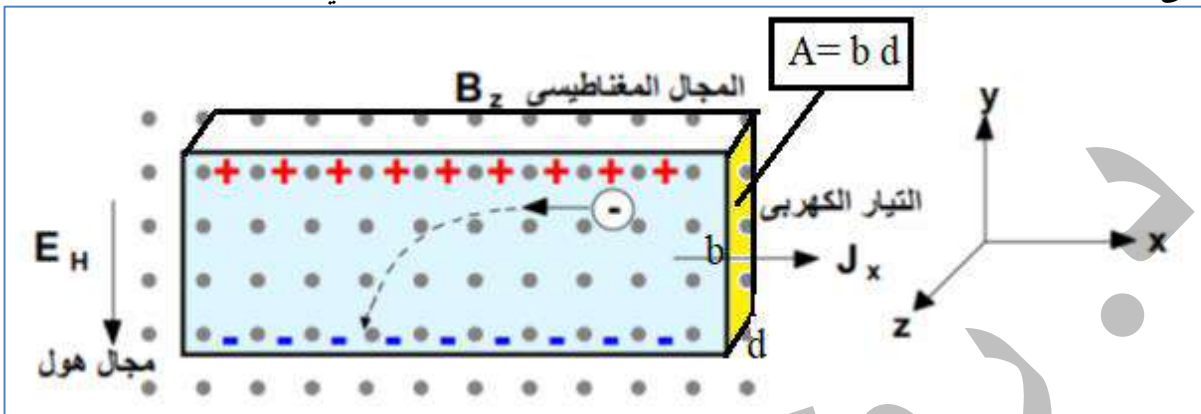
**رابـعاً:** تكون العناصر الرباعـيةـ التـكـافـؤـ موـصـلـاتـ اوـ شـبـهـ موـصـلـاتـ اوـ عـواـزلـ. فـمـثـلاًـ يـتـبـلـورـ كـلـ مـنـ المـاسـ وـالـسـيلـيـكـونـ وـالـجـرـمـانـيـوـمـ يـتـرـكـيبـ ذـيـ ذـرـتـيـنـ لـكـلـ خـلـيـةـ أولـيـةـ وـكـلـ ذـرـةـ تـمـتـلـكـ أـرـبـعـةـ الـكـتـرـونـاتـ تـكـافـؤـ ايـ تـضـمـنـ الـخـلـيـةـ الـأـولـيـةـ ثـمـانـيـةـ الـكـتـرـونـاتـ تـكـافـؤـ. وـيـكـونـ المـاسـ النـقـيـ وـالـسـيلـيـكـونـ وـالـجـرـمـانـيـوـمـ مـادـةـ عـازـلـةـ عـنـدـ OKـ. بـيـنـمـاـ يـعـدـ السـيلـيـكـونـ وـالـجـرـمـانـيـوـمـ مـادـةـ شـبـهـ موـصـلـةـ عـنـدـ درـجـةـ حرـارـةـ الغـرـفـةـ. كـمـاـ انـ الـمـاسـ يـنـتـقـلـ لـلـحـالـةـ الـمـعدـنـيـةـ تـحـتـ ضـغـطـ عـالـيـ حـوـالـيـ 1.5ـ مـيـكـاـبـارـ. اـمـاـ عـنـصـرـ الـقـصـدـيـرـ  $\text{Sn}$ ـ فـيـكـونـ موـصـلـ فـيـ طـورـ وـشـبـهـ موـصـلـ فـيـ طـورـ اـخـرـ حـيـثـ انـ التـرـكـيبـ الـبـلـوـرـيـ يـغـيـرـ شـكـلـ منـطـقـةـ بـرـليـوـنـ الـأـولـىـ وـمـنـ ثـمـ تـغـيـرـ فـسـحةـ الطـاقـةـ.

**خامـساً:** اـمـاـ الـعـنـاصـرـ الـاـنـتـقـالـيـةـ اوـ التـحـوـيـلـيـةـ وـمـنـهـ عـنـاصـرـ زـمـرـةـ الـحـدـيدـ مـثـلـ  $\text{Ni}$ ,  $\text{Co}$ ,  $\text{Fe}$ ,  $\text{Mn}$ ,  $\text{Cr}$ ـ فـتـتـمـيـزـ بـقـشـرـتـهاـ الدـاخـلـيـةـ 3dـ النـاقـصـةـ (ـغـيرـ المـمـلـوـءـ تـامـاًـ)ـ فـيـ ذـرـةـ الـحـدـيدـ حـيـثـ تـتـوـزـعـ الـالـكـتـرـونـاتـ كـالـاتـيـ:  $\text{Fe}: [1s^2 2s^2 2p^6 3s^2 3p^6 3d^6] 4s^2$

تـكـوـنـ سـتـةـ حـالـاتـ الـكـتـرـونـيـةـ مـشـغـلـةـ فـقـطـ مـنـ اـصـلـ عـشـرـ حـالـاتـ مـمـكـنـةـ لـلـقـشـرـةـ 3dـ عـلـىـ الرـاغـمـ مـنـ قـيـامـ الـكـتـرـونـيـنـ أـخـرـيـنـ باـشـغـالـ القـشـرـةـ الـخـارـجـيـةـ 4sـ. وـلـذـلـكـ يـعـانـيـ النـطـاقـ dـ تـقـاطـعـاـ وـتـهـجـيـنـاـ مـعـ النـطـاقـ sـ وـانـ أـيـ مـنـهـ لـاـ يـكـونـ مـمـلـوـءـ تـامـاـ وـلـذـلـكـ تـعـدـ عـنـاصـرـ زـمـرـةـ الـحـدـيدـ فـيـ حـالـتـهاـ الـصـلـبـةـ موـصـلـاتـ. وـبـصـورـةـ عـامـةـ تـرـاكـبـ الـانـطـقـةـ 4s, 4p, 3dـ فـيـ زـمـرـةـ الـحـدـيدـ حـيـثـ يـكـونـ عـدـ الـالـكـتـرـونـاتـ الـمـتـوفـرـةـ غـيرـ كـافـ لـمـلـءـ هـذـهـ الـانـطـقـةـ.

اماـ فيـ معـادـنـ الـاـتـرـبـةـ النـادـرـةـ مـثـلـ  $\text{Ce}$ ,  $\text{Pr}$ ,  $\text{Nd}$ ,  $\text{Sm}$ ,  $\text{Eu}$ ـ فـتـكـوـنـ قـشـرـتـهاـ الدـاخـلـيـةـ 4fـ مـمـلـوـءـ جـزـئـيـاـ وـلـذـلـكـ يـمـكـنـ اـنـ يـحـدـثـ تـرـاكـبـ يـشـمـ الـانـطـقـةـ 6p, 6s, 5d, 4fـ وـبـمـوجـبـ ذـلـكـ تـعـدـ الـاـتـرـبـةـ النـادـرـةـ فـيـ حـالـتـهاـ الـصـلـبـةـ موـصـلـاتـ مـثـلـ بـلـورـاتـ زـمـرـةـ الـحـدـيدـ.

مثال(تأثير هول): شريط من النحاس عرضه  $b=1 \text{ cm}$  وسمكه  $d=0.1 \text{ cm}$  يمر خلاله تيار كهربائي شدته  $20 \text{ Amp}$  كما في الشكل. عند تسليط مجال مغناطيسي منتظم كثافته فيضه  $1.2 \text{ Tesla}$  بصورة عمودية على سطحه ظهر فرق جهد مقداره  $18 \mu\text{V}$  بين نقطتين متقابلتين واقعتين على عرض الشريط. جد سرعة انسياب الالكترونات؟ واوجد عددها في المتر المكعب الواحد؟



$$E_H = E_y = v_x B_z = \frac{V}{b}$$

$$v_x * (1.2) = \frac{18 * 10^{-6}}{1 * 10^{-2}}$$

$$v_x = \frac{18 * 10^{-4}}{(1.2)} = 1.5 * 10^{-3} \text{ m/s} \quad \text{سرعة انسياب الالكترونات} =$$

$$J_x = \frac{I}{A} = \frac{20}{1 * 10^{-2} * 0.1 * 10^{-2}} = 20 * 10^5 \text{ A}$$

$$E_H = \frac{-1}{Ne} J_x B_z$$

$$\frac{E_H}{J_x B_z} = \frac{1}{Ne}$$

$$E_H = \frac{V}{b} = \frac{18 * 10^{-6}}{1 * 10^{-2}} = 18 * 10^{-4} \frac{V}{m}$$

$$\frac{18 * 10^{-4}}{20 * 10^5 * 1.2} = \frac{1}{N * 1.6 * 10^{-19}}$$

$$N = \frac{20 * 10^5 * 1.2}{18 * 10^{-4} * 1.6 * 10^{-19}}$$

$$N = 8.3 * 10^{27} = 0.83 * 10^{28} \text{ electron/m}^3$$

وتساوي عدد الالكترونات في المتر المكعب الواحد

### **الفصل السابع: العيوب البلورية**

**العيوب النقطية** – التغرات – عيوب شوتكي – عيوب فرنكل – العيوب الخطية – الانخلاءات – الانخلاء الحافي  
– الانخلاء البري – العيوب السطحية – العيوب الحجمية

**العيوب البورى:** هو اختلال في استمرارية ترتيب الذرات المنتظم في الشبكة. أي انه عدم الانتظام في البنية البلورية. وت تكون العيوب البلورية في اثناء عملية النمو البلوري. تخليص البلورات كلباً من الشوائب والعيوب امراً مستحلاً اما تقليلها اصبح ممكناً.

ان للعيوب البلورية تأثير كبير على تغيير الخواص الفيزيائية كالتوسيع الكهربائي والتوصيل الحراري وأيضاً تأثير كبير على تغيير الخواص البصرية والميكانيكية للمواد الصلبة.

الا ان فوائد العيوب الكبير في مجالات عديدة جعلت العلماء يتجهون لخلق العيوب في المواد الصلبة. حيث وجد العلماء ان تغيير الخواص الفيزيائية (كهربائية، ميكانيكي، بصرية، حراري) نحو الأحسن وحسب الحالة واشهرها تعليم المواد شبه الموصلة حسب المعاصفات المطلوبة مثل إضافة  $Mg$  لبلورة فلوريد الليثيوم  $LiF$  لتسخدم كمجس للأشعة (بلورة قياس جر عات التألق الحراري  $LiF/Mg$ ).

**أهم أنواع العيوب هي:**

- 1- العيوب النقطية (العيوب ذات البعد الصفرى)  
الفراغات (عيوب شوتكي ، عيوب فرنكل) ، الذرات الإضافية
- 2- العيوب الخطية (الانخلاءات)(عيوب أحادية البعد)  
- الانخلاء الحافي - الانخلاء البرمي
- 3- العيوب السطحية (عيوب ثنائية البعد)  
- حدود الحبيبات - خطأ التراص - التوائم
- 4- العيوب الحجمية (الحقالية) (عيوب ثلاثة الأبعاد)

ان التحكم في كثير من الخواص المهمة للبلورات يعتمد على طبيعة تركيب البورة ومنها:

1. التحكم بالتوسيع الكهربائي للمواد شبه الموصلة تنسب الى نسبة الشوائب.
2. التحكم بالمقاومة الميكانيكية: تتحدد بوساطة العيوب في تركيبها بالنسبة للبلورات مثل (الحديد رخواً في حالته النقية ولكن خلطه بالكاربون ومعادن اخرى تزداد مقاومته الميكانيكية).
3. تعجيل انتشار ذرات في بلورة بواسطة شوائب او عيوب بلورية.
4. انخفاض او ارتفاع درجة حرارة انصهار البلورة يعتمد على وجود عيوب.
5. التألق او الضيائية يرتبط مع وجود الشوائب.
6. الألوان التي ترى بها كثير من البلورات تنشأ عادة من عيوبها التركيبية.

### **العيوب النقطية:**

العيوب النقطية هي انحراف او اختلال في موقع ذرة او موقع عدد قليل من الذرات المجاورة. وهي اما ان تكون :

- فراغات (الفجوات) او (ثغرات)
- ذرات اضافية:

#### **الذرة الإضافية الاستبدالية**

**الذرة الإضافية البنية (الذرة الإضافية الخلالية):** وهي نوعين:

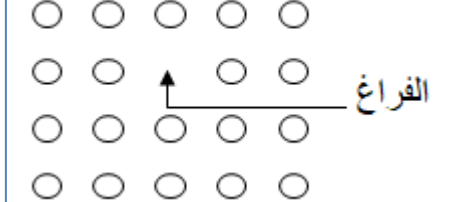
ذرة إضافية بينية ذاتية

ذرة إضافية بينية شائبة (شوائب بنية)

- عيوب شوتكي
- عيوب فرنكل

تكون العيوب النقطية مألوفة في بلورات المعادن والبلورات الايونية والتساهمية ولكن غير مألوفة في البلورات الجزيئية وتتأثر هذه العيوب يكون في اللون والضيائية والتوصيلية الكهربائية.  
س) لماذا سمى العيب النقطي بهذا الاسم؟

ج) لانه يحدث في منطقة صغيرة جداً بالنسبة لحجم البلورة، ولهذا تُعد هذه المنطقة كنقطة في فضاء كبير



**الفراغ (الثغرة):** وهو عبارة عن حيز الذرة المفقودة ضمن الترتيب المنظم للشبكة ويحدث نتيجة عيب في الرص الذري اثناء عملية الانماء البلوري جراء التذبذب الحراري حول مواقعها في الشبكة عند درجات الحرارة العالية. ونقصد بالثغرة هو فراغاً شبيكياً او فجوة في النسق البلوري.

س) في المعادن ، كما هو الحال في المواد الصلبة الأخرى ، يتم إنشاء الفراغ (الثغرة) عن طريق الإثارة الحرارية ، بشرط أن تكون درجة الحرارة مرتفعة بما فيه الكفاية ، علل ؟

ج) لأنه مع اهتزاز الذرات حول مواقعها العادية، يكتسب البعض من الذرات طاقة كافية لمغادرة الموقع تماماً.

س) عندما تغادر الذرة العادية، تكون المنطقة المحيطة بالفراغ مشوهة أي سيتم توليد اضطراباً في تركيب البلورة، علل؟

ج) بسبب استرخاء الشبكة، كما كانت، من أجل ملء الفراغ الذي تركته الذرة جزئياً. هذا يساهم كذلك في عدم انتظام الشبكة في الجوار المباشر للفراغ (الثغرة).

**الذرات الإضافية:** وهو وجود ذرة اضافية داخل البنية البورية ويطلق عليها بالشوائب وتكون على نوعين:

1- الأستبدالية . 2- البنية.

**الذرة الإضافية الأستبدالية:** اذا احتلت الذرة الإضافية موقع الذرة الأصلية .

**الذرة الإضافية البنية (الذرة الإضافية الخالية):** اذا احتلت الذرة الإضافية موقع ما بين الذرات الأصلية ولربما تكون من نفس النوع او ذرة شائبة.

حيث ان الذرات البنية تكون على نوعين:

**ذرة إضافية بنية ذاتية:** حيث تكون الذرة البنية من نفس نوع ذرات الشبكة ويتم ذلك بإزاحة الذرة الأصلية من موقعها الى موقع ببني.

**ذرة إضافية بنية شائبة (شوائب بنية):** الذرات البنية تكون من نوع اخر يختلف عن الذرات الأصلية البنية البلورية.

س) الذرات الصغيرة فقط يمكن أن توجد بأعداد كبيرة كشوائب بنية، علل؟

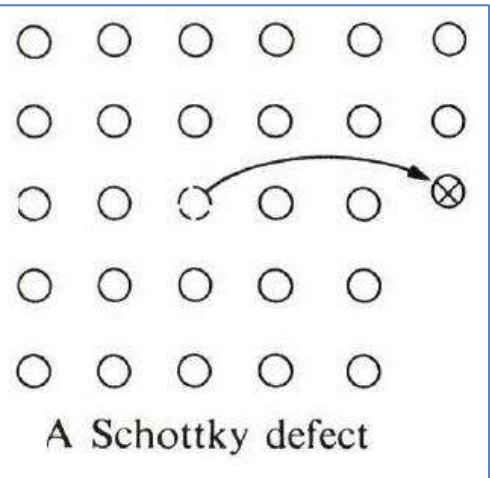
ج) لأن المساحة بين ذرات المادة الأصلية (المضيف) (host atoms) صغيرة ، خاصة في المعادن ، حيث تكون الذرات معبأة بإحكام.

س) كيف يتم إضافة الشوائب للبنية البلورية؟

ج) يتم إضافة الشوائب الى البنية البلورية بعدة طرق أهمها:

1- طريقة النمو البلوري. 2- طريقة الانتشار. 3- طريقة الغرس الايوني.

س) في المواد الصلبة ذات الرص المحكم من الصعب جداً ان تحتوي بنيتها على ذرات بينية؟  
ج) وذلك لصغر الحيز بين الذرات حيث لا يمكن ان يستوعب ذرة إضافية مثل النحاس والخارصين.  
اما في الرص غير المحكم يمكن للذرة الشائبة ان تحل مكان بنيها خاصة اذا كان حجمها صغير جداً أي بنصف قطر A 0.8.



**عيوب شوتكي:** اذا كانت الذرة او الذرات المزالة او المهاجرة عن موقعها الشبيكي النظامي بمراحل متعددة وتستقر في آخر الامر عند سطح البلورة.

❖ أي ان عيب شوتكي يعني حدوث فراغات (ثغرات) في البلورة من دون وجود ذرات إضافية ذاتية تقابل تلك الثغرات.

❖ فعيوب شوتكي هو فقدان احدى الذرات من موقعها الأصلي الى خارج البلورة (أي الى سطح البلورة) تاركة وراءها حيزاً من الفراغ.

❖ يحدث عيب شوتكي في البلورات الايونية مثل كلوريد الصوديوم.

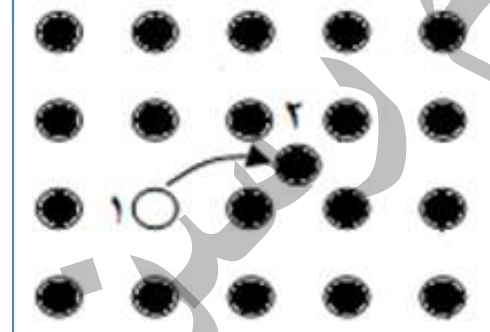
**عيوب فرنكل:** اذا كانت الذرة او الذرات المزالة عن موقعها الشبيكي النظامي تُقْحَم الى مواضع بينية. أي إزالة ذرة من مكانها في الشبكة البورية واقحامها في موقع بيني (موقع لا يشغل بواسطة الذرات).

**عيوب فرنكل يتضمن زوجاً:**  
خلق فجوة او ثغرة + ذرة إضافية (ذرة بينية ذاتية)

تسحب الذرة من الموقع (1) وتوضع بالموقع (2)" يبقى الموقع (1) فارغاً وتوضع الذرة في الموقع (2). .

❖ أي ان عيب فرنكل ناشئ عن ثغرة وذرة بينية".  
س) عيب فرنكل يحتاج الى مقدار من طاقة اكبر مما يحتاجه عيب شوتكي، علّ؟

ج) بسبب الطاقة المرنة الإضافية اللازمة لادخال الذرة المزاحة بين ذرات الشبكة الأخرى في وضع بيني (خلالي)، حيث يتطلب عيب فرنكل كمية كبيرة من الطاقة، ولهذا السبب لا يوجد عادة في المعادن إلا في ظل ظروف خاصة.



س) ناقش بآيجاز أسباب عدم وجود عيب فرنكل عادة في المعادن إلا في ظروف خاصة?  
ج) بسبب الطاقة المرنة الإضافية اللازمة لادخال الذرة المزاحة بين ذرات الشبكة الأخرى في وضع بيني (خلالي)، حيث يتطلب عيب فرنكل كمية كبيرة من الطاقة، ولهذا السبب لا يوجد عادة في المعادن إلا في ظل ظروف خاصة.  
س). لماذا توجد الفراغات (الثغرات) عادة فقط بالقرب من الأسطح الحرة وحدود الحبوب والان exclatations، وليس داخل البلورة المثالية؟

لأنه فقط على الأسطح أو الحدود أو الان exclatations يمكن إنشاؤها بدون تشكيل ما يصاحب ذلك من تشكيّلات بينية. وبعبارة أخرى، فإن هذه العيوب المتمدة تعمل كمصادر للفراغات.

### حساب عدد ثغرات شوتكي المسبب عن التهيج الحراري:

لأجل حساب عدد ثغرات شوتكي المسببة عن التهيج الحراري. افرض بلورة في حالة اتزان حراري عند درجة حرارة  $T$  وان كل ذرة تهتز جيئة وذهاب حول موضع اتزانها وعندئذ يكون معدل طاقتها  $3k_B T$

عند درجة حرارة الغرفة  $K 300^{\circ}K (27^{\circ}C)$ .

الطاقة  $3K_B T$  تكون حوالي  $eV 0.78$  عند درجة حرارة الغرفة  $K 300^{\circ}K (27^{\circ}C)$  وهي اقل بكثير من الطاقة اللازمة لتكوين ثغرة  $E$  التي تكون بحدود واحد  $eV$ . وهذا يقودنا الى الاعتقاد بعدم وجود احتمالية لنشوء ثغرات في بلورة عند درجة حرارة الغرفة.

بموجب الميكانيك الإحصائي: حيث ان عامل بولتزمان للإتزان الحراري هو  $(e^{-E/K_B T})$  سيتناقص بازداد شديد كلما تزداد  $E$  ويعني هنالك احتمالية ضعيفة جداً للذرة لأن تمتلك طاقة عالية ولكن تزداد هذه الاحتمالية كلما ارتفعت  $T$ .

- افرض ان  $N$  هو للعدد الكلي للذرارات في بلورة لكل وحدة حجم  $E$  تمثل الطاقة اللازمة لتوليد ثغرة.

- وان الثغرات لكل وحدة حجم  $n$  اي التركيز المتنزد للثغرات ولهذه  $(N-n)$  يمثل العدد الكلي من الذرات في البلورة بعد طرح الثغرات.

وبهذا يمكن كتابة معادلة تتضمن معامل بولتزمان و  $(E)$  (الطاقة اللازمة لتكوين ثغرة)

$$n = (N - n)e^{-E/K_B T} \quad n \ll N \quad \text{عندما}$$

$$\therefore n = Ne^{-E/K_B T}$$

مثال: افرض لديك بلورة عدد ذراتها  $(N = 10^{29})$  ذرة  $| m^3$  عند درجة حرارة الغرفة  $K 300^{\circ}K (27^{\circ}C)$  وطاقة التكوين لثغرة شوتكي هي  $(E = 1eV)$  فأحسب عدد الثغرات  $n$ .

$$n = Ne^{-E/K_B T}$$

$$n = 10^{29} e^{-1 \times 1.6 \times 10^{-19} / 1.38 \times 10^{-23} \times 300}$$

$$n = 10^{29} e^{1.6 \times 10^2 / 4.14} \approx 10^{12} / \text{ثغرة}$$

$$\frac{n}{N} = \frac{10^{12}}{10^{29}} = 10^{-17} \quad \text{عند } 300^{\circ}K$$

عدد الثغرات النسبي يكون صغير لأن  $E \ll K_B T$ .

اما عندما ترتفع درجة الحرارة الى  $900^{\circ}K$  وعندئذ يرتفع عدد الثغرات الى ما يقارب الى  $10^{23} / \text{ثغرة}$  وستكون النسبة تقريباً  $(\text{التركيز}^7) 10^{-7} \simeq \left(\frac{n}{N}\right)^7$ .

ارتفاع درجات الحرارة من 300 الى 900 كلفن سيؤدي الى زيادة نسبية حادة وكبيرة جداً في عدد الثغرات تقدر بحوالي عشرة الاف مليون مرة  $10^{10}$ .

**ملاحظة:** يمكن حساب طاقة تكوين الثغرة من المعادلة:

$$n = N e^{-E/K_B T}$$

$$\left(\frac{n}{N}\right) = e^{-E/K_B T}$$

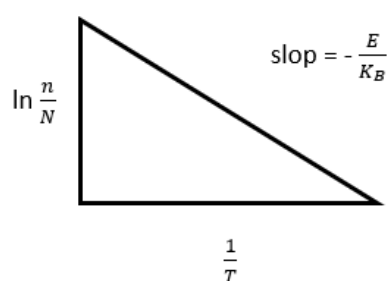
$$\ln \left(\frac{n}{N}\right) = -\frac{E}{K_B T} = \left(-\frac{E}{K_B}\right) \frac{1}{T}$$

$$\ln \left(\frac{n}{N}\right) = \left(-\frac{E}{K_B}\right) \frac{1}{T}$$

$$y = -m x$$

$$\text{slop} = -\frac{E}{K_B}$$

$$E = -\text{slop} \times K_B$$



ومن تحديد قيمة الميل يمكن حساب  $E$

**تراكيز عيوب شوتكي في بلورة آيونية (ثانية):**  
 ان وجود الثغرات في البلورة يزيد من القصور الذاتي او الأنترولي  $S$  للبلورة وبهذا تكون الطاقة الحرّة للبلورة اصغر من تلك الطاقة للبلورة مثالية . ان هذا التغيير بالطاقة الحرّة لهيلم هولتز  $\Delta F$  مساوياً للتغيير في الطاقة الكلية للبلورة  $\Delta U$  مطروحاً منه حاصل ضرب درجة حرارة البلورة مع تغيير الأنترولي.

$$\Delta F = \Delta U - T \Delta S \quad \dots \dots \dots \quad 1$$

$$S = K_B \ln P \quad \dots \dots \dots \quad 2$$

$K_B$  ثابت بولتزمان &  $P$  احتمالية التوزيع (عدد الطرائق او الأساليب التي يمكن لذرات البلورة ان تستخدمها لترتيب نفسها داخل البلورة).

البلورات الآيونية تفضل تكوين تراكيز متكافئة من الثغرات الآيونية الموجبة والسلبية (المحافظة على التعادل الكهربائي الاستاتيكي).

$$N = +n = -n$$

وبهذا تكون الاحتمالية الكلية التي يمكن تكوين ازواج من الفراغات الموجبة والسلبية.

$$P = \left[ \frac{N!}{(N-n)!n!} \right]^2 \quad \dots \dots \dots \quad 3$$

تعوض المعادلة (3) في (2) والناتج يعوض في المعادلة (1) نحصل على:

$$\Delta F = n E_P - K_B T \ln \left[ \frac{N!}{(N-n)!n!} \right]^2 \quad \dots \dots \dots \quad 4$$

وباستخدام التقريب:

$$\ln(x!) \approx x \ln x - x, \quad \text{for } x \gg 1$$

$$\ln \left[ \frac{N!}{(N-n)!n!} \right]^2 \cong 2 [N \ln N - (N-n) \ln(N-n) - n \ln n] \dots \dots \quad 5$$

الان اذا افترضنا  $E_P$  تمثل الطاقة اللازمة لإزالة زوج من الايونات من باطن بلورة (طاقة التكوين لزوج من الثغرات). وبتعمويض المعادلة (5) في المعادلة (4) نحصل على:

$$\Delta F = n E_P - 2 K_B T [N \ln N - (N-n) \ln(N-n) - n \ln n] \dots \dots \quad 6$$

عند حالة الاتزان الحراري يكون التغير في طاقة هيلم هولتز الحرّة عند ادنى مستوى لذلك تكون المشتقة الأولى لهذا التغير  $\Delta F$  بالنسبة الى التغير في عدد ازواج التقويب  $n$  عند درجة حرارة  $T$  مساوية صفرأ اي ان :

$$\frac{\delta(\Delta F)}{\delta n} = 0 = E_P - 2 K_B T [\ln(N-n) \ln n]$$

$$= E_P + 2 K_B T \ln \left[ \frac{n}{N-n} \right]$$

$$- E_P / 2 K_B T = \ln \left[ \frac{n}{N-n} \right]$$

$$\therefore n = (N-n) e^{-E_P / 2 K_B T} \quad n \ll N$$

$$n = N e^{-E_P / 2 K_B T} \dots \dots \dots \quad 7$$

**عيوب فرنكل:** تنشأ من إزاحة ذرة او آيون من احد مواقع نقاط شبكة نظرية في باطن بلورة واحتلالها موقعاً في باطن تلك البلورة (ينشأ فراغ وذرّة بينية) (زوج) اما حساب تركيزها في البلورة

$$n = (NN^-)^{\frac{1}{2}} e^{-E_P / 2 K_B T}$$

- افرض ان  $N$  هو العدد الكلي من الذرات في بلورة لكل وحدة حجم

-  $E_I$  تمثل الطاقة اللازمة لترحيل ذرة عن موضع نقطة شبكة الى موضع بيني (خلالي).

- عدد الذرات بينية لكل وحدة حجم ( $n$ ) التي تكون في حالة اتزان مع عدد مشابه من ثقوب الشبكة.

-  $\bar{N}$  يمثل العدد الكلي من الذرات في البلورة بعد طرح الثغرات.

$$\therefore n \cong (N\bar{N})^{\frac{1}{2}} e^{-E_I / 2 K_B T}$$

**عيوب الشبكة:**

إذا امتد العيب أو الاختلال ليشمل مساحات عديدة من البلورة فيسمى عندئذ بالعيوب الشبكية. وتنقسم عيوب الشبكة إلى ثلاثة أنواع:

- **العيوب الخطية (الانخلاعات)** (عيوب أحادية البعد) وتشمل: الانخلاع الحافي & الانخلاع البرمي
- **العيوب السطحية (عيوب ثنائية البعد)** وتشمل: حدود الحبيبات & خطأ التراص & التوائم
- **العيوب الحجمية (الحقلية)** (عيوب ثلاثية الأبعاد)

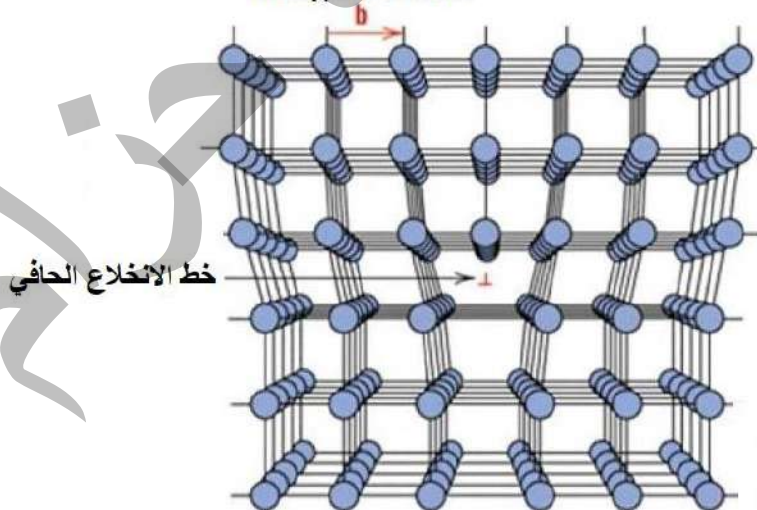
**العيوب الخطية:**

سمى العيوب الخطية بهذا الاسم نظراً لأنه يكون على امتداد مسارات خطية. والعيوب الخطية تدعى بالانخلاعات Dislocations . والانخلاعات تؤثر بصورة كبيرة على الخواص الميكانيكية للمادة الصلبة حيث تضعف مقاومة المادة تحت تأثير الاجهاد كثيراً.

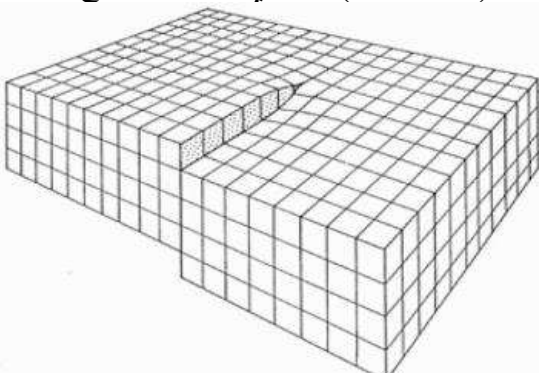
وتنقسم إلى نوعين:

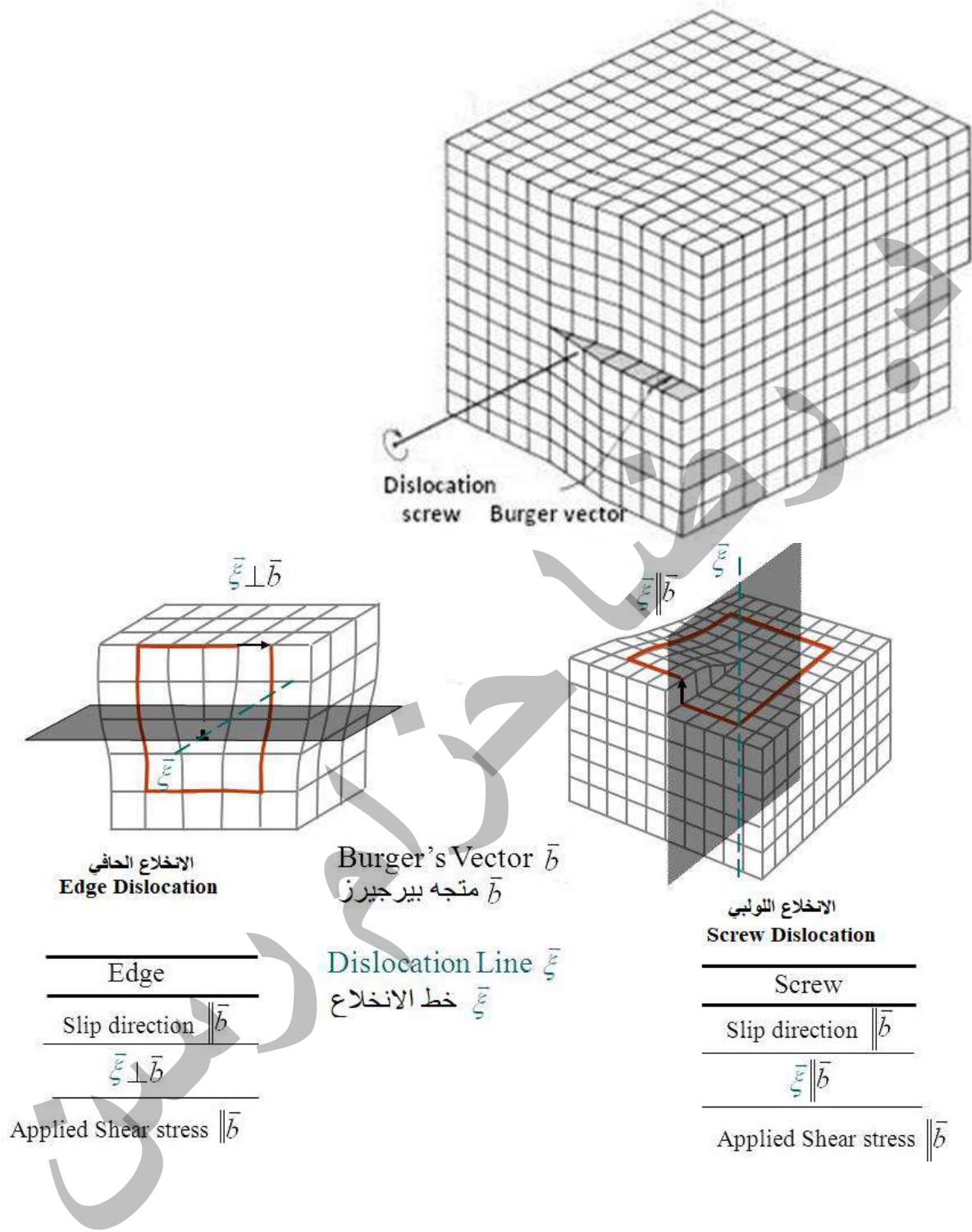
**الانخلاع الحافي Edge Dislocation** (انخلاع تايلور - أوروان): وهو صف من الذرات يميز حدود حافة جزء من المستوى الذي امتد إلى خارج البلورة ويرمز له عادة بمتوجه بيرجirز (متوجه برگر) (وهو متوجه يشكل زاوية قائمة مع خط الانخلاع في الانخلاع الحافي).

متوجه بيرجirز (متوجه برگر)  
**Burgers vector**



**الانخلاع اللولبي (البرمي):** وهو صف من الذرات للمستوى البلوري حول مسار لولبي ويكون متوجه بيرجirز (متوجه برگر) موازي لخط الانخلاع زاوية صفر.



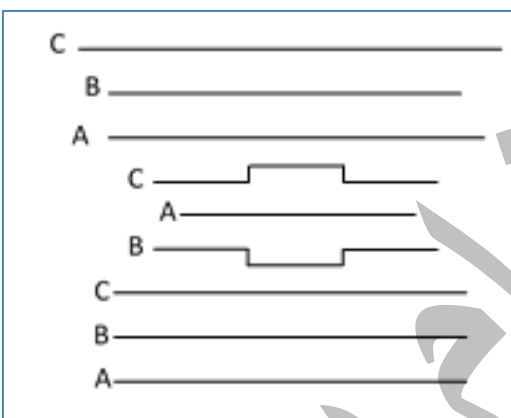
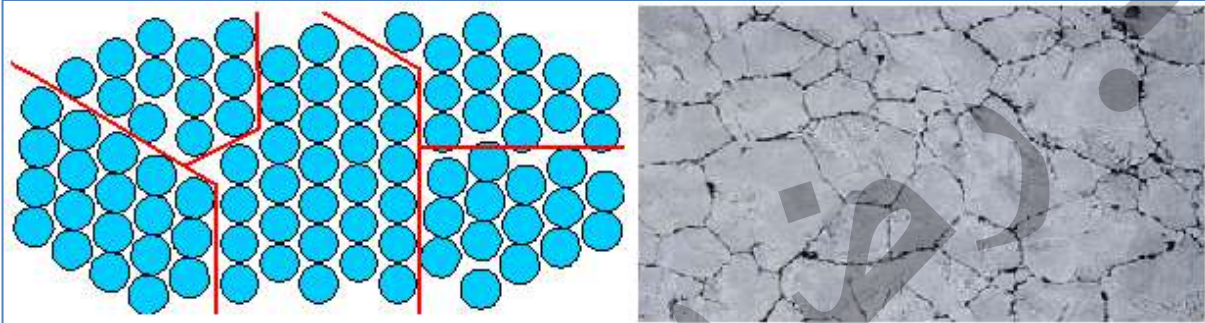


**العيوب السطحية:** سمي العيوب السطحية بهذا الاسم لأنه ينشأ من تجمع العديد من العيوب الخطية مكونة سطح من العيوب مثل حدود الحبيبات وخطا التراص والتوائم.

#### حدود الحبيبات:

أن بعض المواد الصلبة لا تكون بنيتها البلورية من بلورة واحدة بل من العديد من البلورات الصغيرة الحجم والتي يطلق عليها بالحبيبات وان كل حبيبة داخل بنية المادة الصلبة تختلف في اتجاهها وحجمها وشكلها وبعدها عن جارتها وبالتالي لا بد أن يفصلها عن بعضها حدود فاصلة يطلق عليها بحدود الحبيبات.

تعمل حدود الحبيبات على إعاقة حركة الإلكترونات الحرجة وينتاج بذلك مقاومة إضافية للمواد الفلزية حيث يقل التوصيل الكهربائي فيها ويحدث هذا النوع من العيوب خلال عمليات تصلييد منصهر المعادن.



**خلل التراص:** هي عيوب السطح التي تنشأ من تغيير في تراص الذرات في المستوى أو عبر الحدود، عندما ينتج ترتيب ABCABC بدل من الترتيب ABCABC فإننا نقول أنه حدث خطأ في الرص.

أي ان خلل التراص يعني اختلال في تعاقب المستويات أي هو نتيجة لعدم استمرارية تعاقب المستويات بسبب خلل في ترتيب الذرات ذات النوع الواحد او اكثر من نوع.

#### التوائم: Twin:

يعتبر تشوه لدن يحدث نتيجة ازاحة صغيرة بين المستويات المجاورة وتم اثناء الانماء البلوري او التشوه الميكانيكي كالضغط وعند صهر المادة وانماء بلورة منها. تعد التوائم من العيوب السطحية الشائعة والتي تحدث نتيجة لعدم استمرارية دورية الشبكة وتعد عملية تكوين التوائم نمطاً من أنماط التشوهات اللينة وخلال عملية تكون البلورات التزامية تحدث ازاحة صغيرة بين المستويات العديدة المجاورة. وان الجزء المشوه من البلورة له تماثلاً مرآتي مع الجزء غير المشوه.

يتم حدوث التوائمة بالطرق التالية:

- 1 بطريقة النمو البلوري وتدعى بالتوائم النامية
- 2 يتم بطريقة التشوه الميكانيكي كالطرق او الضغط وتسمى بالتوائم المشوهه.

**العيوب الحجمية:** العيوب الحجمية مثل التشققات تنشأ في البلورات عندما يكون هناك اختلاف صغير بين الاكتروستاتيك للذرات ملحوظ في المعادن . كما يعتبر وجود أماكن كبيرة شاغرة أو مساحة الفراغ، عندما تفقد مجموعة من الذرات باعتبارها النقص الحجم . والعيوب الحجمية تمتد خلال حجوم صغيرة في بلورة.

س) ما المقصود في العيوب السطحية وايهما اكثر حدوثا في البلورات؟

ج) سمي العيوب السطحي بهذا الاسم لأنه ينشأ من تجمع العديد من العيوب الخطية مكونة سطح من العيوب مثل حدود الحبيبات وخطا التراص والتوائم. التوائم من العيوب السطحية الشائعة.

س) عرف كل مما يأتي: متوجه برغر، الانخلاءات، العيوب الحجمية، الفراغ، الذرات الإضافية، العيوب النقطي. العيوب السطحي ، الانخلاء الحافي.

رضا حزام رسن

## H.W.

س) اذا كانت الطاقة اللازمة لتكوين عيب شوتكي تساوي  $2eV$  فبهرن على ان الكثافة النسبية للفراغات بالنسبة للذرات سوف تكون دائما اقل من  $10^{-10}$  عند درجة الغرفة.

س) احسب عدد الثغرات (كل ذرة) في اتزان حراري بلورة عند درجة حرارة الغرفة  $300K$  على أساس ان الطاقة اللازمة لتكوين ثغرة شوتكي تساوي الكترون فولت واحد.

س) طاقة  $2eV$  تحتاج لخلق عيب فرنكل في بلورة لها ذرة واحدة في الأساس البدائي وثمانية مواقع خلالية في خلية الوحدة البدائية اوجد في حالة الازان عدد عيوب فرنكل لوحدة الخلية في درجة  $1000K$  و  $300K$  و  $100^{\circ}C$

س) في الحديد اذا كان مقدار الطاقة المصاحبة لتوليد فراغ هو  $1.05eV$ . عند أي درجة حرارة سيليوزية (مئوية) سوف يتكون فراغ واحد لكل  $10^5$  ذرة.

فيزياء الجامد / سعود اللحياني  
 مثال: طاقة تكوين الفراغ في معظم البلورات تساوي بالتقريب واحد إلكترون فولت. احسب تركيز الفراغات في بلورة نحاس عند درجة حرارة الغرفة وعند درجة حرارة  $600$  درجة مطلقة.  
 الحل/

$$n = Ne^{-E/K_B T}$$

$$\frac{n}{N} = e^{-E/K_B T} = e^{\frac{-1 \times 1.6 \times 10^{-19}}{1.38 \times 10^{-23} \times 300}} = e^{\frac{-1 \times 1.6 \times 10^{-19}}{4.14 \times 10^{-21}}} \\ \approx 1.64 \times 10^{-17} \quad \text{at } 300 K$$

$$\frac{n}{N} = e^{-E/K_B T} = e^{\frac{-1 \times 1.6 \times 10^{-19}}{1.38 \times 10^{-23} \times 600}} \approx 4 \times 10^{-9} \quad \text{at } 600 K$$

من د. شذى : احسب درجة حرارة النحاس التي يكون فيها عند الازان عدد الفراغات لكل متر مكعب  $2.2 \times 10^{20} \text{ vacancies/m}^3$ . طاقة تكوين الفراغ هي  $0.7eV/\text{atom}$  والعدد الكلي للذرات هو  $2 \times 10^{30} \text{ m}^3$

$$\frac{n}{N} = e^{-E/K_B T} \quad \ln\left(\frac{n}{N}\right) = \frac{-E}{K_B T} \\ T = \frac{-E}{K_B \ln\left(\frac{n}{N}\right)} \quad T = \frac{-0.7}{1.38 \times 10^{-23} \times \ln\left(\frac{2.2 \times 10^{20}}{2 \times 10^{30}}\right)} = \\ \text{ب) } 300K \quad \text{د) } 2.82 \times 10^{-3} K \quad \text{ج) } 3541.4K \quad ($$

س) في الحديد اذا كان مقدار الطاقة المصاحبة لتوليد فراغ هو  $1.05 \text{ eV}$  . عند أي درجة حرارة سليلوزية (مئوية) سوف يتكون فراغ واحد لكل  $10^5$  ذرة.

$$n = Ne^{-E/K_B T}$$

$$\frac{n}{N} = e^{-E/K_B T}$$

$$\frac{1}{10^5} = e^{-E/K_B T} = e^{-1.05 \times 1.6 \times 10^{-19} / 1.38 \times 10^{-23} \times T} = 10^{-5}$$

$$-1.05 \times 1.6 \times 10^{-19} / 1.38 \times 10^{-23} \times T = \ln(10^{-5})$$

$$\frac{-1.05 \times 1.6 \times 10^{-19}}{1.38 \times 10^{-23} \times T} = \ln(10^{-5})$$

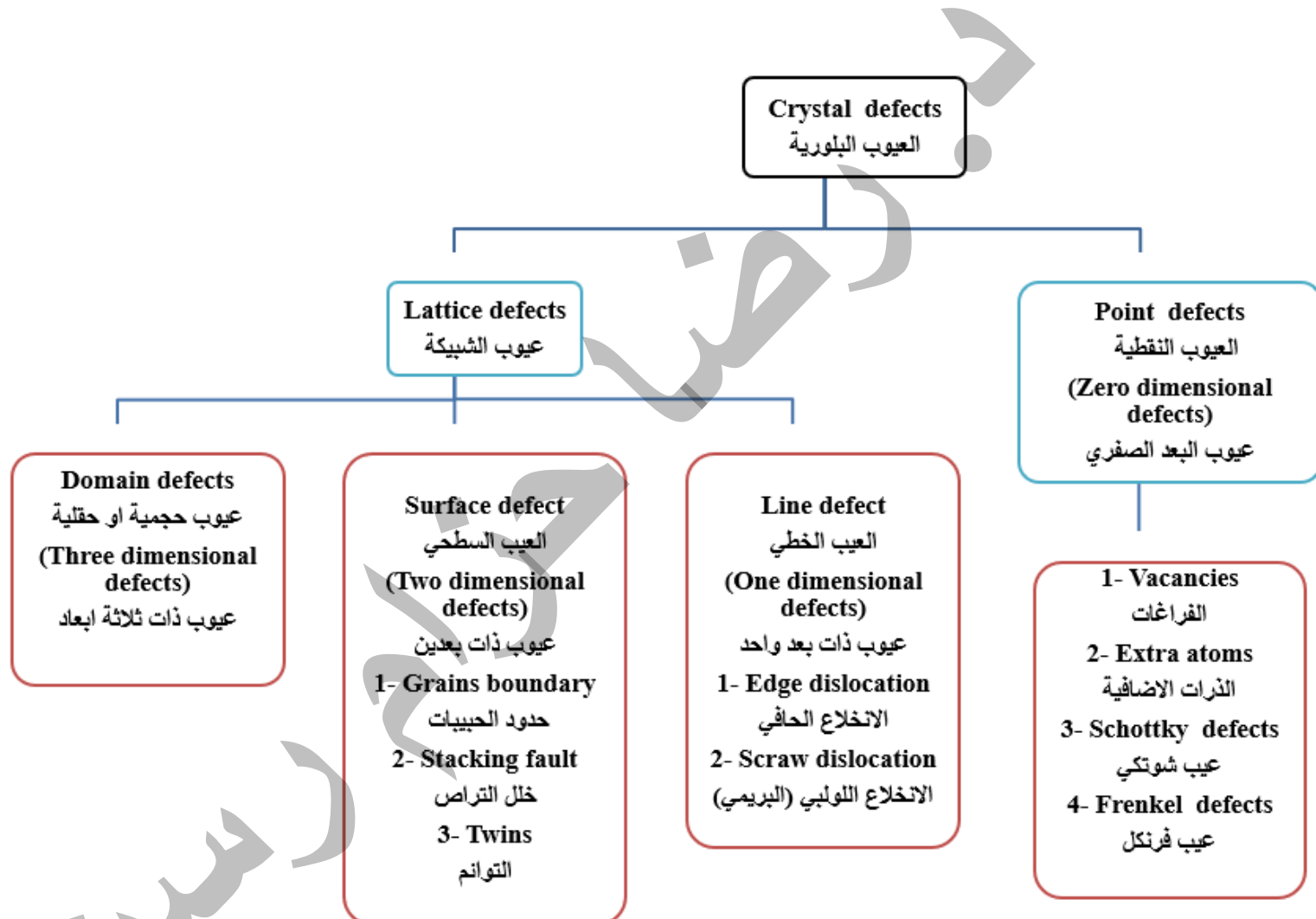
$$\frac{-1.05 \times 1.6 \times 10^{-19}}{1.38 \times 10^{-23} \times \ln(10^{-5})} = T$$

$$T = \frac{-1.68 \times 10^{-19}}{1.38 \times 10^{-23} \times (-11.51292546497)}$$

$$T = \frac{1.68 \times 10^{-19}}{15.887837 \times 10^{-23}} = 1057.4 \text{ } ^\circ K$$

$$T = 1057.4 \text{ } K - 273 = 784.4 \text{ } ^\circ C$$

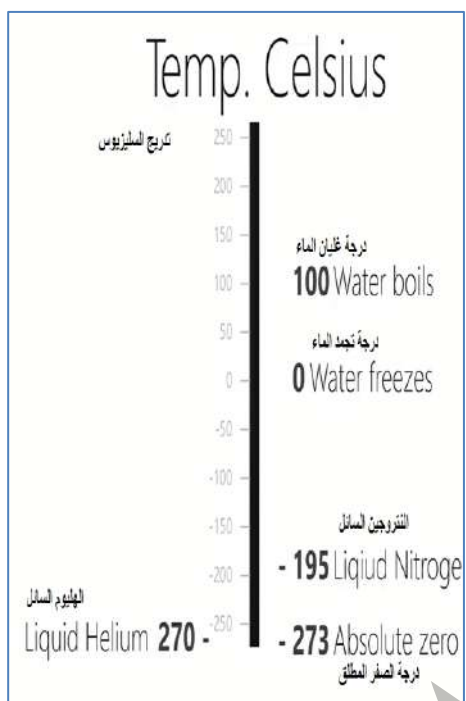
$$T = -1057.4 \text{ } ^\circ K$$



## التوصيل المفرط (التوصيل الفائق)

### مقدمة:

ان معظم العناصر المعدنية والمركبات والسبائك لها خاصية التوصيل المفرط عندما تنخفض درجة حرارتها لتقرب من الصفر المطلق. ان خواص المواد في حالة التوصيل المفرط (الفائق) تختلف كثيراً عن الحالة الاعتيادية بسبب التغير الحاصل في سلوك الكترونات التوصيل. ان المواد مفرطة التوصيل لها خاصية انعدام المقاومة النوعية وخاصية الديا مغناطيسية المثالية.

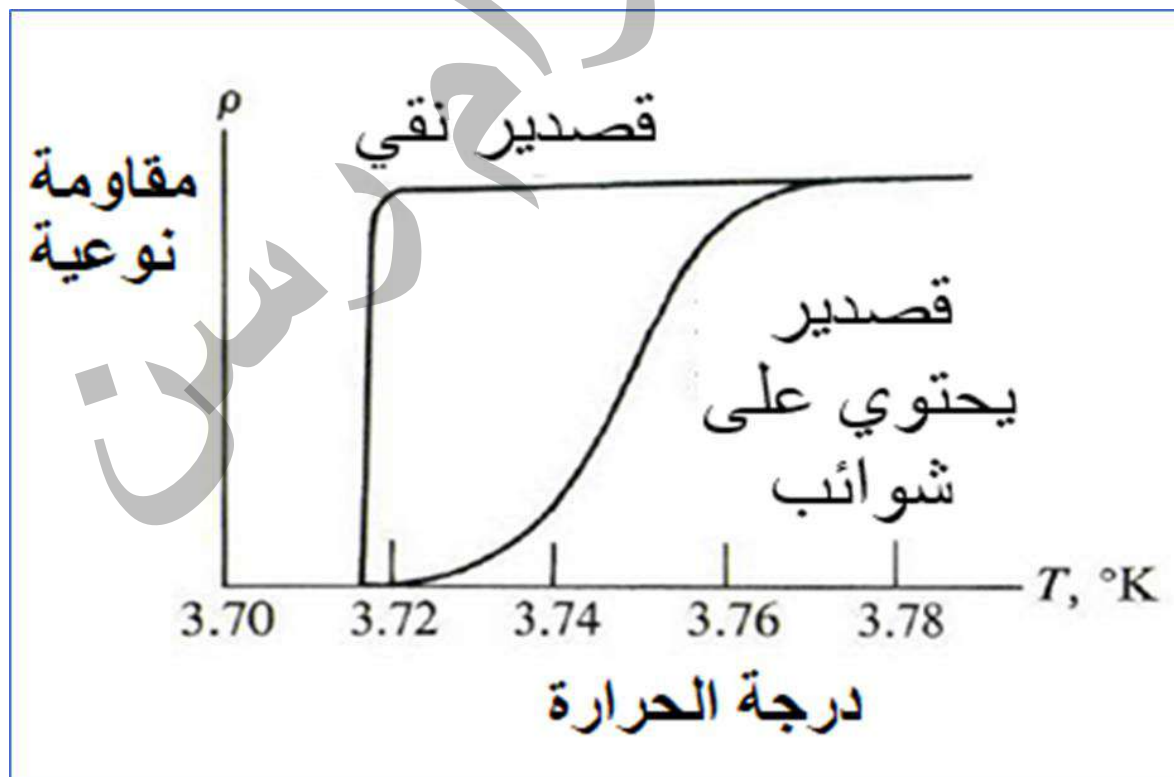


### درجة الحرارة الحرجة ( $T_C$ ):

ان من اهم مزايا الموصل المفرط هو تلاشي المقاومة النوعية لتصبح قيمتها صفرأ عند درجة حرارية معينة ( $T_C$ ) تدعى (درجة الحرارة الحرجة) أي (درجة حرارة انتقالية) وهي تختلف من معدن الى آخر.

- عند زيادة درجة الحرارة الى درجة اعلى من  $T_C$  فإن المادة تعود الى طبيعتها الاعتيادية.
- ان عملية الانتقال من الحالة الاعتيادية الى حالة التوصيل المفرط لا تكون دائمأ شديدة الانحدار ولكن تعتمد على نقاوة المعدن. كما في الشكل.

(سائل النيتروجين K 78 و الهيليوم 3.4K)



ولقد وجد أن درجة الحرارة الحرجة تعتمد على العوامل التالية :-

1 **نقاوة المادة**

2 **الضغط المسلط على المادة**

3 **سمك المادة**

4 **الشحنة الكهروستاتيكية على المادة**

إن درجة الحرارة الحرجة للمادة تعتمد على الضغط المسلط عليها . فلقد وجد أن زيادة الضغط يحدث انخفاضاً في الدرجة الحرجة  $T_C$ . أما تأثير سماكة المادة على الدرجة الحرجة ، فإنه كلما كانت المادة على هيئة غشاء رقيق نجد أن  $T_C$  تقل بشكل كبير عند مقارنتها بعينة من نفس المادة ذات سماكة كبيرة ، bulk . إن لهذين العاملين دور كبير على تحويل بعض أشباه الموصلات من الحالة الاعتيادية إلى حالة فائقة التوصيل .

**حالة فرط التوصيل (ظاهرة فرط التوصيل):** الهبوط المفاجئ إلى قيمة الصفر تقريرياً للمقاومة الكهربائية لمادة عند تبریدها إلى درجة حرارة واطئة جداً عندما تصل إلى درجة الحرارة الحرجة . والمواد التي تظهر فيها حالة فرط التوصيل تدعى (**المواد مفرطة التوصيل**) .

**المجال الحرج:**

يتميز الموصل المفرط بخاصية أخرى، إضافة إلى كون مقاومته تساوي صفرًا بالنسبة للتيار المستمر، هي تحوله من حالة التوصيل المفرط إلى الحالة الاعتيادية وذلك بتسليط مجال مغناطيسي عالي يسمى المجال الحرج.

أي ان المواد المفرطة التوصيل تتحول إلى حالتها الاعتيادية بتسليط مجال مغناطيسي عالي يسمى المجال الحرج ( $B_C$ ) وهو يعتمد على نوعية المادة المصنوع منها الموصل ودرجة الحرارة.

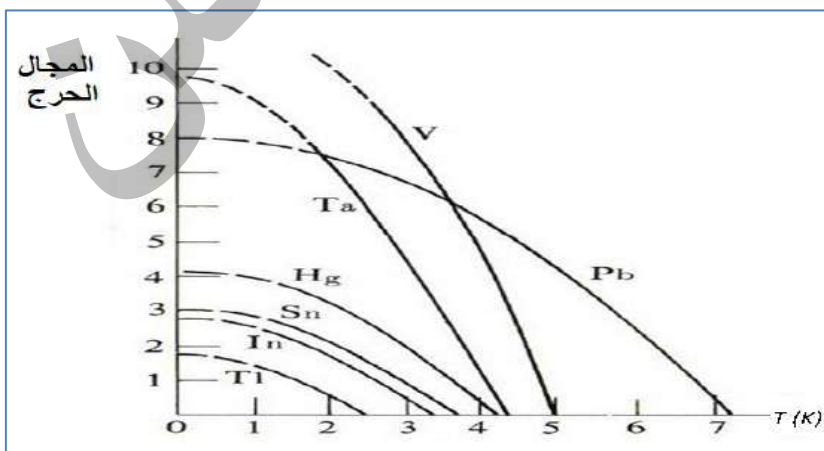
- حيث ان قيمة المجال الحرج تصبح صفرأً عند درجة الحرارة الحرجة ( $T_C$ ).

- وتزداد قيمتها بانخفاض درجة الحرارة.

- العلاقة التالية توضح العلاقة بين  $B_C$  ،  $T_C$  ،

$$B_C = B_0 \left[ 1 - \left( \frac{T}{T_C} \right)^2 \right]$$

ان قيمة المجال الحرج  $B_C$  تزداد لتصبح قيمته ثابتة وتساوي  $B_0$  هي اقصى قيمة للمجال المغناطيسي الحرج عند درجة الصفر المطلق. كما في الشكل التالي لبعض المواد المفرطة.



**نلاحظ من الشكل:**

- ان قيمة  $B_0$  تزداد بارتفاع  $T_C$ .

- في بعض الاحيان ليس من الضروري ان نسلط مجالاً مغناطيسيًا خارجياً لغرض ازالة خاصية التوصيل المفرط ولكن عندما تتجاوز قيمة التيار

المار في حلقة مصنوعة من مادة ذات توصيلية مفرطة قيمة (**التيار الحرج**) فإن المادة تتحول إلى الحالة الاعتيادية. وتعتمد قيمة التيار الحرج على طبيعة المادة،

✓ شكلها الهندسي

✓ وعلى قيمة المجال المغناطيسي الناتج عن مرور التيار. فإذا تجاوزت قيمة المجال الناتج عن مرور تيار في موصل مفرط القيمة الحرجة للمجال الحرج  $B_c$  فان المادة تكون في الحالة الاعتيادية.

- ان تحديد قيمة التيار المار في موصل مفرط تُعد من احدى المشاكل الصناعية في توليد مجال مغناطيسي عالي.

**س) متى يتحول الموصل المفرط من حالة التوصيل المفرط إلى الحالة الاعتيادية؟**

**س) كيف يمكن إزالة خاصية التوصيل المفرط؟**

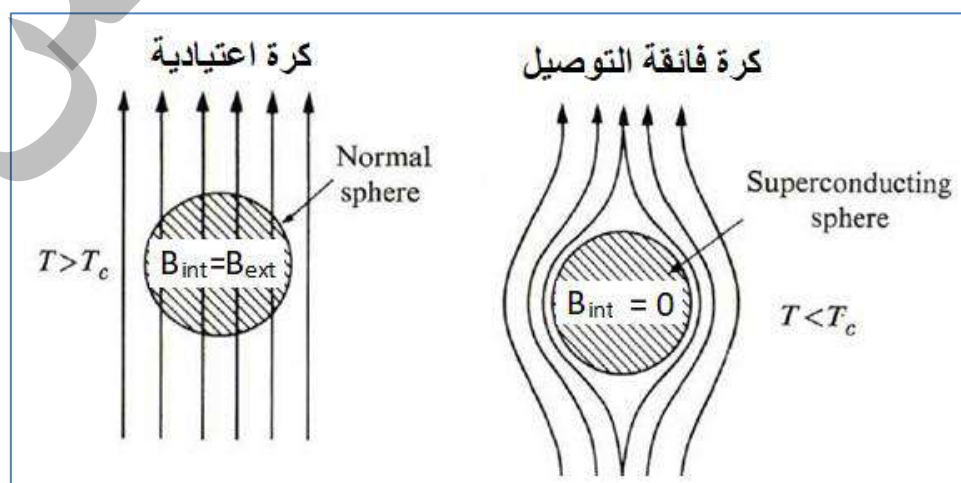
ج)1. يمكن ان تتحول المواد المفرطة التوصيل الى حالتها الاعتيادية بتسليط مجال مغناطيسي عالي يسمى المجال الحرجة ( $B_c$ ) وهو يعتمد على نوعية المادة المصنوع منها الموصل ودرجة الحرارة.

2. او عندما تتجاوز قيمة التيار المار في حلقة مصنوعة من مادة ذات توصيلية مفرطة قيمة (**التيار الحرج**) فإن المادة تتحول إلى الحالة الاعتيادية. فإذا تجاوزت قيمة المجال الناتج عن مرور تيار في موصل مفرط القيمة الحرجة للمجال الحرج  $B_c$  فان المادة تكون في الحالة الاعتيادية.

3. برفع درجة حرارة المادة بحيث تكون اعلى من  $T_c$

### ظاهرة مازنر : MEISSNER EFFECT

لقد لاحظ العالم الألماني مازنر انه عندما تكون المادة ذات التوصيل المفرط في مجال مغناطيسي فإن خطوط الفيصل المغناطيسي تبتعد كليةً عن الموصل عند تبريده الى درجة حرارية اقل من  $T_c$  (وتدعى هذه الظاهرة بظاهرة مازنر او ظاهرة اقصاء الفيصل المغناطيسي). يمكن فهم هذه الظاهرة على أساس ان عملية التحول بوجود مجال مغناطيسي من الحالة الاعتيادية الى حالة التوصيل المفرط تكون مصحوبة بـ توليد تيارات سطحية كافية لإلغاء المجال المغناطيسي داخل العينة. كما في الشكل التالي:



## ان المجال داخل المادة في الحالة الاعتيادية

$$B_{int} = B_{ext} + \mu_0 M_V$$

حيث ( $B_{ext}$ ) هو المجال المغناطيسي الخارجي. و  $\mu_0$  تمثل النفاذية  
 $M_V \equiv \text{العزم المغناطيسي لوحدة الحجم}$

$$M_V = \frac{-B_{ext}}{\mu_0}$$

و عليه فإن الموصل المفرط له تأثير كما لو كان لديه عزم مغناطيسي معاكس إلى المجال الخارجي ولهذا فيمكن اعتبار أن المادة ذات داياً مغناطيسية مثالية.

**هناك نوعان من المواد المفرطة التوصيل:**

بالاعتماد على الطريقة التي يحدث بها الانتقال من حالة التوصيل المفرط إلى الحالة الاعتيادية عندما تكون قيمة المجال المغناطيسي المسلط أكبر من قيمة المجال الحر  $B_C$ .

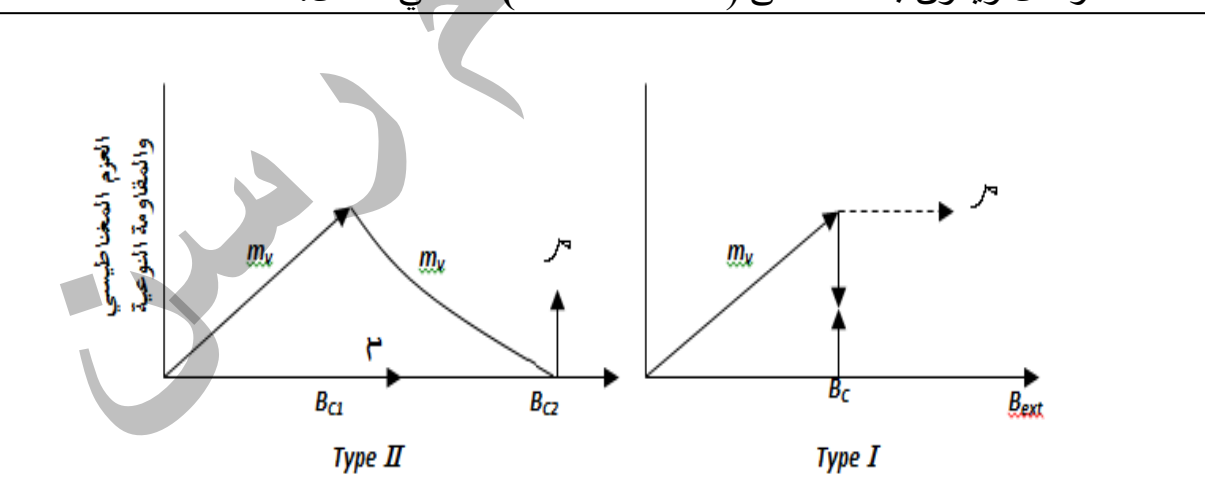
**1- موصل مفرط من النوع الأول Type.I:** عندما تتجاوز قيمة المجال المغناطيسي المسلط المجال الحر  $B_C$  فإن الموصل يتحول كلياً إلى الحالة الاعتيادية وبذلك يتمكن المجال الخارجي من اختراق الموصل وتصبح قيمة العزم المغناطيسي صفرًا. أي أن

$$B_{int} = B_{ext}$$

**2- موصل مفرط من النوع الثاني Type. II:** النوع الثاني يتميز بوجود قيمتين للمجال الحر  $B_{C1}$  تمثل أقل قيمة له و  $B_{C2}$  تمثل أعلى قيمة للمجال.

- فعندما تتجاوز قيمة المجال المسلط أعلى قيمة للمجال الحر  $B_{C2}$  ( $B_{C2} > B_{C1}$ ) فإن الموصل يتحول كلياً إلى الحالة الاعتيادية وبذلك يتمكن المجال الخارجي من اختراق الموصل.

- أما إذا كانت قيمة المجال المسلط أعلى من  $B_{C1}$  وأقل من  $B_{C2}$  فهناك اختراق جزئي للموصل ويكون حالة تسمى (الحالة المختلطة) كما في الشكل:



س) يفضل استعمال موصل من النوع الثاني Type. II في صناعة المغناطيس ذات المجال العالي. علل ذلك؟

ج) إن القيمة النموذجية للمجال الحر في موصل من نوع الأول I حوالي  $10^{82}$  كاووس بينما القيمة النموذجية للمجال الحر في موصل من نوع الثاني II حوالي  $10^{85}$  كاووس ولهذا يكون الموصل من النوع الثاني مفضل في صناعة المغناطيس ذات المجال العالي.

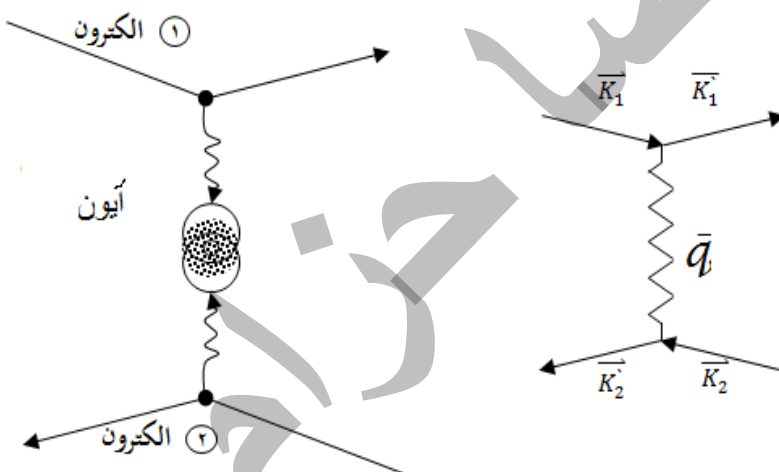
### نظريّة التوصيل المفرط:

تُسمى نظرية BCS نسبة إلى اسماء العلماء الفيزيائيين Schrieffer , Cooper , Bardeen . لقد بنيت هذه النظرية على أساس النظرية الكميمية.

ان مقاومة المعادن في درجات الحرارة الواطئه هو نتیجة لتصادم الكترونات التوصيل مع ذرات الشوائب وهي حالة لا يمكن التخلص منها.

- لذلك بنيت هذه النظرية على اساس آخر وهو مبدأ تجمع الالكترونات على شكل ازواج بواسطة قوة جذب من نوع خاص وبذلك تفسر ظاهرة انعدام المقاومة على اساس ان هذه الأزواج من الالكترونات يمكن ان تتصادم بعد تزويدها بطاقة كافية لفصلها عن بعضها وتوليد الكترونين منفردين . ولكن عند درجات حرارة واطئه لا يمكن تزويد هذه الالكترونات بمثل هذه الطاقة وبذلك تمر هذه المجاميع من ازواج الالكترونات دون ان تتصادم مع الشوائب.

- ان تجاذب الالكترونات بدلاً من تناقضها نتيجة لقوى الكهروستاتيكية يمكن ان يفهم على اساس استجابة الأيونات الموجبة في البلورة للألكترونات المارة بالقرب منها.



الشكل يبين تأثير التبادل بين الكترونين لتكوين زوج الكترون

- هنالك قوة جذب ولفتره وجيزه جداً بين الأيون الموجب والإلكترون المار قربه وربما يحدث عنه تحوير بسيط في اهتزاز ذلك الأيون.
- ويمكن ان يؤثر هذا الأيون على الكترون آخر مارأ قربه ويجذبه نحوه.
- ان نتیجة هذين التفاعلين هو ظهور قوة جذب بين الالكترونين ولا يمكن حدوث مثل هذا التجاذب لو لا وجود الأيون الموجب.
- باستخدام نظرية المجال field theory فإن التأثير المتبادل هو نتیجة تبادل فونون افتراضي ذي طول موجي بين الالكترونين.

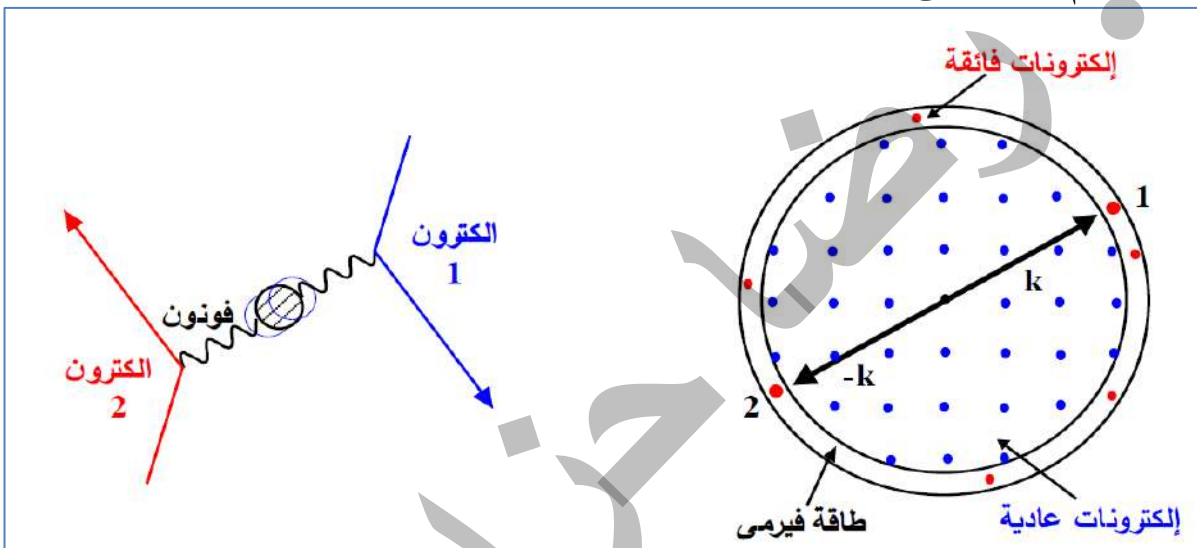
$$\overrightarrow{K_1} - \vec{q} = \overrightarrow{K'_1}$$

$$\overrightarrow{K_2} + \vec{q} - \overrightarrow{K'_2}$$

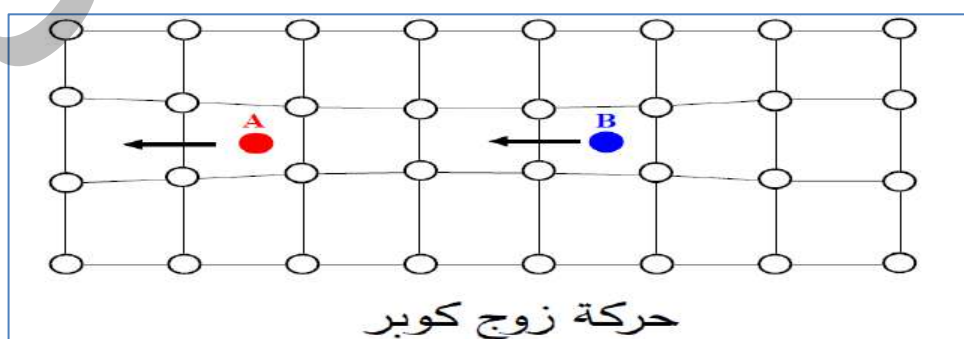
$$\therefore \overrightarrow{K_1} + \overrightarrow{K_2} = \overrightarrow{K'_1} + \overrightarrow{K'_2}$$

**ازواج كوبر:** أشار العالم كوبر عام 1956 انه في حالة وجود قوة جذب بين الالكترونات، مهما كانت ضعيفة، فان الحالة الارضية في درجة حرارة الصفر المطلق تحتوي على الالكترونات متجمعة على اشكال ازواج. وهذه الأزواج من الالكترونات يطلق عليها ازواجاً كوبر.

والإلقاء الضوء على تركيب زوج كوبر، نفترض معدن تقع الالكترونات التوصيل فيه داخل كرة فيرمي ونفترض أن الالكترونين يقعان بالقرب من سطح فيرمي تماماً. يحدث تناور بين هذين الالكترونين بسبب تشابه الشحنة وبالتالي توجد قوة كولوم. وبسبب الحجب الذي تسببه الالكترونات الأخرى الموجودة بين هذين الالكترونين فإن قوة تناور كولوم يمكن أن تتفاوت وعندأخذ هذا الحجب في الاعتبار فإن قوة التناور بين الالكترونين تختفي تماماً بالرغم من صغر حجم كرة فيرمي.

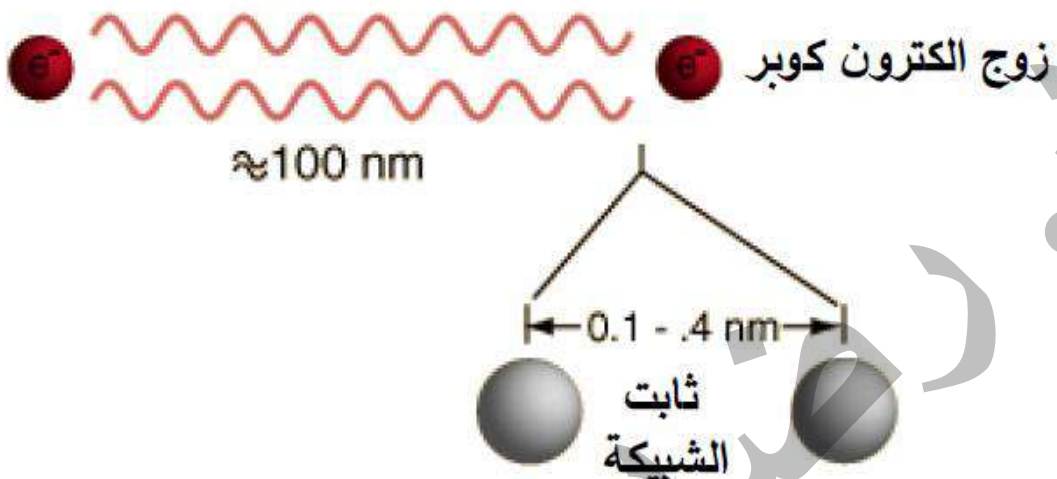


افتراض العالم كوبر أن الالكترونين في زوج كوبير يكونان حالة ارتباط فيما بينهما وهذا الارتباط يكون منها نظاماً واحداً وبالتالي ترتبط حركة أحدهما بالأخر ويتفكك زوج كوبر فقط عندما يأخذ النظام كمية طاقة تساوى طاقة الرابط بين الالكترونين. فسر كوبر منشأ قوة الترابط في زوج الالكترونات على أساس وجود قوة جذب ولفتره وجيزة وتؤثر في اهتزاز الأيون الموجب الذي يمر بالقرب منه (الكترون) كما في الشكل السابق ويجدبه نحوه. وبالتالي ينتج تجمع استقطاب (للآيونات الموجبة بالقرب من الالكترون المار وهذا الاستقطاب يسبب ظهور جذب إضافي بين الالكترون والإلكترون الآخر وبالتالي يتولد زوج كوبر، كما هو مبين في الشكل التالي.



تسمى قوة الارتباط بين الكتروني زوج كوبر بتفاعل الفونون وتكون طاقة الارتباط في بناء الزوج أكثر قوة عندما تكون عزوم ولف الالكترونين متعاكسة، بمعنى  $k = -k$  . على ذلك يمكن القول إن كل الالكترونات الموجودة بالقرب من سطح فيرمي تتكتف في الحالة الأرضية و تكون أنظمة من أزواج كوبر. يبين الشكل التالي هذا المفهوم.

### تفاعل الفونون



### التفاعل البيني في زوج كوبر ومقارنة مسافة الارتباط مع ثابت الشبكة

كما يوضح أيضاً كيف أن أزواج كوبر ترتبط معاً على مسافة مئات النانومتر أي على مسافة أكبر من ثابت الخلية بـ ألف مرة ويكون سلوكها مثل سلوك البوزوونات وتتكيف في الحالة الأرضية.

### عمق الاتraction:

ان اهم فرضية في هذا النموذج هو انه في الموصل المفرط عند  $T < T_C$  فإن جزءاً مقداره  $n_s(T)/n$  من العدد الكلي لالكترونات التوصيل  $n$  يستطيع ان يساهم في (التيار المفرط). نفترض ان هنالك مجالاً كهربائياً لحظياً عبر موصل مفرط (المقدار  $n_s$  يدعى بكثافة الكترونات التوصيل الفائق). فتكون معادلة الحركة لالكترونات (الكترونات فائقة التوصيل) Superelectron في هذا المجال الكهربائي:

$$m \frac{d\mathbf{v}_s}{dt} = -e \mathcal{E}$$

حيث أن  $V_s$  سرعة الكترونات التوصيل الفائق. القوة الوحيدة المؤثرة على الإلكترون هي القوة الناتجة عن المجال الكهربائي. أما قوة الاستطراء أو التصادم فليس متوجدة في المعادلة وذلك لأن الكترونات التوصيل الفائق لا تستطير أو تتصادم. وبالتالي يتم إعطاء كثافة التيار الفائق  $J_s$  (كثافة التيار الناتجة عن الكترونات التوصيل الفائق) بواسطة:

$$\mathbf{J}_s = n_s (-e) \mathbf{v}_s$$

$$\frac{d\mathbf{J}_s}{dt} = -e \left( \frac{dV_s}{dt} \right) n_s$$

نأخذ مشتقة  $V_s$  بالنسبة للزمن من المعادلة الاولى ونعرضها في المعادلة الأخيرة، فينتج:

$$\mathbf{J}_s = \frac{n_s e^2}{m} \mathcal{E}$$

حيث تشير النقطة فوق  $\mathbf{J}$  إلى المشتقة بالنسبة للزمن. في الحالة المستقرة، يكون التيار في الموصل الفائق ثابتاً. لذلك فإن المعادلة الأخيرة تشير إلى أن  $0 = J_s$  ، (مشتقة الثابت صفر) وهذا يعني ان المجال الكهربائي في المعادلة الأخيرة يساوي صفر:

$$\mathcal{E} = 0$$

يؤكد هذا الاستنتاج المهم أنه في الحالة المستقرة، يختفي المجال الكهربائي داخل الموصل الفائق. بعبارة أخرى، انخفاض الجهد عبر موصل فائق يساوي صفرًا. المعادلة الأخيرة تؤدي على الفور إلى نتيجة مهمة أخرى. عندما يتم الجمع بين العلاقة مع معادلة ماكسويل،

$$\dot{\mathbf{B}} = -\nabla \times \mathcal{E}$$

ويمكن ان نجد

$$\dot{\mathbf{B}} = 0$$

هذا يؤكد أنه في الحالة المستقرة يكون المجال المغناطيسي ثابتاً. لكن المعادلة الأخيرة تتعارض مع تأثير مايسنر (تأثير مازنر). تنص هذه المعادلة على أن  $B$  ثابت بغض النظر عن درجة الحرارة، بينما نذكر أنه عند رفع  $T$  إلى  $T_C$  سوف يخترق التدفق فجأة العينة عند الوصول إلى نقطة الانتقال. وعليه لابد لنا من ادخال بعض التعديلات على المعادلات المذكورة أعلاه لنحصل على النتيجة المطلوبة

$$ج_s = \frac{n_s e^2}{m} \mathcal{E} \quad \text{نعرض } \mathcal{E} \text{ من المعادلة}$$

في المعادلة الأخيرة،  $\dot{\mathbf{B}} = -\nabla \times \mathcal{E}$

$$\dot{\mathbf{B}} = -\frac{m}{n_s e^2} \nabla \times \mathbf{j}_s$$

فنحصل على معادلة لندن London equation

هذه المعادلة غير صحيحة، كما رأينا للتو، لأنها تتبع  $\dot{\mathbf{B}} = 0$ .  
لتصحيح هذا، افترض الأخرين لندن العلاقة

$$\mathbf{B} = -\frac{m}{n_s e^2} \nabla \times \mathbf{j}_s, \quad \text{والتي لها نفس الشكل} \quad \dot{\mathbf{B}} = -\frac{m}{n_s e^2} \nabla \times \mathbf{j}_s$$

إلا أنه تم إلغاء التمايز (المشتقة) بالنسبة للزمن. سنرى الآن أن العلاقة (معادلة لندن) تؤدي إلى نتائج تتفق مع التجربة.

$$\mathbf{B} = -\frac{m}{n_s e^2} \nabla \times \mathbf{j}_s,$$

هي علاقة بين  $\mathbf{B}$  و  $\mathbf{j}$  ترتبط هذه الكميات أيضًا بمعادلة ماكسويل

$$\nabla \times \mathbf{B} = \mu_0 \mathbf{j}_s.$$

$\mu_0$  تمثل النفاذية المغناطيسية. نأخذ التكافل curl المعادلة الأخيرة، نعرض عن ثم استخدم المتطابقة:

$$\nabla \times \nabla \times \mathbf{B} = \nabla(\nabla \cdot \mathbf{B}) - \nabla^2 \mathbf{B} = -\nabla^2 \mathbf{B} \quad \text{لكن} \quad \nabla \cdot \mathbf{B} = 0$$

$$\nabla \times \nabla \times \mathbf{B} = -\nabla^2 \mathbf{B} = \mu_0 \nabla \times \mathbf{j}_s$$

∴

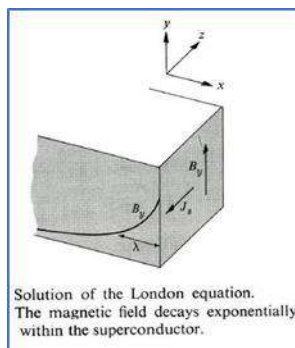
$$\mathbf{B} = -\frac{m}{n_s e^2} \nabla \times \mathbf{j}_s, \quad : \quad \frac{-n_s e^2 B}{m} = \nabla \times \mathbf{j}_s$$

$$-\nabla^2 \mathbf{B} = \mu_0 \nabla \times \mathbf{j}_s = \mu_0 \left( \frac{-n_s e^2 B}{m} \right)$$

$$\therefore \nabla^2 \mathbf{B} = \frac{\mu_0 n_s e^2}{m} \mathbf{B}$$

الآن اذا طبقنا معادلة المجال هذه على حالة هندسية بسيطة. العينة مع سطحها في مستوى  $yz$  (كما هو موضح في الشكل)، ويتم تطبيق الحقل في الاتجاه  $y$  نظرًا لأن الكميات تختلف فقط في الاتجاه السيني، فإن المعادلة الأخيرة تختزل إلى:

$$\frac{\partial^2}{\partial x^2} B_y = \frac{\mu_0 n_s e^2}{m} B_y$$



حل هذه المعادلة التفاضلية البسيطة هو

$$B_y(x) = B_y(0) e^{-x/\lambda},$$

where

$$\lambda = (m/\mu_0 n_s e^2)^{1/2}.$$

نستنتج من العلاقة الأخيرة التي تمثل عمق اختراق لندن:  $\lambda = (m/\mu_0 n_s e^2)^{1/2}$

- ان فيض المجال يستطيع ان ينفذ الى مسافة محدودة عند السطح وتسماى المسافة (عمق الاختراق) ( $\lambda$ ).

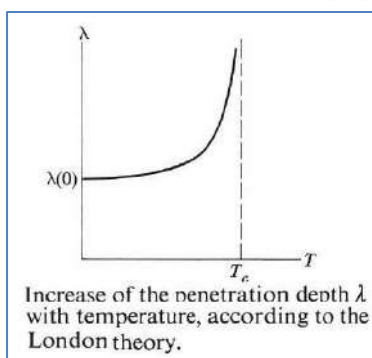
- ان عمق الاختراق يتغير مع درجات الحرارة حيث تزداد قيمة ( $\lambda$ ) بأرتفاع درجات الحرارة لتصبح مالا نهاية عند  $T = T_c$  وذلك لأن المادة تتحول الى الحالة الاعتيادية اذا استبدلنا  $n$  من المعادلة التالية التي تعطي تركيز الإلكترونات الفائقة:

نلاحظ با ان عدد الإلكترونات الفائقة يعتمد على درجة الحرارة.  
بالمعادلة  $n_s = n \left[ 1 - \left( \frac{T}{T_c} \right)^4 \right]$  نحصل على:

$$\lambda = \lambda(0) \left[ 1 - \frac{T^4}{T_c^4} \right]^{-1/2},$$

where

$$\lambda(0) = (m/\mu_0 n e^2)^{1/2}$$



- .3. التيار الكهربائي في موصل مفرط يجري قرب السطح للموصل وليس بداخله:

$$J_z(x) = - \left( \frac{n_s e^2}{\mu_0 m} \right)^{1/2} B_y(x) = - J_s(0) e^{-(x/\lambda)}$$

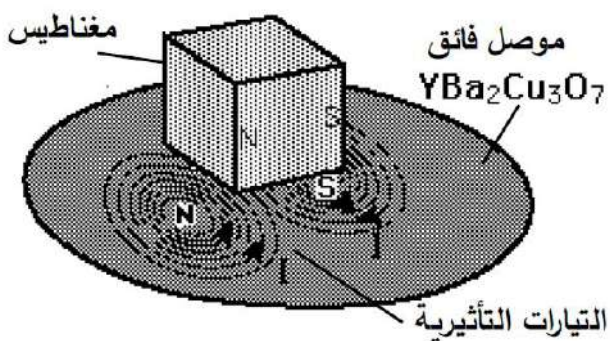
وهذا يعني ان التيار يتلاقص اسيأً عندما ننتقل من سطح الموصل الى داخله. اي ان التيار محصور قرب سطح الموصل.

إذا كان الموصل على شكل أسطواني فان التيار يجري على سطح الأسطوانة فقط وهذا يختلف عن الموصل الاعتيادي حيث التيار يمر بشكل منتظم خلال العينة كلها. وبذلك فان ظاهرة مازنر هي نتيجة لهذا التيار السطحي الذي يحفظ الموصل من المجال المغناطيسي وبذلك يكون الموصل ذا خاصية دايامغناطيسيية مثالية او بمعنى اخر، ان المجال الناتج عن التيارات السطحية يعاكس كلأ المجال المغناطيسي الذي ينفذ الى داخل الموصل.

### ظاهرة الرفع:

تحدث في المواد فائقة التوصيل ظاهر مثير تسمى (ظاهرة الرفع). تنتج هذه الظاهرة عن التيارات الدوامة المتولدة في دوائر الموصلات الفائقة والتي بدورها تولد مجالات مغناطيسية تتنافر مع الأجسام الأخرى والتي تظهر كما لو كانت معلقة في الهواء فوق الموصل الفائق. فإذا أسقطنا مثلاً مغناطيساً صغيراً فوق موصل فائق ينشأ مجال مغناطيسي تأثيري نتيجة

تكون تيارات دوامة على سطح الموصل وتكون التيارات التأثيرية صورة مرآة للأقطاب على سطح الموصل وبالتالي تتنافر مع أقطاب المغناطيس وتقاوم هذا المجال حركة السقوط. عند اقتراب المغناطيس من الموصل تزداد قوة التناحر حتى تتساوى مع وزن المغناطيس فيعلق في الهواء فوق الموصل الفائق وكأنه مرفوع. تم الاستفادة من ظاهرة الرفع في تقليل حركة الاحتكاك في القطارات فتم تصميم القطار بدون احتكاك حيث يتحرك مرفوعا فوق القضبان بواسطة الوسائل المغناطيسية والموصلات الفائقة وبالتالي تكون سرعته عالية نظراً لأنعدام الاحتكاك.



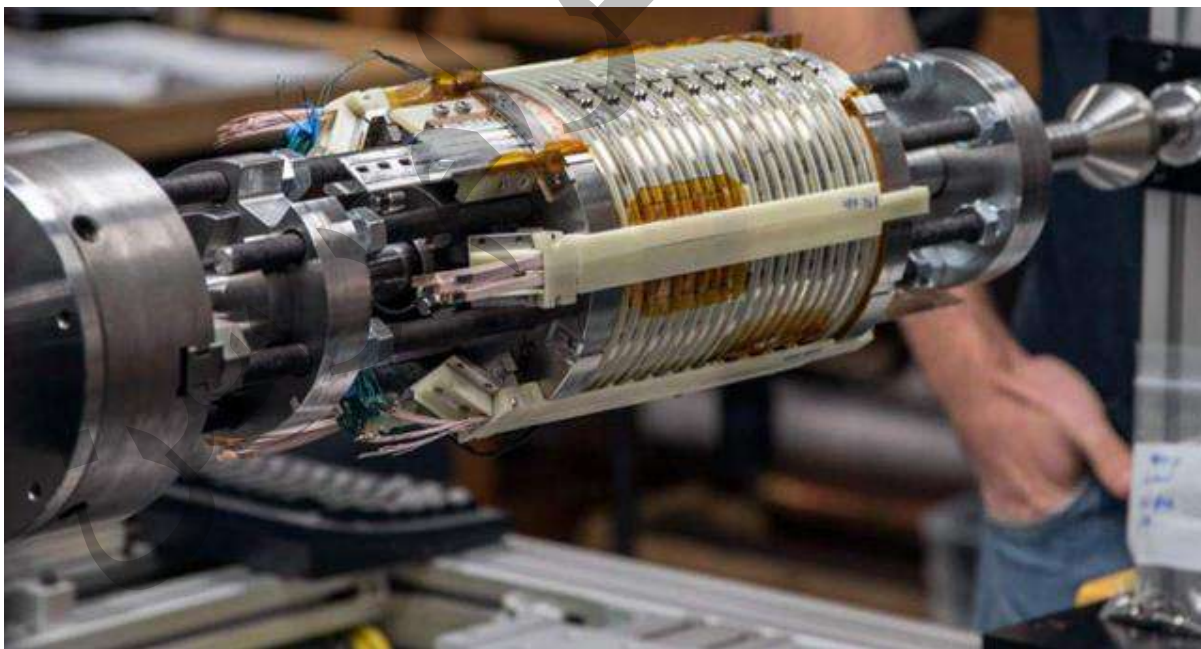
### تطبيقات المواد فائقة التوصيل:

- 1\_ صنع قطارات تسير بسرعة هائلة على وسادة من المغناطيس.
  - 2\_ صناعة الاجهزه الالكترونية المختلفة وخاصة صناعة اجهزة حاسوب صغيرة الحجم سريع الاداء.
  - 3\_ صناعة اسلام ضخمة فائقة التوصيل لنقل الكهرباء لإنارة المدن مثلً.
  - 4\_ عمل ملفات عملاقة لكي تخزن الكهربائية.
  - 5\_ صناعة الاجهزه ذات التوصيل الفائق والتي تستخدمن في مجال البحث بدلاً من المغناطيط التقليدية.
  - 6- صناعة اجهزة خاصة لتوليد الطاقة الكهربائية.
- امثلة على هذه التطبيقات:** هي تستخدم في:
- اجهزة التصوير بالرنين المغناطيسي الطبية.
  - وفي القياس بواسطة مطياف الكتلة.
  - ومغناطيسات توجيه حزم الجسيمات المشحونة معجلات الجسيمات مثل معجل LHC الذي تديره المنظمة الأوروبية للبحث النووي سيرن.
  - كما يمكن استخدامها أيضا في الفصل المغناطيسي.
  - وتستخدم الموصلات الفائقة في صنع مفارق جوزفين Josephson junctions أكثر مقاييس المغناطيسي حساسية على الإطلاق. وتستخدم أجهزة "SQUIDS" في المجهر الإلكتروني الماسح.
  - والمواد النانو مجهرية مثل: أنابيب النانو، والمواد المركبة.
  - والتبريد المغناطيسي فائق التوصيل.
  - صناعة مجسات فائقة التوصيل

### قطار مغناطيسي معلق يسير على وسادة



أقوى مغناطيس فائق التوصيل في العالم تم تصنيعه في مختبر (National MagLab) الذي يقع في فلوريدا وقد حقق الاكتشاف الجديد رقمًا قياسيًا يبلغ 32 تسلا



س(1) إذا علمت ان عمق الاختراق  $\lambda$  للزئبق Hg يساوي 75 nm عند درجة حرارة 3.5 K. فإذا علمت بان درجة الحرارة الحرجة للزئبق هي 4.15 K. جد

1- عمق الاختراق عند درجة الحرارة من الصفر المطلق ( $0\text{ K}$ ) .

2- كثافة الكترونات التوصيل  $n_s$  عندما تقترب درجة الحرارة من الصفر المطلق

س(2) إذا علمت ان عمق الاختراق  $\lambda$  لمعدن النيوبيوم Nb يساوي 4890 Å عند درجة حرارة 5K. فإذا علمت بان درجة الحرارة الحرجة للنيوبيوم هي 9.5 K. جد

1- عمق الاختراق عندما تقترب درجة الحرارة من الصفر المطلق.

2- كثافة الكترونات فرط التوصيل  $n_s$  عندما تقترب درجة الحرارة من الصفر المطلق

3- نسبة تركيز الكترونات فائقة التوصيل الى تركيز الكترونات التوصيل  $\left(\frac{n_s}{n}\right)$

س(3) احسب قيمة المجال المغناطيسي  $B_C$  الحرج للرصاص عند 2.5 K و 5 K اذا علمت ان درجة الحرارة الحرجة تساوي  $T_c = 7.19\text{ K}$  و اقصى قيمة للمجال المغناطيسي الحرج عند درجة الصفر المطلق  $B_c(0) = B_0 = 0.0803$  .

$$B_C = B_0 \left[ 1 - \left( \frac{T}{T_c} \right)^2 \right]$$

$$B_C = B_0 \left[ 1 - \left( \frac{T}{T_c} \right)^2 \right]$$